

**Analyse av energi, eksperi og ekspergoøkonomi for en
stempelmotorbasert CHP-enhet kombinert med en organisk
Rankine-syklus (ORC)**

Masteroppgave i energiteknologi

Jørgen Knutsen



Universitet i Bergen

Geofysisk institutt

Høgskolen i Bergen

Institutt for maskin- og marinfag

Bergen, August 2015

Veileder 1: Førsteamanuensis Norbert Lümmen (Høgskolen i Bergen)

Veileder 2: Førsteamanuensis Lars Magne Nerheim (Høgskolen i Bergen)

Forord

Denne rapporten er skrevet som besvarelse på masteroppgaven i masterprogrammet for Energiteknologi ved Universitetet i Bergen og Høgskolen i Bergen. Masteroppgaven utgjør 30 av totalt 120 studiepoeng i masterprogrammet for Energiteknologi med spesialisering innen Termiske maskiner: Drift og vedlikehold.

Temaet for oppgaven er valgt i det øyemed å indusere mer aktivitet på undersøkelser rundt spillvarmeutnyttelse ved Høgskolen i Bergen og Universitetet i Bergen. Spillvarmeutnyttelse, el. spillvarmegjenvinning (Eng: Waste Heat Recovery), blir idag ansett som et av de viktigste, kanskje *det* viktigste, utviklingsområdet for forbedring av virkningsgraden til termiske maskiner.

I 2007 fikk HiB en CHP-enhet, en enhet som produserer både elektrisitet og varme, av Statoil. Før CHP-enheten kom i HiBs eie, stod den på Statoils oljeraffineri på Mongstad hvor den ble testet av PKS. CHP-enheten ble der testet i forbindelse med Statoils eierskap i danske EC Power, som har produsert den. Tester ble utført for måle enhetens produserte elektriske effekt, varmeeffekt og virkningsgrader. Statoil benyttet også enheten til å teste en egenprodusert smøreolje.

Etter at enheten kom i HiBs eie, har det vært lite aktivitet. Enheten vil bli operert for første gang siden overtagelsen fra Statoil i sammenheng med denne oppgaven. Det har dermed medført et stort arbeid med å få enheten driftsklar igjen, og med å oppdrive og installere rett instrumenteringen. Måleresultatene som er oppnådd bærer preg av at arbeidet med å 'sette opp' enheten har vært krevende (og kanskje litt for omfattende for tiden som var tilgjengelig til dette prosjektet). Det er derfor benyttet måleresultater fra målinger utført i 2007 av PKS i sammenheng med en annen masteroppgaven til beregningene i denne oppgaven. Egne måleresultater har blitt brukt til å supplere tidligere resultater og til å bekrefte visse antagelser. Hvor egne resultater er brukt og hvor resultater fra 2007 er brukt, er presisert i oppgaven.

Ettersom dette er et førstegangssarbeid på CHP-enheten, fra HiB sin side, har jeg valgt å skrive noe utfyllende om teorien bak mine beregninger. Dette for å gjøre det enklere for påfølgende studenter å forsette arbeidet uten å måtte kaste bort tid på å tolke mine valg og metoder. Siden vi har manglet informasjon om CHP-systemet og dets nåværende sammenkobling og instrumentering, har arbeidet med oppgaven også måttet inneholde en del *reverse engineering*. Jeg har valgt å også prøve å få med så mye som mulig av denne prosessen i oppgaven. Dette gjør at

oppgaven har blitt en lang affære. Derfor foreslår jeg å lese oppgaven etter behov. Dersom én er nysgjerrig på utførelsen av målinger og beregninger, foreslår jeg at leseren hopper over Kapittel 2. Dersom én er interessert i teorien bak beregningsmetodene og valgene som er gjort, foreslår jeg at leseren også leser Kapittel 2. For å få en oversikt over hele arbeidet som er gjort i sammenheng med denne oppgaven foreslår jeg at leseren leser hele oppgaven.

Bergen, 17-08-2015

Jørgen Knutsen

Annerkjennelse

Takk til Trond Aas, Harald Moen, Frode Kvinge og Ørjan Høyvik for arbeidet som er gjort med å 'sette opp' og kjøre CHP-enheten. Takk til Norbert Lümmen og Lars Magne Nerheim for veileding av oppgaven. Og takk til mine medstudenter for samholdet vi har hatt og støtten vi har gitt hverandre i arbeidet med våre masteroppgaver.

J.K.

Oppsummering

Spillvarmeutnyttelse er et prinsipp som er stadig mer aktuelt i reduksjon av forbruk og utslipp fra termiske maskiner. Spillvarmeutnyttelse kan i hovedsak utføres på to måter: kombinert kraft og varmeproduksjon (CHP), hvor varme fra kraftproduksjon sammenslås og brukes til romoppvarming eller oppvarming av vann, eller *Waste Heat Recovery* (WHR), hvor spillvarme fra en prosess konverteres til kraft gjennom en varmekraftmaskin. Mikro-CHP brukes i private husstander og forretningsbygg. Tendensen i husstander er at varmebehovet går ned og elektrisitetsbehovet går opp. Ved å kombinere CHP og WHR kan det mulig produseres mer elektrisitet ved å konvertere varmen fra en CHP-enhet med en WHR-enhet.

I denne oppgaven er det utført analyse av energi, eksperiens og ekspergoøkonomi for en eksisterende CHP-enhet tilkoblet en tenkt ORC-krets. CHP-enhetens kraftprodusent, en stempelmotor, ble simulert med en iterativ beregningsmodell basert på modeller fra reell prosessanalyse. Videre ble analyse av energi, eksperiens og ekspergoøkonomi for CHP-enheten, CHP-enhetens komponenter og ORC-kretsen utført med regnearkmodeller. Beregningene ble utført på basis av tidligere målinger og egne målinger av CHP-enhetens ytelse. Applikasjon av ORC ble undersøkt i to konfigurasjoner: 1) tilkoblet kjølevannsrør etter utgang av CHP-enheten og 2) tilkoblet eksos i stedet for eksosgassvarmeveksleren som er der i dag.

Fra energianalysen kom det blant annet frem at CHP-enheten ved full effekt produserer 13,27 kW elektrisk effekt og 25,29 kW varme, tilsvarende en elektrisk virkningsgrad på 29 %, en varmevirkningsgrad på 55 % og en total virkningsgrad på 84 %.

Av eksergianalysen kom det frem at av CHP-enhetens viktigste indre komponenter er eksperiodelegelsen størst i stempelmotoren. Eksergivirkningsgraden var også nest dårligst for stempelmotoren (63 %) etter CHP-enheten som en helhet (45 %).

Av den ekspergoøkonomiske analysen kom det frem at elektrisitet og varme produseres med en lavere eksperispesifikk kostnad dersom en ORC-enhet tilkobles CHP-enheten, 6,16 mot 6,01 kr/kWh.

For videre arbeid anbefales det på kort sikt å ferdigstille måleoppsettet til et mer tilfredsstillende nivå og å utforske muligheter for utbedring av de termodynamiske modellen som er dannet for denne oppgaven. På lang sikt anbefales det blant annet å forsøke å bygge en ORC-krets som kan tilkobles enheten.

Summary

Waste heat recovery is a concept that is relevant for reducing consumption and emissions from thermal machinery. Waste heat recovery can be performed in two ways: by Combined Heat and Power production (CHP) or Waste Heat Recovery (WHR) where heat is excess heat is converted to power through a heat engine. Micro-CHP can be used in residential and office buildings. The tendency in residential buildings is that the demand for electricity is increasing while the demand for heat is decreasing. By combining a CHP-unit and a WHR-unit, it should be possible to increase the electrical output from the CHP-unit by using its produced heat.

In this thesis, energy, exergy and exergoeconomic analysis has been performed for an existing CHP-unit with an imagined WHR-unit attached. The power-producer in the CHP-unit, a piston engine, was simulated using an iterative model based on empirical relations from real-process analysis. Analysis of energy, exergy and exergoeconomics was performed on the CHP-unit, the unit's components and the ORC was performed using spreadsheet models. The models were based on measurements from 2007 and measurements performed by the author in 2015. Two configurations of the ORC were analysed: 1) connected to the piston engines exhaust, and 2) connected to the CHP-unit's cooling water.

The energy analysis showed that the engine at full effect produces 13,27 kW electricity and 25,29 kW heat with 29 % and 55 % efficiencies respectively. The total efficiency is 84 %.

The exergy analysis showed that of the internal components of the CHP-unit the piston engine has the highest rate of exergy destruction. It also has one of the lowest exergy efficiencies, only after the CHP-unit in total (63 % and 45 %).

The exergoeconomic analysis showed that the system with an ORC attached produced an exergy in the form of electricity and hot water at a lower exergy specific price than the system without an ORC.

For future work it is recommended that the work with completing the CHP-unit and its instrumentation is continued and that the thermodynamic models that were created for this thesis are further refined. It is also recommended that building the ORC be attempted.

Innhold

Forord	i
Annerkjennelser	iv
Oppsummering	vi
1 Introduksjon	1
1.1 Bakgrunn	4
1.2 Problemformulering	7
1.3 Objektiver	8
1.4 Litteraturgjennomgang	9
1.4.1 Modellering av CHP-system	9
1.4.2 Design av ORC-system	10
1.4.3 Eksergoøkonomisk analyse av kogenereringsenheter	11
1.5 Begrensninger	12
1.6 Tilnærming til problemet	12
1.7 Rapportens struktur	13
2 Teori	14
2.1 Spillvarmeutnyttelse	14
2.2 Kogenerering (CHP)	15
2.2.1 Stempelmotor som konverteringsteknologi	16
2.2.2 EC Power XRG1 13	21
2.3 Teknologi for kraftproduksjon fra spillvarme	24
2.3.1 Termoelektrisk generator (TEG)	25
2.3.2 Stirlingmotor	26

2.3.3 Phase Change Material (PCM)	27
2.3.4 Organiske dampkretser (ORC)	28
2.3.5 Design av ORC-krets	30
2.4 Energianalyse	36
2.4.1 Modellering av stempelmotorer	43
2.4.2 Modellering av Katalysator	50
2.4.3 Energianalyse av ORC-krets	52
2.5 Eksergianalyse	54
2.5.1 Andre lovs analyse	55
2.5.2 Omgivelser	57
2.5.3 Reversibelt arbeid og irreversibiliteter	58
2.5.4 Eksergibalanse	59
2.5.5 Fysisk eksperi	60
2.5.6 Kjemisk eksperi	61
2.6 Økonomisk analyse	62
2.6.1 Estimering av totale investeringskostnader	63
2.6.2 <i>Carrying Charges</i>	65
2.6.3 Inflasjon, eskalering og annuitet	65
2.7 Eksergøkonomisk analyse	67
3 Metode	70
3.1 CHP-anleggets utforming	70
3.2 Energi- og eksergianalyse	74
3.2.1 Energibalanse for CHP-enheten	76
3.2.2 Modellering av stempelmotor	81
3.2.3 Energibalanse for stempelmotoren	88
3.2.4 Modellering av ORC-krets	89
3.2.5 Eksergibalanse for CHP-enheten	92
3.2.6 Eksergibalanse for indre komponenter	93
3.3 Økonomisk analyse	93

3.3.1 Estimering av investeringskostnader	94
3.3.2 Estimering av drift- og vedlikeholdskostnader	94
3.3.3 Beregning av annuiteter	94
3.4 Eksergoøkonomisk analyse	98
4 Resultater	100
4.1 Måleresultater	100
4.2 Energianalyse	101
4.3 Eksergianalyse	106
4.4 Eksergoøkonomisk analyse	109
5 Diskusjon	111
6 Oppsummering	115
6.1 Konklusjon	115
6.2 Anbefalinger for fremtidig arbeid	116
Bibliografi	117
A CHP XRG 13G - Spesifikasjoner	134
B Toyota 3Y - Spesifikasjoner	136
C Input og output loggeprogram	138
D Termodynamisk data	140
E Krieger og Bormans Polynommetode	142
F Gassammensetning	145
G Måleresultater 10.07.2015	147
H Måleresultater 21.03.2007	149
I Omgivelser 21.03.2007	166

Kapittel 1

Introduksjon

Energi er, og har alltid vært, et viktig grunnlag for vekst og utvikling. Energi fra forbrenning har man utnyttet til oppvarming og kraft helt siden mennesket temmet ilden. Brennstoffet har med tiden utviklet seg fra ved til mer energiintense brennstoff som gass, kull og olje. Disse har vist seg å være uvurderlige for produksjon av kraft og varme og som primær drivkraft i transportmidler. En stadig økende verdensbefolknings samt stadig økende levestandard i høyt befolkede utviklingsland gjør at verdenssamfunnet blir mer og mer avhengige av ikke-fornybare, karbonbaserte brennstoff til kraft- og varmeproduksjon. Fra 1971 til 2012 ble verdens totale forbruk av primærenergi mer en doblet. Selv om det var en økning i forsyning fra ikke-fossile energikilder, var det lite forandring i andelen fossile brennstoff i den samme perioden (fra 86 % i 1971 til 82 % i 2012 [1]). Den store ulempen med bruk av fossile brennstoff er at effektiv forbrenning av disse karakteriseres av eksosgassutslipp med store andeler karbondioksid (CO_2). Fra 1870, tiden like etter den industrielle revolusjon, til i dag har CO_2 -utslipp fra brennstoff økt eksponentielt. I 2012 ble CO_2 -utslipp fra forbrenning av drivstoff anslått til å være 32 gigatonn [1]. CO_2 -utslipp fra forbrenning av fossilt brennstoff er fastslått å være et sterkt bidrag til drivhuseffekten. Høyere andel CO_2 i atmosfæren fører til økt drivhuseffekt, og dermed høyere gjennomsnittstemperaturer på jorden. I følge IPCC's Fifth Assessment Report fra 2013 er menneskets innflytelse på klimasystemet klar [2]. Med tanke på verdenssamfunnets energiavhengighet og dets fortsatte avhengighet av fossile brennstoff til energiproduksjon er det ønskelig å skape forbrenningsmaskiner og -systemer med lave spesifikke forbruk.

Spillvarmeutnyttelse er et miljøbesparende prinsipp, som innen kraftproduksjon gir lave spesifikke forbruk og gode termiske virkningsgrader. Spillvarmeutnyttelse innen kraftproduksjon handler om å utnytte overskuddsvarme enten til videre kraftproduksjon eller til oppvarming. Enheter for kombinert kraft- og varmeproduksjon (CHP) er et eksempel på spillvarmeutnyttelse hvor overskuddsvarmen fra kraftproduksjonen går til romoppvarming eller til oppvarming av varmtvann. Den kombinerte produksjonen av både kraft og varme kan resultere i totale virkningsgrader over 90 %. Prinsippet lar seg utføre i både større og mindre anlegg. Mindre kogenereringsenheter kalles mikro-kogenereringsenheter. Dette er enheter som brukes i skolebygg, boretslag, osv. Utviklingen av mikro-kogenerering har vært en utvikling mot desentralisering og ekstrem effektivitet innen energiproduksjon. Av EU defineres mikro-kogenereringsenheter som: "...en kogenereringsenhet med en maksimum kapasitet under 50 kW_{el}" [3]. En slik enhet kan baseres på flere termiske maskiner: stempelmotorer, sterlingmotorer, brenselceller, osv. Elektrisiteten fra CHP-enheten kan brukes i bygg eller eksporteres til nett.

Kraftproduksjon med varmekraftmaskiner med overskuddsvarme fra en annen prosess som drivstoff er et annet eksempel på spillvarmeutnyttelse. Slike varmekraftmaskiner kan være bl.a. dampkraftmaskiner (ORC), sterlingmotorer eller termoelektriske generatorer (TEG). Bruken av slike varmekraftmaskiner har blitt mer og mer utbredt ettersom teknologien har blitt mer moden og investeringskostnadene har gått ned. Tidligere var denne typen spillvarmeutnyttelse forbeholdt anlegg hvor spillvarmemengden var stor og ved høy temperatur, men de siste årene har teknologien også vært å finne i anlegg med mindre varmemengder og lavere temperaturer [4]. Utnyttelse av spillevarme ved relativt lave temperaturer (< 140°C) kalles lavtemperatur spillvarmeutnyttelse [4]. Denne typen spillvarmeutnyttelse har i de senere årene vært å finne i motorindustrien, både på skipsmotorer og på bilmotorer [5] [6].

I de ovennevnte CHP-enhetene brukes gjerne mindre stempelmotorer, av typen som vi finner i biler, som kraftprodusent. Det kunne tenkes at disse enhetenes elektriske virkningsgrad kunne utbedres med en påhengt varmekraftmaskin. En slik utbedring kunne være ønskelig i applikasjoner hvor varmebehovet er beskjedent, mens elektrisitetsbehovet er stort. Slike applikasjoner kan være kontorlokaler, produksjonslokaler, passivhus, e.l. For at et slik inngrep skal kunne utføres, må det undersøkes om det er teknisk utførbart og lønnsomt. Ut ifra det man har sett av utviklingen i bilindustrien, så kan man fastslå at applikasjonen av en varmekraft-

maskin for spillvarmeutnyttelse på bilmotorer i alle fall er teknisk mulig. Undersøkelser om en slik applikasjon er lønnsom, må utføres spesifikt for hvert anlegg. En velutviklet analysemetode for å undersøke om et termisk system er lønnsomt er *eksergoøkonomisk analyse* (også kalt termoøkonomisk analyse). Eksergoøkonomisk analyse er en kombinasjon av eksergianalyse og økonomisk analyse med den hensikt å optimere termiske design. Av Bejan et al. [7] beskrives eksergoøkonomisk analyse som "...eksergi-hjulpet kostnadsminimering".

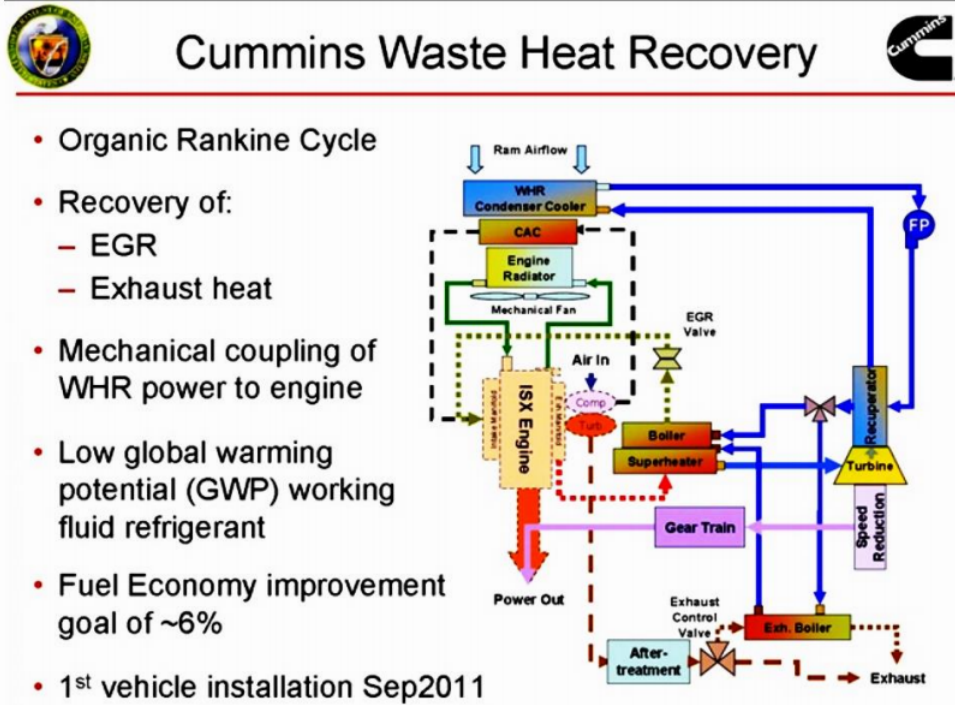
Eksergi er et mål på arbeidspotensiale brukt i termodynamikken. Eksergien i en spillvarmestrøm defineres som det maksimale arbeidet en varmekraftmaskin kan utføre når den arbeider mellom spillvarmekilden ved absoluttemperatur T_H og omgivelsene ved absoluttemperatur T_O . Netto mekanisk- (trukket fra eventuelt omgivelsesarbeid) og elektrisk arbeid er definert som hundre prosent eksergi. Eksergianalyse brukes til å fastslå ineffektiviteter (dvs. eksergiødelegelse og eksergitap) i systemet. For å kunne optimere systemet ønsker man å vite hva disse ineffektivitetene koster. Dette kan bestemmes ved økonomisk analyse på bakgrunn av den utførte eksergianalysen. Eksergoøkonomisk analyse er spesielt anvendelig på systemer med mer enn ett produkt. En CHP-enhet produseres som nevnt både elektrisk kraft og varme. I et slik system ønskes det å vite kostnadene tilhørende generering av hvert produkt, spesielt i et system hvor et produkt brukes til å danne et annet produkt (f.eks. i tilfellet av CHP-enhet med på hengt varmekraftmaskin for spillvarmeutnyttelse hvor spillvarme brukes til å produsere mer elektrisk kraft). Følgelig er formålet til en eksergoøkonomisk analyse enten å (a) kalkulere separate kostnader for hvert produkt i et system som har mer enn ett produkt, (b) forstå kostnaddannelsesprosesen og kostnadsflyten i systemet, (c) optimere spesifikke variabler i en enkel systemkomponent eller (d) optimere det samlede systemet [7].

I denne oppgaven ønskes det å optimere det samlede systemet med en påhengt ORC-krets. Om ORC-kretsen bidrar til en lavere eksergikostnad for enheten kan undersøkes ved at de eksergispesifikke kostnadene av kraft og varme sammenlignes for et scenario uten og et scenario med ORC-basert spillvarmeutnyttelse.

1.1 Bakgrunn

Forbrenningsmotoren er som nevnt en kraftprodusent som man stadig er avhengige av både i industriland og utviklingsland. I tillegg til å være en viktig kraftprodusent er også forbrenningsmotoren en kilde til eksosgassutslipp som er med på å øke drivhuseffekten. Det stilles derfor strengere og strengere krav til motoren. Disse kravene er drivere for utviklingen av mer og mer effektive motorer. De europeiske utslippskravene, Euro 1-6 for passasjerbiler og varebiler og Euro I-VI for lastebiler, har stilt krav til utslipp av karbonmonoksid (CO), hydrokarboner (HC), nitrogenokside (NO_x) og partikler (PM) siden Euro 1 og Euro I ble innført (01/1992). I Euro 6 (09/2014) er utslippsgrensene: 1,0 g/km CO, 0,1 g/km THC, 68 mg/km NMHC, 60 mg/km NO_x og 4,5 mg/km PM for bensindrevne kjøretøy og 0,5 g/km CO, 0,17 g/km HC+NO_x 80 mg/km NO_x og 4,5 mg/km PM[8]. Det stilles også krav til at alle biler skal merkes med drivstoffforbruk og spesifikke utslipp av CO₂ i g/km [9]. Følgelig er motorene som er i produksjon i dag mye mer effektive enn hva som ble produsert for 10-20 år siden. Den siste trenden innen effektivisering av forbrenningsmotoren, og andre termiske maskiner, er bruken av WHR-enheter. WHR-enheter kan brukes på både store og små motorer. De utnytter spillvarme, som alltid vil være tilstede i en varmekraftmaskin, og bruker denne til å produsere mer kraft. WHR-trenden har blant annet vært synlig i SuperTruck-initiativet fra den Amerikanske regjeringen. Som en del av initiativet har det lykkes Cummins å lage et motorsystem (se Figur 1.1) som øker den termiske virkningsgraden til en lastebilmotor med 10 %, fra 40 til 50 %. Neste mål er hele 55 % termisk virkningsgrad [5]. Bosch har også laget et system for spillvarmeutnyttelse for større nyttekjøretøy. Systemet er basert på en dampkrets med etanol som arbeidsfluid og skal kunne gi en drivstoffbesparelse på 5 % ved langtransport [10].

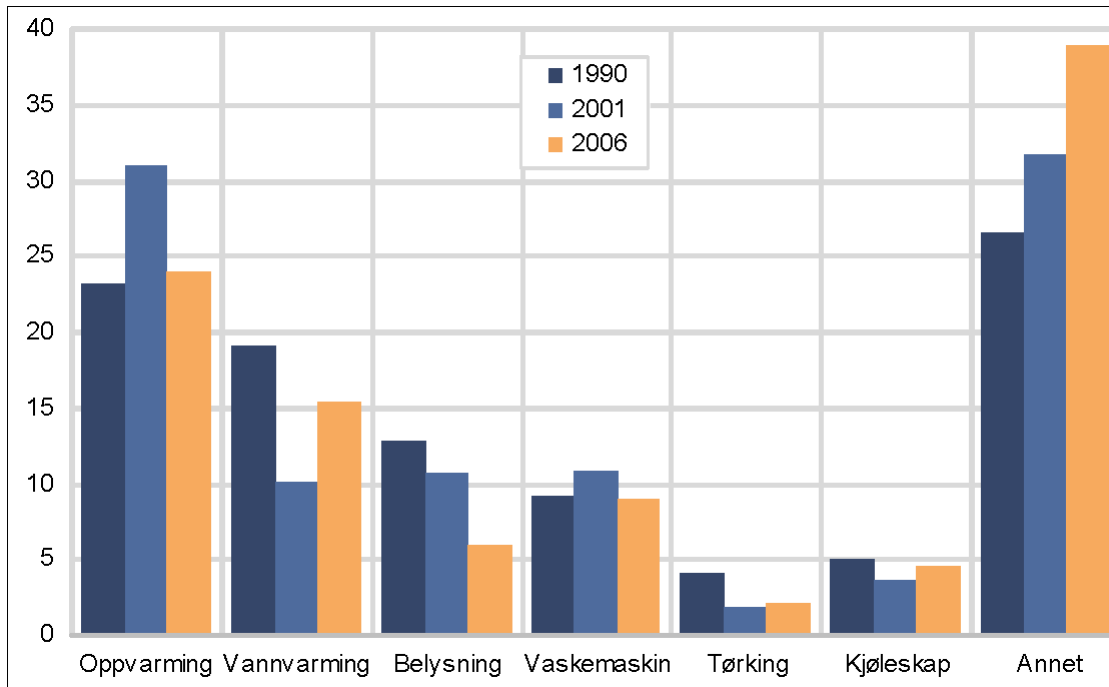
Høgskolen i Bergen har i sitt eierskap en CHP-enhet fra danske EC Power. CHP-enheten er en gassdrevet elektrisitet- og varmeproduserende enhet fra EC Power, av typen XRG 13. Dette er en utdatert modell i EC Powers katalog. De nåværende modellene er XRG 6, XRG 9, XRG 15 og XRG 20. Av disse er det XRG 15 som er mest nærliggende XRG 13-enheten. XRG 13 kan, i følge leverandør, levere opptil 13 kW elektrisitet ved 400 V og 29 kW varme, med total utnyttelsesgrad opp mot 95% ved elektriske laster over 10 kW (se Vedlegg A)[11]. Sentralt i CHP-enheten står en gassdrevet, naturlig aspirert Toyota 3Y stempelmotor. Denne har i følge teknisk datablad en ter-



Figur 1.1: Cummins system for spillvarmeutnyttelse på truckmotor [5]

misk virkningsgrad rett i overkant av 30 %. En økning i virkningsgrad i samme størrelsesorden som for motoren i Cummins' SuperTruck ville gi et merkbart løft i produsert kraft for enheten, samtidig som mengden spillvarmen ville blitt redusert. I sin nåværende tilstand leverer enhetene ca 28 % elektrisitet og 62 % varme med 10 % tap.

I følge EC Powers egne nettsider kan en XRG-1-enhet levere kraft og varme til en hvilken som helst bygning med et årlig energibehov mellom 30.000 kWh og 2.000.000 kWh. Dette gjelder alt fra leilighetskomplekser til kontorbygg til skolebygg til sykehus og sykehjem. Norges bygningsmasse bruker i dag store mengder elektrisitet, bl.a. til romoppvarming. Norge var i 2012 på verdenstoppen i bruk av elektrisk energi i husholdningen, bare etter Kuwait [12]. Statistikk fra SSB viser at i 2012 besto norske husholdningers energiforsyning av 79,3 % elektrisitet, 15,8 % ved, kull og koks, 3,5 % olje og parafin og 1,4 % gass og fjernvarme [13]. En undersøkelse av formålsfordelingen av husholdningenes elektrisitetsforbruk fra 2006 viste at 20 % av elektrisitetsforbruks gikk til romoppvarming og 16 % gikk til vannvarming [14]. Resten av elektrisiteten gikk til belysning hvitevarer og brunevarer. Tendensen de senere år har vært at husholdningens samlede energiforbruk har gått ned, samtidig som bruken av energi til "luksusvarer" som TV, stereo, PC,



Figur 1.2: Formålsfordeling av husholdningens elektrisitetsforbruk i 1990, 2001 og 2006 (temperaturkorrigert) [14]

osv. har gått opp. Nedgangen i energibruk i eksisterende bygg skyldes høye strømpriser, større andel varmepumper og mildere klima [12]. Nedgang av energibruk i nybygg skyldes stadig strengere byggekrav (TEK 10 tok over for TEK 07 fra 1. juli 2010 og TEK 17 er allerede på vei) og større andel leiligheter. En undersøkelse fra 2006 viste at elektrisitetsforbruk til romoppvarming og vannvarming har variert foregående år. Samtidig har forbruket til "annet" økt jevnt (se Figur 1.2)[14].

I tjenesteytende virksomheter er bildet noe det samme. Fordelingen av energiprodukter forbrukt i tjenesteytende virksomheter i 2011 var 77,3 % elektrisitet, 18,1 % fjernvarme, 2,7 % fyrringsolje, 1,2 % naturgass og 0,6 % biobrensel viser en undersøkelse fra 2013 [15]. Tjenesteytende virksomheter er definert som kontorbygg, skoler, kulturbygger, sykehus, sykehjem osv. Samme undersøkelse viser at 44 % av bygningsmassen for tjenesteytende virksomheter har systemer for vannbåren varme, ypperlig for tilkobling av en CHP-enhet som XRG-13. I forslaget til TEK 15 (nå omtalt som TEK 17) antydes det en kraftig reduksjon i det spesifikke energiforbruket til nybygg. Spesielt kontorbygg vil oppleve en kraftig reduksjon i tillatt energiforbruk. Energiforbruk skal kuttes ved større krav til isolasjon, solskjerming og varmegjennvinning i ventilasjonsanlegg

[16]. Følgelig vil varmebehovet gå kraftig ned, samtidig som behovet for elektrisitet-forbrukende teknologi som datamaskiner, skjermer o.l. vil være det samme.

Ved implementering av en kraft-varme CHP-enhet vil det da være ønskelig å forskyve forholdet mellom produsert elektrisitet og varme mot en høyere andel elektrisitet. Som suksessen med SuperTruck initiativet har vist, så er det mulig å betydelig øke virkningsgraden for kraftproduksjon ved bruk av påhengte WHR-enheter. Når det behovet og den tekniske gjennomførbarheten er identifisert følger alltid spørsmålet om økonomisk gunstighet. Det er verdt å merke seg at Toyota 3Y motoren, som står i CHP-enheten, er en 2 liters rekkefirer sammenlignet med Cummins ISX som er en 14,9 liters rekkesekser. Det fysiske størrelsesforholdet gjenspeiles også i forholdet mellom de to forbrenningsmotorene tilgjengelige spillvarme. For å undersøke økonomisk gunstighet, må en eventuell økning i virkningsgrad prissettes. Dette kan gjennomføres ved exergoøkonomisk analyse.

1.2 Problemformulering

Kombinert kraft- og varmeproduksjon er en effektiv metode for energikonvertering som er anvendelig i flere bygningstyper. Dessverre er ikke kraft og varme like anvendelige produkter. I CHP-enheten XRG1 13 konverteres tilført kjemisk energi til ca 28 % elektrisk kraft og 62 % varme med 10 % tap. I EC Powers nyere, tilsvarende enhet XRG1 15 konverteres tilført energi til ca 30 % elektrisk kraft og 62 % varme med 8 % tap. I et samfunn hvor kravet til energieffektivitet går opp er slike desentraliserte enheter ypperlige for å hindre tap i store kraftproduksjonsanlegg, om ikke i Norge så iallefall i andre europeiske land. I Norge ser vi at energibruken går ned, da spesielt energibruken til oppvarming. Med denne reduksjonen i oppvarmingsbehov vil CHP-enhetens fordeling, med ca én tredel elektrisitet produsert og to tredeler varme, være skeiwt fordelt i forhold til behov. En forskyvning i produksjonen av kraft og varme kan utføres ved bruk av en varmekraftmaskin for spillvarmeutnyttelse. Bruken av slike varmekraftmaskiner har lenge vært utbredt i store industrianlegg, og er nå også å finne på mindre enheter som truckmotorer som Cummins organiske dampkrets [5] og Boschs etanol-baserte dampkrets [10]. Applikasjon av en dampkrets i CHP-enheten vil bidra til høyere elektrisitetsproduksjon på bekostning av levert varme.

Undersøkelser rundt applikasjon av en enhet for spillvarmeutnyttelse kan evalueres fra et rent teknisk ståsted, men ettersom det ofte er lønnsomheten som bestemmer om en slik enhet skal implementeres, er det også interessant å evaluere fra et økonomisk ståsted. Økonomien til et termisk system er knyttet til systemets tekniske utførelse. I et system med store ineffektiviteter vil kostnadene per produsert vare være store, det sies da gjerne at kostnadsformasjonen er stor. I effektive, godt teknisk utførte systemer vil kostnadsformasjonene være små, og den spesifikke kostnaden per vare vil dermed være lav. En analysemetode som kobler teknisk utførelse og økonomi er eksteroøkonomisk metode. Ved denne metoden bestemmes systemets kostnadsformasjon og den spesifikke kostnaden til systemets produkter basert på energi- og eksergianalyse av systemet. Følgelig må det utføres energi- og eksergianalyse av CHP-enheten og av enheten for spillvarmeutnyttelse før det til slutt kan utføres en eksteroøkonomisk analyse av systemet for å bestemme den eksergispesifikke produksjonskostnaden av elektrisitet og varme.

1.3 Objektiver

Det skal utføres en eksteroøkonomisk analyse av CHP-enheten for å undersøke om det er mulig å øke andelen produsert elektrisitet ved bruk av varmekraftmaskin for spillvarmeutnyttelse med akseptable kostnader. Som en del av den eksteroøkonomiske analysen må det dannes termodynamiske modeller for å bestemme energi- og eksnergistrømmene i systemet. Disse modellene baseres på målinger som er utført i Statoils regi.

Punktvis er oppgavens objektiver:

1. Danne termodynamiske modeller av CHP-enheten, enhetens komponenter og dampkrets,
2. Utføre egne målinger på CHP-enheten,
3. Bestemme energiflytene i systemet,
4. Bestemme eksergiflytene i systemet,
5. Bestemme systemets økonomi, og
6. Utføre eksteroøkonomisk analyse av systemet med og uten dampkrets.

1.4 Litteraturgjennomgang

Eksergoøkonomisk analyse fordrer som nevnt at det også utføres en energi- og eksbergikartlegging av systemet eller at det ligger en tidligere utført energi- og eksbergianalyse til grunne. Arbeidet i denne oppgaven er et førstearbeid, og det involverer dermed både energi- og eksbergikartlegging og eksergoøkonomisk analyse. CHP-enheten som undersøkes har ikke vært testkjørt av Høgskolen i Bergen ved tidligere anledninger, og mye tyder på at den har stått stille siden 2007. Da ble den kjørt i sammenheng med en masteroppgave ved Universitetet i Stavanger. Masteroppgaven av Øystein Lindberg [17] har andre objektiver enn denne oppgaven, men noe av oppgaven har blitt brukt til kartlegging av CHP-enheten og instrumenteringen påsatt av PKS Mongstad. Måleresultater fra oppgaven til Øystein Lindberg [17] er benyttet som input til beregningsmodellene i denne oppgaven.

Det er i litteratursøket fokuseret på få, men gode og nyttige referanser som bidrar til beste løsning på problemet. Den brukte litteraturen kan ordnes i tre kategorier: litteratur om modellering av CHP-systemet, litteratur om design av ORC-system og litteratur om utførelse av eksergoøkonomisk metode.

1.4.1 Modellering av CHP-system

Modeller for CHP-enheter er stadig viktigere for evaluering av helårlig ytelse og for optimalisering av systemets design og operasjon [18]. For å lage en nøyaktig modell av en CHP-enhet er man avhengig av en nøyaktig modell av energikonverteringenheten; i dette tilfellet en stempelmotor. Stempelmotorens ytelse kan i noen tilfeller simuleres ved virkningsgradkurver, der disse er tilgjengelig. Ofte er ikke empiriske virkningsgradkurver tilgjengelig, men heller virkningsgrader i et normert operasjonspunkt[19]. I dette tilfellet er det mulig å danne modeller med antatt konstante virkningsgrader over et lastområde. Dette er brukt i flere CHP-analyser [20, 21, 22]. Termodynamiske modeller med grunnlag i konstante virkningsgrader er brukende der hvor CHP-enheten opererer med konstant last, men faller gjennom der hvor CHP-enheten er utsatt for varierende laster med naturlig påfølgende varierende virkningsgrader uansett valg av lastvarieringsstrategi. For å øke nøyaktigheten til beregninger med virkningsgrader for CHP-enheten har det blitt utført kurvetilpasninger med tredje og andre grads polynom [23, 24]. Ikke-

lineære kurver for elektrisk og termisk virkningsgrad er effektive, men vanskelig å bruke i programmering i forbindelse med optimalisering av CHP-system [18]. Null- og én-dimensjonal termodynamisk analyse av stempelmotorer er vel så anvendelig for bruk i energianalyse av CHP-systemer, og de lineære relasjonene analysen består av er også brukende til optimalisering. Termodynamiske modeller og modeller for gassutveksling er presentert av blant andre Heywood [25] og Stone [26]. Yun et al. [18] har, basert på disse, utviklet en én-sone modell for en stempelmotor for kraftproduksjon og spillvarmeutnyttelse med brukervennlig HMI programert i FORTRAN. Lignende har Cuddihy [27] utformet en brukervennlig to-sone modell basert på MatLab.

1.4.2 Design av ORC-system

Undersøkelser rundt ORC kan i følge Wang et al. [28] deles i tre kategorier: ORC for utnyttelse av geotermisk energi, ORC for utnyttelse av solvarme og ORC for spillvarmeutnyttelse. Studiet av Wang et al. [28], som omhandler valg av arbeidsfluid til ORC for spillvarmeutnyttelse i motor, trekker frem flere arbeider rundt ORC til spillvarmeutnyttelse. Hung et al. [29] undersøkte ORC-virkningsgrad ved bruk av kjølemiddlene benzen (C_6H_6), ammoniakk (NH_3), R11, R12, R134a og R113 som arbeidsfluid. Maizza and Maizza [30] har undersøkt de termodynamiske og fysiske egenskapen til 20 ukonvensjonelle arbeidsfluider til bruk i ORC med spillvarme som varmekilde. Liu et al. [31] undersøkte effekten av 10 forskjellige arbeidsfluider på den termiske- totalvarme virkningsgraden til en ORC. Wei et al. [32, 33] analyserte systemytelse og optimaliserte arbeidsbetingelser for en ORC med R245fa. Wang et al. [28] selv undersøkte ytelsen til flere kjølemiddel ved varierende driftsbetingelser betinget av en kjøretøymotor. Ytelsen til en ORC er ikke bare styrt av valg av kjølemiddel, men også blant annet valg av konfigurasjon og komponenter. Valg av konfigurasjon vil forandre driftsbetingelsene til ORC'en og vil dermed også styre valg av arbeidsfluid. Song et al. [34] utførte en termodynamisk analyse og ytlesesoptimalisering av en ORC applisert til spillvarmeutnyttelse på en marin dieselmotor. Det ble undersøkt muligheter for bruk av både eksos, kappevann og en kombinasjon av de to som varmekilde. Av kjølemiddel ble bruken av R236ea, R236fa, R600, R600a, R123, R134a og R245fa undersøkt ved fordampning ved lave temperaturer (kappevann som varmekilde). Ved fordampning ved relativt høye temperaturer (eksos som varmekilde) ble bruken av sykloheksan, benzen, toluen, nonan og dekan

undersøkt. Som synlig i referanse [34] setter valg av konfigurasjon driftsbetingelser som også påvirker valg av arbeidsfluid. Driftsbetingelsene vil også påvirke valg av komponenter. Ekspander er en meget viktig komponent i ORC. Ekspanderen fungerer på volumbasis, og dens ytelse er dermed også avhengig av valg av arbeidsfluid. Quoilin et al. [35] presenterte en metode for samtidig valg av arbeidsfluid og ekspander ved operasjonskart. Operasjonskartet består i dette tilfellet av operasjonsgrensene for en type ekspandermaskin ved bruk av forskjellig arbeidsfluid plottet i et diagram med kondensasjonstemperatur på x -aksen og fordampningstemperatur på y -aksen. Metoden er ytterligere beskrevet i Seksjon 2.3.5 i denne oppgaven.

1.4.3 Eksergoøkonomisk analyse av kogenereringenheter

Det er flere måter å evaluere et termisk system, blant annet på bakgrunn av: oppnådd termisk virkningsgrad (energianalyse), oppnådd termisk virkningsgrad i forhold til maksimalt oppnåelig virkningsgrad (eksegianalyse) og kostnadene assosiert ved oppnådd termisk virkningsgrad (eksgergiøkonomisk analyse). Eksergoøkonomisk analyse bygger på ekssegianalyse, og binder sammen eksnergistrømmene i systemet og deres respektive kostnader. Kostnadene assosiert med hver eksnergistrøm i systemet beregnes ved kostnadsbalanser for hver komponent i systemet. For komponenter med antall utgående konstadsstrømmer større en én trengs det tilleggsrelasjoner. Det finnes forskjellige tilnæringer til å formulere tilleggsrelasjoner. Disse kan i følge Lazzaretto and Tsatsaronis [36] deles inn i to grupper:

1. *Bokføringsmetoder* (f.eks. [37, 38, 7, 39]) som har som mål å bestemme kostnadene assosiert med et systems produktstrøm, evaluere komponenter eller systemer eller iterativ optimering av et energisystem.
2. *Lagrange-baserte tilnærninger* (f.eks. [40, 41, 42, 36]) som har som mål å optimalisere systemet og å beregne marginalkostnader.

Bejan et al. [7] presenterer det fundamentale i eksjergi-bokføringsmetoden, med anvendelse mot et enkelt CHP-system. Av Bejan et al. [7] presenteres også metoder for formulering av tilleggsrelasjoner for å løse kostnadsbalansene som dannes. Ved n eksnergistrømmer ut av en komponent behøves det generelt $n - 1$ relasjoner for å løse kostnadsbalansen.

Eksergo-økonomisk analyse applisert til CHP-system har blitt utført både med fokus på optimalisering og på kartlegging av systemets eksergo-økonomi. Khaljani et al. [43] har utført en analyse av energi, eksperi og ekservoøkonomi for et CHP-system basert på en gassturbin kombinert med en ORC. Av studiet kom det blant annet frem at forbrenningsrommet, dampgenerator for varmegjenvinning(*boiler*) og gassturbinen er de tre komponentene med høyest kostnadsdannelsessrate, og dermed også de viktigste komponentene for systemets ekservoøkonomi. Den ekserviøkonomiske analysen ble utført med SPECO-metoden (beskrevet i referanse [36]). Yildirim and Gungor [44] appliserte ekservoøkonomi til et CHP-system basert på en turboladet MAN 12 V 32/40 dieselmotor. Av dette studiet kom det frem at komponenten med størst ekserviødeleggelse var dieselmotoren og komponenten med nest størst ekserviødeleggelse var ladeluftkjøleren. Her ble også SPECO-metoden brukt.

1.5 Begrensninger

Arbeidet som er gjort i denne oppgaven er et initierende arbeid for undersøkelser rundt spillvarmeutnyttelse med fokus på CHP-enheten som er i Høgskolen i Bergens eie. Denne CHP-enheten har ikke vært i bruk siden 2007 før målinger ble gjort i sammenheng med denne oppgaven. I tillegg til at enheten har stått stille, har det meste av dokumentasjon blitt borte i løpet av denne tiden. Det medfører at dette prosjektet har inneholdt en del arbeid med kartlegging av og oppstart av systemet. Kartlegging og oppstartssprosessen har vært tidkrevende, noe som har begrenset den teoretiske dybden i denne oppgaven. Allikevel er det forsøkt å løse den fremstilte problemstillingen med det nyeste av forskning.

1.6 Tilnærming til problemet

Som nevnt inkluderer arbeidet med denne oppgaven en tidkrevende kartleggingsprosess. Det vil dermed bli et naturlig fokus på bestemmelse av CHP-systemets fysiske utførelse, måleoppsettets utførelse, og systemets masse- og energistrømmer. Baserte på dette vil det utføres analyser av

eksergi og ekservoøkonomi for CHP-enheten. Det vil til sist utføres en undersøkelse av systemets ytelse ved en tenkt ORC-krets applisert til enheten. Det vil i denne sammenheng regnes nye eksnergispesifikke kostnader for produksjon av elektrisk effekt og varmtvann ved ekservoøkonomisk analyse.

Beregningene baseres på 0- og 1-dimensjonale modeller av CHP-enheten og dens komponenter.

1.7 Rapportens struktur

Rapportens kapitler etter introduksjonen er: Kapittel 2: Spillvarmeutnyttelse, Kapittel 3: Metode, Kapittel 4: Resultater, Kapittel 5: Diskusjon og Kapittel 6 Konklusjon og videre arbeid. I Kapittel 2 presenteres noen av de viktigste prinsippene for spillvarmeutnyttelse, inkludert kogenerering og kraftproduksjon ved ORC, samt teorien bak beregningene i oppgaven. I Kapittel 3 presenteres metodene for energi-, eksperi-, økonomisk- og ekservoøkonomisk analyse. Her vil den termodynamiske analysen av CHP-enheten i sin helhet og de individuelle komponentene presenteres i to seksjoner; først energianalyse deretter eksergianalyse. Økonomisk analyse og ekservoøkonomisk analyse er utført for CHP-enheten i sin helhet, med og uten påhengt ORC krets.

Kapittel 2

Teori

2.1 Spillvarmeutnyttelse

Spillvarmeutnyttelse handler om å utnytte varme som produseres, men ikke utnyttes, i en prosess. Varmen kan utnyttes i sin form til romoppvarming eller vannoppvarming, eller konverteres til arbeid med en varmekraftmaskin. Spillvarme kan være i form av forhøyet termisk energi i en massestrøm eller det kan være varme som går tapt i prosessen ved varmeovergangsprosesser som konveksjon og stråling. Av disse er det forhøyet termisk energi i en massestrøm som er mest anvendelig. Den termiske energien i en massestrøm er avhengig av fluidets strømningsraten, spesifikke varmekapasitet og temperatur. Tilgjengelig varmemengde i en massestrøm finnes ved:

$$\dot{Q} = \dot{m} \cdot c_{p,\text{avg}} \cdot (T_1 - T_2) \quad (2.1)$$

Konvertering av spillvarme til arbeid er, som all kraftproduksjon med varmekraftmaskiner, begrenset av Carnot-virkningsgraden og mekaniske virkningsgrader. Carnot-virkningsgraden er basert på en tenkt syklus som opererer med isentropisk kompresjon, isotermisk varmetilførsel, isentropisk ekspansjon og isotermisk varmebortførelse, og er den høyeste oppnåelige virkningsgraden for kraftproduksjon mellom to varmereservoarer ved temperaturene T_H og T_L . Carnot-virkningsgraden beregnes ved:

$$\eta_{\text{carnot,th}} = 1 - \frac{T_L}{T_H} \quad (2.2)$$

Ved evaluering av en termisk maskins ytelse er det naturlig å undersøke hvordan maskinen presterer i forhold til en Carnot-maskin ved samme temperaturbetingelser. Dette gjøres ved å beregne maskinens andre lovs virkningsgrad η_{II} . Andre lovs virkningsgrad er forholdet mellom maskinens termiske virkningsgrad og Carnot-virkningsgraden:

$$\eta_{II} = \frac{\eta_{th}}{\eta_{carnot,th}} \quad (2.3)$$

η_{II} er med andre ord et mål på utnyttet arbeidspotensial.

Ved andre typer spillvarmeutnyttelse hvor både produsert kraft og varme fra en konverteringsenhet utnyttes, som for eksempel ved kogenerering, evalueres systemet ut fra dets totale virkningsgrad η_{tot} . Den totale virkningsgraden er summen av systemets el.virkningsgrad η_{el} og varmeverkningsgrad η_{varme} , og beregnes ved:

$$\eta_{tot} = \eta_{el} + \eta_{varme} = \frac{\dot{W} + \dot{Q}}{\dot{Q}_{inn}} \quad (2.4)$$

hvor \dot{W} er produsert elektrisk arbeid og \dot{Q} er produsert varme. \dot{Q}_{inn} kan for eksempel være forbrenningsentalpi LHV medfølgende et drivstoff.

I seksjonene under følger en introduksjon av noen av de forskjellige prinsippene for spillvarmeutnyttelse. Seksjon 2.2 inneholder en presentasjon av prinsippet for kogenerering. Seksjon 2.3 inneholder presentasjon av noen av prinsippene for kraftproduksjon fra spillvarme. Prinsippene som presenteres er henholdsvis: termoelektriske generatorer (Subseksjon 2.3.1), strømmotoren (Subseksjon 2.3.2), PCM (Subseksjon 2.3.3) og organiske dampkretser (Subseksjon 2.3.4).

2.2 Kogenerering (CHP)

Kogenerering, eller kombinert varme- og kraftproduksjon (CHP), er samtidig produksjon av både elektrisk kraft og anvendbar varme. Kogenerering defineres i følge WADE [45] av tre elementer: 1) samtidig produksjon av både kraft og varme, 2) produksjon ved høye totale virk-

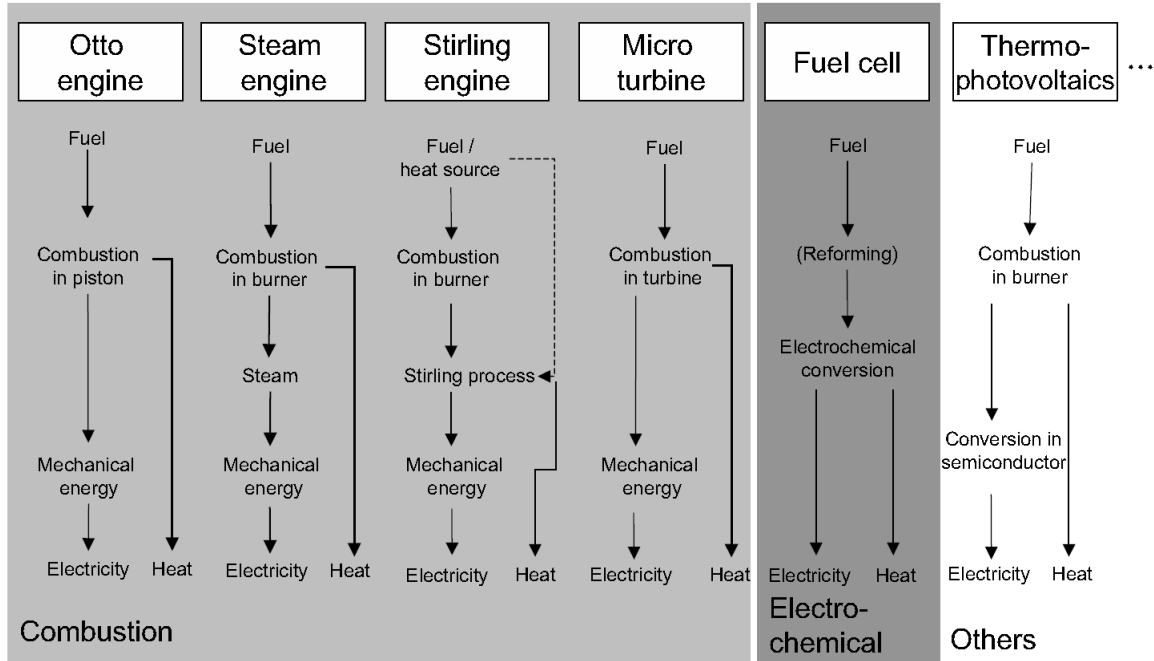
ningsgrader og 3) nærhet til forbruker. Prinsippet er anvendelig i både store anlegg, som BIRs anlegg for avfallsenergi i Rådalen (8 MW_{el} og 60 MW_{varme}), og små anlegg, som XRGIs enheten som omtales i denne oppgaven (13 kW_{el} og 29 kW_{varme}). Av EU opereres det med tre definisjoner på kogenereringsenheter basert på størrelsesordenen. En enhet som kan operere i kogenereringsmodus kalles en '*cogeneration unit*'. Enheter som produserer mindre enn 50 kW_{el} defineres som en '*micro-cogeneration unit*'. Enheter med maksimum kapasitet mindre en 1 MW_{el} defineres som '*small scale cogeneration*'.

XRGIs 13-enheten har en maksimum kapasitet på 13 kW_{el} og er dermed etter EUs mål definert som en *micro-cogeneration unit*, eller på norsk mikro-kogenereringsenhet. Selv om definisjonen fra EU er klar, finnes det forskjellige bruk av begrepet mikro-kogenerering. Pehnt et al. [46] definerer en mikro-kogenerering som: "simultan generering av oppvarming, eller kjøleenergi, og kraft i en individuell bygning basert på små energikonverteringsenheter under 15 kW_{el}." Å definere mikro-kogenerering under 15 kW_{el} er i følge Pehnt et al. [46] mer hensiktsmessig ettersom mikro-kogenereingsenheter tydeligvis er ment til å brukes i husstander, små forretninger, skolebygg, hotell, osv, og må skiller fra større enheter/anlegg som er ment brukt til distriktforsyningssformål. De minste CHP-enhetene skiller seg også ut på andre områder: produsert elektrisk effekt distribueres som regel innad i bygget, og ikke ut på nett, mikro-CHP-enheter eies som oftest av bedrifter eller privatperson for å dekke deres eget behov og mikro-CHP-enheter behøver ikke utbygging av nettverk for varmedistribusjon, i motsetning til anlegg for distriktsoppvarming.

2.2.1 Stempelmotor som konverteringsteknologi

I senter av enhver CHP-enhet står en konverteringsenhet. Konverteringsenhetens formål er å omdanne kjemisk energi lagret i flytende, solid eller gassforming drivstoff eller varme til arbeid. En rekke konverteringsteknologier er tilgjengelige for bruk i mikro-CHP-enheter, for eksempel stempelmotorer, stirlingmotorer, gassturbiner, dampstyrer, osv. (se figur 2.1)

I EC Powers CHP-enheter brukes det en stempelmotor som konverteringsenhet. I en stempelmotor omformes kjemisk energi til mekanisk arbeid ved at drivstoff forbrennes i forbrenningskammer. Trykkökningen som følge av forbrenning fortrenger et stempel som tilkoblet en veivstang overfører mekanisk kraft til aksel. Den mekaniske kraften konverteres så til elektrisk kraft i en elektrisk generator. I forbrenningskammer utvikles det mye varme. For å hindre over-



Figur 2.1: Oversikt over noen konverteringsteknologier for bruk i mikro-konverteringsenheter [46]

oppheeting er stempelmotorer utstyrt med kappevannskanaler iylinderforingen for nedkjøling av forbrenningsrommet. I en CHP-enhet samles denne varmen og varmen fra motorens smøreolje til bruk til oppvarming. Store deler av forbrenningsvarmen forlater forbrenningsrommet med eksosgassene. Denne varmen kan samles opp i en varmeveksler. Oppsamlingen og bruken av varmen som utvikles i stempelmotoren gir meget høye virkningsgrader. Der en stempelmotor som ikke utnytter overskuddsvarmen har en total virkningsgrad rundt 30 % kan en CHP-enhet ha en virkningsgrad over 90 %.

Ved valg av forbrenningsmotor til bruk i kogenerering fokuseres det på forbrenningssystem, driftspunkt og driftsstrategi. I sammenheng med bruk av stempelmotorer i CHP-enheter definerer Hoff and Köper [47] fem størrelseskategorier:

- Large-CHP: $P_{el} > 2 \text{ MW}$
- Small-CHP: $P_{el}; 50 \text{ kW}-2 \text{ MW}$
- Mini-CHP: $P_{el}; 10 - 50 \text{ kW}$
- Micro-CHP: $P_{el}; 2,5 - 10 \text{ kW}$

- Nano-CHP: $P_{el} < 2,5 \text{ kW}$

I *small-CHP* og *large-CHP* brukes motorer som er utsprunget fra industri-dieselmotorer. I *mini-CHP* er i følge Hoff and Köper [47] Toyota 4Y og Toyota 3Y motorene mest brukt. Toyota 3Y/4Y er Otto-sugemotorer, dvs motorer med fremmedtenning og uten turbo-/superlading. Utvikling og drift av slike motoren for kogenereringsformål fokuserer på høye virkningsgrader og holdbarhetsoptimering. Optimering av holdbarhet grunner i ønsket økning av robusthet (reduksjon av friksjon) og bekjempelse av dårlig egnede forbrenningsprosesser med lave virkningsgrader. Utvelgelse av stempelmotorteknologi for å oppnå høy virkningsgrad og optimal holdbarhet inkluderer valgene [47]:

- valg av utslippsstrategi,
- valg av sylinderlading,
- valg av driftsstrategi,
- valg av lastvariasjon og
- valg av hastighetsområde.

Valg av utslippsstrategi

Valg av utslippsstrategi handler om valg av støkiometrisk ellet mager brennstoff-luftblanding. Forbrenning karakteriseres av oksidering av et flytende, solid eller gassformig brennstoff. I tilfellet forbrenning i en stempelmotor er dette brennstoffet som regel et flytende eller gassformig hydrokarbon. Støkiometrisk luftmengde er definert som den minste luftmengden som gir komplett oksidering av brennstoffet. Luftoverskuddstallet λ betegner forholdet mellom faktisk luftmengde og støkiometrisk luftmengde og er definert som:

$$\lambda = \frac{\text{Faktisk luftmengde}}{\text{Støkiometrisk luftmengde}} \quad (2.5)$$

Det er en rekke fordeler med mager kontra støkiometrisk brennstoff-luftblanding. Lavere brennstoffmengde i sylinderen gir lavere makstrykk som igjen gjør at det stilles lavere krav til

materialer, og det vil også være mindre mindre produksjon av NO_x . Mindre brennstoff i sylinder gir også mindre følsomhet for motorbank, noe som gjør det mulig med høyere kompresjon i sylinder. Rikelig med oksygen til forbrenningen gir også høyere termiske virkningsgrader, og reduserte utslipp gjør at billigere komponenter for avgassrensing kan brukes. Det kan for eksempel brukes en to-veis katalysator i stedet for en tre-veis katalysator. Det er også noen ulemper involvert ved mager drift. Ved å utnytte muligheten for høyere kompresjon gjort tilgjengelig av redusert følsomhet for motorbank kan man igjen øke utslipp av NO_x . Høyere luftoverskuddstall gir også lavere tenningsvillighet, og for høyt luftoverskuddstall kan gi tenningsproblemer. I tillegg vil lavere indikert middeltrykk samtidig som identisk friksjonstap som for støkiometrisk brennstoff-luftblanding gir lavere virkningsgrad.

For de minste CHP-enhetene oppveier ulempene fordelene, og alle nye CHP-enheter med maksimum kapasitet mindre enn 10 kW_{el} driftes derfor med støkiometrisk brennstoff-luftforhold [47].

Valg av sylinderlading

En stempelmotors kapasitet styres av luftmengden i forbrenningsrommet. Det er mengden luft som bestemmer hvor mye brennstoff som kan benyttes når utslippsstrategien allerede er bestemt. Superlading er fellesbetegnelsen på bruk av kompressor for å skyve mer luft inn i forbrenningsrommet. Turbolading er betegnelsen på det spesielle tilfellet hvor stempelmotoresns avgasser driver kompressoren gjennom en turbin. Superlading, eller turbolading, fordrer bruken av en ekstra komponent i systemet, med de potensielle reduksjonene i holdbarhet dette medfører. Det er per i dag ingen kogenereringenheter under 30 kW_{el} som benytter superladede motorer. Dette på grunn av dårlige erfaringer med små turboladere [47].

Valg av driftsstrategi

Valg av driftstrategi handler hovedsaklig om valget av modulering eller ikke modulering. En CHP-enhet uten modulering opererer med kun ett driftspunkt definert av én last og ett turtall. CHP-enheter uten mulighet for modulering har kortere årlig driftstid enn kogenereringenheter med modulering, dette på grunn av manglende evne til å tilpasse seg brukers kraft- og varmeforespørsel. CHP-enheter styres etter varmebehovet. Dersom varmeavtagningen i den hete kret-

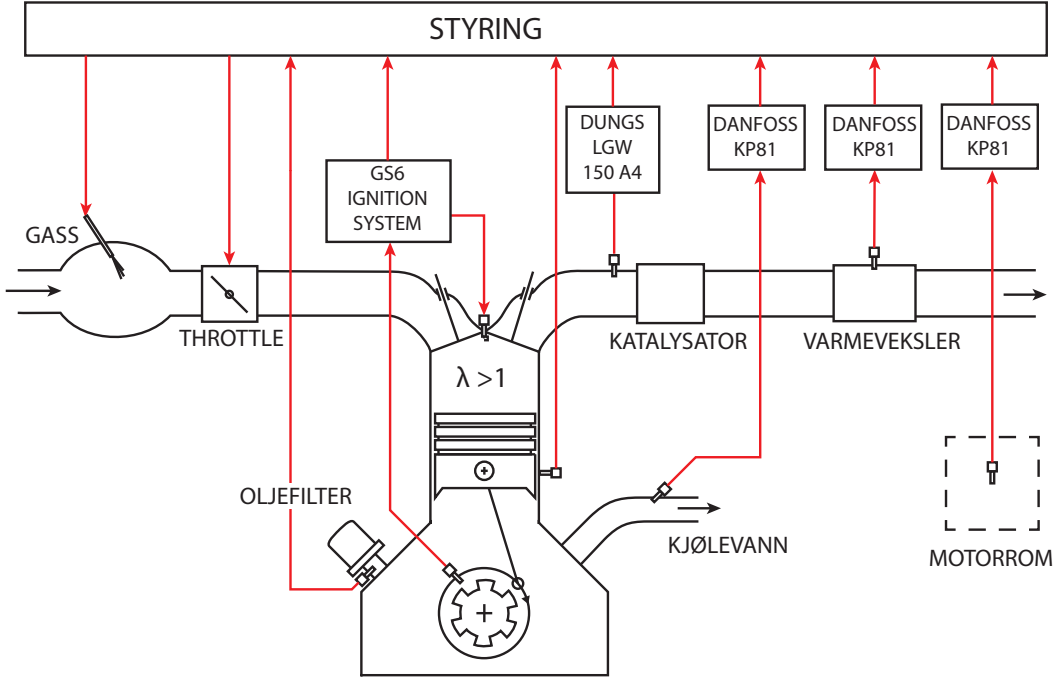
sen (kretsen som kjøler stempelmotor o.l.) i motoren ikke er tilstrekkelig justeres, enheten ned. Dette kan føre til opptil 60 % økt driftstid i året [47].

Valg av lastvariasjon

For CHP-enheter med modulering er det to muligheter for lastvariasjon: enten ved struping eller ved turtallsvariasjon [47]. Variering av last ved struping medfører flere tap i enheten. Struping gjør at en mindre mengde brennstoff-luftblanding entrer forbrenningsrommet ved at arealet i tilførselsledningen reduseres. Dette fører til >10 prosentpoeng reduksjon i indikert virkningsgrad på grunn av pumpetap [47]. Basert på lavere indikert middeltrykk vil også den mekaniske virkningsgraden synke på grunn av friksjonstap. Dette tapet i virkningsgrad kan være så stort som 15 prosentpoeng [47]. Sammenlagt vil dette medføre en reduksjon i virkningsgrad på >25 prosentpoeng. Lastvariasjon ved turtallsvariasjon medfører valg av optimalt hastighetsområde.

Valg av turtallsområde

Valg av virkningsgradoptimale turtallsområder for Otto-sugemotorer i størrelsesorden mini- og mikro-kogenerering (i følge definisjonene til Hoff and Köper [47]) er underlagt en del påvirkninger. I turtallsområdet $n = 2400 \text{ rpm} \pm 400 \text{ rpm}$ er virkningsgraden generelt bedre og spesielt brennstoffforbruk lavest. I området $n < 1300 \text{ rpm}$ stiger friksjonen og det er større tap ved *blow-by* og lekkasje. I turtallsområdet $n \approx 1300 \text{ rpm}$ til 2000 rpm er det høyere friksjonstap enn i optimalt område, men området gir bedre kompromiss for lavere varmebehov. Turtall mellom 2800 rpm og 3500 rpm gir høyere friksjon, men bedre totalvirkningsgrader på grunn av bedre gassutveksling og effektiv forbrenning. Turtall over 3500 rpm gir høye friksjonstap, tap i gassutvekslingen, økt støyutslipp osv. Følgelig er nyttbart område mellom 1300 rpm og 3500 rpm og optimalt område ligger mellom 2000 rpm og 2800 rpm for motorer opptil $20 \text{ kW}_{\text{el}}$ [47].



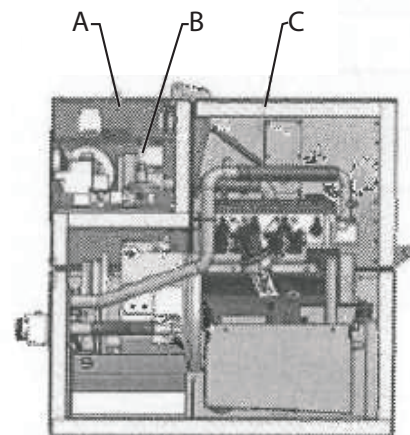
Figur 2.2: Styringsstrategi for XRG1-enheten (Merk: Toyota 3Y-motoren er ikke en *cross-flow*-motor)

2.2.2 EC Power XRG1 13

CHP-enheten i denne oppgaven er av typen XRG1 13 fra EC Power. Enheten har et skall med varme- og lydisolerende materiale. I hjertet av CHP-enheten er en fire-sylindret Toyota 3Y truck-motor med 1998 cc slagvolum. Motoren er vannkjølt og har 8 *over-head* ventiler [48]. Motorens forbrenningsrom er kjegleformet med inntaks- og eksosventiler på samme side. Motorens kompresjonsforhold (forholdet mellom største og minste sylinderlervolum) er 8,8 [49]. Full mekanisk effekt på 14,4 kW ved 1535 RPM [11]. Dette tilsvarer et middeltrykk på BMEP = 5,63 bar_g. Motoren driftes med konstant turtall $n = 1535$ rpm, lasten må derfor varieres ved struping. Motoren leverer mekanisk kraft til en asynkron generator plassert mot CHP-enhetens bakside. Generatoren konverterer den mekaniske kraften til elektrisk kraft ved 400 V og 50 Hz med en virkningsgrad på 90,28 % i følge datablad [11]. Over generator er et rom for enhetens gassikkerhet inneholdende bl.a. gassmikser og strupeventil. Over dette rommet igjen er enhetens el-kabinett inneholdende enhetens ECU m.m. (se figur 2.3).

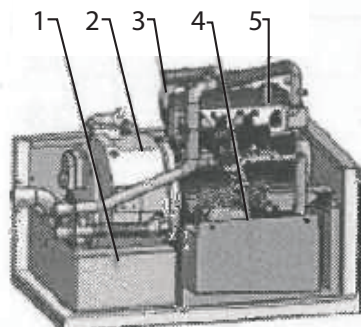
Toyota 3Y motoren driftes med mager brennstoff-luftblanding, med luftoverskuddstall mellom 1,2 og 1,5. Tenningstidspunkt i motoren styres av en Gill Instruments GS6 tenningsmodul,

Power Unit



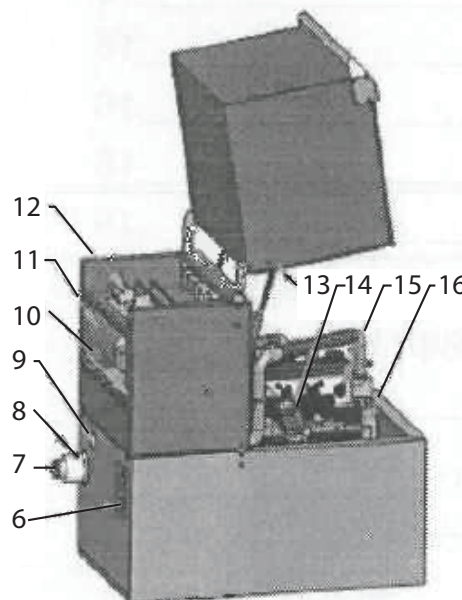
Lay-out

- A) Electrics enclosure
- B) Gas safety tray
- C) Heat and noise shield for engine



Engine Cabinet

- 1) Silencer
- 2) Water-cooled generator
- 3) Exhaust heat exchanger
- 4) Oil tub
- 5) Engine



Installation and Service

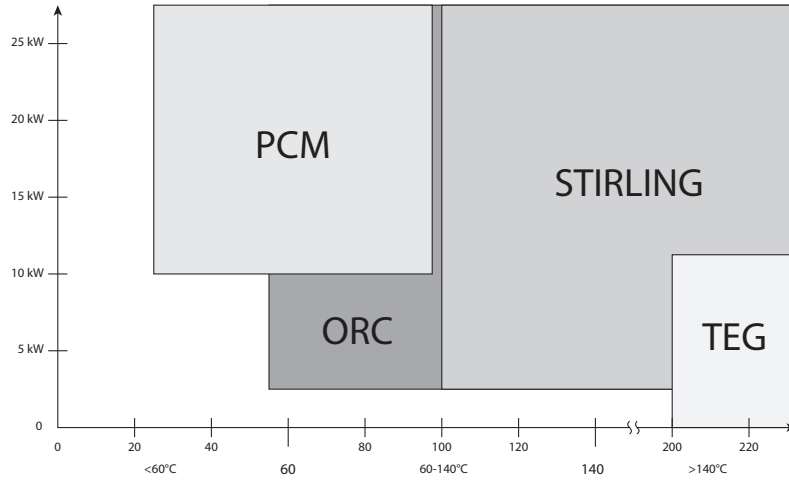
- 6) Water connection
- 7) Exhaust connection
- 8) Exhaust gas sampling port
- 9) Main power connector
- 10) Gas connection
- 11) Air filter
- 12) Electrical connections
- 13) Lid
- 14) Oil filter
- 15) Gas inlet
- 16) Oil pipe filter

Figur 2.3: Oversikt over (a) CHP-enhetens layout (b) Komponentene i motorrommet og (c) tilkoblinger og servicepunkter [50].

designet for å styre motorer som opererer på LPG, naturgass eller biogass. Dette for å sikre tenning. Tenningsmodulen er programmerbar for antall cylindere (opp til 6), tenningspunkt for last, hastighet, temperatur og drivstofftype og tenningsenergi og varighet. For forbrenningskontroll har enheten også en Dungs LGW 150 A4 differensialtrykk-*switch* tilkoblet eksos.

Luft trekkes inn i enheten fra motorrom gjennom en ventil på enhetens høyre side (sett forfra). Dette fordrer krav til luftinntak til motorrom på minst 1200 l/min [50]. Luft og gass blandes så i en gassmikser i rommet for gassikkerhet før den trekkes inn i motor via manifold. Både innsugslufta og eksosgassene går gjennom en vannkjølt manifold. Eksosgassene passerer etter manifold gjennom katalysator. På grunn av de lave NO_x-utslippene mager drift medfører, er enheten bare utstyrt med en to-veis katalysator for etteroksidering av uforbrente hydrokarboner (UHC) og karbonmonoksid (CO). Eksosgassene passerer til slutt gjennom en varmeveksler og lyddemper før de forlater containeren gjennom eksosrøret. Varmeveksleren er en flateplate varmeveksler med økende avstand mellom platene for redusert trykktap. CHP-enhetens oljekar er plassert på venstre side av motoren (sett forfra), under oljefilter.

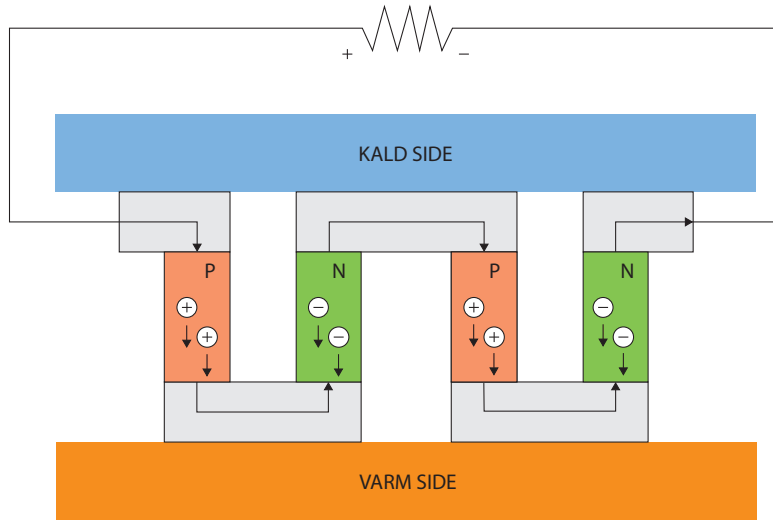
Av de ovennevnte komponentene er stempelmotor, generator, eksosmanifold og varmeveksler vannkjølte. I tillegg er oljefilteret til stempelmotoren vannkjølt. Kjølevann entrer enheten på baksiden. Etter innløp deler kjølevannstrømmen seg i to rør hvorav det ene går inn i generator og det andre går til oljefilteret. Kjølevannsstrømmen som går inn i generator går videre til eksosvarmeveksler og manifold før den møter opp med kjølevannsstrømmen som har vært gjennom oljefilteret like før innløp til stempelmotor. Etter stempelmotor strømmer kjølevannet samlet ut av CHP-enheten like ved innløp til enheten. Enheten har tre Danfoss termostater med temperaturfølgere: i kjølevannstrøm ut av stempelmotor, i varmeveksler og i motorrom for overvåkning av varmeavtagning fra den hete kretsen. Maksimum systemtrykk for kjølevann i varmefordelelen er 5 bar (3,5 bar systemtrykk anbefales av leverandør [50]). Trykket i motorkretsen bør ikke overskride 1 bar ved kald motor og 1,5 bar ved normal drift.



Figur 2.4: Temperatur- og ytelsesområde for noen tilgjengelige WHR-teknologier [4].

2.3 Teknologi for kraftproduksjon fra spillvarme

Kraftproduksjon fra spillvarme handler om å utnytte en varmekraftmaskin til å konverterer varme til mekanisk arbeid eller til elektrisitet. I slike varmekraftmaskiner anvendes det varme som er biproduktet i en annen prosess, som f.eks. kraftproduksjon, kjemisk prosess, el. Det er ofte denne typen enheter som omtales når det i dagligtalen snakkes om spillvarmeutnyttelse eller *Waste Heat Recovery* (WHR). I denne teksten vil slike enheter omtales som WHR-enheter. Flere teknologier er per i dag tilgjengelig for bruk i WHR-enheter. Hver av disse teknologiene har sine fordeler, ulemper og virkningsgradsoptimale arbeidsområder. Valg av riktig teknologi kan være avgjørende for applikasjonens ytelse. De to faktorene som mest styrer valg av teknologi er energikvalitet og energimengde. Energikvaliteten defineres av temperaturområdet varmekilden befinner seg i og energimengden defineres av forventet kraft ut av varmekraftmaskinen, dette basert på tilgjengelig varme. Basert på faktorene energikvalitet og energimengde er det mulig å lage en oversikt over arbeidsområdene for noen av de vanligste tilgjengelige teknologiene. Figur 2.4 viser deler av arbeidsområdet til noen lavtemperatur WHR-teknologier. Figuren er basert på tall fra Ragnøy [4]. Oversikten fra Ragnøy [4] er basert på kommersielle produkter og produkter i utvikling.



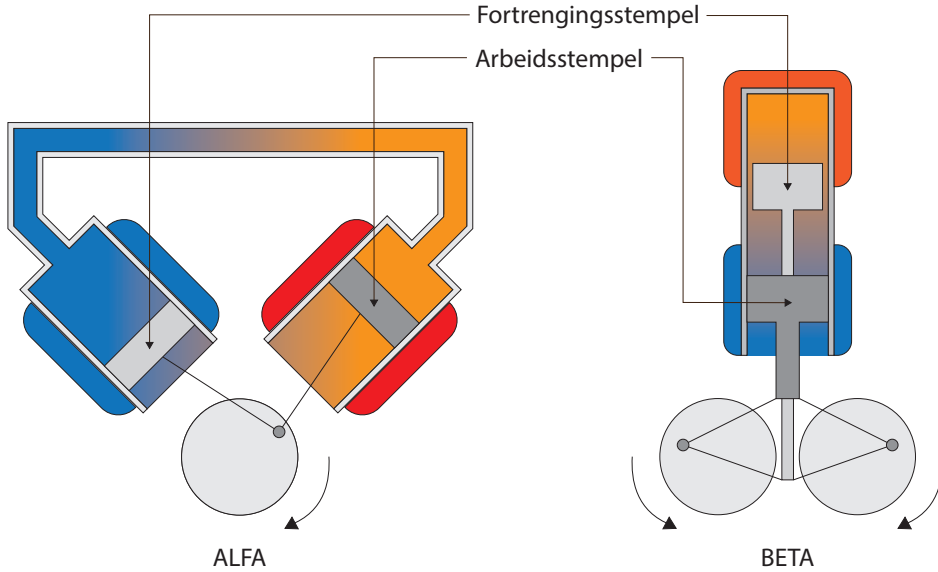
Figur 2.5: Termoelektrisk generator (TEG).

2.3.1 Termoelektrisk generator (TEG)

I en termoelektrisk generator produseres elektrisitet ved Seebeck-effekt; oppdaget i 1821 av Thomas Johann Seebeck. Effekten grunner i at to metaller reagere forskjellig på en temperaturdifferansen over dem og det dannes en strøm av elektroner gjennom løkken, og dermed også en spenning.

Det elektriske potensialet som produseres i en enkel termoelektrisk krets er relativt beskjedent, men dersom metallene kobles i serie, i en kaskade, vil det elektriske potensialet være betydelig større. TEG-systemer i bilindustrien består typisk av et eksosgassystem, en varmeveksler, et TEG-system, et kraftkondisjoneringssystem og en batteripakning [51]. Systemet fungerer ved at varmeveksleren fanger varme fra eksosgassene etter katalysatoren. TEG-systemet produserer så elektrisitet fra den oppfangede varmen. Kraftkondisjoneringssystemet omdanner så elektrisiteten for maksimal kraft overføring.

Ulempen med TEG er at virkningsgradene er lave. Bedre materialer kan gi større energitettet og bedre effektivitet, men gode materialer er dyre. TEG er derfor å anse som en teknologi som passer best til mindre varmemengder ved høye temperaturer. Det er på den andre siden sannsynlig at det vil skje en stor utvikling innen område, og det er mulig det kommer mer konkurransedyktige TEG-teknologier om ikke så lenge [4].



Figur 2.6: Stirling-motor med alfa-konfigurasjon (a) og beta-konfigurasjon (b).

2.3.2 Stirlingmotor

Sterling-motoren er en varmekraftmaskin som opererer med syklik kompresjon av et arbeidsfluid (luft eller annen gass) ved forskjellige temperaturer i en lukket krets slik at det produseres et netto arbeid. Motoren finnes hovedsaklig i to konfigurasjoner: alpha og beta (se figur 2.6). I en alpha-type konfigurasjon er det to cylindere: en opphetet ekspansjonssylinder og en nedkjølt kompresjonssylinder. I en beta-type konfigurasjon er det bare en cylinder med en opphetet og en nedkjølt ende. Den opphetede sylinderen/enden i en Sterling-motor kan varmes av alt fra konstant forbrenning, til solvarme, til en massestrøm med forhøyet temperatur. Det grunnleggende prinsippet i en Sterling-motor er at opphetet gass opptar et større volum enn en kjøligere gass. Når varme tilføres ekspansjonssylinderen/-enden vil Sterling-motoren begynne å produsere mekanisk arbeid. Dersom mekanisk arbeid tilføres motoren, på den annen side, vil Sterling-motoren fungere som en varmepumpe ved at den hete sylinderen/enden blir hetere og den kjølige sylinderen/enden blir kjøligere.

Av norske aktører er det Single-Phase Power som leverer Sterlingmaskiner til spillvarmeutnyttelse i Norge. Single-Phase Power leverer modulbaserte beta-type Stirling-maskiner med helium som arbeidsmiddel. Single-Phase Powers moduler brukes i dag hovedsaklig som varmepumper, for eksempel hos Tine Meierier i Byrkjelo, men teknologien anses som moden for lavtem-



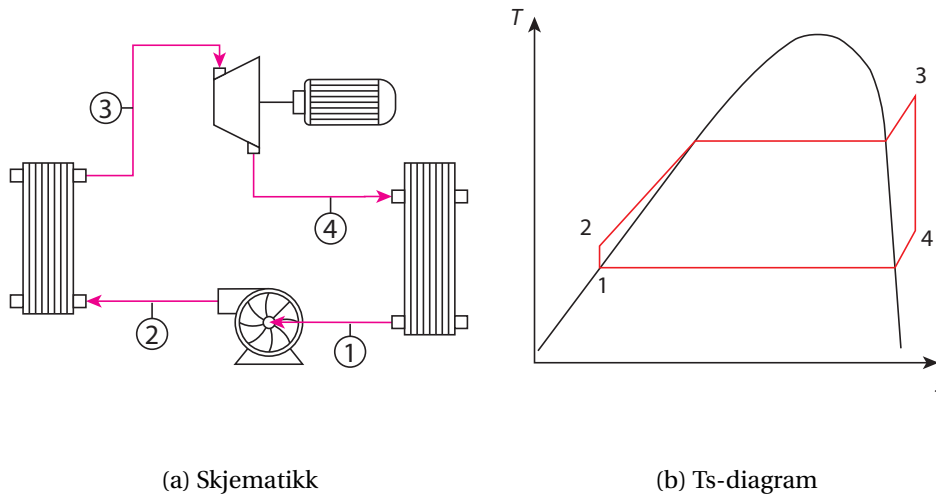
Figur 2.7: PCM varmeputer [4]

peratur kraftproduksjon [4]. Svenske Clean Energy AB leverer også modulbaserte Sterlingmotorer av typen alfa med arbeidsmedium helium. Clean Energy AB har levert over 130 enheter, der i blant til Asker kommune i Norge hvor motoren drives at fakling av lavverdig metangass. Clean Energys enheter brukes som regel opp mot varmekilder med høy temperatur (ca 500-700°C) og gir lav ytelse (<10 kW) [4].

2.3.3 Phase Change Material (PCM)

PCM er mest kjent som materialer som tar opp, eller avgir, store mengder varme ved faseovergang. Et nærliggende eksempel på dette er varmeputene illustrert i figur 2.7. En annen type PCM er materialer som opplever en stor volumendring ved faseovergang. Slike materialer er mulig å bruke i varmekraftverk hvor materialet vekselvis varmes og kjøles og med dette produserer mekanisk kraft. Slike varmekraftmaskiner er patentert og testet [4].

Svenske Exencotech AB er en av patentinnehaverne på PCM-baserte varmekraftmaskiner. I følge deres tester kan en '*energicelle*' levere opp til 1 kW_{el}. 20 '*energiceller*' vil da kunne levere 10 kW_{el} kontinuerlig elektrisitet, ved drift i motfase(dvs. halvparten av cellene eksponeres vekselvis til varmekilde og varmesluk, og visa versa). I Exentechs løsning består "*energicellene*" av parafinplater under høyttrykk (300-400 bar). Ved oppvarming endrer platene fase fra fast til flytende, noe som medfører en volumekspansjon på ca 20 %. Platene kjøles så igjen og skifter tilbake til fast form. Under testing har Exontech påvist 7,5 % virkningsgrad ved 95°C varmekilde og 25°C varmesluk [4].



(a) Skjematikk

(b) Ts-diagram

Figur 2.8: Den enkle, ideelle Rankine-syklusen

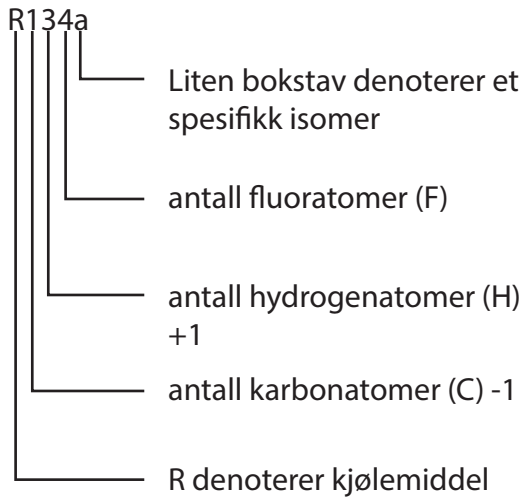
2.3.4 Organiske dampkretser (ORC)

Teknologien som skiller seg ut som mest moden og mest kommersielt tilgjengelig er organiske dampkretser, eller ORC. ORC står for *Organic Rankine Cycle* som er det engelske navnet på dampkretser med organiske fluider som arbeidsfluid. Prinsippet bygger på Rankine-syklusen, som er en ideell termodynamisk syklus av en dampkrets som konverterer varme til mekanisk arbeid. Den enkle, ideelle Rankine-syklusen består av:

- 1-2** isentropisk kompresjon i pumpe,
- 2-3** ekstern varmetilførsel ved konstant trykk,
- 3-4** isentropisk ekspansjon i ekspander og
- 4-1** varmebortførsel ved konstant trykk.

Følgelig består en enkel dampkrets av en pumpe, en fordamper (eller *boiler*), en ekspander og en kondensator.

Det definierende elementet i organiske dampkretser er arbeidsfluidet. Dampkraftmaskinene som ble til under den industrielle revolusjon opererte opprinnelig med vann som arbeidsfluid. Utviklingen i nyere tid har vært operasjon med organiske arbeidsfluider. Organiske fluider er en

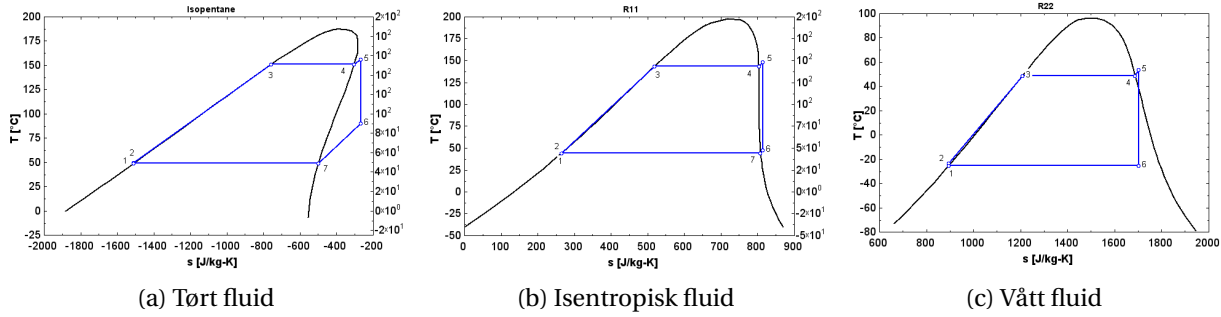


Figur 2.9: Eksempel på denotering av kjølemiddel.

samlebetegnelse på hydrokarbon-baserte fluider. Organiske fluider som brukes som arbeidsmedium i varmepumper og kjøleanlegg kalles kjølemidler eller kuldemedium. Disse har passende fordampningstemperatur i området 1 bar til 25 bar. Et kuldemedium kjennetegnes ved et unikt R-nummer. R-nummereringen ble oppfunnet av DuPont Company og er i dag formalisert som ASHRAE standard 34 [52]. Figur 2.9 illustrerer hvordan nummersystemet fungerer.

Fordelene med bruk av organiske arbeidsfluider fremfor vann er mange: organiske fluider har lavere kokepunkt og kan dermed ta opp varme ved lavere temperaturer. Enkelte organiske fluider har en positiv mettet-damp kurve, noe som betyr at de forblir overopphetet etter ekspansjon. Se figur 2.10a. Dette gir høyere virkningsgrad og forlenger ekspanderens levetid. Organiske fluider har høyere massetetthet[35]. Dampkraftverkene kan dermed bygges mer kompakt. Krever mindre vedlikehold og har færre myndighetskrav som følge av lavere arbeidstrykk [4].

Viking Heat Engines er et norsk selskap som leverer ORC-modulen CraftEngine. I modulen brukes en stempelkspander sammen med enten ammoniakk, R410a, R134a, R236fa eller R254fa. Viking engines er det eneste selskapet i undersøkelsen til Ragnøy [4] som leverer produkter med ytelse i størrelsesordenen 2-10 kW, som er omtrent den samme ytelsen som det kan være mulig å få ut av et WHR-anlegg på XRG1 13G kraftenheten.



Figur 2.10: Eksempler på forskjellige metningskurver [53].

2.3.5 Design av ORC-krets

Design av ORC er en prosess for oppnåelse av optimale virkninggrader og leverte effekter. En ORC kan utføres på flere forskjellige måter, og design av en ORC-applikasjon fordrer dermed en del valg. Blant disse er:

- valg av arbeidsfluid,
- valg av konfigurasjon og
- valg av komponenter.

Valg av arbeidsfluid

Valg av arbeidsfluid har tradisjonelt blitt utført ved *screening*-metoden. *Screening*-metoden består av å bygge en steady-state simuleringsmodell av en ORC-krets og så kjøre den med flere forskjellige arbeidsfluider. Arbeidsfluid velges så i de fleste tilfeller på bakgrunn av høyest oppnådd termisk virkningsgrad [35]. Denne metoden tar bare hensyn til ett aspekt av arbeidsfluidet. Ved valg av optimalt arbeidsfluid bør det tas hensyn til flere indikatorer og egenskaper [35]:

- *Termodynamisk ytelse*: Virkningsgraden og ytelsen ved en gitt varmekilde og et gitt varmesluk burde være så høy som mulig. Virkningsgraden og ytelsen er i tillegg til arbeidsfluidet avhengig av komponentvalg og valg av termodynamisk modell for simulering.
- *Damp-metningskurve*: En negativ damp-metningskurve "vått" fluid, se figur 2.10c) kan føre til kondensering under ekspansjonen, noe som kan være skadelig for maskineriet. I tilfellet av arbeidsfluider med negativ damp-metningskurve (f.eks. vann) må dermed

fluidet overoppphetes før ekspander. For fluider med isentropisk damp-metningskurve trengs det kun en liten overoppheting. I tilfellet fluider med positiv damp-metningskurve ("tørt" fluid, se figur 2.10a) er det mulig å anvende en regenerator (type B konfig.) for å øke syklusens effektivitet.

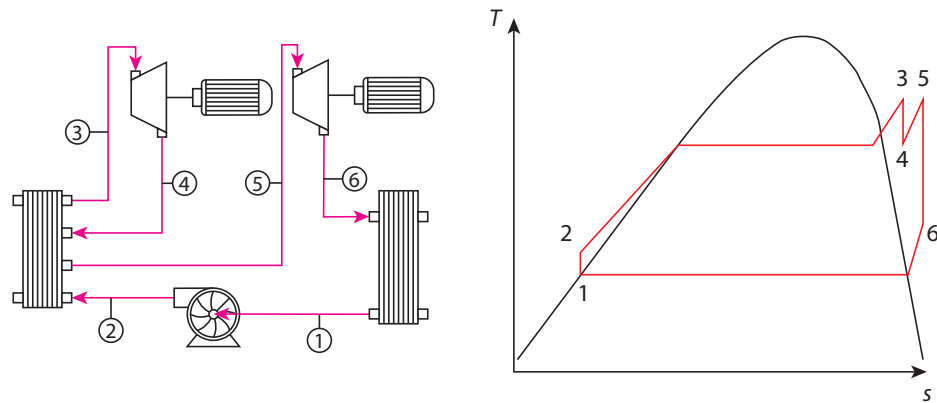
- *Høy damptetthet:* Lave tettheter fører til høyre volumstrømmer, og høye volumstrømmer fører til større trykktap i varmeveksler og at ekspanderens størrelse må økes.
- *Lav viskositet:* Lav viskositet er nødvendig for å opprettholde høy varmeovergangskoeffisient og lave friskjonstap i varmevekslerne.
- *Høy varmeledningsevne:* Høy varmeledningsevne er nødvendig for å opprettholde høy varmeovergangskoeffisient i varmevekslerne.
- *Akseptabelt fordambningstrykk:* Fluidet må ha et akseptabelt fordampningstrykk for å holde systemtrykket nede, og følgelig kostnadene nede.
- *Positivt kondensasjonstrykk:* Kondensasjonstrykk over atmosføretrykket er nødvendig for å hindre luft å trenge inn i systemet.
- *Høy stabilitetstemperatur:* Organiske fluider kan oppleve en forringelse dersom de utsettes for høye temperaturer over lengre tid. Høy stabilitetstemperatur er en egenskap som ønskes av fluider som skal brukes sammen med høytemperatur varmekilder.
- *Smeltepunkt:* Smeltepunktet må aldri være lavere enn den laveste atmosfæretemperaturen gjennom året.
- *Høyt sikkerhetsnivå:* Sikkerhet inkluderer to hovedparametre: giftighet og brennbarhet.
- *Lavt ozonnedbrytende potensial (ODP):* ODP(Ozone Depletion Potential) Er et mål på mediets evne til å bryte ned ozon, og måles i forhold til det ozonnedbrytende potensialet til R11.
- *Lavt drivhuseffekt potensiale (GWP):* GWP(Global Warming Potential) er et mål på mediets evne til å bidra til drivhuseffekten og måles i forhold til CO₂.
- *God tilgjengelighet og lave kostnader:* Fluider som allerede er i bruk i andre prosesser i industrien er letter å få tak i og er billigere.

Valg av konfigurasjon

Valg av konfigurasjon handler om å utnytte fordelene i virkningsgrad ved høyere fordampningstrykk uten å få for mye kondensasjon i ekspanderen. Med ”tørre” og isentropiske fluider (Se figur 2.10a og 2.10b) er ikke dette et problem. Her vil det ikke oppstå kondensasjon i ekspander. For disse fluidene kan en kan den enkleste konfigurasjon brukes (se figur 2.8a). For at ”våte” fluider skal kunne utnytte fordelene med høyt fordampningstrykk, kan fluidet enten overopphetes til meget høye temperaturer, det kan benyttes en Rankine-syklus med gjenoppvarming eller det kan benyttes en Rankine syklus med regenerering. En Rankine-syklus med gjenoppvarming innebærer gjenoppvarming av fluidstrømmen mellom to eller flere ekspander-steg. Fordelen med dette er at det kan benyttes et større fordampingstrykk med lavere makstempertatur, før ekspander. Ulempen er at det må benyttes flere ekspandere. En Rankine-syklus med regenerering innebærer å øke temperaturen til fluidet som forlater pumpen. Dette kan for eksempel gjøres ved å ta ut damp fra ekspanderen og blande den med fluidstrømmen etter pumpen i en åpen *feedwater heater* (FWH). Regenerering kan også benyttes for ”tørre” og isentropiske fluider. Disse fluidene vil som regel være overopphetet også etter ekspander. Dette betyr at det er en del varme igjen å utnytte. Denne varmen kan utnyttes ved å varmeverksle fluidstrømmen mellom ekspander og kondensator med varmestrømmen mellom pumpe og fordamper.

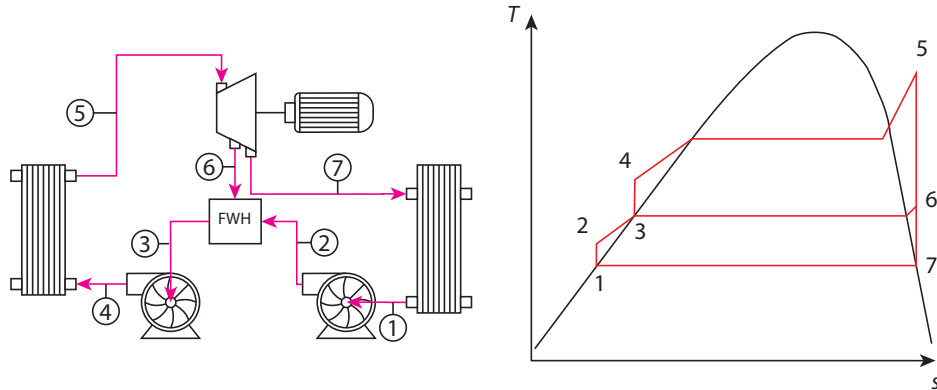
Valg av komponenter

Valg av komponenter i en ORC-maskin handler i all hovedsak om valg av ekspander. Det finnes to typer ekspandere: volumetriske ekspandere og turbinekspandere. Hver ekspanderteknologi har sine fordeler og begrensninger, og er følgelig forbeholdt spesifikke arbeidsområder. Volumetriske ekspandere er en paraplybetegnelse på ekspandere som karakteriseres av et innebygd volumforhold. Denne typen ekspandere begrenses av volumstrøm, volumforhold og isentropisk virkningsgrad [35]. Eksempel på volumetriske ekspandere er skrue-, skroll- og stempelekspandere. Turbinekspandere inkluderer: aksialturbiner og radialturbiner. Radialturbiner er generelt mer kompakte enn aksialturbiner i utforming, og er også billigere. Turbinekspandere begrenses av rotorens *tip speed*, turbinens spesifikke hastighet, Mach-tall og rotashonshastighet [35]. Til dampkretser i mikro-skala er det vanligst å bruke volumetriske ekspandere på grunn av deres



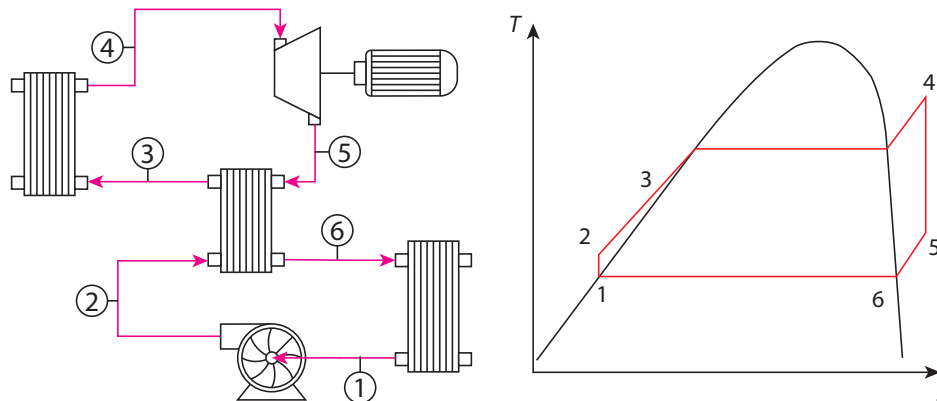
(a) Mellomvarming

(b) T-s mellomvarming



(c) Regenerering ved FWH

(d) T-s regenerering vd FWH



(e) Regenerering ved varmeveksler

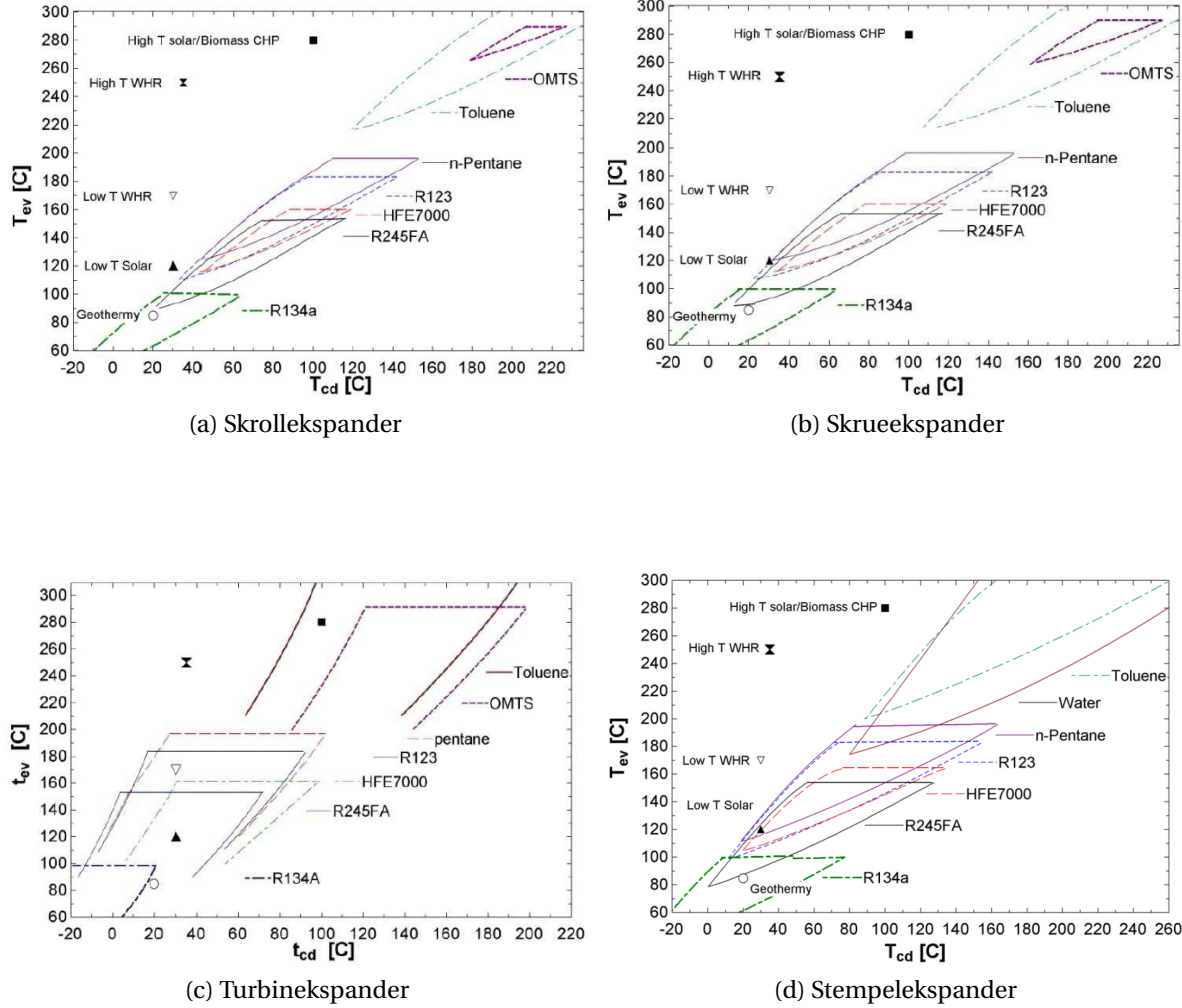
(f) T-s regenerering ved varmeveksler

Figur 2.11: Eksempler på forskjellige ORC-konfigurasjoner.

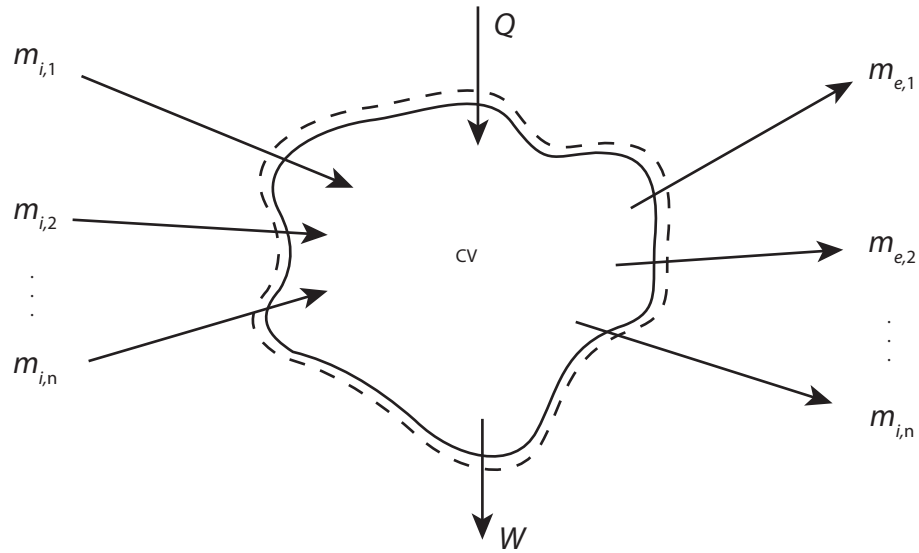
lave roatsjonshastighet og evne til å operere under høye trykkforhold i forhold til turbinekspandere [54]. Stempelekspandere er per dags dato et nisjeprodukt når det gjelder spillvarmeutnyttelse. Stempelekspanderen har bl.a. vært brukt i spillvarmeutnyttelse fra bilmotorer og kan derfor være interessant i applikasjon med Toyota 3Y-motoren som i tillegg til EC Powers XRG1 13 brukes i flere av Toyotas bilmodeller.

Samtidig valg av ekspander og arbeidsfluid

Quoilin et al. [35] har foreslått en metode for samtidig valg av arbeidsmedium og komponent for ekspansjon i en dampkrets. Metoden fokuserer på valg av arbeidsfluid ved å bruke operasjonskart som markerer ekspanderens ytre grenser for operasjon med et spesifikt arbeidsfluid, plottet i et fordampningstemperatur-kondesasjonstemperatur diagram. Metoden sammenkobler valg av ekspander og arbeidsfluid, slik at det ikke oppstår urealistiske kombinasjoner. Operasjons-kart for skrueekspander (figur 2.12b), skrollekspander (figur 2.12a) og turbinekspander (figur 2.12c) er utviklet av Quoilin et al. [35]. Operasjonskart er på lignende måte utviklet for stempelekspandere (figur 2.12d) av Lemort et al. [54]. Det er viktig å merke seg at fordampningstemperaturen T_{ev} og kondesasjonstemperaturen T_{cd} ikke er det samme som T_H og T_L .



Figur 2.12: Operasjons-kart for forskjellige ekspandere [35] [54].



Figur 2.13: Kontrollvolum med inn- og utgående masse- og energistrømmer.

2.4 Energianalyse

Termodynamikk er læren om interaksjonen mellom masse og energi og ble utviklet i nettopp det øyemed å effektivisere varmekraftmaskiner. Energi er et av de fundamentale begrepene i termodynamikken. Energi kan i følge termodynamikken opptrer i en rekke makroskopiske former, som: kinetisk energi, potensiell energi, indre energi, m.m., og kan også konverteres fra en form til en annen. Termodynamikkens første lov sier at energi hverken kan skapes eller ødelegges. Det vil si at den totale energien i et system er bevart, selv om energien konverteres fra en makroskopisk form til en annen. I tillegg til energi, vil massen også være bevart i et system. Dette kalles kontinuitetsprinsippet. I det spesielle tilfellet av tilnærmet inkompressible fluider, som vann, vil kontinuitetsprinsippet også gjelde volum og volumstrømmer.

I termodynamisk analyse er det alltid et system som skal studeres. Systemet kan være skilt fra omgivelsene ved fysiske flater eller ved en tenkt grense. De definerende skillene er kjent som kontrollflater eller systemgrenser. Et system med konstant masse kalles en kontrollmasse, mens et system med massegjennomstrømning kalles et kontrollvolum eller et åpent system (se figur 2.13). Dersom det ikke er noe akkumulering av masse eller energi i et kontrollvolum over tid kal-

les det et *steady-state* system. For et steady-state system er det mulig å sette opp massebalansen

$$\sum_i \dot{m}_i = \sum_e \dot{m}_e \quad (2.6)$$

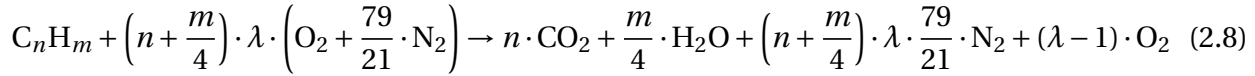
En lignende ligning kan settes opp for energi:

$$\dot{Q} - \dot{W} + \sum_i \dot{m}_i \left(h_i + \frac{1}{2} V_i^2 + g z_i \right) - \sum_e \dot{m}_e \left(h_e + \frac{1}{2} V_e^2 + g z_e \right) = 0 \quad (2.7)$$

For å løse systemets energibalanse, må først systemets massebalanse.

Forbrenningsstøkiometri

Forbrenning er en kjemisk prosess hvor et reaktant reagerer med en koreaktant og danner forbrenningsprodukter. Forbrenning frigir som kjent termisk energi og klassifiseres dermed som en exotermisk prosess. I tilfellet av forbrenning av hydrokarboner, substanser bestående primært av hydrogen og karbon, med luft som koreaktant er det mulig å sette opp følgende generelle reaksjonsligning:



hvor n representerer antall karbonatomer og m antall hydrogenatomer i et representativt molekyl for brennstoffet. λ i ligning 2.8 representerer luftoverskudsstallet for reaksjonen. Luftoverskuddstallet er definert som forholdet mellom faktisk luftmengde og støkiometrisk luftmengde (som uttrykt i ligning 2.5).

Støkiometrisk luftmengde er den luftmengden som er nødvendig for fullstendig forbrenning av et spesifikt brennstoff. Tørr luft regnes å bestå av ca 21% oksygen og 79% nitrogen. Ved forbrenning av hydrokarboner sammen med tørr luft, reagerer hydrokarbonet med oksygen i luften mens nitrogen forblir inert. Ut fra ligning 2.8 er det mulig å bestemme minste antall oksygenatomer $O_{2,min}$ som er nødvendig for fullstendig forbrenning. Minste nødvendige luftmengde beregnes ut fra luftens komposisjon ved:

$$L_{min} = \frac{O_{2,min}}{0,21} \quad (2.9)$$

hvor L_{\min} oppgis i $\text{m}^3 \text{ luft}/\text{m}^3 \text{ brennstoff}$ eller $\text{kmol luft}/\text{kmol brennstoff}$. Ut i fra ligning 2.8 er også det mulig å utlede en formel for beregning av luftoverskuddstallet lambda basert på oksygenmengden i eksosgassen. Formelen er gitt ved

$$\lambda = \frac{21\%}{(21\% - \text{O}_2\%)}$$
 (2.10)

Ved forbrenning antas det at kontinuitetsprinsippet er gjeldende og at ingen atomer splittes. Følgelig vil antall atomer av et grunnstoff forblі konstant gjennom prosessen. Molmengden forbrent kan beregnes ut i fra målt eksosgassammensetning.

Eksosgassammensetningen er målt som tørr luft. Mengden H_2O produsert kan finnes ved å løse forbrenningslikningen. Ved forbrenning av hydrokarboner sammen med fuktig luft antas det at fuktigheten i luften ikke vil reagere med noe, og ender dermed som ekstra H_2O i produktene.

For å kunne regne støkiometrisk luftmengde for en gass, må gassens komposisjon være kjent. Naturgass er fossile hydrokarboner som er hentet opp av underjordiske reservoarer, separert og tørket. Naturgassens gjennomsnittlige sammensetning er avhengig av hvor gassen er hentet ut og hvor den er prosessert. Naturgassen fra Nordsjøen er av høy kvalitet [55] med stor andel metan. I tillegg til metan inneholder gassen tyngre hydrokarboner som etan, propan, butan, pentan, osv, samt noen inerte gasser som nitrogen og karbondioksid.

Naturgassen kan regnes som en gassblanding bestående av k rene, ikke-reagerende gasser, det være seg metan, etan, propan, osv. Gassblandingens komposisjonen er målt i volumprosent, som er tilsvarende molprosent. Gassblandingens ekstensive egenskaper, det vil si egenskaper som er avhengige av systemets størrelse, slik som masse, volum og energi, kan beregnes massespesifikt ved:

$$\Theta_m = \sum_{i=1}^k m_f \Theta_i$$
 (2.11)

hvor Θ er en vilkårlig massespesifikk ekstensiv egenskap og massefraksjonen m_f bestemmes av den i -ende gassens volumfraksjon y_i og molarmasse M_i samt gassblandingens molare masse M_m ved ligningen:

$$m_f = \frac{y_i M_i}{M_m}$$
 (2.12)

hvor $M_m = \sum_i^k y_i M_i$. En forutsetning for at naturgassen kan regnes som en ikke-reagerende blanding av rene gasser er at den oppfører som en ideell gass. Om gassen er tilnærmet ideell kan undersøkes ved gassens reduserte trykk $P_r = P/P_{cr}$ og temperatur $T_r = T/T_{cr}$. Dersom gassen har et redusert trykk $P_r \ll 1$ vil gassen oppføre seg som en ideell gass uavhengig av temperatur. På samme måte kan gassen antas å oppføre seg som en ideell gass uavhengig av trykk dersom $T_r > 2$ (untatt hvis $P_r \gg 1$) [56]. Dersom gassen ikke oppfyller kravene over må kompressibilitetsfaktoren Z bestemmes ved å bruke et kompressibilitetsdiagram. Dersom Z er omtrentlig 1 er det mulig å estimere gassens egenskaper som egenskapene til en ideell gass.

Hver av de rene gassene som inngår i naturgassen har en unik $O_{2,min}$ som er nødvendig for fullstendig forbrenning. Denne mengden er avhengig av antall karbonatomer n og hydrogenatomer m gassen er sammensatt av. Den totale mengden O_2 som behøves for fullstendig forbrenning beregnes som en ekstensiv egenskap av gassen. Formelen for beregning av støkiometrisk O_2 kan utledes fra ligning 2.8, og skrives på generell form som:

$$O_{2,min} = \sum_{i=1}^k y_i \left(n_i + \frac{m_i}{4} \right) \quad (2.13)$$

for en gass bestående av k forskjellige rene gasskomponenter.

Oksygenmengden er i dette tilfellet beregnet på på bakgrunn av brennstoffets volumetriske sammensetning og oppgis i mol oksygen/mol brennstoff eller m^3 oksygen/ m^3 brennstoff.

Naturgassens forbrenningsentalpi beregnes som summen av gassforbruket \dot{m}_g og naturgassens lavere brennverdi LHV_g .

$$\dot{Q}_g = \dot{m}_g LHV_g \quad (2.14)$$

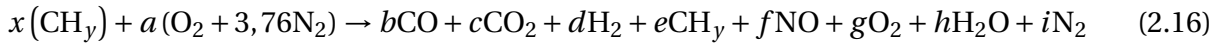
LHV beregnes også som en ekstensiv egenskap av naturgassen ved:

$$LHV_g = \sum_{i=1}^k \frac{y_i M_i}{M_g} LHV_i \quad (2.15)$$

hvor y_i , M_i og LHV_i er henholdsvis molandelen, molarmassen og lavere brennverdi tilhørende gasskomponenten i og M_g er gassblandingens molarmasse

Forbrenning av naturgassen resulterer, som nevnt, i produksjon av eksosgass. Energien i

denne eksosgassene er avhengig av eksosgassens temperatur. Eksosgassens sammensetning og temperatur er generelt vanskelig å forutse på grunn av kompliserte prosesser i stempelmotorens forbrenningsrom. Men de kan på den annen side ganske enkelt måles med en gassanalysator. Ut i fra de målt volumetrisk sammensetning er det mulig å sette opp ligningen:



hvor b, c, d, e, f, g, h og i er fraksjonene av de forskjellige gassartene i eksosgassen. x og a er henholdsvis fraksjonene reaktanter og koreaktanter. Den volumetriske komposisjonen til eksosgassene er lik den molare komposisjonen, dvs komposisjonen i $\text{vol}_i/\text{vol}_{\text{tot}}$ er lik $\text{mol}_i/\text{mol}_{\text{tot}}$. Ved å anta at det dannes 100 kmol tørr eksosgass, er det mulig å sette opp balansene:

$$\text{C-balanse:} \quad x = b + c + e \quad (2.17a)$$

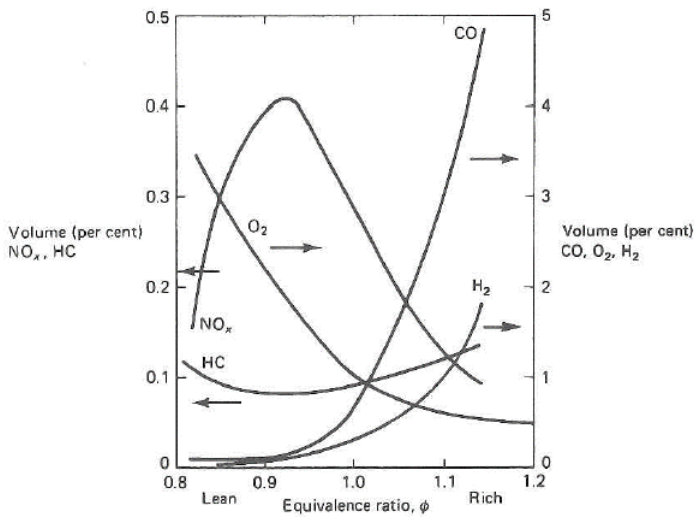
$$\text{H-balanse:} \quad x = 2d + e + 2h \quad (2.17b)$$

$$\text{O-balanse:} \quad a = 2b + c + 2f + g + 2h \quad (2.17c)$$

$$\text{N-balanse:} \quad 3,76a = 2f + i \quad (2.17d)$$

De fire ligningene over inneholder fem ukjente. For å løse ligningene må derfor en ukjent elimineres. Figur 2.14 viser utslipp av NO_x , HC, CO, O_2 og H_2 som funksjoner av ekvivalensforholdet ϕ , som er en den inverse av luftoverskuddstallet λ . Fra figuren kan det leses at H_2 -prosenten nærmer seg null ved svakere blandinger (lav ϕ). Gassmotoren i denne oppgaven går med λ mellom 1,2 og 1,5, tilsvarende ϕ mellom 0,83 og 0,67. Måling av eksosgassens komposisjon er gjort etter katalysator, så stempelmotoren vil i realiteten gå med et høyere luftoverskudd, ettersom noe oksygen blir brukt til etter-oksidering av CO og UHC. Ved disse verdiene vil H_2 -prosenten være tilnærmet lik null. Med $d = 0$ er nå ligningen 2.17b løselige, og dermed også de øvrige.

Andelene CO og UHC tyder på at forbrenningen ikke har vært fullstendig, og at det dermed vil være et energitap i form av kjemisk energi i avgassene[26]. Utslipp av CO, UHC og NO_x er avhengige av blant annet tenningstidspunkt, last, hastighet og luft-brennstoff-forholdet iylinder. Karbonmonoksid (CO) dannes ved dissosiasjon, ufullstendig forbrenning eller ved slukkeeffekter ved veggene i forbrenningsrommet. Kalde vegger i forbrenningsrommet er også en kilde til



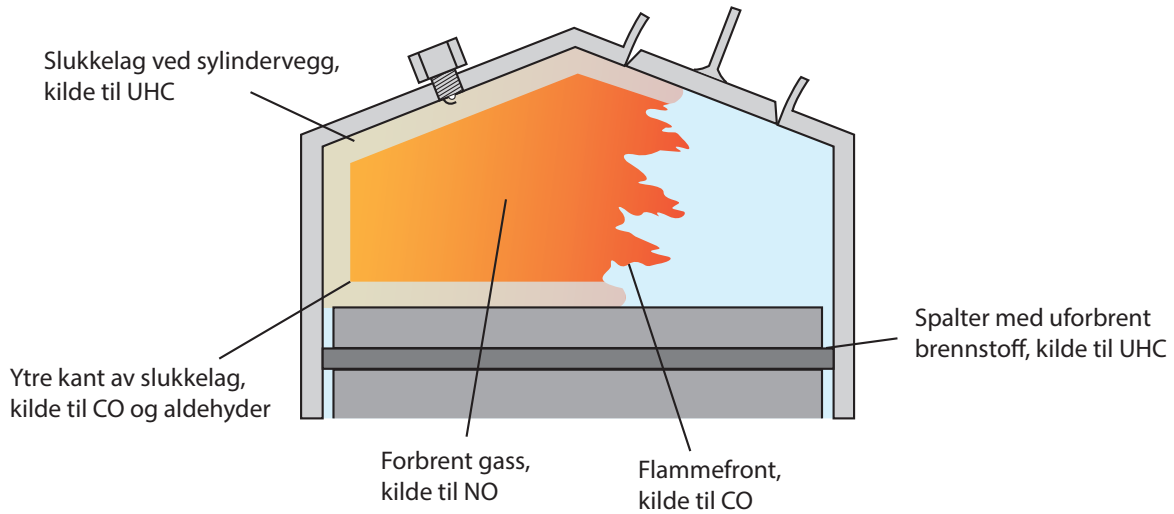
Figur 2.14: Utslipp fra en SI motor ved forskjellige luftoverskuddstall [26]

uforbrente hydrokarboner (UHC). En annen kilde til UHC er små spalter eller kløfter i forbrenningsrommet hvor flammen ikke når frem (se figur 2.15). Dannelsen av nitrogenoksider (NO_x) er en prosess uavhengig av drivstoffkomposisjon. NO_x kan sees på som "brent" luft. Prosesen krever nitrogen, oksygen, høy temperatur og tid. I tilfellet hurtigående *lean*-motor vil derfor NO_x-utslippene være forholdsvis små.

Den kjemiske energien som går tapt ved utslipp av karbonmonoksid kan beregnes ut i fra den molare reaksonentalpien til CO, gitt ved 25 °C (ΔH_0)_{CO} = -283,0 MJ/kmol. Den prosentvise mengden kjemisk energi som medfølger utslipp av CO kan ut i fra ligning 2.16 bestemmes ved[26]:

$$e_{\text{CO}}^{\text{kjem}} = \frac{283,0 \cdot b}{\text{LHV}_g \cdot (b + c + e) \cdot (12 + y + 16z)} \cdot 100\% \quad (2.18)$$

Vanligvis, for drift med flytende brennstoff, kan bidrag av kjemisk energi fra uforbrente hydrokarboner neglisjeres [26], men ved gassdrift vil UHC-utslipp være forholdsvis store og kan ikke neglisjeres. Dette på grunn av gassens flyktighet. Den kjemiske energien som medfølger utslipp av UHC kan bestemmes ved å anse den som "ubrukt forbrenningsentalpi". Energien som følger utslipp av UHC bestemmes ved forholdet mellom masse UHC i eksosen og masse brennstoff forbrukt. Komposisjonen til brennstoff og UHC antas å være den samme, følgelig vil den molare massen også være den samme, og masseforholdet kan erstattes med et molforhold. Gitt ligning



Figur 2.15: Kilder til utslipp i forbrenningsrommet til en SI motor[26]

2.16 med samme premiss om 100 kmol tørre produkter kan den prosentvise mengden kjemisk energi som medfølger utslipp av UHC bestemmes ved

$$e_{\text{UHC}}^{\text{kjem}} = \frac{e}{b + c + e} \cdot 100\% \quad (2.19)$$

Den totale kjemiske energien som forgår som "ubrukt forbrenningsentalpi" i eksosen kan til slutt bestemmes ved:

$$e_e^{\text{kjem}} = (e_{\text{CO}}^{\text{kjem}} + e_{\text{UHC}}^{\text{kjem}}) \cdot \text{LHV}_g \quad (2.20)$$

hvor LHV er brennstoffets forbrenningsentalpi.

I tillegg til kjemisk energi inneholder eksosgassene termisk energi tilført i forbrenningsprosessen. Denne energien er lik forskjellen mellom luftens strømningsentalpi inn (naturgassen strømningsentalpi er neglisjerbar) og eksosgassens strømningsentalpi ut. Forandring i strømningsentalpier avhengig av luften og eksosens temperaturer og spesifikke varmekapasiteter. Spesifikk varmekapasitet er temperaturavhengig og kan beregnes ved en polynomfunksjon (se Vedlegg D) ut i fra målt temperatur. Forbrenningsenergien som forlater enheten medfølgende eksogas-

sen skrives dermed

$$\dot{E}_e = \dot{m}_g e_e^{\text{kjem}} + \dot{m}_e c_{p,e} T_e - \dot{m}_a c_{p,a} T_a \quad (2.21)$$

2.4.1 Modellering av stempelmotorer

Stempelmotoren er et meget komplekst system, med blant annet diskret forbrenning i fire cylindere. Toyota 3Y motoren som anvendes i CHP-enheten som analyseres i denne oppgaven er en gassdrevet stempelmotor med fremmedtenning, en såkalt SI-motor. Analyse av en SI-motor er basert på flere empiriske relasjoner. I bunn for disse relasjonene ligger den ideelle Otto-syklusen.

Ideelle sykluser er viktige hjelpe middel i analysen av termiske maskiner. Ideelle kraftsykluser består av en flere forenklede prosesser som gir en enkel termodynamisk modell av kraftproduksjon med termiske maskiner.

Otto-syklusen er oppkalt etter Nikolaus A. Otto, som er krediterte for å ha bygget den første fungerende firetaktsmotoren med fremmedtenning i 1876 [26]. Den ideelle syklusen består av fire internt reversible prosesser:

1-2 Isentropisk kompresjon

2-3 Konstant-volum varmetilførsel

3-4 Isentropisk ekspansjon

4-1 Konstant-volum varmebortførsel

Virkelige motorsykluser vil generelt skille seg fra ideelle sykluser. I reell prosessanalyse brukes de ideelle syklusene sammen med empiriske modeller for å nærme seg en den virkelige prosessen. I en modell av en reell stempelmotor inngår en sammensetning av flere mindre empiriske modeller for bl.a. kompresjon og ekspansjon av reell gass, varmefrigivelse fra forbrenning, varmeovergang i cylinder osv.

Én-sone modellen

Den enkleste modellen for sammenhengen mellom varmefrigivelse og varmeovergang i sylinderen er *én-sone* modellen, hvor hele cylindervolumet antas å bestå av én sone fylt med en homogen gassblanding ved temperaturen \bar{T}_g .

Gassblandingen i sylinderen antas å oppføre seg som en ideell gass, og relasjonen mellom trykk volum og temperatur i cylindervolumet kan følgelig skrives som:

$$PV = mRT \quad (2.22)$$

hvor trykket P , volumet V og temperaturen T er funksjoner av veivinkelen θ . Som nevnt tidligere baseres modeller av reelle sykluser på diskrete ligningsett som løses stegvis. I et slikt stegvist forløp er det nødvendig å vite forandringen til systemets egenskaper ved θ_{i-1} for å kunne beregne deres verdi ved θ_i . Relasjonen for forandring i trykk kan finnes ved å derivere ligning 2.22.

$$\frac{dP}{d\theta} = \frac{-P}{V} \frac{dV}{d\theta} + \frac{P}{T} \frac{dT}{d\theta} \quad (2.23)$$

For enkelhets skyld antas kompresjon og ekspansjon av gassen å være isentropisk. Relasjoner for isentropiske kompresjon og ekspansjon oppnås ved å sette generert entropi lik null. Entropigenerering lik null betyr at det ikke utveksles hverken masse eller varme mellom systemet og omgivelsene. De enkleste relasjonene for isentropiske prosesser oppnås ved å anta konstante spesifikke varmekapasiteter. Disse relasjonene gir en tilnærming til løsningen, med større og større nøyaktighet jo nærmere tilstand én og to er hverandre. Dvs. nøyaktigheten til antagelsen om isentropisk kompresjon og ekspansjon er avhengig av oppløsningen til θ .

Forholdet mellom trykk og volum i sylinderen kan ved isentropisk kompresjon og ekspansjon uttrykkes ved:

$$PV^\gamma = \text{konstant} \quad (2.24)$$

hvor γ er forholdet mellom luftens spesifikke varmekapasiteter c_p og c_v .

På grunn av høye temperaturgradiente i stempelmotoren er det ønskelig med øyeblikkelige spesifikke varmekapasiteter. Varmekapasiteter er generelt avhengige av temperatur. Denne avhengigheten kan estimeres ved en polynomfunksjon. En slik polynomfunksjon for forbren-

ningsprosesser med hydrokarboner er utviklet av Krieger og Borman[57]. I deres metode beregnes forandringer i indre energi ved korreksjonsfaktorer korresponderende til forandringer i temperatur i forhold til en referansetemperatur. Se Vedlegg E for mer om metoden.

En stempelmotorer ansees termodynamisk som et åpent system med masse- og energigjenomstrømning. Når motorens cylinder simuleres i kraftslaget, sees den på som et lukket system. Energibalansen til cylinderen som system kan dermed skrives ved:

$$dQ - dW = dU \quad (2.25)$$

hvor dQ er netto varmetilførselsrate fra drivstoffet, dW er trykk-volumarbeidet utført av sylinder-gassen og dU er forandring i indre energi i sylinder-gassen, beregnet ved $dU = mc_vdT$. Netto varmetilførselrate og trykk-volumarbeidet per veivinkel kan skrives som:

$$\frac{dQ}{d\theta} = \frac{dQ_b}{d\theta} - \frac{dQ_w}{d\theta} \quad (2.26a)$$

$$\frac{dW}{d\theta} = P \frac{dV}{d\theta} \quad (2.26b)$$

hvor $dQ_w/d\theta$ er raten av varmeovergang til sylinderveggene. En netto varmetilførsel i cylinderen vil resultere i en proporsjonal økning i temperatur. Temperaturøkningen og korresponderende trykkøkning kan uttrykkes ved ligningene:

$$\frac{dT}{d\theta} = T(\gamma - 1) \left[\frac{1}{PV} \frac{dQ}{d\theta} - \frac{1}{V} \frac{dV}{d\theta} \right] \quad (2.27a)$$

$$\frac{dP}{d\theta} = \frac{-\gamma P}{V} \frac{dV}{d\theta} + \frac{\gamma - 1}{V} \left[Q_{\text{inn}} \frac{dx_b}{d\theta} + \frac{dQ_w}{d\theta} \right] \quad (2.27b)$$

Én-sone modellen bruker typisk *Wiebe-funksjonen* for å estimere massefraksjon forbrent som funksjon av veivinkel θ . Funksjonen estimerer varmefrigivelsen med en S-kurve som beregnes på basis av variablene: tenningstidspunktet θ_0 og forbrenningsperioden θ_d , samt para-

metrene a_{wie} og w_{exp} . Kurven beregnes ved formelen:

$$x_b = 1 - \exp \left[-a_{\text{wie}} \left(\frac{\theta - \theta_0}{\theta_d} \right)^{w_{\text{exp}}+1} \right] \quad (2.28)$$

I stempelmotorer med fremmedtenning er *Wiebe-eksponenten* w_{exp} vanligvis lik 2 [58]. Parameteren a_{wie} velges slik at den estimerte S-kurven passer til forbrenningsperioden θ_d . Varmefrigivelsesraten $dQ_b/d\theta$ er forbrenningsvarmen som frigis fra drivstoffet per veivinkel, og beregnes som produktet av den totale tilførte forbrenningsvarmen $Q_g = m_g \text{LHV}_g$ og varmefrigivelsesraten.

$$\frac{dQ_b}{d\theta} = Q_g \frac{dx_b}{d\theta} \quad (2.29)$$

Varmeovergang i sylinderen foregår mellom gassblandingene og veggene i sylinderen. Varmeovergangen foregår ved både konveksjon og stråling. Begge disse varmeovergangsprosessene tilnærmes for varmeovergang i cylinder med én ligning.

$$\partial Q_w = (h_c + h_r) A_w (T - T_w) dt \quad (2.30)$$

hvor h_r er varmeovergangskoeffisienten for stråling og h_c er varmeovergangskoeffisienten for konveksjon. Varmeovergang ved stråling er proporsjonalt med temperaturdifferansen i fjerde. For å passe inn i ligning 2.30 tilnærmes derfor koeffisienten for varmeovegang ved stråling med:

$$h_r = 4,25 \cdot 10^{-9} \left(\frac{T^4 - T_w^4}{T - T_w} \right) \quad (2.31)$$

Varmeovergangskoeffisienten for konveksjon beregnes ut i fra Annands korrelasjon for varmeovergang i cylinder. I denne korrelasjonen tilnærmes den gjennomsnittlige lufthastigheten i sylinder med den gjennomsnittlige stempelhastigheten \bar{S}_p . Annands korrelasjon skrives matematisk:

$$\text{Nu} = a \text{Re}^b = \left(\frac{h_c B}{k} \right) = a \left(\frac{\rho \bar{S}_p B}{\mu} \right)^b \quad (2.32)$$

hvor B er boringen til forbrenningsrommet. Koeffisienten for sylinderens varmeledningsevne k og sylinderens dynamiske viskositet μ kan uttrykkes som polynomfunksjoner av temperaturen T (se Vedlegg D). Veggarealet som varmeovergangsprosessen foregår ved er det

synlige arealet som funksjon av veivinkelen, gitt i Likning 2.37b.

I ligning 2.32 relateres Nusselt-tallet og Reynolds-tallet til hverandre. Nusselt-tallet er forholdet mellom varmeovergang ved konveksjon og konduksjon over en systemgrense. Reynolds-tallet er et mål på om strømningsmønsteret til et fluid er laminært eller turbulent. Reynolds-tallet beregnes som forholdet mellom treghetskrefter og viskøse krefter i fluidet. Det er tydelig at gasshastigheten i cylinder spiller en viktig rolle ved varmeovergang mellom cylindergass og cylindervegg. En alternativ beregningsmetode for konveksjonskoeffisienten i ligning 2.30 er Woschnis korrelasjon for varmeovargang i cylinder.

$$h = 3,26 \cdot B^{-0,2} P^{0,8} T^{-0,55} \nu^{0,8} \quad (2.33)$$

hvor ν er gjennomsnittlig gasshastighet i cylinderen. Woschnis korrelasjon er mye brukt i reell prosessanalyse.

For enkelhets skyld er Annands korrelasjon brukt i denne oppgaven.

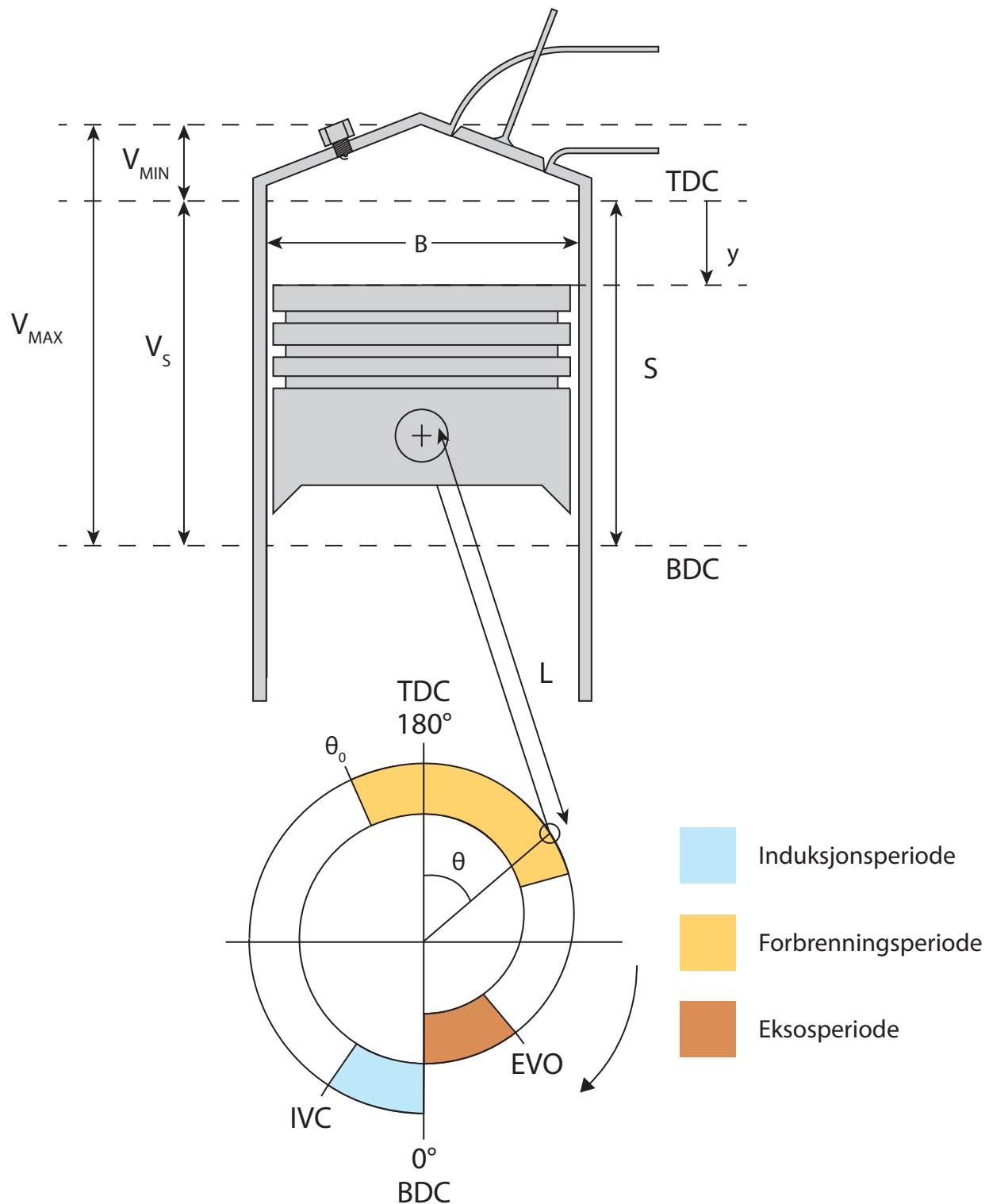
Slider-Crank modellen

Sylinderens geometri som funksjon av veivinkel modelleres, uavhengig av modeller for varmeutvikling i cylinder, ved Slider-Crank modellen. Figur 2.16 illustrerer et kileformet forbrenningsrom med innsug- og eksosventiler på samme side, som i Toyota 3Y-motoren. Forbrenningsrommets geometri karakteriseres av flere parametre:

- Slaglengden S , som er avstanden mellom øvre dødpunkt (TDC) og nedre dødpunkt (BDC),
- boringen B , som er diameteren i forbrenningsrommet,
- lengden L , som er lengden på veivstangen mellom stempel og veivbukt og
- slagvolumet V_s er volumet som stempelet fortrenger i hvert slag.

Motorens slagvolum oppgis ofte i datablad. Dersom dette ikke er tilfellet kan det beregnes fra oppgitt boring og slaglengde ved:

$$V_s = \frac{\pi}{4} B^2 S \quad (2.34)$$



Figur 2.16: Sylindergeometri og timingdiagram for kraftslaget.

Klaringsvolumet V_{\min} er cylindervolumet når stempelet er i øverste posisjon (TDC). Det totale volumet V_{\max} er cylindervolumet når stempelet er i nederste posisjon (BDC). I nederste posisjon er cylindervolumet lik summen av klaringsvolumet og slagvolumet. Forholdet mellom det totale volumet og klaringsvolumet uttrykkes ved kompresjonsforholdet r . Det totale volumet og klaringsvolumet kan dermed uttrykkes ved kompresjonsforholdet og slagvolumet ved:

$$V_{\min} = \frac{V_s}{r - 1} \quad (2.35a)$$

$$V_{\max} = \frac{V_s}{r - 1} + V_s \quad (2.35b)$$

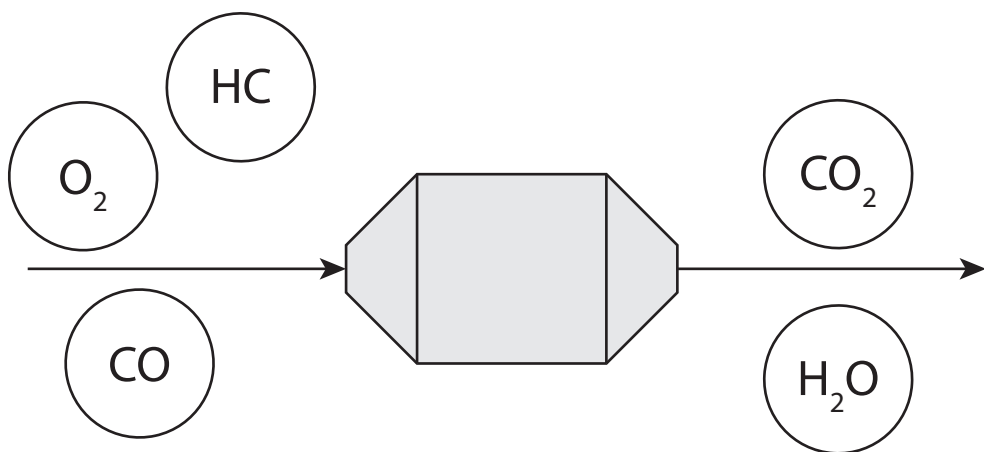
Sylinderens momentane volum er $V(\theta)$ avhengig av stempelets momentane posisjon $y(\theta)$. Stempelets momentane posisjon er igjen avhengig av veivbuktens posisjon i forhold til senter av veivakselen. Stempelet er i sin øverste posisjon (TDC) når veivbukten befinner seg rett over senter av veivakselen, og i sin nederste posisjon (BDC) når veivbukten befinner seg rett under senter av veivakselen. Veivinkelen θ gjengir veivbuktens posisjon, og kan defineres enten i forhold til TDC eller BDC. Avstanden mellom stempelets momentane posisjon og TDC er som funksjon av veivinkelen gitt ved:

$$y(\theta) = a + L - \left[(L^2 - a^2 \sin^2(\theta))^{\frac{1}{2}} + a \cos(\theta) \right] \quad (2.36)$$

hvor a er avstanden mellom veivakselens senter og veivbukt, per definisjon lik halve slaget $a = S/2$. På samme måte som for stempelets posisjon, kan cylinderens volum og indre overflateareal også uttrykkes som funksjoner av veivinkel:

$$V(\theta) = \frac{V_s}{r - 1} + \frac{V_s}{S} \cdot y(\theta) \quad (2.37a)$$

$$A(\theta) = \frac{\pi}{2} B^2 + \pi B \cdot y(\theta) \quad (2.37b)$$

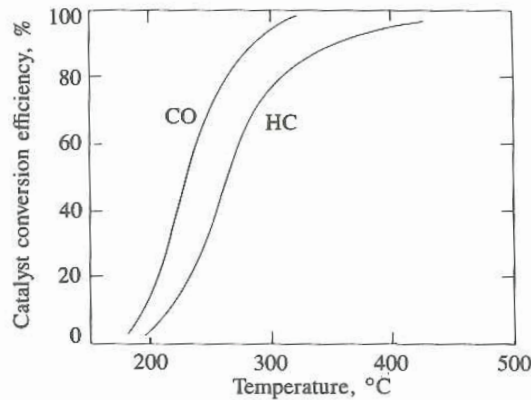


Figur 2.17: Katalytisk konverter med oksidasjon av HC og CO

2.4.2 Modellering av Katalysator

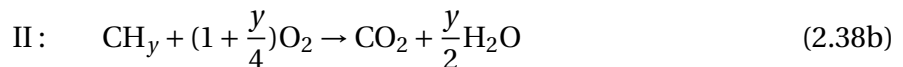
Forbrenningen i en stempelmotor er som nevnt ikke perfekt, og det medbringer uønskede utslipp av bl.a. CO, UHC, NO_x og partikler. For å hindre at disse slippes ut i omgivelsene er stempelmotorer flest utstyrt med enheter for etterbehandling av eksosgass. Enheter utviklet for etterbehandling inkluderer termiske reaktorer (for UHC og CO), filter (for partikler) og katalysatorer. Av katalysatorer finnes det oksidasjonskatalysatorer, for oksidasjon av CO og UHC, og reduksjonskatalysatorer, for reduksjon av NO_x . En treveis katalysator kan benyttes for etterbehandling av både CO, UHC og NO_x . Disse fungerer bare ved nær støkiometriske luft-drivstofforhold. Toyota 3Y motoren går med luftoverskuddstall mellom 1,2 og 1,5 noe som betyr at en treveis katalysator ikke er appliserbar. At motoren går med luftoverskudd betyr også at temperaturen i forbrenningsrommet er lavere og at det følgelig ikke dannes så mye NO_x . Lavere temperaturer kan på den annen side også føre til større produksjon av CO og UHC på grunn av slukkeffekter.

I CHP-enheten anvendes en toveis oksidasjonskatalysator. I en slik katalysator oksideres CO og UHC av overskuddsoksygen i eksosgassen ved katalytiske reaksjoner indusert av et *grid* av edelmetaller. En kombinasjon av platinum (Pt) og Palladium (Pd) er ofte brukt. For oksidering av CO og metan er den spesifikke aktiviteten for Pd høyere enn den for Pt [25]. Reaksjonene



Figur 2.18: Typisk konverteringsvirkningsgrad for en oksidasjonskatalysator [25]

indusert av edelmetallet skrives:



Virkningsgraden til en katalysator oppgis som forholdet mellom massen fjernet av en utslippsart i forhold til massestrømmen av den samme arten inn i katalysatoren. For eksempel for UHC blir dette matematisk[25]:

$$\eta_{\text{cat}} = \frac{\dot{m}_{\text{HC,in}} - \dot{m}_{\text{HC,out}}}{\dot{m}_{\text{HC,in}}} = 1 - \frac{\dot{m}_{\text{HC,out}}}{\dot{m}_{\text{HC,in}}} \quad (2.39)$$

I følge EPA [59] ligger utslippsreduksjonene i en oksidasjonskatalysator vanligvis mellom 10-60 % for CO og 40-75 % for UHC. Disse reduksjonene er avhengige av mange parameter som utslippenes konsentrasjon, lambda, temperatur, osv. Temperatur er en av parameterne som har størst virkning. Figur 2.18 viser typiske konverteringsvirkningsgrader som funksjon av temperatur. Som det kommer frem av figuren er katalysatoren ineffektiv ved lave temperaturer. Temperaturen som gir 50 % konverteringsvirkningsgrad kalles katalysatorens *light-off* temperatur. Når CO og UHC oksideres dannes det varme. Denne varmen vil øke eksosgassens entalpi, og dermed også dens temperatur. Konverteringsprosessen er i hovedtrekk den samme som forbrennings-

prosessen, og den spesifikke frigjorte energien er dermed lik gassartene forbrenningsentalpi. Katalysatoren antas å være adiabatisk og det antas at all frigjort energi går til oppvarming av eksosgassene. Endring i entalpi kan dermed beregnes ved:

$$\dot{Q}_{\text{kat}} = \Delta \dot{m}_{\text{CO}} \cdot \text{LHV}_{\text{CO}} + \Delta \dot{m}_{\text{UHC}} \cdot \text{LHV}_{\text{UHC}} \quad (2.40)$$

Endring i temperatur er proporsjonal med endring i entalpi ved:

$$\dot{Q}_{\text{kat}} = \dot{m}_e c_{p,e} \Delta T \quad (2.41)$$

hvor $c_{p,e}$ er den gjennomsnittlige spesifikke varmekapasitetene mellom temperaturene før katalysator og etter katalysator.

2.4.3 Energianalyse av ORC-krets

Energianalyse av ORC er avhengig av valg gjort under design av kretsen, samtidig som design av kretsen er avhengig av energianalyse av ORC. Dette gjør analysen til en iterativ prosess hvor flere arbeidsfluid, konfigurasjoner og komponenter undersøkes. ORC beregnes ved Rankinesyklusen. Den enkle, ideelle Rankine-syklusen består i fire prosesser:

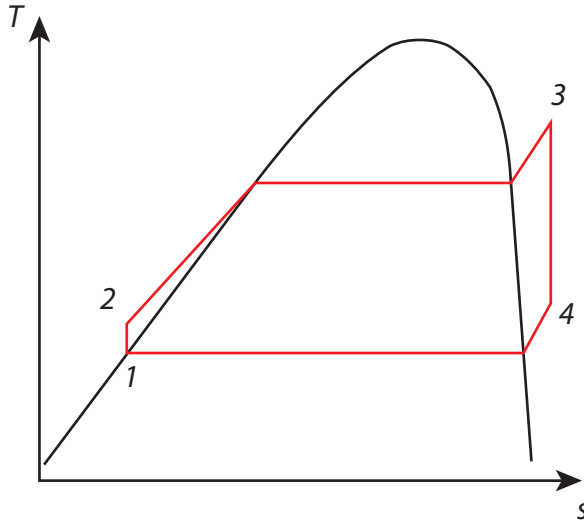
1-2 Isentropisk kompresjon i pumpe.

2-3 Konstant-trykk varmetilførsel.

3-4 Isentropisk ekspansjon i ekspander.

4-1 Konstant trykk varmebortførelse.

Fluidet entrer pumpen som mettet væske i tilstand 1 (se figur 2.19). I pumpen økes arbeidsfluidets trykk isentropisk til tilstand 2. Etter pumpen entrer fluidet fordamperen. Her tilføres fluidet varme ved konstant trykk, og temperatur og entropi økes til tilstand 3. Etter fordamper entrer fluidet ekspanderen. Her ekspanderes fluidet isentropisk til sitt opprinnelige trykk. Mellom tilstand 4 og tilstand 1 fjernes varme fra fluidet ved konstant trykk, og det entrer igjen pumpen som mettet væske i tilstand 1.



Figur 2.19: Eksempel på Ts-diagrammet til en enkel ORC.

I reelle prosesser vil det alltid være entropigenerering. Pumpe og ekspander vil følgelig inneha isentropiske virkningsgrader. Den isentropiske virkningsgraden til en pumpe beregnes ved:

$$\eta_{\text{iso}} = \frac{h_{2s} - h_1}{h_2 - h_1} \quad (2.42)$$

I ekspander er det produksjon av arbeid i stedet for konsum av arbeid. Definisjonen av eksanderes virkningsgrad er dermed omvendt av virkningsgraden for pumpe.

$$\eta_{\text{iso}} = \frac{h_3 - h_{4s}}{h_3 - h_4} \quad (2.43)$$

Arbeidet som konsumeres i pumpen beregnes ved:

$$w_{\text{pumpe}} = h_2 - h_1 \quad (2.44)$$

Varme tilført i fordamper beregnes ved:

$$q_{\text{inn}} = h_3 - h_2 \quad (2.45)$$

Arbeid produsert i ekspander beregnes ved:

$$w_{\text{eksp}} = h_3 - h_4 \quad (2.46)$$

Varme bortført i kondenser beregnes ved:

$$q_{\text{ut}} = h_4 - h_1 \quad (2.47)$$

Rankine-syklusens termiske virkningsgrad beregnes som forholdet mellom netto produsert arbeid og forbrukt arbeid ved:

$$\eta_{\text{th}} = \frac{w_{\text{eksp}} - w_{\text{pumpe}}}{q_{\text{inn}}} \quad (2.48)$$

2.5 Eksergianalyse

Analyse av arbeidspotensialet til et system kalles eksergianalyse. Eksergi er en ekstensiv egenhet i likhet med energi og entropi. Navnet eksergi ble tatt i bruk av Rant i 1956 for å skape assosiasjoner til energi på grunn av likheten mellom de to egenskapene. Eksergi har gjennom tidene også gått under bl.a. navnene: *motivity, available energy, the body and medium og virtue of energy*[60]. Nå omtales den gjerne som: tilgjengelig arbeid, tilgjengelighet eller arbeidspotensiale, dersom det skal brukes et mer dagligdags språk. Eksergianalyse er en kombinasjon av første og andre lovs analyse. Arbeidspotensialet til energien i et system ved en spesifisert tilstand er det maksimale brukbare arbeidet som kan tas ut av systemet. Arbeidet som utføres av et system under en prosess er avhengig av: systemets opprinnelige tilstand, prosessens bane og systemets sluttilstand. Maksimalt arbeid oppnås når prosessen mellom den opprinnelig tilstanden og sluttilstanden utføres reversibelt og systemet oppnår *dead state* ved prosessens slutt. Den opprinnelige tilstanden til systemet er alltid spesifisert ved eksergianalyse og er derfor ikke en variabel. Når et system oppnår termisk likevekt med miljøet sies det å være i dead-state. Miljøet er dermed en viktig del av eksergianalyse, ettersom det fungerer både som fysiske- og kjemiske referansetilstander.

Termodynamikkens andre lov har blitt beskrevet på flere måter. En av beskrivelsene av termodynamikkens andre lov er Kelvin-Planck beskrivelsen. I følge Kelvin-Planck beskrivelsen er det

umulig for et system å operere i en termodynamisk syklus og levere en netto mengde energi til sine omgivelser, mens det mottar varme fra et enslig termisk reservoar. Matematisk blir dette[7]

$$W_{\text{syklus}} \leq 0 \quad (\text{enslig reservoar}) \quad (2.49)$$

En reversibel prosess defineres ved at det er mulig å gjenopprette systemet til sin opprinnelige tilstand før prosessen. Dersom en prosess er irreversibel vil det være umulig å gjenopprette systemet. Mange effekter kan gjøre en prosess irreversibel. Blant annet: varmeovergang gjennom en endelig temperaturdifferanse, spontane kjemiske reaksjoner, blanding av substanser ved forskjellige komposisjoner eller forskjellige tilstander og friksjon. Begrepet irreversibiliteter brukes til å identifisere slike effekter. Når et system undergår en prosess hvor irreversibiliteter er tilstede vil systemets evne til å utføre arbeid gå ned. Med andre ord vil ekseni bli ødelagt i en irreversibel prosess. Når et system går fra en tilstand av mye ekseni til en tilstand av mindre ekseni, kan det sies at systemets har gått fra en tilstand av høy orden til en tilstand av lavere orden. I alle reelle prosesser vil det være irreversibiliteter, det vil si at alle systemer som gjennomgår en prosesser vil gå fra en tilstand av høyere orden til en tilstand av lavere orden. Gjennom statistisk termodynamikk er det utviklet et begrep som indikerer ordenen (evt. uordenen) i et system. Dette begrepet kalles entropi. Et system som gjennomgår en prosess vil alltid gå i retning av høyere entropi i systemet og/eller omgivelsene. Dette betyr at generert entropi har samme betydning som ødelagt ekseni. Begrepene ødelagt ekseni og generert entropi relateres matematisk ved[7]

$$\dot{X}_{\text{ødelagt}} = T_0 \dot{S}_{\text{gen}} \quad (2.50)$$

hvor T_0 er omgivelsetemperaturen. Generert entropi identifiseres ved andre lovs analyse, som igjen utføres på bakgrunn av energiflytene i systemet. Det er derfor nødvendig å utføre både første- og andre lovs analyse av et termodynamisk system før ekseniflytene kan identifiseres.

2.5.1 Andre lovs analyse

Termodynamikkens andre lov fører til definisjonen av egenskapen entropi. I motsetning til energi er ikke entropi en konserverert egenskap, men en egenskap som alltid vil øke i reelle prosesser.

Matematisk kan prinsippet om entropiøkning uttrykkes [56]

$$dS \geq \frac{\delta Q}{T} \quad (2.51)$$

hvor likhetstegnet gjelder for reversible prosesser og ulikhetstegnet gjelder for irreversible prosesser. Temperaturen T i ligning 2.51 er temperaturen ved systemgrensen hvor varmeovergangen δQ foregår. Irreversible prosesser inneholder som nevnt irreversibiliteter som friksjon osv. Disse irreversibilitetene bidrar til en entropigenerering denotert S_{gen} . Generert entropi beregnes som den totale forandring i et system samt dets omgivelser:

$$S_{\text{gen}} = \Delta S_{\text{tot}} = \Delta S_{\text{sys}} + \Delta S_{\text{omg}} \geq 0 \quad (2.52)$$

Prinsippet om entropiøkning tilsier altså ikke at endringen i entropi i et system ikke kan være negativ, men at den totale entropiendringen for et system og dets omgivelser alltid vil være positiv i irreversible prosesser. Entropi er en ekstensiv egenskap, og systemets entropi kan dermed beregnes som summen av entropiene til systemets deler. Entropien tilhørende en masse kan forandres ved: varmeovergang og irreversibiliteter. Følgelig vil entropien til en masse ikke forandre seg i en prosess som er intern reversibel og adiabatisk. En slik prosess kalles en isentropisk prosess, en type prosess som ligger til grunne for flere ideelle sykluser. Entropibalansen system er lik på på energibalansen til et system, med unntak av leddet for entropigenerering. Matematisk kan entropibalansen for et steady-flow system uttrykkes:

$$\dot{S}_{\text{inn}} - \dot{S}_{\text{ut}} + \dot{S}_{\text{gen}} = \frac{dS_{\text{system}}}{dt} \quad (2.53)$$

\dot{S}_{inn} og \dot{S}_{ut} er entropioverganger ved enten varmeovergang eller massestrøm. Den totale entropiovergang ved varmeovergang er summen av alle endelig Q_k varmeoverføringer ved systemgrensetemperaturen T_k . Entropiovergang ved massestrøm er produktet av massestrømmen og tilhørende spesifikk entropi. For et system som kraftenheten i CHP-anlegget, hvor det er adskilte massestrømmer, så kan entropibalansen generelt uttrykkes ved:

$$\dot{S}_{\text{gen}} = \dot{m}_v(s_e - s_i) + \dot{m}_a(s_e - s_i) - \sum \frac{\dot{Q}_k}{T_k} \quad (2.54)$$

For vann kan entropiendring mellom innløp og utløp beregnes ved

$$s_e - s_i = c_{p,\text{avg}} \ln \frac{T_i}{T_e} \quad (2.55)$$

Entropiendring for luft beregnes som entropiendring i en ideell gass. Dette kan utføres på to måter: ved konstante spesifikke varmekapasiteter eller ved variable spesifikke varmekapasiteter. Beregning med konstante spesifikke varmekapasiteter er en tilnærming til den eksakte løsningen som forenkler analysen på bekostning av nøyaktighet. Resultatet som oppnås ved denne beregningsmetoden vil være tilstrekkelige dersom temperaturområdet ikke overskridet noen hundre grader. Entropiendring for en ideell gass med konstante spesifikke varmekapasiteter skrives matematisk:

$$s_e - s_i = c_{p,\text{avg}} \ln \frac{T_i}{T_e} - R \ln \frac{P_e}{P_i} \quad (2.56)$$

2.5.2 Omgivelser

Omgivelsene til et system er per definisjon alt utenfor systemet. Omgivelsene kan deles inn i to deler: de umiddelbare omgivelsene til systemet og miljøet. Forskjellen mellom de to delene er at de umiddelbare omgivelsene til systemet påvirkes av varmeutveksling med systemet, mens miljøet forblir upåvirket. I miljøet er den fysiske og kjemiske tilstanden alltid konstant, dvs miljøets tilstand vil aldri la seg påvirke av utveksling av varme eller masse med systemet.

CHP-enheten er et system som hele tiden avgir varme til omgivelsene sine. De umiddelbare omgivelsene i dette tilfellet er innsiden av testcontaineren som enheten står i. Som følge av dette vil luften inne i containeren varmes opp og det vil være en forskjell i de umiddelbare omgivelsenes- og miljøets termo-mekaniske tilstand. For miljøet er det vanlig å oppgi termo-mekanisk- og kjemisk tilstand i henhold til standardiserte temperaturer, trykk og gasskomposisjoner. Vanligvis brukes en temperatur på 25 °C og et trykk på 1 atm. Gasskompositionen i miljøet er ofte tilnærmet den gjennomsnittlige tørre volumetriske sammensetningen i atmosfæren. Luft helt uten fuktighet og temperaturer på 25 °C oppstår sjeldent i Bergensområdet. Det vil derfor være ønskelig å definere et miljø som er nærmere de faktiske forholdene i området. I tillegg til variasjoner i temperatur og luftfuktighet, vil det også være variasjoner i trykk.

Tabell 2.1: En oversikt over tilstander brukt til beregning.

	Standard referansetilstand (Referanse)	Lokal referansetilstand (Miljø)	Umiddelbare omgivelser (Container)
T [°C]	25	5,7	23,75
P [kPa]	101,325	100,92	100,92
Formel	Komposisjon [mol%]		
N_2	76.37	77.74	77.74
O_2	20.49	20.86	20.86
H_2O	2.189845	0.435273	0.435273

De fleste tabulerte termo-kjemiske data er oppgitt for standard referansetilstand med temperatur $T = 25$ °C, trykk $P = 101,325$ kPa og relativ fuktighet RF = 0 %. Å anta at det ikke er noe hydrogen i luften vil føre til et meget stort arbeidspotensiale for H_2O , hvilket vil være overdimensionert, ettersom det sjeldent er helt tørt. En standard referansetilstand defineres etter forslag fra Morris og Szargut med RF=70 % [61] [62]. Lokal referansetilstand kan bestemmes ut fra lokale metrologiske målinger. Tilstanden til de umiddelbare omgivelsene kan bestemmes ut i fra en temperaturmåling i testcontaineren. Trykket regnes å være det samme i miljøet og de umiddelbare omgivelsene. Den relative fuktigheten i containeren ϕ beregnes ut i fra antagelsen om at mengden fuktighet i luften ω er konstant mens luften varmes opp fra T_m til T_o . Se tabell 2.1 for en oversikt over de forskjellige referansetilstandene.

2.5.3 Reversibelt arbeid og irreversibiliteter

Som nevnt over er arbeidet utført av et system under en prosess avhengig av tre variabler: systemets opprinnelige tilstand, prosessens bane og systemets endelig tilstand[56], dvs.

$$\text{Arbeid} = f(\text{oppriinnelig tilstand}, \text{prosessbane}, \text{endelig tilstand})$$

I eksergianalyse er alltid den opprinnelige tilstanden spesifisert og den endelige tilstanden antas alltid å være dead state. Arbeidet fra systemet er dermed avhengig av prosessbanen. Reversibelt arbeid W_{rev} er det "største brukbare arbeidet som kan produseres (eller det minste arbeidet

som må tilføres) mens et system undergår en prosess fra en spesifisert opprinnelig og endelig tilstand”[56]. Enhver forskjell mellom det reversible arbeidet W_{rev} og det brukbare arbeidet W_b kalles en irreversibilitet I . Dette kan uttrykkes matematisk som:

$$I = W_{\text{rev,ut}} - W_{u,\text{ut}} \quad (2.57)$$

Irreversibiliteten I er det samme som ødelagt eksjergi. Varmekraftmaskiner kan ofte dømmes urettferdig ut fra første lovs virkningsgrad, ettersom den på sitt beste ikke vil kunne overgå den reversible virkningsgraden. For å unngå dette er det mulig å bruke andre lovs virkningsgrad til sammenligning. Andre lovs virkningsgrad er forholdet mellom varmekraftmaskinens termiske virkningsgrad og den maksimale virkningsgraden, uttrykt matematisk ved:

$$\eta_{\text{II}} = \frac{\eta_{\text{th}}}{\eta_{\text{th,rev}}} \quad (2.58)$$

Andre lovs virkningsgrad for en arbeidsproduserende enhet kan også skrives som forholdet mellom det brukbare arbeidet enhet gir og det maksimale (reversible) arbeidet:

$$\eta_{\text{II}} = \frac{W_u}{W_{\text{rev}}} \quad (2.59)$$

2.5.4 Eksergibalanse

Balansen for eksjergi er som for energi og entropi basert på en netto overgang av eksjergi ved arbeid, varme- eller masseovergang. Der entropibalansen inneholder et ledd for entropigenere-ring inneholder eksergibalansen et ledd for eksjergiødeleggelse:

$$\dot{X}_{\text{inn}} - \dot{X}_{\text{ut}} - \dot{X}_{\text{ødelagt}} = \frac{dX_{\text{system}}}{dt} \quad (2.60)$$

Eksergibalansen til et system som utfører et arbeid mens det undergår en prosess med varme- og masseovergang kan oppnås ved å ganske enkelt multiplisere entropibalansen med T_0 og addere den til energibalansen [60]. Resultatet er en lineær kombinasjon av entropi- og energibalansene:

lansen skrevet på generell form som:

$$\frac{dX_{\text{system}}}{dt} = \sum \left(1 - \frac{T_0}{T_k} \right) \dot{Q}_k - \dot{W} + \sum \dot{m}_i \psi_i - \sum \dot{m}_e \psi_e - T_0 \dot{S}_{\text{gen}} \quad (2.61)$$

Første ledd på høyre side av ligning 2.61 representerer eksergiovergang ved varmeovergang. Andre ledd på høyre side representerer eksergiovergang ved arbeid. Tredje og fjerde ledd på høyre side representerer eksergiovergang ved masseovergang, og det siste ledet representerer eksertiodeleggelsen. For et steady flow system vil eksergiendringsraten, på venstre side av ligning 2.61, være lik null. Eksergiflyten ϕ ved masseovergang er summen av flere typer eksperi, på samme måte som energiflyten ved masseovergang er summen av flere typer energi. Komponentene i eksergiflyten er fysisk eksperi, kjemisk eksperi, kinetisk eksperi og potensiell eksperi[60]

$$\psi = \psi_{\text{fys}} + \psi_{\text{kjem}} + \psi_{\text{kin}} + \psi_{\text{pot}} \quad (2.62)$$

I det aktuelle systemet er endringene i kinetisk og potensiell eksperi neglisjerbare.

2.5.5 Fysisk eksperi

Fysisk eksperi er lik det maksimale arbeidet som kan utføres når et system går fra en spesifisert termo-mekanisk tilstand til *dead state*. Systemets og referansemiljøets termo-mekaniske tilstander er spesifisert ved temperatur og trykk, ved henholdsvis T, P og T_0, P_0 . Den fysiske eksnergien til en masseflyt kan beregnes ved:

$$\psi_{\text{fys}} = (h - h_0) - T_0(s - s_0) \quad (2.63)$$

hvor h_0 og s_0 representerer henholdsvis entalpien og entropien til masseflyten ved dead state. For ideelle gasser med antatt konstante spesifikke varmekapasiteter kan ligning 2.63 skrives om til:

$$\psi_{\text{fys}} = c_p \left[(T - T_0) - T_0 \ln \left(\frac{T}{T_0} \right) \right] + R T_0 \ln \left(\frac{P}{P_0} \right) \quad (2.64)$$

For flytende masser som antas inkompressible og med konstant spesifikk varmekapasitet kan Lignin 2.63 skrives om til [63]:

$$\psi_{\text{fys}} = c_p \left[(T - T_0) - T_0 \ln \left(\frac{T}{T_0} \right) \right] + v_m (P - P_0) \quad (2.65)$$

hvor v_m er det gjennomsnittlige spesifikke volumet mellom P og P_0 .

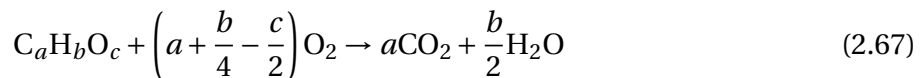
2.5.6 Kjemisk eksperi

Konseptet kjemisk eksperi innebærer det maksimale arbeidet som kan utføres når et system eller en masseflyt tas fra en spesifisert tilstand til en referansestasjon hvor det er komplett termodynamisk likevekt; mekanisk, termisk og kjemisk likevekt. Ved beregning av den kjemiske eksperien til en molekyl-art skiller det mellom arter som er en del av et referansemiljø og arter som ikke er en del av et referansemiljø. For atmosfæriske gasser kan den molare kjemiske eksperien uttrykkes ved [63]:

$$\psi_{\text{kjem},i} = R_u T_0 \ln y_{e,i} \quad (2.66)$$

hvor R_u er den universelle gasskonstanten, T_0 er omgivelsestemperaturen og y_i er molfraksjonen av den aktuelle gassarten i et miljø som er ulikt referansemiljøet. Molfraksjonen y_i beregnes ut fra den aktuelle gassartens molfraksjon i tørr luft og molfraksjonen H_2O i det aktuelle miljøet. Den molare kjemiske eksperien til flytende vann er ikke inkludert i beregningene ettersom vannet i CHP-anlegget tilhører en lukket krets.

For gasser som ikke-atmosfæriske gasser bestemmes den kjemiske eksperien ved å anse to reversible prosesser. Den første er en kjemisk reaksjon som skjer ved P_0 og T_0 , hvor gassarten i reagerer med koreaktanter fra miljøet og danner produkter som allerede finnes i referansemiljøet. Den andre prosessen består i endring av konsentrasjonen til produktene fra den første prosessen, til konsentrasjonen de ville ha i referansemiljøet. For hydrokarbon-baserte gassformige brennstoff gjelder den generelle ligningen for reaksjon med oksygen:



Bestemmelse av den kjemiske eksperien til gassarten i i en gassblanding kan bestemmes ut

i fra ligningen:

$$\psi_{kjem,i} = - \sum_{j \neq i} v_j g_j(T_0, P_0) + \sum_{j \neq i} v_j \psi_{kjem,j} \quad (2.68)$$

hvor v_j er den støkiometriske koeffisienten for hver art i ligning 2.67, dermed er $v_{C_aH_bO_c} = -1$, $v_{O_2} = -(a + b/4 - c/2)$, $v_{CO_2} = a$ og $v_{H_2O} = b/2$. Data for Gibbs frie energi oppgis ofte ved referansestilstanden $T_{ref} = 25^\circ C$ og $P_{ref} = 101,325 \text{ kPa}$. Omregning fra referanse tilstanden til den aktuelle tilstanden kan utføres ved:

$$-\sum_j v_j g_{0,j} = -\sum_j v_j g_{ref,j} + (T_{ref} - T_0) \left(-\sum_j v_j s_{ref,j} \right) \quad (2.69)$$

Ved å kombinere ligning 2.68, 2.69 og 2.66 er det mulig å komme frem til ligningen:

$$\psi_{kjem,i} = \psi_{kjem,ref,i} \frac{T_0}{T_{ref}} + \frac{T_{ref} - T_0}{T_{ref}} (-\Delta H_{ref}) + T_0 R \sum_{j \neq i} v_i \ln \frac{y_{ref,j}}{y_{e,j}} \quad (2.70)$$

hvor $\psi_{kjem,ref,i}$, $y_{ref,j}$ og $-\Delta H_{ref}$ er verdier ved referansestilstanden (T_{ref} , P_{ref} , RF_{ref}). Den kjemiske eksersien til en en gassblanding regnes som en vanlig ekstensiv egenskap ved:

$$\psi_{kjem,m} = \sum_i y_i \psi_{kjem,i} + RT_0 \sum_i y_i \ln y_i \quad (2.71)$$

2.6 Økonomisk analyse

Fullførelsen av et termisk designprosjekt krever en økonomisk analyse og evaluering som inkluderer blant annet investeringskostnader, drivstoffkostnader, operasjons- og vedlikeholdskostnader (O& M) og produktkostnader. Forutsigelser om systemets langsiktige kostnader og besparelser/inntekter krever flere antagelser om økonomi, teknologi og lovmessig miljø. Denne seksjonen vil ta for seg estimering av systemets initielle investeringer, beregning av produktkostnader og evaluering av systemets lønnsomhet kontra andre investeringsmuligheter.

En av de viktigste faktorene som påvirker et termisk system er produktenes kostnad. Kostnaden til en vare er pengene som brukes på å tilegne seg eller produsere varen. Markedsprisen til varen er ikke bare avhengig av varens produksjonskostnad, men også faktorer som forsyning, etterspørsel, konkurransen, reguleringer og subsidier. I design av termiske systemer er man først

og fremst opptatt av produksjonskostnadene. Markedspris brukes derfor bare til drivstoffkostnader og til å gi verdi til systemets bi-produkter.

Den økonomiske analysen i denne oppgaven vil utføres etter inntektskravmetoden (*revenue requirement method* [7]). Ved denne metoden kan hovedproduktets kostnad beregnes i fire steg:

1. Estimering av totale investeringskostnader.
2. Bestemmelse av økonomisk, finansiell, operasjons- og markedsparametre for detaljert kostnadsberegnning.
3. Beregning av inntektskrav.
4. Beregning av spesifikk produktkostnad.

2.6.1 Estimering av totale investeringskostnader

Investeringskostnader er, i motsetning til O & M og drivstoffkostnader, en engangsutbetaling av kapital. Investeringskostnader behandles derfor annerledes enn O & M og drivstoffkostnader.

Kapitalen som trengs for kjøp av land, bygging av fasiliteter og kjøp og installasjon av maskineri og utstyr kalles fast-kapitalinvestering (FCI). Fast-kapitalinvesteringer representerer summen som måtte utbetales dersom systemet skulle bygges over natten. De totale investeringskostnadene (TCI) er summen av FCI og andre utlegg. For en oversikt over alle komponentene i de totale investeringene se tabell 2.2. I tabellen er faste kostnader inndelt i de to hovedkategoriene: direkte kostnader (DC) og indirekte kostnader (IC). Direkte kostnader omfatter kostnadene av alt permanente utstyr, material, arbeid, osv, mens indirekte kostnader omfatter slik som ingeniørtjenester, byggekostnader og eventualiteter. Andre utlegg utenom FCI innbefatter startoppkostnader, forskning og utvikling o.l.

Utstyrskostnader

Estimering av utstyrskostnader er essensielt i en hver detaljert kostnadsanalyse. Utstyrskostnader kan best innhentes ved sitat fra leverandør i tilfellet av en innledende kostnadsanalyse.

Tabell 2.2: Oversikt over komponentene i de totale investeringer (TCI)[7]

I. Fast-investeringer (FCI)**A. Direkte kostnader (DC)****1. *Onsite* kostnader**

- Innkjøpt-utstyr, kostnad (PEC;15-40% av FCI)
- Innkjøpt-utstyr, installasjon(20-90% av PEC; 6-14% av FCI)
- Rør (10-70% av PEC; 3-20% av FCI)
- Instrumentering og kontroller (6-40% av PEC; 2-8% av FCI)
- Elektrisk utstyr og materialer (10-15% av PEC; 2-10% av FCI)

2. *Offsite* kostnader

- Eiendom (0-10% av PEC;0-2% av FCI)
- Bygging- og arkitekturarbeid(15-90% av PEC; 5-23% av FCI)
- Service fasiliteter (30-100% av PEC; 8-20% av FCI)

B. Indirekte kostnader (IC)

1. Ingeniørtjenester og ledelse (25-72% av PEC; 6-15% av DC; 4-21% av FCI)
2. Byggekostnader (15% av DC; 6-22% av FCI)
3. Eventualiteter (8-25% av summen over; 5-20% av FCI)

I. Andre utlegg

- A. Oppstartskostnader (5-12% av FCI)
 - B. Arbeidskapital (10-20% av TCI)
 - C. Kostnad av lisenser, forskning og utvikling
 - D. Godtgjørelsen av midler som brukes under bygging (AFUDC)
-

Drift- og vedlikeholdskostnader

Drift og vedlikeholdskostnader baseres på antagelser, erfaringer fra tidligere anlegg eller estimat fra leverandør.

2.6.2 *Carrying Charges*

Carrying Charges (CC) er forpliktelser assosiert med en investering. Disse er i natur annerledes enn driftkostnader ved at de synker utover levetiden til maskineriet de er assosiert med. CC inkluderer avskrivninger, skatter, forsikring og avkastning. CHP-enheten er ikke ment for å gi noen netto inntekt og er antatt finansiert med egne midler så det er ikke noe krav til avkastning. CC blir da årlige avskrivninger. CHP-enheten avskrives i henhold til saldo gruppe J: Fast teknisk installasjon i bygninger - 10 % [64].

2.6.3 Inflasjon, eskalering og annuitet

Inflasjon er økning i pris av en vare på grunn av økning i tilgjengelig valuta og kreditt uten en proporsjonel økning i tilgjengelig gods og ytelsjer av lignende kvalitet. Den virkelige eskaleringsraten til en utgift er den årlige raten for økning i utgiften på grunn av faktorer som ressurstømming, økt forespørsel og teknologiske nyvinninger. Den reelle eskaleringsraten er uavhengig av inflasjon. Den nominelle eskaleringsraten tar hensyn til både inflasjon og den reelle eksaleringsraten. For den nominelle eksaleringsraten er konsumprisindeksen (KPI) brukt. Det skiller mellom KPI for energiprodukter og KPI for andre produkter.

Kostnadseskaling fører til en økende utgifter utover maskineriets levetid. Utgiftene øker med $(1+r)$ hvert år, hvor r er nominell eksaleringsrate. *Constant-cost levelization factor* (CELF) er en faktor som brukes for å uttrykke forholdet mellom en utgifts verdi ved begynnelsen av det første året og en ekvivalent annuitet som kalles *levelized value*. Faktoren er avhengig av både den effektive renten i_{eff} og den nominelle eksaleringsraten. CELF uttrykkes ved [7]:

$$\text{CELF} = \frac{k(1 - k^n)}{1 - k} \text{CRF} \quad (2.72)$$

hvor

$$k = \frac{1+r}{1+i_{\text{eff}}} \quad (2.73)$$

og

$$\text{CRF} = \frac{i_{\text{eff}}(1+i_{\text{eff}})^n}{(1+i_{\text{eff}})^n - 1} \quad (2.74)$$

Den effektive renten i_{eff} representerer pengenes fremtidige verdi. Prinsippet bygger på at en krone i hånden i dag er verdt mer enn en krone i hånden om et år, fordi kronen kan investeres. Total kostnad beregnes for hvert år som den fremtidige verdien av til drivstoffkostnadene, vedlikeholdskostnadene og avskrivningene

$$\text{TRR}_F = \text{FC}_F + \text{OMC}_F + \text{CC}_F \quad (2.75)$$

Annuiteten til TRR i ligning 2.75 beregnes ved å først regne nåverdi ved

$$P = F \frac{1}{(1+i_{\text{eff}})^n} \quad (2.76)$$

For så å regne annuiteten ved

$$\text{TRR}_A = \sum \text{TRR}_P \cdot \text{CRF} \quad (2.77)$$

Annuiteten til drivstoffkostnadene og drift- og vedlikeholdskostnadene beregnes ved å først finne nåverdi for deretter å regne annuitet ved

$$\text{FC}_A = \sum \text{FC}_P \cdot \text{CELF}_{\text{FC}} \quad (2.78)$$

og

$$\text{OMC}_A = \sum \text{OMC}_P \cdot \text{CELF}_{\text{OMC}} \quad (2.79)$$

Hvor den nominelle eksaleringraten r er forskjellig i faktorene CELF_{FC} og CELF_{OMC} . Annuiteten til avskrivningene regnes ved

$$\text{CC}_A = \text{TRR}_A - \text{FC}_A - \text{OMC}_A \quad (2.80)$$

CC_A og FC_A og OMC_A er videre omregnet til \dot{Z}_{CI} og \dot{Z}_{OM} ved henholdsvis:

$$\dot{Z}_{CI} = CC_A / (8760 \cdot 3600) \quad (2.81)$$

og

$$\dot{Z}_{OM} = (FC_A + OMC_A) / (8760 \cdot 3600) \quad (2.82)$$

2.7 Eksergoøkonomisk analyse

Formålet med eksergoøkonomisk analyse er, som nevnt tidligere, enten å (a) kalkulere separate kostnader for hvert produkt i et system som har mer en et produkt, (b) forstå kostnad-dannelsesprosessen og kostnadsflyten i systemet, (c) optimere spesifikke variabler i en enkel systemkomponent eller (d) optimere det samlede systemet [7]. I oppnåelse av formålet brukes kostnadsbalanser hyppig. Kostnadsbalanser fungerer på samme måte som energi-, entropi- og eksergibalanser. Kostnadene inn må være like kostnadene ut. Kostnader kan hverken bli til eller forsvinne. I en konvensjonell økonomisk analyse settes gjerne kostnadsbalansen over systemet i sin helhet og det antas at systemet opererer ved *steady state*. Balansen kan da bli seende ut:

$$\dot{C}_{P,tot} = \dot{C}_{F,tot} + \dot{Z}_{tot}^{CI} + \dot{Z}_{tot}^{OM} \quad (2.83)$$

Denne ligningen uttrykker kostnadsraten assosiert ved produksjonen i systemet ($\dot{C}_{P,tot}$) som summen av kostnaden av drivstoff ($\dot{C}_{F,tot}$), kostnaden av kapitalinvestering (\dot{Z}_{tot}^{CI}) og kostnaden av drift og vedlikehold (\dot{Z}_{tot}^{OM}). Variabler denotert med \dot{C} representerer i denne teksten kostnader assosiert med en eller annen for eksistrøm: enten det er massestrøm, arbeidsstrøm eller varmeoverføring. Variabler denotert \dot{Z} representerer alle resterende kostnader. For et system som operer i *steady state* kan det være mange inn- og utadstrømmende massestrømmer og energistrømmer. Assosiert med disse strømmene vil det være eksistrømmer. Eksperi er defi-nert som den verdifulle delen av energi (dvs. den delen som kan omformes til arbeid) så det gir mening å tildele kostnader i systemet på ekserbasis. Denne tildelingen kalles ekserkostndas-kalkyle. I eksirkostnadskalkyle assosieres en kostnad ved hver eksistrøm. For eksistrømmer medfølgende massestrømmer inn \dot{X}_i , massestrømmer ut \dot{X}_u , arbeid \dot{W} og varmeovergang

\dot{X}_q skrives:

$$\dot{C}_i = c_i \dot{X}_i = c_i (\dot{m}_i \psi_i) \quad (2.84a)$$

$$\dot{C}_u = c_u \dot{X}_u = c_u (\dot{m}_u \psi_u) \quad (2.84b)$$

$$\dot{C}_w = c_w \dot{W} \quad (2.84c)$$

$$\dot{C}_q = c_q \dot{X}_q \quad (2.84d)$$

Her er variablene c_i , c_u , c_w og c_q eksbergispesifikke kostnader. I eksbergikostnadskalkyle settes det kostnadsbalanser over hver komponent i systemet. Dette gjør det mulig å definere kostnadene til de individuelle eksbergiødeleggelsene. Disse kostnadene kan igjen brukes som viktig input til avgjørelser om drift eller utbedring av systemet. En kostnadsbalanse på den k -ende komponenten i systemet viser at kostnadsratene assosiert ved eksbergistrøm inn er lik kostnadsraten assosiert med eksbergistrøm ut pluss eventuelle investeringskostnader og operasjons- og vedlikeholdskostnader. Summen av de to siste leddene denoteres \dot{Z}_k . For en komponent som mottar varme og produserer arbeid, slik som en varmekraftmaskin, kan kostnadsbalansen skrives [7]:

$$\sum_u \dot{C}_{u,k} + \dot{C}_{w,k} = \dot{C}_{q,k} + \sum_i \dot{C}_{i,k} + \dot{Z}_k \quad (2.85)$$

Kostnadsbalanser skrives generelt slik at alle leddene i balansen er positive. I balansen går det ut i fra at de energistrømmene i systemet, de spesifikke kostnadene til eksbergistrømmene inn og investerings- og operasjons- og vedlikeholdskostnadene er kjent. Følgelig er det de spesifikke kostnadene til eksbergistrømmene ut som beregnes. I flere tilfeller fører dette til ligninger med to eller flere ukjente. For eksempel i tilfellet motoren i CHP-enheten.

I motoren produseres det både varme og kraft, samtidig som eksosgasser forsvinner ut av enheten og noe varme forsvinner til omgivelsene ved konveksjon og stråling. For å kunne løse kostnadsbalansen trengs det dermed flere relasjoner. I CHP-enheten utnyttes både arbeidet og varmen som produseres i motoren, så disse kan sees på som likestilte produkter, og det regnes at de produseres med samme gjennomsnittlige eksbergispesifikke kostnad.

$$c_w = c_q \quad (2.86)$$

Eksergistrømmen i eksosgassen regnes som tap i motoren, i den betydning at den ikke er en del av motorens produkt. I et system hvor eksosgassene ut fra motoren forsvinner ut i omgivelsene uten å utnyttes videre, og formålet med den eksergoøkonomiske analysen var å beregne kostnadene til de endelige produktene eller å evaluere det helhetlige systemet, ville de assoserte kostnadene \dot{C}_e vært lik null. I CHP-enheten utnyttes derimot eksergien i eksosgassen fra stempelmotoren ved at de varmeveksler med kjølekreten og bidrar til en økt varmeproduksjon. Kostnadsraten $\dot{C}_{e,k}$ assosiert med eksergistrømmen i eksosgassene $\dot{X}_{e,k}$ beregnes ved å anta at eksergistrømmen dekkes av ekstra drivstoffforbruk, uttrykt ved:

$$\dot{C}_e = c_F \dot{X}_e \quad (2.87)$$

Samme fremgangsmåte kan brukes til å beregne kostnadsratene assosiert med varmetap ved konveksjon og stråling. Både eksergistrømmen og kostnadsraten assosiert med luftstrømmen inn er neglisjerbare. Kostnadsbalansen for motoren blir da:

$$\dot{C}_w + \dot{C}_q + \dot{C}_e + \dot{C}_{q,tap} = \dot{C}_F + \dot{Z}_k \quad (2.88)$$

Kostnadsbalansen for generator og varmevekslere kan beregnes ved å bruke F- og P-prinsippene. F-prinsippet referer til fjerning av eksergi fra en eksergistrøm som er definert som drivstoff. I følgende prinsippet må den spesifikke kostnaden assosiert med fjerningen av eksergi være den samme som kostnaden eksergi ble tilført strømmen med *upstream* i systemet. P-prinsippet referer til tilførsel av eksergi til en eksergistrøm. P-prinsippet tilsier at all eksergi tilført en strøm som er definert som en produktstrøm tilføres med den samme spesifikke kostnaden [36]. For enkelhets skyld antas oljefilter å være en del av motoren.

Kapittel 3

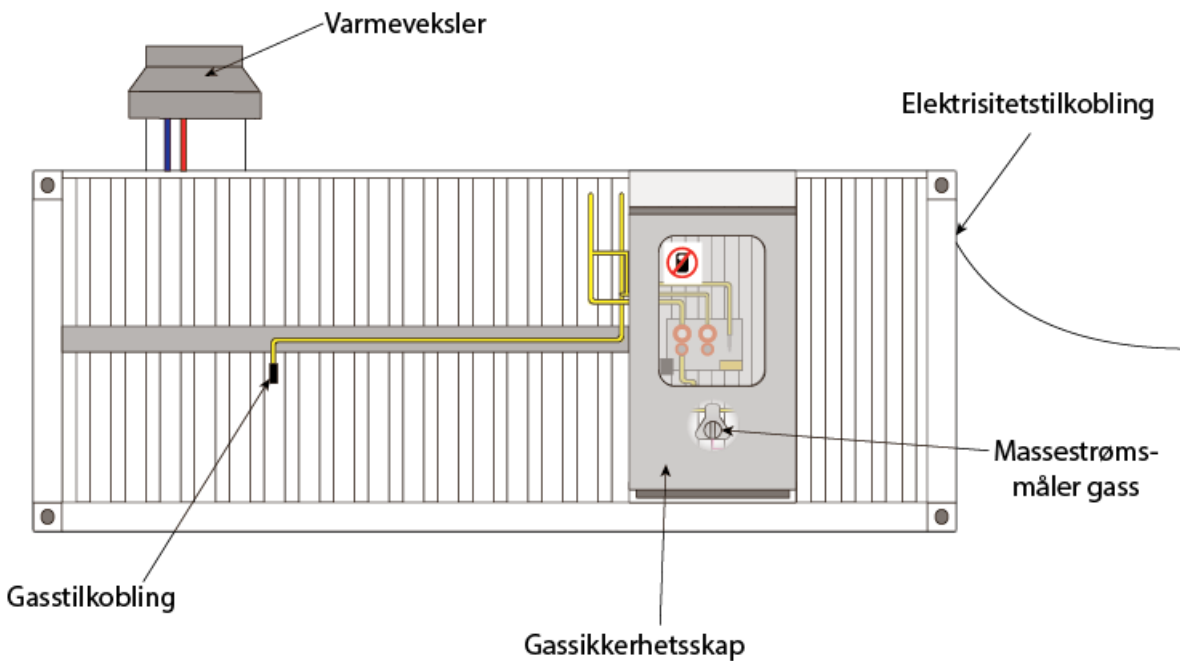
Metode

Beregningene i denne oppgaven baserer seg på målinger utført i 2007 og 2015. Målingene fra 21.03.2007 ble utført av Øystein Lindberg [17] i samarbeid med PKS på Mongstad. XRG 13 CHP-enheten sto da som en del av et større anlegg med flere CHP-enheter som alle kunne styres fra én og samme PC. CHP-enheten var på dette tidspunktet komplett instrumentert for analyse av produsert varme og elektrisk effekt samt elektrisk virkningsgrad, varmeverkningsgrad og total virkningsgrad. Mer om disse målingenes utførelse og motivasjon finnes i referanse [17].

Fra CHP-enheten ble overlevert fra Statoil til Høgskolen i Bergen til begynnelsen på arbeidet med denne oppgaven har enheten ikke vært i bruk, og mye tyder på at testingen utført 21.03.2007 i forbindelse med studentoppgaven til Øystein Lindberg [17] er de siste testene utført på enheten. Det har ikke lyktes Høgskolen i Bergen å oppnå samme grad av instrumentering i som CHP-enheten hadde i 2007 i løpet av den tilmalte til denne oppgaven. Det har derfor vært nødvendig å anvende målingene fra 2007 supplert med egne målinger for å kunne gjøre de ønskede beregningene. Anleggets utforming og måleoppsett fra måling utført 10.07.2015 er beskrevet i seksjonen under.

3.1 CHP-anleggets utforming

XRG 13 CHP-enheten er plassert i en container med eksterne tilkoblinger for gass og elektrisitet (se Figur 3.1). På containerens ene langside er det festet et gassikringsskap med tilkoblingen til gassbatteri med CNG. Skapet inneholder blant annet en ekspansjonsventil for reduksjon av



Figur 3.1: Illustrasjon av containerens utside sett fra siden.

gasstrykk og et flowmeter for måling av gassforbruk. Gass i rør mellom ekspansjonsventil og CHP-enheten har et overtrykk på 30 mbar. På taket av containeren er det plassert en varmeveksler for utveksling av CHP-enhetens produserte varme med omgivelsene. Gassbatteri med CNG er plassert på containerens bakside med ledning til containerens gasstilkobling (se Figur 3.1).

Containerens innside er delt i to av en vegg på tvers av containeren. I rommet nærmest inngangen er det plassert logge-PC, sikringsskap, styringsskap og brannslukningsutstyr. I rommet lengst unna containerens inngang er CHP-enheten plassert sammen med varmelager og varmefordeler (se Figur 3.2). Ved måling er det her også plassert en gasskjøler og en gassanalysator. CHP-enheten er plassert med åpning mot containerens inngang. Tilkobling til kjølevann, elektrisitet, gass og eksos er på CPH-enhetens bakside. På eksosrøret er en port for prøvetaking, plassert like etter utgang fra enheten (se Figur 2.3). Kjølevannskretsen som går gjennom CHP-enheten varmeveksler med en eksterne krets i systemets varmefordeler. Den eksterne kretsen er videre tilkoblet et varmelager og varmeveksleren som er plassert på containerens tak. Temperaturen i den eksterne kretsen bestemmes av en termostat med muligheter for innstilling av ønsket temperatur. Grensesnitt for innstilling av temperatur er plassert på vegg i containerens

motorrom (se Figur 3.2).

Instrumentering og logging

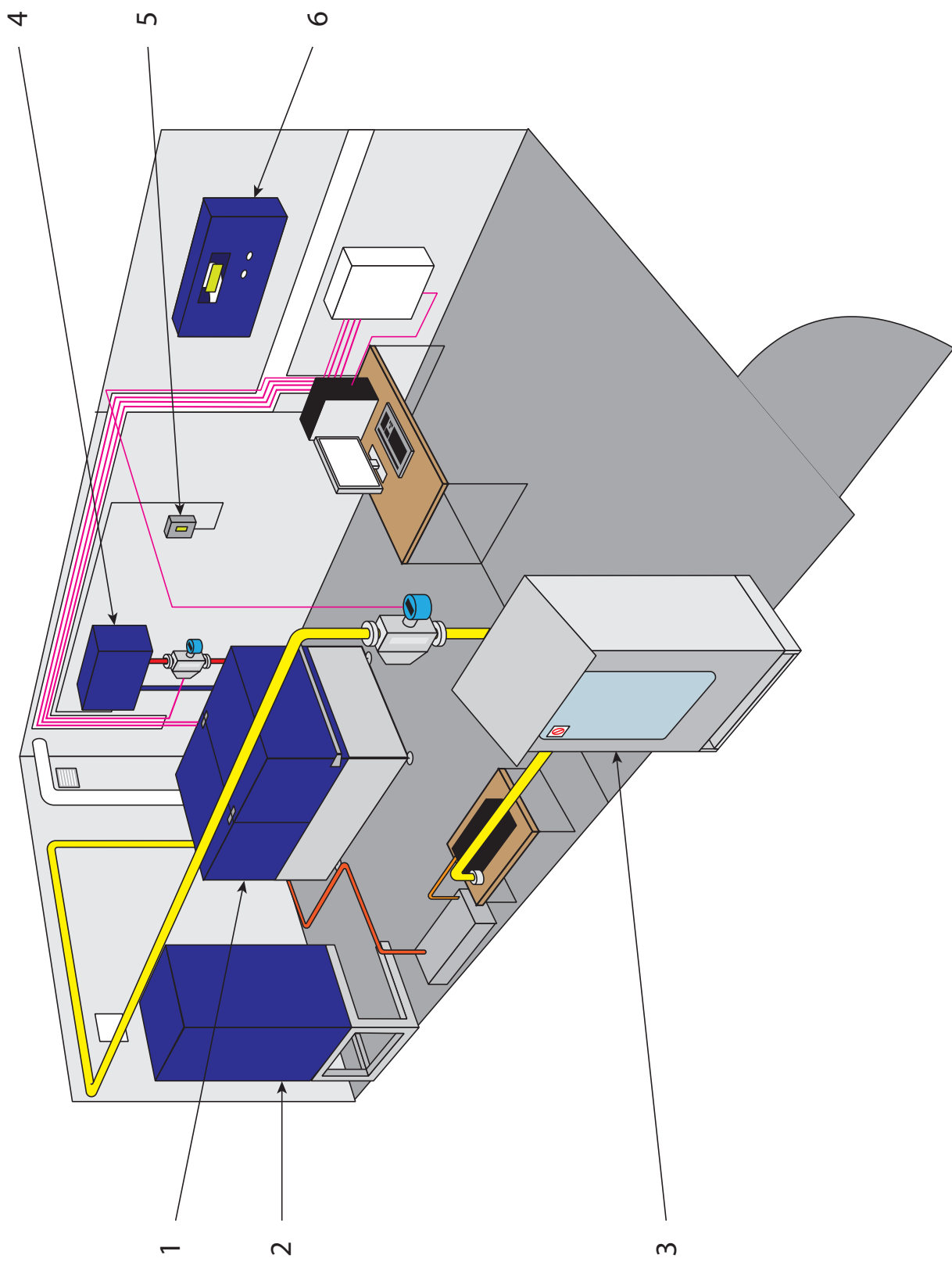
Fra sin tid hos PKS på Mongstad er CHP-anlegget utstyrt med instrumentering for logging av data under testkjøring. Alle verdier logges i et LabVIEW-basert styringsprogram utviklet av PKS. Logge-programmet opererer, i tillegg til måledata, også med input fra bruker. Basert på disse gir programmet output i form av både målte og beregnede data. Tabell C.1 inneholder en oversikt over alle logge-programmets mulige input og output.

Instrumentering tilstede på CHP-enheten fra tiden på Mongstad er: temperaturfølere i kjølevannsrør inn og ut av enheten, massestrømsmåler på kjølevannskretsen, massestrømsmåler for måling av gassforbruk og apparat for måling av produsert elektrisk effekt. Alle disse mengdene logges i styringsprogrammet medfølgende enheten.

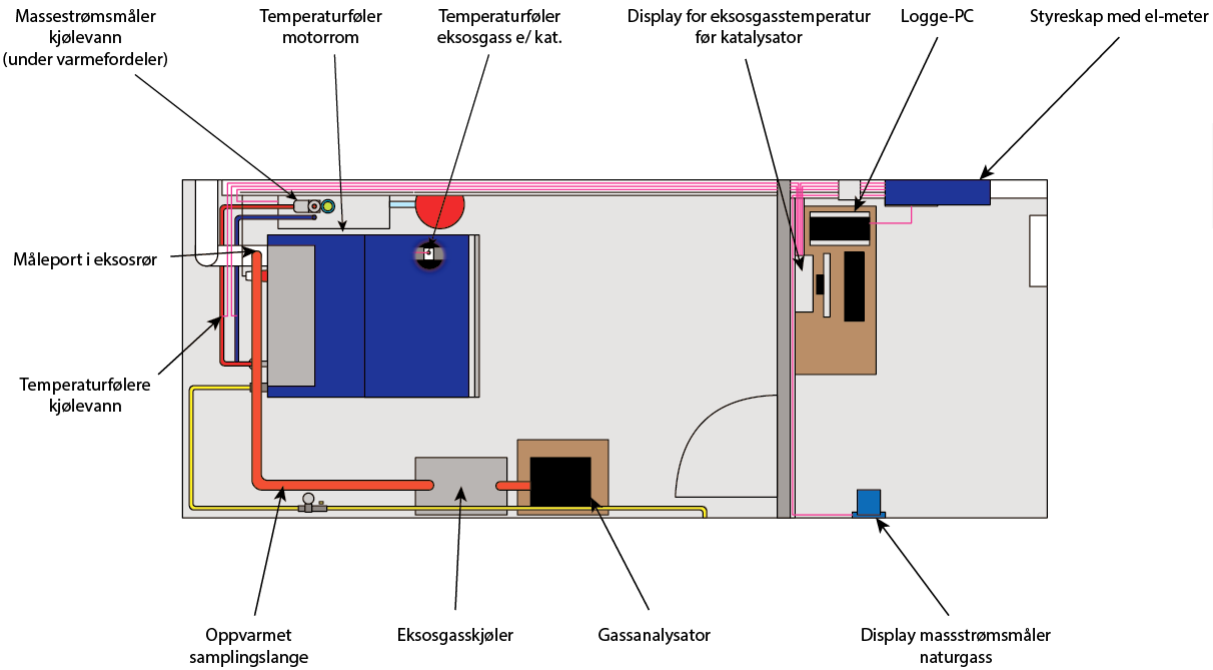
Ved måling av Høgskolen i Bergen er det påsatt instrumentering for måling av: eksostemperatur før katalysator, temperatur i containeren, eksosgasstemperatur etter CHP-enheten og gassanalysator for måling av eksosgassammensetning. På grunn av at ekosrøret kun er utstyrt med én port for prøvetaking ble det først gjort målinger med gassanalysator tilkoblet og deretter med temperaturføler.

Kjølevannstemperatur ble målt av temperaturfølere rett etter utløp og rett før innløp til enheten. Følerne var plassert så nærmest CHP-enheten som mulig for å bestemme temperaturen før varmetap i rør. Kjølevannstrømmen ble målt av et R-serie Micro Motion® flowmeter. Flowmeteret måler massestrøm og tetthet ved Coriolis effekten. Et lignende flowmeter er brukt til måling av naturgassens massestrøm, dette også fra Micro Motion®. Et Kampstrup 685-382-OK-10 el-meter er brukt til å måle produsert elektrisk effekt. Måling av eksosgasstemperatur før katalysator ble utført med en temperaturføler med tilkobling til en eksisterende kondisjoneringseenhet inne i containerens kontrollrom. Temperatur i motorrom og eksosgasstemperatur ut fra enheten ble målt med håndholdte temperaturfølere. Eksosgassammensetning ble målt først med en Tiesto 350 XL og deretter en Horiba PG 350 gassanalysator.

Ved måling ble verdier for CHP-enhetens umidlede elektriske effekt, midlede elektriske effekt, kjølevannstemperatur inn og ut, massestrøm kjølevann og massestrøm naturgass logget i styreprogrammet (se tabell 3.2), mens verdier for eksosgasstemperatur før katalysator, tempe-



Figur 3.2: Illustrasjon over CHP-anleggets utforming i container. Hovedkomponentene er: 1) CHP-enhet, 2) varmelager, 3) gassikringsskap, 4) varmefordeler, 5) temperaturstyring og 6) styringsskap.



Figur 3.3: Plassering av instrumentering ved måling 10.07.2015.

tur i motorrom, eksogasstemperatur ut fra CHP-enheten og eksogassammensetning ble avlest og notert. Ønsket elektrisk effekt ble ved hver måling manuelt bestemt i styringsprogrammet. Tabell 3.1 inneholder en oversikt over utstyrstilkobling ved målingene som utført.

Resultater fra målingene fra 2015 finnes i vedlegg G. Resultater fra målinger utført i 2007 finnes i vedlegg H. Verdier for omgivelsestrykk, -temperatur og relativ fuktighet er hentet fra Geofysisk Instituttets nettsider [65] og finnes i vedlegg I.

3.2 Energi- og eksergianalyse

Energi- og eksergianalyse har blitt utført på basis av målinger utført 21.03.2007 av Øystein Lindberg [17] i samarbeid med PKS på Mongstad supplert med målinger utført 10.07.2015 i regi av Høgskolen i Bergen. Energi- og eksergibalansene for CHP-enheten er basert utelukkende på måleresultater fra 2007 da disse inneholder verdier for de nødvendige variablene. Energi- og eksergianalyse av stempelmotoren og resten av CHP-enhetens indre komponenter er også for det meste utført på basis av målinger utført i 2007. Målinger fra 2015 er her brukt til å validere beregningsmodeller og til å bekrefte antagelser gjort av forfatter. I tillegg er målt eksogasstem-

Tabell 3.1: Utførelse av målinger 2015.

Test nr.	ønsket effekt	utstyr i eksosport
1	13,5 kW	Tiesto 350 XL gassanalysator
2	4,5 kW	Tiesto 350 XL gassanalysator
3	13,5 kW	Horiba PG 350 gassanalysator
4	10,5 kW	Horiba PG 350 gassanalysator
5	7,5 kW	Horiba PG 350 gassanalysator
6	4,5 kW	Horiba PG 350 gassanalysator
7	13,5 kW	håndholdt temperaturføler
8	10,5 kW	håndholdt temperaturføler
9	7,5 kW	håndholdt temperaturføler
10	4,5 kW	håndholdt temperaturføler
11	13,5 kW	håndholdt temperaturføler

peratur før katalysator målt i 2015 brukt til modellering av katalysator. Målte variabler brukt i energianalyse av CHP-enheten og enhetens indre komponenter er oppgitt i tabell 3.2. Se Vedlegg H for verdier målt 21.03.2007.

Tabell 3.2: Målte variabler brukt i energianalyse av CHP-enheten

Fra målinger utført 21.03.2007		
Drivstofforbruk	\dot{m}_g	g/s
Midlet elektrisk effekt	\dot{W}_{el}	kW
Kjølevannsstrøm	\dot{V}_v	l/t
Kjølevannstemperatur inn	T_6	°C
Kjølevannstemperatur ut	T_{14}	°C
Temperatur i motorrom	T_c	°C
Volumetrisk konsentrasjoner	HC, NO _x , CO, CO ₂ , O ₂	ppm og %
Eksosgass temperatur	T_5	°C

Fra målinger utført 10.07.2015		
Eksosgass temperatur	T_3	°C
Volumetrisk konsentrasjoner	H ₂ , SO ₂ , NO _x , CO, CO ₂ , O ₂	ppm og %

3.2.1 Energibalanse for CHP-enheten

CHP-enhetens ytelse er evaluert ved å anse enheten som et kontrollvolum med innstrømning av luft, naturgass og kjølevann og utstrømning av eksosgass, opphetet kjølevann og varme ved konveksjon og stråling. CHP-enhetens komponenter og tilstandspunkter for enhetens massestrømmer er markert i Figur 3.4. CHP-enhetens energibalanse er satt opp som:

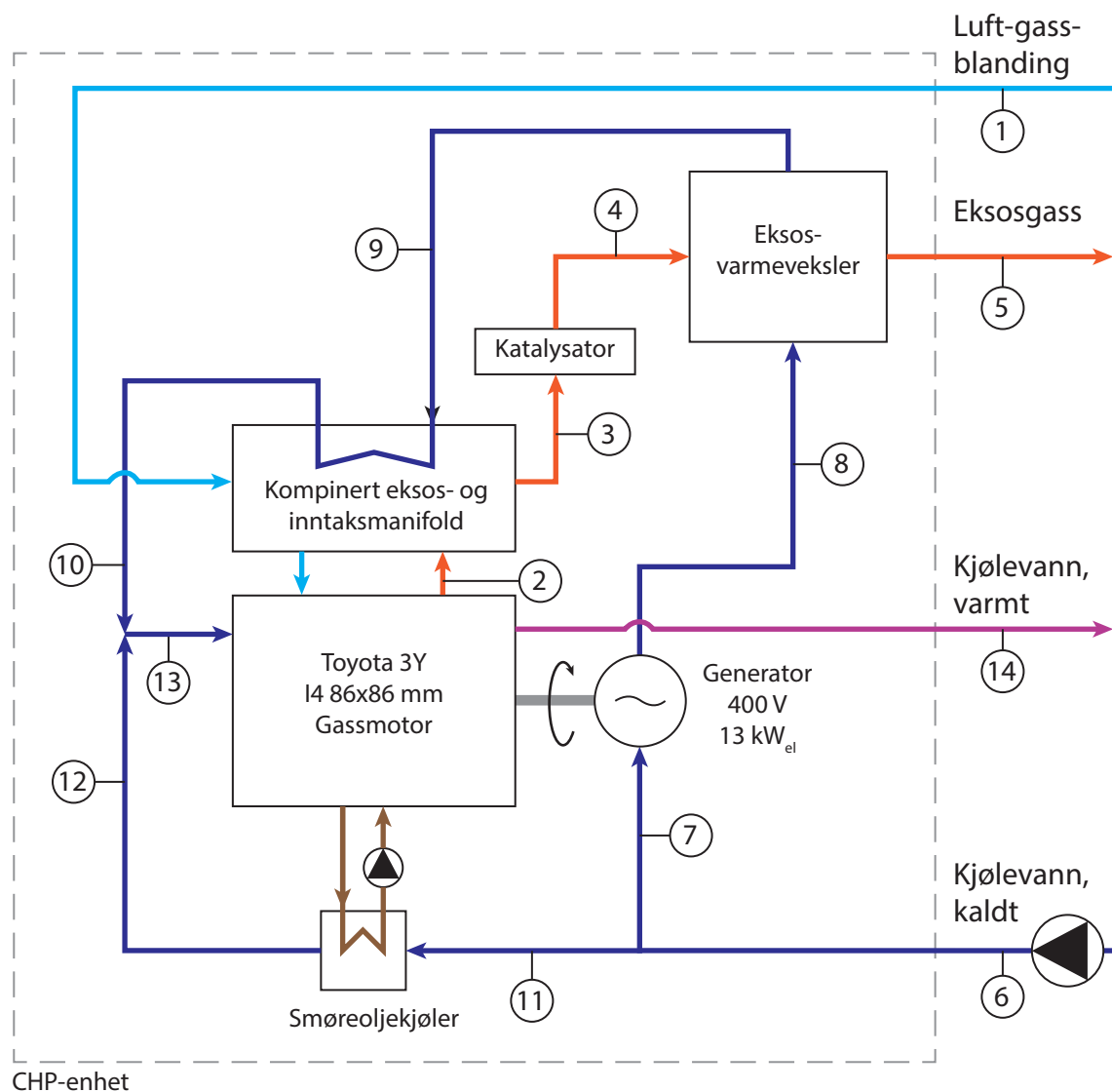
$$\dot{Q}_g = \dot{W}_{el} + \dot{Q}_v + \dot{E}_e + \dot{Q}_{tap} \quad (3.1)$$

hvor \dot{Q}_g er naturgassens forbrenningsvarme, \dot{W}_{el} er netto produsert elektrisk effekt, \dot{Q}_v er varme til kjølevannet, \dot{E}_e markerer energi til eksosgassene og \dot{Q}_{tap} er varmetap ved konveksjon og stråling.

Forbrenningsvarmen fra naturgassen er beregnet ved:

$$\dot{Q}_g = \dot{m}_g \cdot LHV_g \quad (3.2)$$

hvor \dot{m}_g er målt gassforbruksrate og LHV_g er naturgassens lavere brennverdi beregnet ut fra



Figur 3.4: Blokkdiagram over CHP-enheten.

Tabell 3.3: Naturgassens sammensetning ved måling 21. mars 2007.

Komposisjon [17]		Molarmasse [55]	Kritiske verider [55]		Brennverdier [66]		
Navn	Formel	vol%	M _i [kg/kmol]	T _{cr,i} [K]	P _{cr,i} [MPa]	Brutto _i [MJ/kg]	Netto _i [MJ/kg]
Karbondioksid	CO ₂	0,525	44,01	304,3	7,398	-	-
Nitrogen	N ₂	0,000	28,02	126	3,392	-	-
Metan	CH ₄	93,480	16,04	196,7	4,641	55,515	50,028
Etan	C ₂ H ₆	4,433	30,07	305,4	4,883	51,902	47,511
Propan	C ₃ H ₈	0,802	44,09	370	4,257	50,325	46,332
i-Butan	C ₄ H ₁₀	0,512	58,12	408,2	3,648	49,347	45,561
n-Butan	C ₄ H ₁₀	0,099	58,12	525,2	3,797	49,505	45,719
i-Pentan	C ₅ H ₁₂	0,071	72,15	461	3,33	48,91	45,249
n-Pentan	C ₅ H ₁₂	0,019	72,15	469,8	3,375	49,006	45,345
Tyngre	C ₆ H ₁₄	0,059	84	503	2,976	48,678	45,103

naturgassens sammensetning ved:

$$LHV_g = \sum_{i=1}^k \frac{y_i M_i}{M_g} \cdot LHV_i \quad (3.3)$$

Naturgassens volumetriske sammensetning er oppgitt i Tabell 3.3

Den elektriske effekten \dot{W}_{el} er målt elektrisk effekt. Varmen til kjølevann \dot{Q}_v er beregnet som forskjell i kjølevannets entalpi mellom innløp til og utløp fra CHP-enheten. Ut ifra målt temperatur og volumstrøm er kjølevannsvarmen beregnet ved:

$$\dot{Q}_v = \dot{V}_v \cdot \rho_{14} \cdot (h_{14} - h_6) \quad (3.4)$$

hvor ρ_{14} , h_{14} og h_6 er tabulerte verdier for henholdsvis vannets tetthet og spesifikke entalpi i tilstandspunkt 14 og vannets spesifikke entalpi i tilstandspunkt 6. Verdier for tetthet og spesifikk entalpi er funnet på bakgrunn av vannets målte temperatur (T_6 og T_{14}) og den hete kretsens systemtrykk på 0,82 bar_g. Alle tabulerte data er funnet ved å bruke CoolProp, et *open source* C++ bibliotek inneholdene bl.a. termodynamiske data for rene substanser.

Eksosgassens energi består av både kjemisk energi, lagret i HC og CO som følge av ufullstendig brenning.

dig forbrenning, og fysisk energi, fra forbrenningsprosessen. Summen av energien i eksosgassen er beregnet ved:

$$\dot{E}_e = \dot{m}_g \cdot e_e^{\text{kjem}} + \dot{m}_e \cdot c_{p,e} \cdot T_e - \dot{m}_a \cdot c_{p,a} \cdot T_a \quad (3.5)$$

Massestrøm luft er beregnet ved:

$$\dot{m}_a = \lambda \cdot L_{\min} \cdot \dot{m}_g \quad (3.6)$$

hvor \dot{m}_g er en målt kvalitet, L_{\min} er beregnet ved:

$$L_{\min} = \frac{O_{2,\min}}{0,21} \quad (3.7)$$

og λ er beregnet ved:

$$\lambda = \frac{21\%}{(21\% - O_2\%)} \quad (3.8)$$

Massestrøm eksos \dot{m}_e er beregnet som summen av massestrøm luft og massestrøm naturgass:

$$\dot{m}_e = \dot{m}_a + \dot{m}_g \quad (3.9)$$

Kjemisk energi i eksosgassene er beregnet på bakgrunn av målt konsentrasjon av HC og CO.

Den kjemiske energien i CO er beregnet som prosent av tilført kjemisk energi ved:

$$e_{\text{CO}}^{\text{kjem}} = \frac{283,0 \cdot b}{\text{LHV}_g \cdot (b + c + e) \cdot (12 + y + 16z)} \cdot 100\% \quad (3.10)$$

Kjemisk energi i HC i eksosgassene er beregnet i prosent av tilført kjemisk energi ved:

$$e_{\text{UHC}}^{\text{kjem}} = \frac{e}{b + c + e} \cdot 100\% \quad (3.11)$$

Den totale kjemiske energien som forgår i eksosgassene som ubrukt forbrenningsentalpi er på massebasis (kJ/kg brennstoff) beregnet ved:

$$e_e^{\text{kjem}} = \left(e_{\text{CO}}^{\text{kjem}} + e_{\text{UHC}}^{\text{kjem}} \right) \cdot \text{LHV}_g \quad (3.12)$$

Spesifikk varmekapasitet for luft $c_{p,a}$ er funnet fra tabulert data. Spesifikk varmekapasitet for

eksosgassene er beregnet på molbasis ut fra eksosgassenes sammensetning ved:

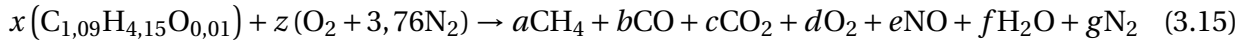
$$\bar{c}_{p,e} = \sum y_{våt,i} \cdot a_i + \sum y_{våt,i} \cdot b_i \cdot T_e + \sum y_{våt,i} \cdot c_i \cdot T_e^2 + \sum y_{våt,i} \cdot d_i \cdot T_e^3 \quad (3.13)$$

hvor a_i , b_i , c_i og d_i er gassart-spesifikke konstanter og T_e er målt avgasstemperatur. Molfraksjonen $y_{våt,i}$ er molfraksjonen til gassarten i ved våt gass, dvs ved eksosgasskomposisjon medregnet H₂O. Spesifikk varmekapasitet på massebasis er beregnet ved:

$$c_{p,e} = \frac{\bar{c}_{p,e}}{\sum y_{våt,i} \cdot M_i} \quad (3.14)$$

hvor M_i er molvekten til gassarten i .

I forsøket er molfraksjonene HC, CO, CO₂, O₂ og NO_x målt. Målt NO_x er antatt å bestå av kun NO. Det er også antatt at uforbrent hydrokarboner UHC består av metan CH₄. Molfraksjonene H₂O og N₂ er beregnet ut i fra reaksjonsligningen:



hvor a , b , c , d og e er kjent kantiteter. Antall mol brennstoff per 100 kmol tørr eksosgass x er beregnet ved karbonbalansen:

$$1,09 \cdot x = a + b + c \quad (3.16)$$

Antall mol N₂ per 100 kmol tørr eksosgass er beregnet ved:

$$g = 100 - (a + b + c + d + e) \quad (3.17)$$

Antall mol produsert H₂O er beregnet ved hydrogen balansen:

$$f = 4,15 \cdot x - 4 \cdot a \quad (3.18)$$

Antall mol O₂ per 100 kmol eksosgass er beregnet ved oksygenbalansen:

$$2 \cdot z = b + 2 \cdot c + 2 \cdot d + e + f - 0,01 \cdot x \quad (3.19)$$

Den totale H₂O-mengden i eksosen er summen av produsert H₂O og H₂O medfølgende motorens innsugde luftmengde. Luftens fuktighet er beregnet ved:

$$y_{H_2O,a} = \frac{\phi \cdot P_g}{P_o} \quad (3.20)$$

hvor ϕ er målt relativ luftfuktighet, P_g er metningstrykket ved målt omgivelsestemperatur T_o og P_o er målt omgivelsestrykk. Den samlede H₂O-mengden i eksosen er beregnet ved:

$$y_{H_2O,e} = f + \frac{y_{H_2O,a}}{y_{O_2,a}} \cdot z \quad (3.21)$$

Nye molfraksjoner på basis av våt eksosgass er beregnet fra gassartenes molfraksjon ved tørr eksosgass ved:

$$y_{våt,i} = y_{tørr,i} \cdot \frac{\sum y_{tørr,i}}{\sum y_{våt,i}} \quad (3.22)$$

Varmetapet fra kogereringsenheten \dot{Q}_{tap} er beregnet som 2 % av tilført energi:

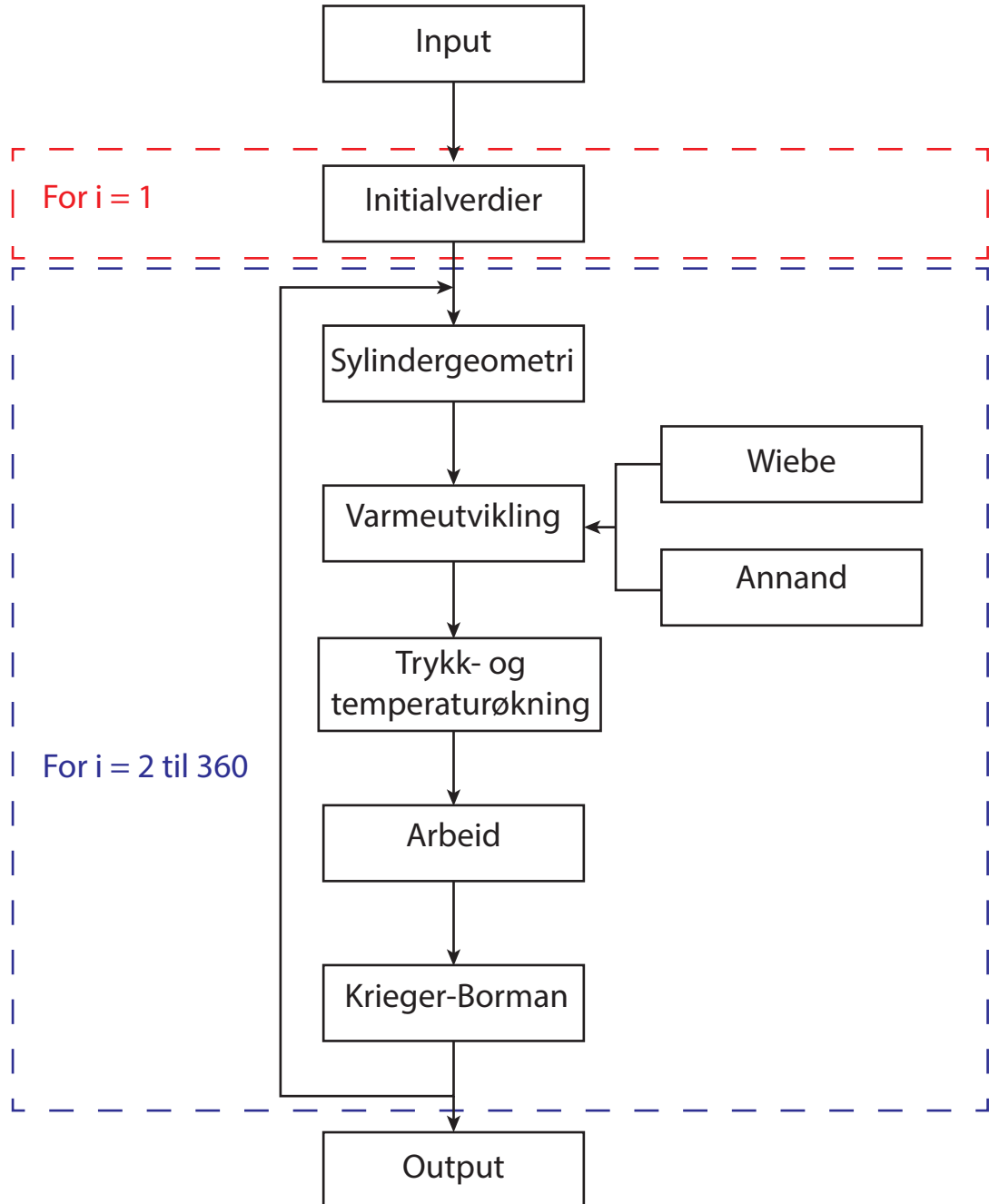
$$\dot{Q}_{tap} = 0,02 \cdot \dot{Q}_g \quad (3.23)$$

3.2.2 Modellering av stempelmotor

I modellering av stempelmotor er det brukt en én-sone modellen for simulering av varmeutvikling og varmeovergang i cylinder. Modellen er programmert i Microsoft Visual Basic for Applications. Beregningene er utført ved iterasjon med oppløsning 1 veivinkel (°VV). Modellens utforming er illusstrert i figur 3.5.

Input

I første trinn defineres modellens input-verdier. Disse er definert i henhold til data funnet i data-blad, antatte verdier, som tenningstidspunkt, forbrenningsperiode og veivstanglengde, og vanlige verdier for stempelmotormodeller, som koeffisientene i Wiebe-funksjonen og i Annands korrelasjon for varmeovergang i cylinder. Veivstanglengden L er antatt å være to ganger motorens slaglengde ($L = 2 \cdot S$). En oversikt over alle inputverdiene brukt i modellen finnes i tabell 3.4.



Figur 3.5: Stempelmotormodellens trinnvise utførelse

Tabell 3.4: Parametere brukt i simulering av stempelmotor og generator

Symbol	Størrelse	Forklaring
RPM	1535 RPM	Rotasjonshastighet i omdreininger per minutt
B	0,086 m	Stempelmotorens cylinderboring
S	0,086 m	Stempelmotorens slaglengde
L	0,172 m	Stempelmotorens veivstanglengde (antatt ca $2 \cdot S$)
N_{syl}	4	Antall cylindere i stempelmotoren
r	8,8	Stempelmotorens kompresjonsforhold
LHV	49,71 MJ/kg	Naturgassens brennverdi
AFR _{støk}	16,345 kg/kg	Støkiometrisk luft-brennstofforhold
AFR _{mol,støk}	9,977 kmol/kmol	Støkiometrisk luft-brennstofforhold
T_c	24 °C	Innsugsluftens temperatur
P_o	101325 Pa	Innsugsluftes trykk
a_{wie}	5	Dimensjonsløs koeffisient i Wiebe-funksjonen
w_{exp}	2	Dimensjonsløs koeffisient i Wiebe-funksjonen
a	0,49	Dimensjonsløs koeffisient i Annands korrelasjon
b	0,7	Dimensjonsløs koeffisient i Annands korrelasjon

Initialverdier

Initialverdier er beregnet for $i = 0$ (ved BDC) basert på inputverdier. Initialverdier for trykk og temperatur er antatt å være atmosfæretrykk P_{atm} og temperatur T_c i container. Dvs motoren er modellert uten trykktap i rør, gassmikser og manifold inn mot forbrenningskammer. Initialverdi for γ er initialt satt til 1,4. Viskositet μ og koeffisient for termisk varmeledningsevne k til sylinger-gassen er beregnet med polynomfunksjonene (henholdsvis ligning [D.1a](#) og [D.1b](#)) presenter i vedlegg [D](#). Reynolds-tallet for sylinger-gassen er beregnet ved:

$$\text{Re} = \frac{\rho \cdot \bar{S}_p \cdot B}{\mu} \quad (3.24)$$

hvor ρ er gassens tetthet, \bar{S}_p er gjennomsnittlig stempelhastighet (her antatt å være lik gjennomsnittlig gasshastighet i cylinder), B er cylinderens boring og μ er sylinger-gassens viskositet. Nusselt-tallet er beregnet ved:

$$\text{Nu} = 0,49 \cdot \text{Re}^{0,7} \quad (3.25)$$

Sylindergeometri

Sylindergeometrien er beregnet ved *Slider-Crank*-modellen. Cylinderens avstand til TDC $y(\theta)$ og cylinderens volum $V(\theta)$ som funksjoner av veivinkel er beregnet ved koden i figur [3.6](#).

```
'=====
'Spesifiserer definerer veivinkel.
theta(i) = i + 1
'Spesifiserer stempelets avstand til TDC (m)
y(i) = S / 2 - L + (S / 2) * Cos(theta(i) * 3.14 / 180) + ((L ^ 2 - _ 
((S / 2) ^ 2) * Sin(theta(i) * 3.14 / 180) ^ 2)) ^ 0.5
'Spesifiserer volum som funksjon av veivinkel (m^3)
V(i) = V_min + ((3.14 / 4) * B ^ 2) * y(i)
'Spesifiserer forandring i volum som funksjon av veivinkel
DV(i) = V(i) - V(i - 1)
=====
```

Figur 3.6: Kode for beregning av sylindergeometri.

Varmeutvikling i cylinder

Wiebe-funksjonen (ligning 2.28) er brukt til å estimere varmefrigivelsen i cylinder. Parametre brukt i ligningen er oppgitt i tabell 3.4 brukt. Variablene tenningsstidspunkt θ_0 og forbrenningsperiode θ_d er definert spesielt for hvert lastpunkt. Verdier for tenningsstispunkt og forbrenningsperiode bruk i modellen finnes i tabell 3.5. Kode for beregning av Wiebe-funksjonen finnes i figur 3.7.

```
'=====
If theta(i) < theta_0(0, j) Then
    X(i, j) = 0
Else
    X(i, j) = 1 - Exp(-awie * ((theta(i) - theta_0(0, j)) /
    / theta_d(0, j)) ^ (wexp + 1))
    If theta(i) < theta_f(0, j) Then
        m_x(i, j) = (m_g(0, j)) / (2 * N)
    End If
End If
'Spesifiserer forandring i massefraksjon forbrent som funksjon av
'veivvinkel
DX(i, j) = X(i, j) - X(i - 1, j)
=====
```

Figur 3.7: Kode for beregning av Wiebe-funksjonen.

Annands korrelasjon for varmeovergang i cylinder er brukt til å modellere varmeovergang fra cylindergassene til kjølevann. Varmeovergangen er beregnet ved ligning 2.30. Kode for beregnings av varmeovergang mellom cylindergass og cylindervegg finnes i figur 3.8.

```
'=====
'Beregner Reynoldstall som funksjon av veivinkel
Re(i, j) = rho(i, j) * S_bar_p * B / mu(i, j)
'Beregner Nusstelttall som funksjon av vivvinkel
'(Konstant=.26 for 2-takt, .49 for 4-takt)
Nus(i, j) = 0.49 * Re(i, j) ^ (0.7)
'Beregner varmeovergangskoeffisient ved Annands metode
h_g(i, j) = C_k(i, j) * Nus(i, j) / B
'Beregner konvektive varmetap i cylinder som funksjon av veivinkel
DQ_w(i, j) = (h_g(i, j) + C_s(i, j)) * a(i) * (T(i - 1, j) - T_w(0, j)) -
* (60 / (360 * RPM))
=====
```

Figur 3.8: Kode for beregning av varmeovergang mellom cylindergass og cylindervegg.

Leddet $60/(360 \cdot RPM)$ i siste linje i figur 3.8 er en omregningskoeffisient for omregning fra per sekund til per veivinkel. Vegtemperaturen i cylinder T_{wer} er i likhet med tenningsstidspunkt

Tabell 3.5: Oversikt over last-spesifikke verdier brukt i stempelmotormodellen

Last	13,5 kW	10,5 kW	7,5 kW	4,5 kW
Tenningstidspunkt (θ_0) (°VV før TDC)	16	20	30	30
Forbrenningsperiode (θ_d) (°)	55	55	55	55
Veggtemperatur (T_w) (°C)	92,3	90,7	89,1	87,2
Innsugsventil lukkes (IVC) (°etter BDC)	30	30	30	30
Eksosventil åpnes (EVO) (°etter BDC)	330	330	330	330

og forbrenningsperiode satt som en last-spesifikk variabel. Verdien for T_w er, på grunn av kjølekretsens utforming, antatt å være lik kjølevannets temperatur ut av CHP-enheten $T_{v,ut}$.

Varmeutviklingen i cylinder er beregnet på basis av Wiebe-funksjonen og Annands korrelasjon for varmeovergang i cylinder. Kode for beregning av varmeutvikling er presentert i figur 3.9.

```
' =====
Q_w(i, j) = Q_w(i - 1, j) + DQ_w(i, j)
'Beregner forandring i varme totalt som funksjon av veivinkel
DQ(i, j) = eta_comb * LHV * m_x(i, j) * DX(i, j) - DQ_w(i, j)
'Beregner netto varmetilførsel
Q(i, j) = Q(i - 1, j) + DQ(i, j)
'=====
```

Figur 3.9: Kode for beregning av varmeutvikling i cylinder.

eta_comb i koden er forbrenningsvirkningsgraden, beregnet ved

$$\eta_{comb} = (\dot{Q}_g - \dot{m}_g \cdot e_e^{\text{kjem}} - \dot{Q}_{\text{kat}}) / \dot{Q}_g \quad (3.26)$$

Trykk- og temperaturøkning

Trykk- og temperaturøkningsraten i cylindere er beregnet mellom lukking av innsugsventil (IVC) og åpning av eksosventil (EVO). Kode for beregning av trykk- og temperaturøkning i cylinder finnes i figur 3.10.

```
'=====
If theta(i) > IVC(0, j) Then
    DT(i, j) = T(i - 1, j) * (gamma(i - 1, j) - 1) * ((1 / (P(i - 1, j) -
    * V(i - 1))) -
    * DQ(i, j) - (1 / V(i - 1)) * DV(i))
    DP(i, j) = (-P(i - 1, j) / V(i - 1)) * DV(i) + (P(i - 1, j) -
    / T(i - 1, j)) * DT(i, j)
    P(i, j) = P(i - 1, j) + DP(i, j)
End If
If theta(i) > EVO(0, j) Then
    P(i, j) = P_atm
End If
If theta(i) > 200 Then
    If P(i, j) <= P_atm Then
        P(i, j) = P_atm
    End If
End If
'=====
```

Figur 3.10: Kode for beregning av trykk- og temperaturøkning mellom IVC og EVO.

```
'=====
'Beregner cylindertemperatur som funksjon av veivinkel
T(i, j) = T(i - 1, j) + DT(i, j)
'Beregner cylinder arbeid som funksjon av veivinkel
'Behandler atmosfæretrykk som referansestrykk (J)
W(i, j) = W(i - 1, j) + (P(i, j) - P_atm) * DV(i)
'Beregner mekanisk effekt som funksjon av veivinkel (kW)
W_dot(i, j) = (N_cyl * W(i, j) * N / N_r) / 1000
'Beregner varmeovergang som funksjon av veivinkel (kW)
Q_dot_w(i, j) = (N_cyl * Q_w(i, j) * N / N_r) / 1000
'=====
```

Figur 3.11: Kode for beregning av cylindertemperatur, arbeid per cylinder per kraftsyklus og omregning til effekt for varmeovergang og arbeid.

Gasskonstanten R og forholdet mellom gassens varmekapasiteter γ ble oppdatert etter hver iterasjon ved Krieger og Bormans metode presentert i vedlegg E.

Beregning av effekt, middeltrykk og virkningsgrad

Verdiene for varmeovergang og arbeid fra cylinderen er beregnet for ett kraftslag i én cylinder. Verdiene er derfor omregnet for å kunne brukes i energianalysen av stempelmotoren. Figur 3.11 inneholder kode for beregning av cylindertemperatur, arbeid per cylinder per kraftsyklus og omregning til effekt for varmeovergang og arbeid.

I stempelmotormodellen er også motorens indikerte middeltrykk (IMEP), bremsespesifikke middeltrykk (BMEP) beregnet. IMEP er beregnet på bakgrunn av beregnet mekanisk effekt fra

```

'=====

'Beregner indikert middeltrykk (bar)
Dim imep(0, 3) As Double
imep(0, j) = W_dot(360, j) * 1200 / (V_s * N_cyl * 1000 * RPM)
Worksheets("Front").Range("J4:M4") = imep
'Beregner bremse-spesifikt middeltrykk fra målt effekt (bar)
Dim bmep(0, 3) As Double
bmep(0, j) = (W_dot_el_m(0, j)) * 1200 / (0.9028 * V_s * N_cyl * 1000 * RPM)
Worksheets("Front").Range("J5:M5") = bmep
'Beregner friksjonstap i motor (bar)
Dim fmep(0, 3) As Double
fmep(0, j) = imep(0, j) - bmep(0, j)
Worksheets("Front").Range("J6:M6") = fmep
'Beregner mekanisk virkningsgrad (-)
Dim eta_m(0, 3) As Double
eta_m(0, j) = bmep(0, j) / imep(0, j)
Worksheets("Front").Range("J7:M7") = eta_m
'=====
```

Figur 3.12: Kode for beregning av middeltrykk og mekanisk virkningsgrad.

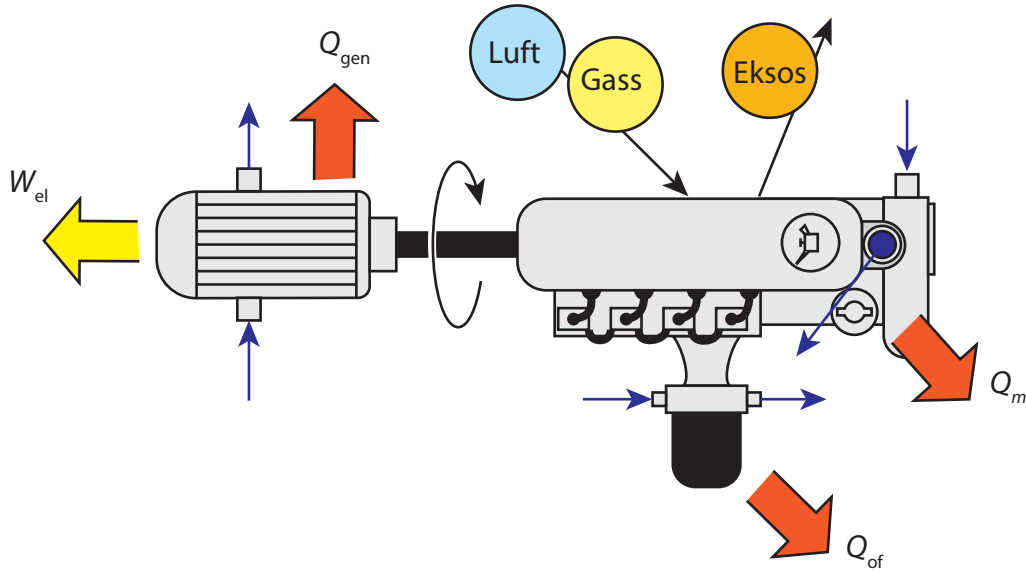
stempelmotormodellen. BMEP er beregnet på basis av målt elektrisk effekt og generatorens virkningsgrad. FMEP, friksjonstapet i stempelmotoren, er beregnet som differansen mellom IMEP og BMEP. Motorens mekaniske virkningsgrad er beregnet som forholdet mellom IMEP og BMEP. Kode for beregning av middeltrykk og mekanisk virkningsgrad finnes i figur 3.12.

3.2.3 Energibalanse for stempelmotoren

På grunn av deres sammenkobling i beregningsmodellen er generator og oljefilter inkludert i stempelmotorens energibalanse. Energibalansen er skrevet som:

$$\dot{Q}_g = \dot{W}_{\text{el}} + \dot{Q}_m + \dot{Q}_{\text{of}} + \dot{Q}_{\text{gen}} + \dot{Q}_e \quad (3.27)$$

\dot{W}_{el} er her målt elektrisk effekt, \dot{Q}_m er varmeovergang fra cylindergassen til kjølevannet og \dot{Q}_{of} er varmen som overføres fra motorens smøreolje til kjølevannet. \dot{Q}_{of} er antatt å være lik friksjonstapet i motor, som er beregnet som forskjellen mellom indikert arbeid, beregnet med stempelmotormodellen, og brutto mekanisk arbeid, beregnet fra målt elektrisk arbeid. I beregningene er en generatorvirkningsgrad på $\eta = 90,28\%$, beregnet ut i fra elektrisk og mekanisk effekt oppgitt i datablad [50], brukt. \dot{Q}_{gen} representerer friksjonsvarme fra generator til kjølevann.



Figur 3.13: Stempelmotor med varmeoppsamling i motorblokk, oljefilter og generator.

Denne er også beregnet på bakgrunn av målt elektrisk effekt og generatorens virkningsgrad. \dot{Q}_e representerer energien som forlater stempelmotoren i eksosgassene. Denne mengden er beregnet ved å løse ligning 3.27.

I tillegg til i motorblokk, oljefilter og generator foregår det også varmeovergang i en kombinert innsug- og eksosmanifold og eksosgassvarmeveksler. Varmeovergang i manifold er beregnet ved:

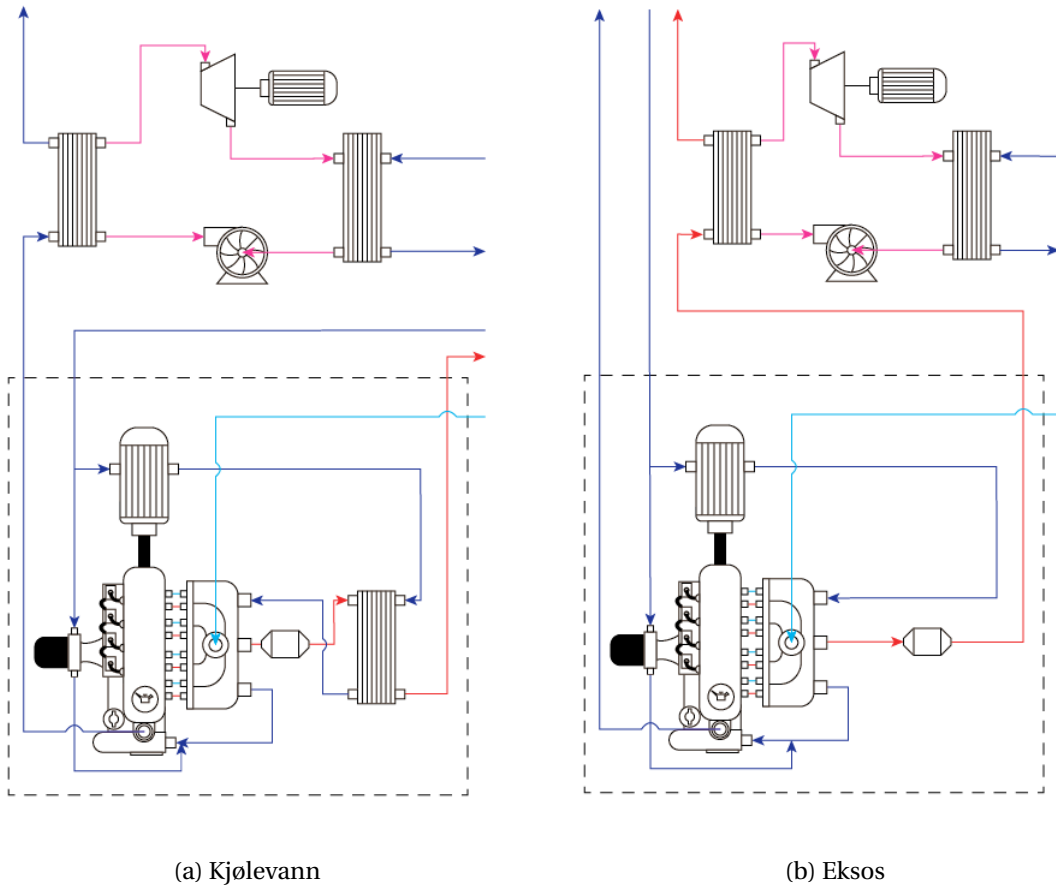
$$\dot{Q}_{\text{man}} = \dot{m}_e \cdot (h_2 - h_3) \quad (3.28)$$

Varmeovergang i eksosgassvarmeveksler er beregnet ved:

$$\dot{Q}_{\text{vv}} = \dot{m}_e \cdot (h_4 - h_5) \quad (3.29)$$

3.2.4 Modellering av ORC-krets

ORC-kretsen er modellert i to konfigurasjoner: en enkel krets tilkoblet kjølevann etter CHP-enheten og en enkel krets tilkoblet eksosgassrør i stedet for eksosgassvarmeveksleren som nå



Figur 3.14: Konfigurasjon: (a) enkel ORC tilkoblet kjølevann og (b) enkel ORC tilkoblet eksos.

er der (se figur 3.14a og 3.14b).

I modellen er det brukt arbeidsfluider med passende kritiske temperaturer for hver konfigurasjon. Arbeidsfluidene undersøkt er presentert i tabell 3.6.

Fordampningsvarmen i de to scenarioene er for konfigurasjonen med ORC tilkoblet kjølevann og konfigurasjonen med ORC tilkoblet eksos satt til henholdsvis den totale varmemengden til kjølevann og varmemengden som veksles fra eksosgassen til kjølevann i eksosgassvarmeveksleren. Pumpen og ekspanderen i hvert tilfelle er modellert med 90 % isentropisk virkningsgrad. I alle tilfeller er også arbeidsfluidet modellert med *superheating* 10 K over mettet damp før ekspander. Kjøletemperatur i kondensator er satt til 300 K. Arbeidsfluidets temperatur før pumpe er satt til 10 K over kondensatortemperaturen, dvs. til 310 K. Beregninger er utført slik som beskrevet i seksjon 2.4.3.

Tabell 3.6: Arbeidsfluider undersøkt i ORC-modellen

Arbeidfluid	GWP	Kritisk temperatur [K]	Kritisk trykk [MPa]	Molekylvekt [kg/kmol]
Kjølevann				
R236ea	1350	412,4	3,42	152
R236fa	9400	398,1	3,2	152
R600	20	425,1	3,86	58,1
R600a	20	407,8	3,6	58,1
R123	120	456,8	3,7	152,9
R134a	1300	374,2	4,1	102
R245fa	950	427,01	3,7	134
Eksos				
Cyclohexane	Lav	553,6	4,1	84,2
Benzene	Lav	562,0	4,9	78,1
Toluene	Lav	591,8	4,1	92,1
nonane	Lav	594,6	2,3	128,3
decane	Lav	617,7	2,1	142,3

3.2.5 Eksergibalanse for CHP-enheten

CHP-enhetens eksergibalanse er basert på masse- og energistrømmene tidligere beregnet. Balansen er definert som følger:

$$\dot{X}_g = \dot{W}_{el} + \dot{X}_v + \dot{X}_e + \dot{X}_{varmetap} + \dot{X}_{ødelagt} \quad (3.30)$$

I motsetning til masse og energi kan eksperi ødelegges. Eksergibalansen er dermed tilført elementet $\dot{X}_{ødelagt}$ som representerer eksperiødeleggelsen i enheten. $\dot{X}_{varmetap}$ representerer arbeidspotensialet i varmen som forlater enheten ved konveksjon og stråling. Det antas at varme overføres til container ved containerens lufttemperatur. Eksperi medfølgende varmetapet er derfor beregnet ved:

$$\dot{X}_{varmetap} = \left(1 - \frac{T_o}{T_c}\right) \cdot \dot{Q}_{tap} \quad (3.31)$$

\dot{W}_{el} representerer, som i CHP-enhetens energibalanse, netto produsert elektrisk arbeid. \dot{X}_v representerer arbeidspotensialet i forhold til omgivelsene som er tilført den hete kjølevannskretsen. Det tilførte arbeidspotensialet er beregnet som forskjellene i fysisk eksperi i kjølevannet inn og ut av CHP-enheten ved:

$$\dot{X}_v = \dot{m}_v \cdot [(h_{v,ut} - h_{v,inn}) - T_0(s_{v,ut} - s_{v,inn})] \quad (3.32)$$

\dot{X}_g representerer den kjemiske eksperien i enhetens drivstoff. Drivstoffets kjemiske eksperi er beregnet som det maksimalt oppnåelig arbeidet ved støkiometrisk forbrenning. Det molspefikk arbeidspotensialet for hver komponent i i naturgassen er beregnet ved [63]:

$$\psi_{kjem,i} = \psi_{kjem,ref,i} \frac{T_0}{T_{ref}} + \frac{T_{ref} - T_0}{T_{ref}} (-\Delta H_{ref}) + T_0 R \sum_{j \neq i} \nu_i \ln \frac{y_{ref,j}}{y_{e,j}} \quad (3.33)$$

hvor $\psi_{kjem,ref,i}$, $y_{ref,j}$ og $-\Delta H_{ref}$ er verdier ved referansetilstanden (T_{ref} , P_{ref} , RF_{ref}). Naturgassen samlede eksperi er beregnet ved

$$\dot{X}_g = \frac{\dot{m}_g}{M_g} \cdot \left(\sum_i y_i \psi_{kjem,i} + RT_0 \sum_i y_i \ln y_i \right) \quad (3.34)$$

\dot{X}_e representerer arbeidspotensialet eksosgassene innehar. Dette arbeidspotensialet består i både fysisk og kjemisk eksergi. Eksosgassenes fysiske eksergi er beregnet ved:

$$\psi_{\text{fys}} = c_p \left[(T_e - T_0) - T_0 \ln \left(\frac{T_e}{T_0} \right) \right] + RT_0 \ln \left(\frac{P_e}{P_0} \right) \quad (3.35)$$

Eksosgassens kjemiske eksergi er beregnet på samme måte som den kjemiske eksergien til CHP-enhetens drivstoff (se Ligning 3.33 og 3.34).

Eksergiødeleggelsen er beregnet ut i fra eksergibalansen ved:

$$\dot{X}_{\text{o delagt}} = \dot{X}_g - (\dot{W}_{\text{el}} + \dot{X}_v + \dot{X}_e + \dot{X}_{\text{varmetap}}) \quad (3.36)$$

3.2.6 Eksergibalanse for indre komponenter

Ekergianalyse av systemets indre komponenter fokuserte på å bestemme hvor eksergiødeleggelsen i systemet er størst. Eksergiødeleggelse er beregnet som produktet av omgivelsestemperatur og generert entropi som i ligning 2.50. Generert entropi er beregnet som i ligning 2.54 for eksosgassvarmeveksler, manifold og oljefilter.

For generator er ødelagt eksergi beregnet ved:

$$\dot{X}_{\text{o delagt}} = \dot{W}_{\text{mek}} - \dot{W}_{\text{el}} - \frac{\dot{Q}_{\text{gen}}}{T_k} \quad (3.37)$$

T_k er satt til å være den gjennomsnittlige kjølevannstemperaturen i varmeoverføringen.

For stempelmotoren er ødelagt eksergi beregnet ved å subtrahere de resterende komponentenes eksergiødeleggelse fra den totale eksergiødeleggelsen. Dette på grunn av vanskeligheten å bestemme eksergiødeleggelsen i den kompliserte forbrenningsprosessen.

3.3 Økonomisk analyse

Den økonomiske analysen er utført i henhold til metoder presentert av Bejan et al. [7].

Den økonomiske analysen fokuserte på estimering av investeringskostnader, estimering av drift- og vedlikeholdskostnader og beregning av annuiteter.

3.3.1 Estimering av investeringskostnader

Kostnadsanslag for en XRG1 CHP-enhet er hentet inn fra EC Power. Investeringskostnaden angitt er medfølgende "...styretavle, varmefordeler, [anleggsdokumentasjon], motorolie og [Engine Coolant]" [67].

Installasjonskostnad er hentet fra samme kostnadsanslag [67]. Det er antatt at bygget enheten installeres i allerede har et system for vannbåren varme.

Det er også antatt at gassforsyning installeres samtidig med enheten. Engangskostnad for installering av gass kommer under Service og fasiliteter i tabell 3.9.

Det er antatt at det ikke behøves utgifter til ingeniørtjenester og/eller ledelse for bruk eller tilkobling av CHP-enheten. En kostnad for eventualiteter er beregnet i henhold til prosenten presentert i tabell 2.2.

For ORC-kretsen er estimat for utstyrskostnader hentet fra nettsted for elektronisk handel. Estimat av andre indirekte kostnader er beregnet i henhold til prosentene presentert i tabell 2.2.

3.3.2 Estimering av drift- og vedlikeholdskostnader

Drivstoffkostnader er basert på pris for naturgass i rør inkludert statlige avgifter [68]. Årlig forbruk er basert på et kontorbygg i bergensområdet (se Tabell 3.8)

Service utføres i følge dokumentasjonen etter 8500 driftstimer eller etter 2 år. Det antas at enheten er i tilnærmet konstant drift, og serviceutgiftene antas derfor å være årlige. En service utgift inkluderer i følge dokumentasjonen "Motorolie CHP NG 30 (30 l i 3 [dunker]), prop, luftfilter, oliefilter, [tennplugger]." [67].

XRG1-enhetens drift i forhold til å dekke byggets energibehov er basert på et enkelt regneark for utregning av besparelse ved installasjon av en XRG1-enhet fra EC Power [67]. Enheten kjøres her 12 timer med full last (13 kW) og 12 timer med lav last (4,7 kW). Dette medfører en kapasitets faktor på 68 %.

3.3.3 Beregning av annuiteter

De siste årene har det vært en voldsom stigning i KPI for energiprodukter, denne stigningen er ikke realistisk at fortsetter ut CHP-enhetens levetid. En gjennomsnittlig stigning i KPI over de

Tabell 3.7: Parametre og antagelser for beregning av kapitalkostnader.

Kurs DKK (29.04.2015)	kr 1,13
Kurs Dollar (30.04.2015)	kr 7,54
Gjennomsnittlig nominell eskaleringssrate	2,3 %
Gjennomsnittlig nominell eksaleringsrate gass	5,2 %
Gjennomsnittlig kostnad av penger	12 %
Økonomisk levetid (år)	20
Gass (Gasnor)	
· Pris (/Sm ³)	kr 5,50
· Fastledd (/år)	kr 975,00
· CO2-avgift til staten (/Sm ³)	kr 0,84
· Tilknytningsgebyr	kr 10 000,00
· Forbruk (Sm ³ /år)	26716,216
O& M	
· Kapasitetsfaktor (fra EC Power)	68 %
· Service (etter 8500 h eller 2 år)	kr 4 395,45
· Type finansiering	Egenkapital

Tabell 3.8: Årlig energiforbruk for et kontorbygg i bergensområdet (fra SSB)

El-forbruk (kWh)	Varmeforbruk (kWh)	Totalt forbruk (kWh)
96955	90089	187045

Tabell 3.9: Estimat av total investeringskostnad for CHP-enheten i norske kroner (NOK)

I.	Fast-investeringer (FCI)		
A.	Direkte kostnader (DC)		
1.	<i>Onsite</i> kostnader		
	Innkjøpt-utstyr		
	.	XRG1-enhet	kr 232 330,68
	Total kostnad innkjøpt utstyr (PEC)	232 330,68	
	Installasjon		kr 84 380,94
	Rør		kr 0,00
	Instrumentering		kr 0,00
	Total onsite kostnader	kr 316 711,61	
2.	<i>Offsite</i> kostnader		
	.	Service fasiliteter	kr 10 000,00
	Total offsite kostnader	kr 10 000,00	
	Total direkte kostnader	kr 326 711,61	
B.	Indirekte kostnader (IC)		
1.	Ingeniørtjenester og ledelse		kr 0,00
3.	Eventualiteter		kr 23 233,07
	Total indirekte kostnader	kr 23 233,07	
	Sum FCI	kr 349 944,68	

Tabell 3.10: Estimat av total investeringskostnad for ORC-kretsen i norske kroner (NOK)

I.	Fast-investeringer (FCI)	
A.	Direkte kostnader (DC)	
1.	<i>Onsite</i> kostnader	
Innkjøpt-utstyr		
.	Platevarmeveksler	kr 1 024,96
.	Platevarmeveksler	kr 1 024,96
.	Pumpe	kr 1 055,11
.	Ekspander	kr 7 536,48
.	Kjølemiddel	kr 1 895,00
Total kostnad innkjøpt utstyr (PEC)		kr 12 536,50
Innkjøpt-utstyr, installasjon		kr 00,00
Rør		kr 4 137,05
Instrumentering		kr 1 253,65
Total onsite kostnader		kr 17 927,20
2.	<i>Offsite</i> kostnader	
.	Service fasiliteter	kr 1 253,65
Total offsite kostnader		kr 1 253,65
Total direkte kostnader		kr 19 180,85
B.	Indirekte kostnader (IC)	
1.	Ingeniørtjenester og ledelse	kr 00,00
3.	Eventualiteter	kr 1 253,65
Total indirekte kostnader		kr 1 253,65
Sum FCI		kr 20 434,5

siste 20 årene, mellom 1984-2014, er derfor brukt. Denne er på 5,2 %. Stigning i KPI for andre produkter er for kontinuitetens del valgt over samme periode. Denne er på 2,3 %. Levealderen til anlegget er estimert til å være 20 år.

Den økonomiske analysen er utført som beskrevet i seksjon [2.6.3](#).

3.4 Eksergoøkonomisk analyse

Den eksegoøkonomiske analysen er utført på bakgrunn av eksergianalysen og den økonomiske analysen. I den eksergoøkonomiske analysen ble en balanse for systemet i sin helhet, både med og uten en ORC-krets, brukt til å sammenligne den spesifikke kostnaden eksjergi produseres med i systemet.

Systemet regnes å ha en drivstoffstrøm, nemlig naturgassen. Naturgassens eksergispesifikke pris er regnet ved:

$$c_F = \frac{FC \cdot A_{CO_2}}{\varepsilon_g \cdot \rho_{iso,g}} \quad (3.38)$$

hvor FC er drivstoffkostnadene i kr/Sm³, A_{CO₂} er en statlig CO₂ avgift i kr/Sm³, ε_g er den masse-spesifikke kjemiske eksjergien til naturgassen og ρ_{iso,g} er naturgassens tetthet ved standardbedingelsene definert i ISO 13443.

Systemet regnes å ha to tap: varmetap i eksosen og varmetap ved konveksjon og stråling. Den spesifikke kostnadene til tap i systemet er beregnet i henhold til F-metoden (bl.a beskrevet i referanse [\[7\]](#)). I følge F-metoden har tap i systemet samme eksergispesifikke kostnad som systemets drivstoff. Følgelig er:

$$c_{tap} = c_F \quad (3.39)$$

Systemet har to produkter: elektrisk kraft og varmtvann. Den spesifikke kostnaden til disse er definert i henhold til P-metoden (også beskrevet i referanse [\[7\]](#)) som like. Dvs.:

$$c_{el} = c_{vv} \quad (3.40)$$

Følgende eksergoøkonomiske balanse er satt opp for systemet:

$$c_F \cdot \dot{X}_g = c_F \cdot (\dot{X}_e + \dot{X}_{varmetap}) + \dot{Z}_{OM} + \dot{Z}_{Cl} \quad (3.41)$$

hvor \dot{Z}_{OM} er drift- og vedlikeholdskostnader og \dot{Z}_{CI} er kapitalkostnader oppgitt i kr/s.

Kapittel 4

Resultater

4.1 Måleresultater

Måleresultatene fra målinger utført 10.07.2015 er presentert i tabell 4.1. Resultatene presentert her er bare det utvalget av resultatene som ble brukt i analysene utført i denne oppgaven. Av målingene kommer det frem at utsipp av H₂ og SO₂ som antatt er neglisjerbare i forhold til andre utsipp fra enheten.

Tabell 4.1: Måleresultatene fra måling med gassanalysatorer 10.07.2015.

Test nr	Tid	Ønsket effekt kW	Temp. eksos °C	Gassanalysator	H ₂	SO ₂
					ppm	ppm
1	11:25	13,5	471,9	Tiesto 350 XL	13	-
2	11:37	4,5	397,3	Tiesto 350 XL	8	-
3	12:32	13,5	470,2	Horiba PG 350	-	6,3
4	12:38	10,5	459,2	Horiba PG 350	-	7,1
5	12:43	7,5	426,7	Horiba PG 350	-	6,9
6	12:51	4,5	397	Horiba PG 350	-	4,3

Blant måleresultatene finnes også temperaturen målt mellom manifold og katalysator som er brukt i analysen av CHP-enhetens indre energi- og eksnergistrømmer. Måling av eksostemperatur ut fra enheten i 2015 gav en verdi under kjølevanntemperaturen, en umulig verdi. Denne

Tabell 4.2: Output fra den iterative stempelmotormodellen.

Ønsket effekt (kW)	13,5	10,5	7,5	4,5
IMEP (bar)	5,97	4,87	3,75	2,62
BMEP (bar)	5,75	4,30	3,13	1,83
FMEP (bar)	0,22	0,58	0,63	0,80
Mekanisk virkningsgrad	96 %	88 %	83 %	70 %
Eksostemperatur (°C)	629,58	508,34	395,95	285,67
Luftstrømning (kg/s)	0,0203	0,0169	0,0133	0,0087
Indikert effekt (kW)	15,25	12,45	9,59	6,70
Bremseeffekt (kW)	14,70	10,98	7,98	4,66

er dermed ikke brukt i analysen. Resten av måleresultatene finnes i vedlegg G.

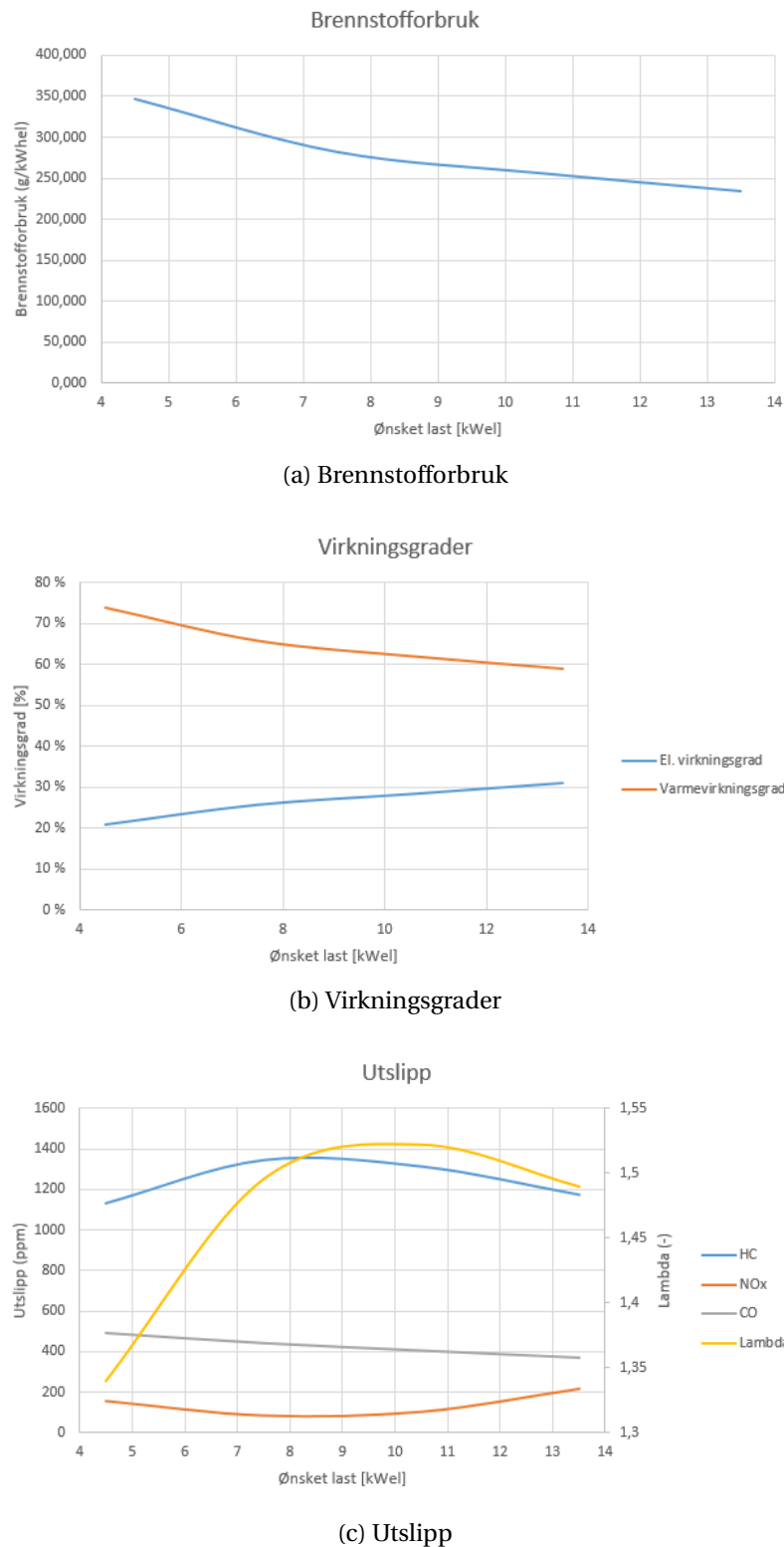
Analyse av noen av ytelsesparametrene for motoren, plottet på bakgrunn av målinger utført i 2007, viser at brennstoffurbruket per kWh produsert elektrisk kraft er laveste ved full last (se figur 4.1a). Enhetens elektriske virkningsgrad er på ligningende måte høyest ved denne lasten. CHP-enhetens varmevirkningsgrad kan observeres å være høyest ved 4,5 kW last, dvs. ved den laveste lasten (se figur 4.1b). Farlige utslipp fra enheten (HC, CO og NO_x) er samlet lavest ved full last (se figur 4.1c).

4.2 Energianalyse

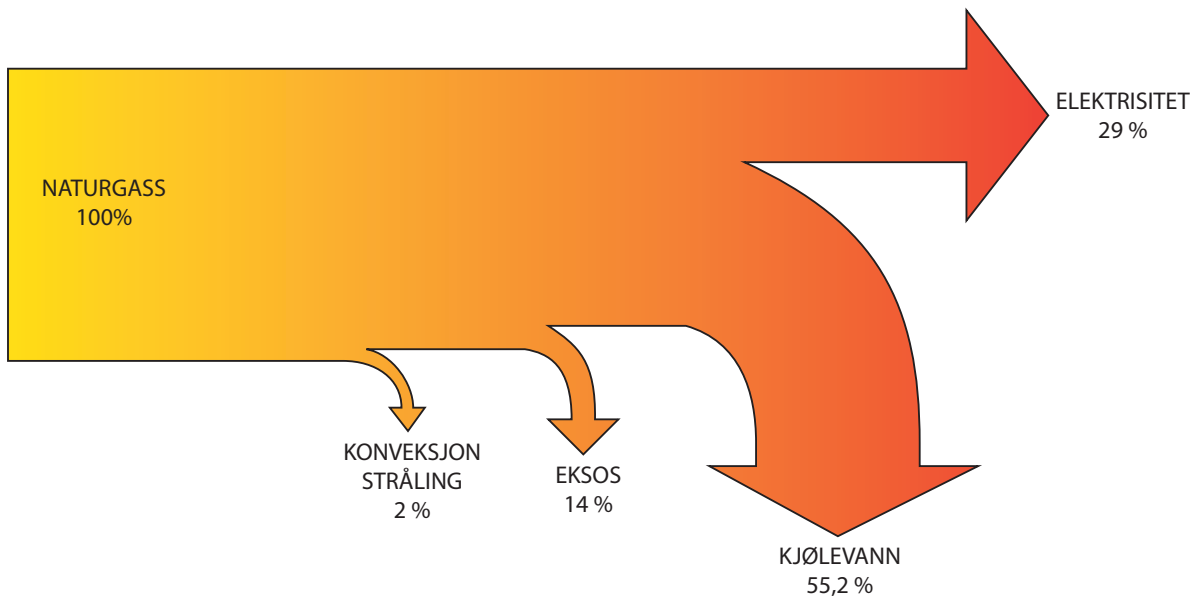
Sankey-diagrammet i figur 4.2 representerer energiflytene i CHP-enheten uten ORC-basert spillovervarmeutnyttelse. Verdien merket "Eksos" representerer forbrenningsvarmen som forlater CHP-enheten i eksosen, mens verdien merket "Kjølevann" representerer forbrenningsvarmen som overføres til kjølevannskretsen. Det kommer frem av diagram at CHP-enhetens elektriske virkningsgrad er 29 %. Den totale virkningsgraden til enheten er 84 % ved full effekt.

En analyse av enhetens energifordeling ved 4,5, 7,5, 10,5 og 13,5 kW (figur 4.3) viser at CHP-enheten har noenlunde lik total virkningsgrad gjennom hele ytelsesspekteret, men at varmevirkningsgrad øker med lavere elektrisk ytelse.

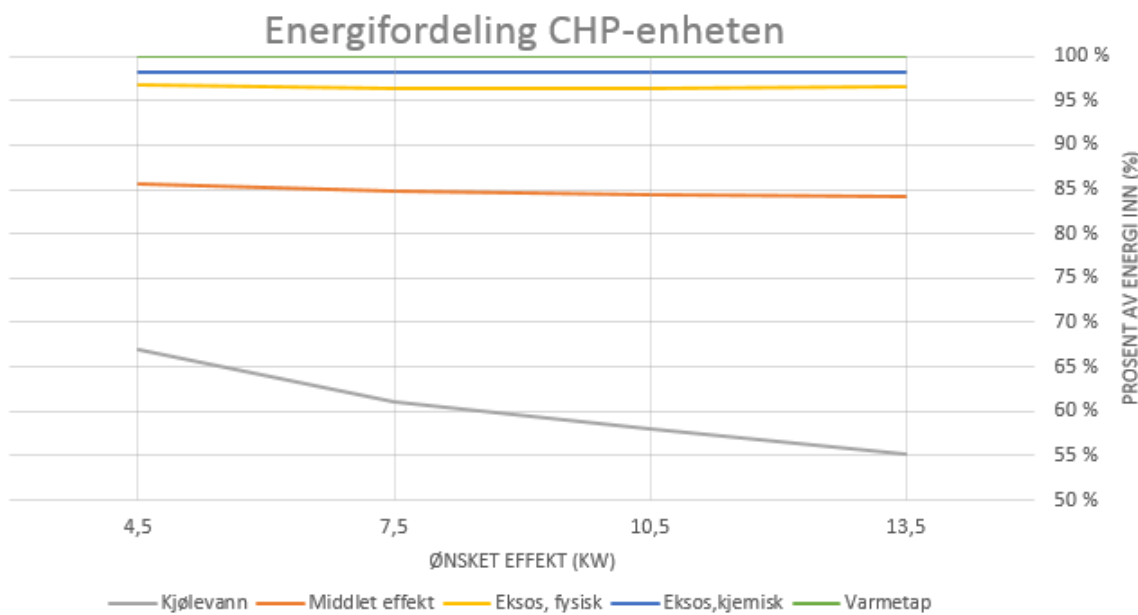
Tabell 4.2 viser resultatene fra den iterative stempelmotormodellen som er utviklet for denne



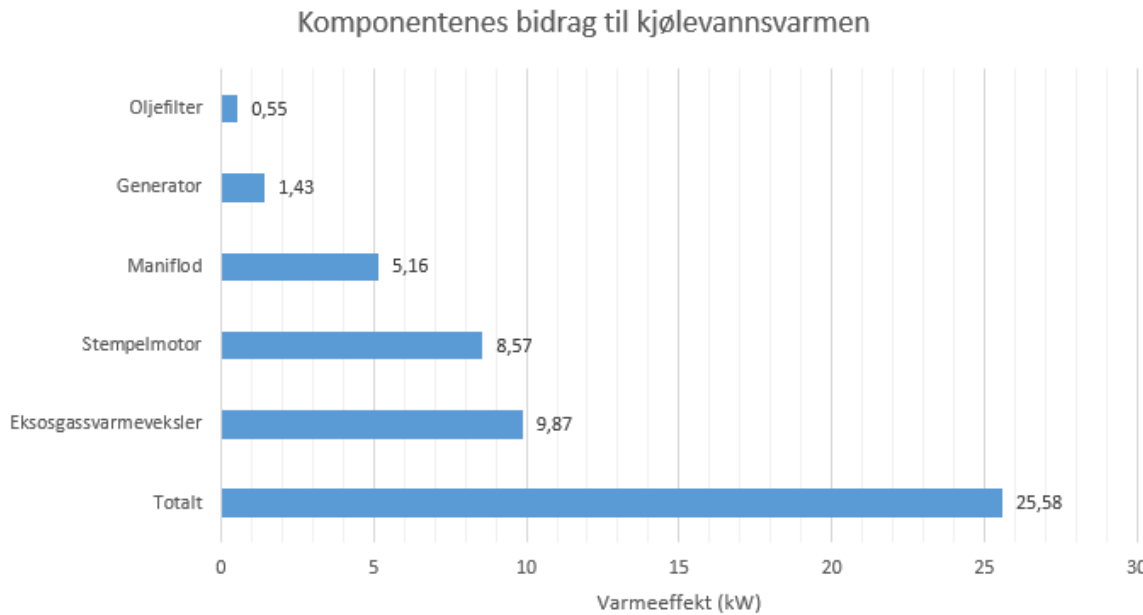
Figur 4.1: Grafisk fremstilling ytelsesparametere for CHP-enheten fra målinger gjort i 2007.



Figur 4.2: Sankey-diagram for CHP-enheten ved full effekt (13,5 kW).



Figur 4.3: Energifordelingen til CHP-enheten i prosent av energi inn ved: 4,5, 7,5, 10,5 og 13,5 kW.



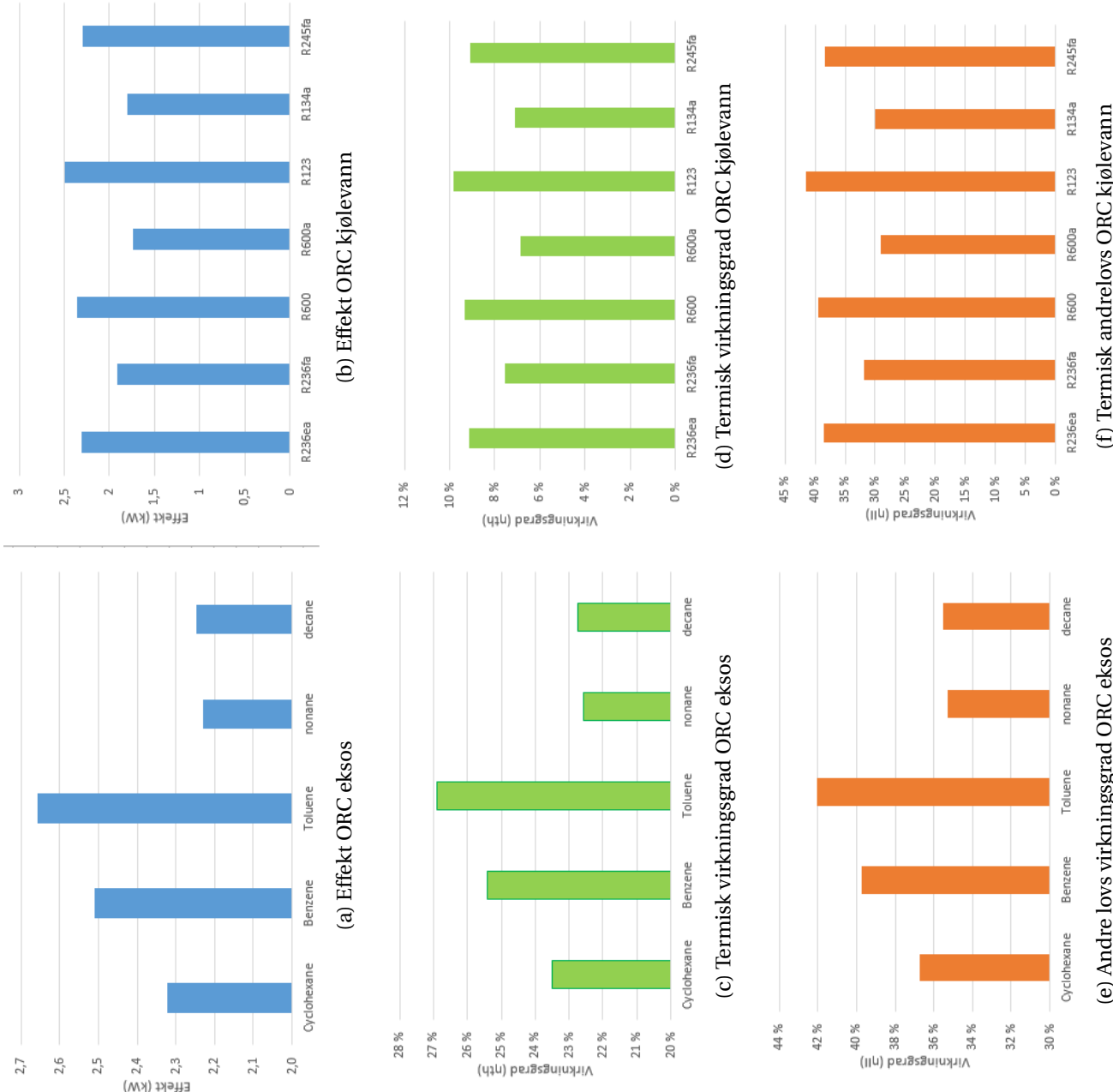
Figur 4.4: Komponentens varmeovergang til kjølevann ved full elektrisk effekt.

oppgaven. I følge resultatene har stempelmotoren høyest mekanisk virkningsgrad ved full ytelse. Dette selv uten modellering av strømningstap i strupeventil. Av resultatene i tabell 4.2 kommer det også frem at stempelmotormodellen, ved ønsket elektrisk effekt under 10,5 kW gir lavere enn målt eksostemperatur før katalysator. Det er derfor valgt å fokusere på CHP-enheten ved full effekt ved videre analyser.

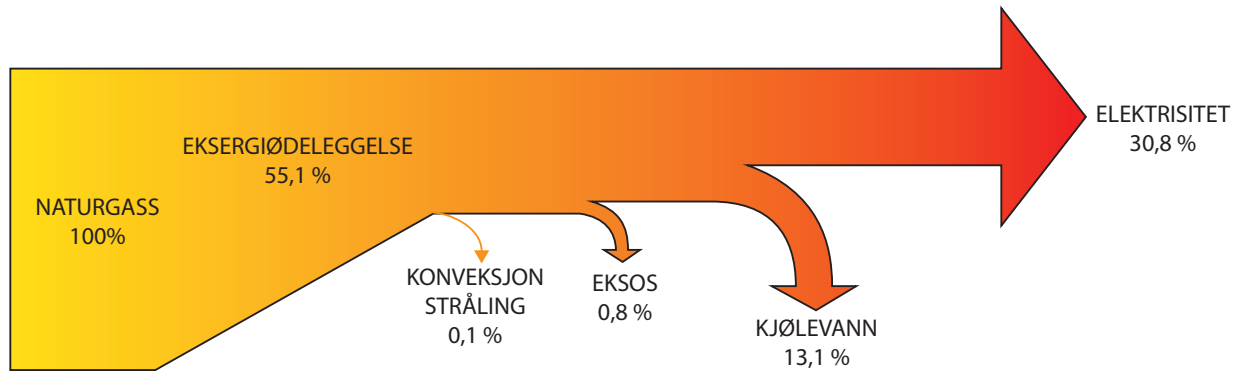
Figur 4.4 viser varmemengden som overføres til kjølevannet i hver vannkjølte komponent. Det kommer frem at den største varmemengden overføres i eksosgassvarmeveksleren. Her overføres 9,87 kW termisk energi. Totalt overføres det 25,58 kW termisk energi til kjølevannet.

I analyse av ORC er to scenarioer undersøkt. Det første er et scenario hvor en fordamper er tilkoblet kjølevannskretsen etter CHP-enheten. ORC-kretsen vil i dette tilfellet utnytte 25,58 kW varme i fordamperen. I det andre scenarioet er fordamper tilkoblet eksosen i CHP-enheten i stedet for eksosgassvarmeveksleren. Her brukes 9,87 kW varme i fordamperen.

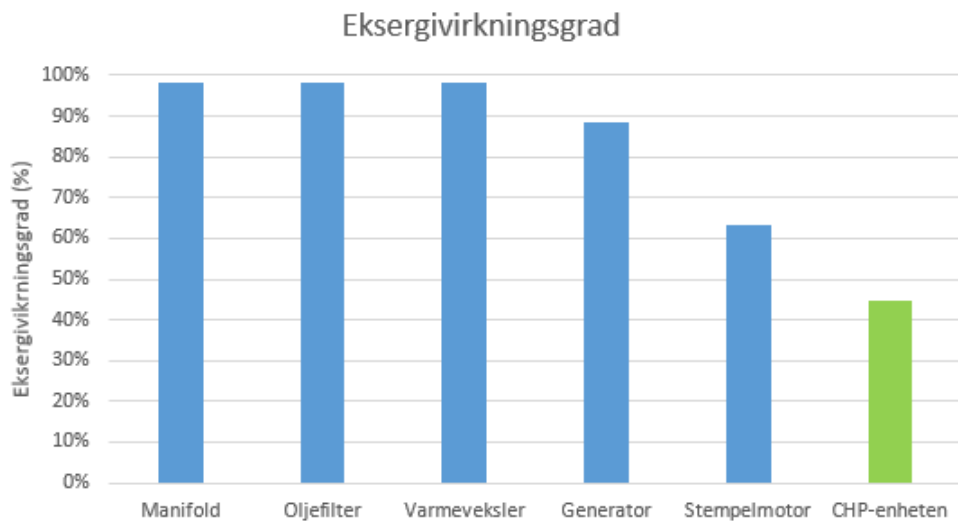
Figur 4.5 viser resultatene av analysen av de to scenarioene. Av figuren kommer det frem at konfigurasjonen med ORC-kretsen tilkoblet eksos utført med Toluene som arbeidsfluid er den som gir høyest ytelse ved høyest termisk virkningsgrad. En enkel ORC-krets tilkoblet eksos med Toluene som arbeidsfluid kan i følge analysen levere 2,66 kW elektrisk effekt ved 27 % termisk virkningsgrad og 42 % andre lovs virkningsgrad.



Figur 4.5: Resultat fra analyse av muligheter for tilkobling av ORC: på eksos (t.v.) og på kjølevann (t.h.).



Figur 4.6: Grassmann-diagram for CHP-enhet ved full effekt (13,5 kW).

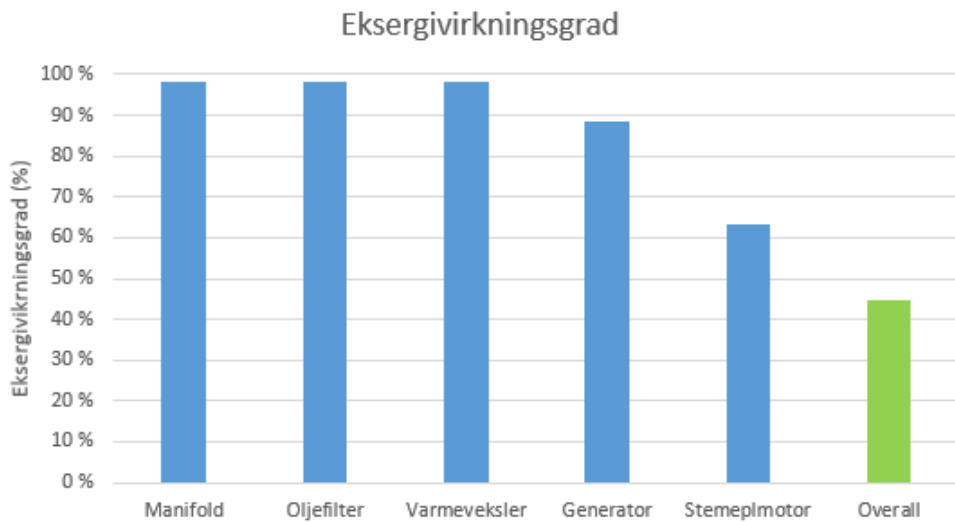


Figur 4.7: Oversikt over eksjergiødeleggelse i CHP-enhetens viktigste komponenter.

4.3 Eksergianalyse

Grassmann-diagrammet i figur 4.6 viser prosentverdier for eksergiflytene ut av systemet. Verdiene merket "Eksos" og "Kjølevann" viser på samme måte som i Sankey-diagrammet endringene i eksjergi i henholdsvis luft- og kjølevannskretsene. Av diagrammet kommer det frem at系统的 totale eksergivirkningsgrad er 43 %. Eksjergiødeleggelsen i CHP-enheten er hele 52 % av tilført eksjergi.

Figur 4.7 viser en oversikt eksjergiødeleggelsen i de CHP-enhetens. Som forventet er eksjergiødeleggelsen desidert størst i stempelmotoren, hvor energikonverteringen finner sted.



Figur 4.8: Oversikt over eksergivirkningsgraden for CHP-enhetens viktigste komponenter.

Tabell 4.3: Oversikt over energi- og tilhørende eksergistrømmer i systemet.

Komponent	Varme (kW)	Arbeid (kW)	Eksergi (kW)
Generator	1,43	13,27	13,57
Manifold	5,16	0,00	1,17
Eksosgassvarmeveksler	9,87	0,00	2,16
Oljefilter	0,55	0,00	0,12
Varmetap	0,86	0,00	0,052
Stempelmotor	8,57	14,70	16,92

Figur 4.8 viser eksergivirkningsgraden til CHP-enhetens indre komponenter, samt CHP-enheten i helhet. Av figuren kommer det frem at CHP-enheten har dårligere eksergivirkningsgrad enn alle sine indre komponenter.

Tabell 4.3 inneholder en oversikt over alle energistrømmene i systemet, og tilhørende eksergistrømmer. Av tabellen synes det at eksergistrømmene er beskjedne i komponenter hvor varme overføres i forhold til konverteringsenheterne: stempelmotoren og generatoren.

Tabell 4.4 inneholder en oversikt over alle massestrømmene i systemet med tilhørende eksergistrømmer. Eksergistrømmene i tabell 4.4 representerer strømmens arbeidspotensiale i forhold til omgivelsene, og ikke nødvendigvis eksperi tilført strømmen av forbrenningsprosessen.

Tabell 4.4: Oversikt over massestrømmene i systemet.

Tilstand nr	Flyt identifikasjon	Massestrøm m kg/s	Temperatur, T °C	Trykk, P kPa	Entalpi, h kJ/kg	Entropi, s kJ/kgK	Spesifikk eksersgi, ψ kJ/kg	Eksersgi, \dot{X} kW
1	Luft og gass	0,0212	23,7	100,92	298,747	3,877	56,020	1,185
2	Eksos	0,0212	629,6	100,92	1189,308	5,039	622,743	13,178
3	Eksos	0,0212	472,7	100,92	945,378	4,828	437,555	9,259
4	Eksos, renset	0,0212	503,6	100,92	1023,368	4,872	503,202	10,648
5	Eksos, renset	0,0212	93,1	100,92	556,705	4,089	254,963	5,395
6	Vann	0,488	79,9	182	334,845	1,075	35,308	17,243
7	Vann	0,416	79,9	182	334,845	1,075	35,308	14,692
8	Vann	0,416	80,8	182	338,278	1,084	36,034	14,994
9	Vann	0,416	86,4	182	362,010	1,151	41,214	17,150
10	Vann	0,416	89,4	182	374,415	1,185	44,038	18,325
11	Vann	0,072	79,9	182	334,845	1,075	35,308	2,551
12	Vann	0,072	81,7	182	342,454	1,096	36,924	2,667
13	Vann	0,488	88,2	182	369,687	1,172	42,952	20,976
14	Vann	0,488	92,3	182	386,626	1,219	46,893	22,900

Tabell 4.5: Beregnede spesifikke kostnader for CHP-enheten med og uten ORC.

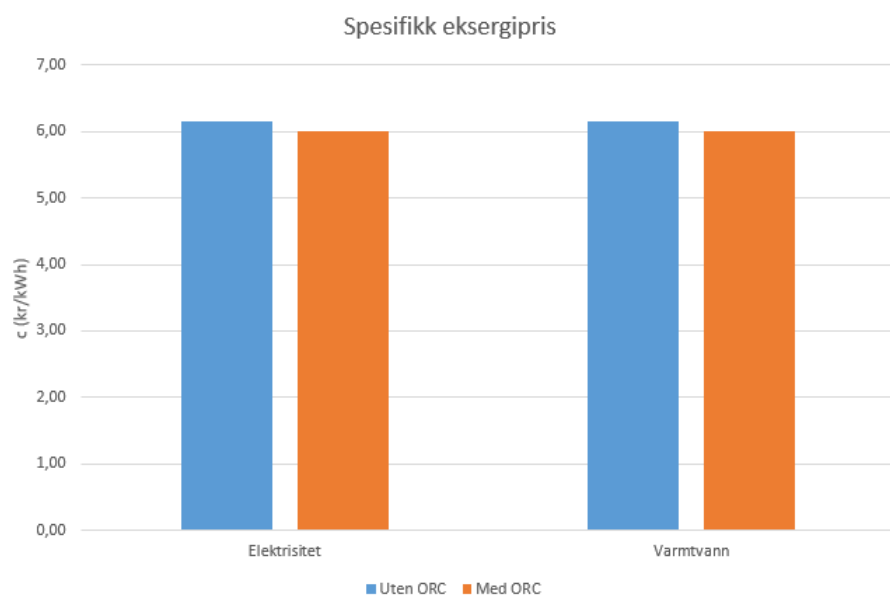
	Drivstoff (kr/kWh)	Produkt (kr/kWh)	Drift- og vedlikehold (kr/h)	Kapitalkostnader (kr/h)
Uten ORC	0,660	6,160	29,249	59,183
Med ORC	0,660	6,011	29,249	59,461

Systemet leverer uten ORC tilkoblet 13,27 kW eksperi i form av elektrisk effekt og 5,66 kW i form av varmtvann. Med ORC tilkoblet leverer systemet 15,93 kW i form av elektrisk effekt og 3,52 kW i form av varmtvann.

4.4 Eksergoøkonomisk analyse

Resultatene fra den eksergoøkonomiske analysen er presentert i tabell 4.5 og figur 4.9. Tabell 4.5 viser spesifikke kostnader for drivstoff, produkt, drift- og vedlikehold og kapitalkostnader. Investeringskostnadene er høyere for systemet med ORC-krets enn systemet uten ORC-krets, og følgelig er kapitalkostnadene for systemet med ORC høyere enn for systemet uten ORC.

Med en ORC-krets tilkoblet CHP-enhet vil systemet leve mer eksperi enn uten. Resultatet av dette er at den elektrisk effekt og varme produseres med en litt lavere eksperispesifikk kostnad, som illustrert i figur 4.9.



Figur 4.9: Spesifikk eksnergipris for elektrisitet og varmtvann for enheten med og uten en ORC-krets.

Kapittel 5

Diskusjon

Av analysen kommer det frem at dersom en enkel ORC-krets med Toluene som arbeidsfluid kobles til eksosen til CHP-enheten i stedet for eksosgassvarmeveksleren, er det mulig å produsere eksperi med en lavere spesifikk kostnad enn den CHP-enheten produserer med idag. Dette indikerer at det er mulig å modifisere en CHP-enhet for å tilkomme etterspørsel for mer elektrisk effekt til bl.a. bolig og kontorbygg. I følge analysen har en slik modifisering ikke bare termodynamisk potensiale, men den er også økonomisk gunstig. En modifisering vil også kunne vise seg å være enda mer gunstig, dersom en mer avansert ORC-krets anvendes. Den enkle kretsen med Toluene som arbeidsfluid har f.eks. et rekupereringspotensiale på 1,72 kW, noe som hvis utnyttet kunne gitt enda høyere ytelse og virkningsgrader.

På den annen side kan en mer detaljert analyse vise at den økonomiske gunstigheten ikke er tilstede allikevel.

Analysen som den er utført i denne oppgaven baserer seg på målinger utført i 2007. Det var ambisjon om å gjøre egne målinger og bruke disse som basis for analysen, men det har ikke lykkes å ferdigstille CHP-anlegget og tilhørende instrumentering og loggeutsyr til et tilfredstilende nivå. Derfor har egne målinger kun blitt brukt der målingene fra 2007 var mangelfulle, som f.eks. eksosgasstemperatur før katalysator og utslipp av H₂ og SO₂. Usikkerhet rundt utførelsen av målingene fra 2007 gjør at det også vil bli usikkerhet rundt beregningene i denne oppgaven. Usikkerheten ligger i hovedsak ved kalibrering av utstyr. En av grunnen til dette er måleresultater for utslipp av CO og HC. I følge målingene fra 2007 er utslipp av HC på det meste 1344 ppm (ved 7,5 kW) og utslipp av CO på det meste 493 ppm (ved 4,5 kW). Disse verdiene virker høye, spe-

sielt ettersom det hevdet at målingene av eksosgassammensetning er utført etter katalysator. Det har ikke lyktes å måle HC ved egen målinger, men måling av CO-utslipp viser en at høyeste verdi ligger på 76 ppm (ved 13,5 kW), altså bare ca 1/6 av den høyeste verdien som ble målt i 2007. Selv med disse uoverensstemmelsene ble det valgt å gå videre med analysen. De høye verdiene for HC og CO i eksogassen ble forsøkt gjort opp for ved å anta noe dårligere katalysatorvirkningsgrad. Katalysatorvirkningsgraden ble for HC antatt å 70 % og CO å være 60 %, dvs. i det øvre sjiktet av virkningsgradspekteret presentert av EPA [59] for to-veis katalysatorer brukt i dieselmotorer. I følge Stone [26] skulle virkningsgraden ligge på 95-99 % for en toveis katalysator ved den målte eksogsastemperaturen. En katalysator som opererer med en ren eksogass, som eksogass fra gassmotorer er, ved høy temperatur vil kunne anslås å ha høyere virkningsgrader enn de brukt i denne oppgaven, noe egne målinger av CO til en viss grad bekrefter.

Foruten uoverensstemmelsen ved måling av eksogassutslipp er det god overensstemmelse ved målinger av elektrisk effekt, kjølevannstemperaturer, kjølevannsstrøm og gassstrøm (se vedlegg H og G).

Når det gjelder energi- og eksergianalyse av CHP-enheten er det forholdsvis lite usikkerhet rundt beregning av produsert energi og eksergi. Analyse av CHP-enhetens indre komponenter derimot er sterkt avhengig av nøyaktigheten til stempelmotormodellen som er utviklet til denne oppgaven. Modellen er en iterativ modell, skrevet i Visual Basic for Applications (VBA), basert på empiriske relasjoner. Modeller av denne typen baseres som oftest på kjente variabler, som bl.a.: ventiltider, ventilløft, tenningstidspunkt, forbrenningsperiode, trykkforløp i sylinder og strømningstap. Disse variablene måles og modellen brukes så til å simulere ikke-målte verdier. I stempelmotormodellen i denne oppgaven er ingen av de ovennevnte variablene kjent. Modellen er derfor basert på antagelser, samt noen målte variabler som brennstoffforbruk og produsert effekt. For at modellen skal gi et noenlunde troverdig resultatet er input-variablene justert slik at den gir indikert effekt noe over bremsespesifikk effekt, beregnet på bakgrunn av målt elektrisk effekt, og en eksogsastemperatur over målt eksogsastemperatur før katalysator. Resultatene som er oppnådd fra modellen (oppgett i tabell 4.2) viser en mekanisk virkningsgrad for stempelmotoren ved full effekt på 96 %. Denne er noe høy, men med tanke på at strømningstap ikke er inkorporert i modellen er det mulig at virkningsgraden vil nå en mer troverdig verdi ved videre utvikling av modellen.

Selv om stempelmotoren er noe uferdig har den ikke mer innvirkning på resultatet i oppgaven enn oversikt over komponentenes bidrag til kjølevannsvarmen og oversikt over ødelagt eksperi innad i enheten. Disse er sekundære resultater som er inkludert for å gi indikasjon på komponentenes bidrag til produksjonen.

Mellom stempelmotoren og varmeveksler er det et målepunkt for eksosgasstemperaturen. Dette betyr at beregninger av tilgjengelig energi for ORC-kretsen ikke er avhengig stempelmotormodellen. Det anses på den andre siden som viktig for videre analyse av CHP-enheten at det utvikles en fullverdig modell av stempelmotoren.

I ORC-konfigurasjonen som ble valgt i denne oppgaven, med fordamper tilkoblet eksosgas-sen i stedet for eksosgassvarmeveksler, mister kjølevannkretsen noe av varmebidraget mellom før det går inn i manifold og senere motorblokk. Dette gjør at kjølevannstemperaturen vil være lavere ved inngang til motorblokk. Fra undersøkelser av CHP-enhetens oppsett kan de se ut som om enheten styres ut i fra termostater i bl.a. eksosgassvarmeveksler og i kjølevannstrøm ut i fra motorblokk. En endring i kjølevannstemperaturen kan påvirke styringen av enheten. Hvilken effekt dette vil ha vites ikke, og bør undersøkes.

Det er i design av ORC-kretsen i denne oppgaven ikke tatt hensyn til designprosessen presentert i seksjon 2.3.5, med samtidig valg av ekspander og arbeidsfluid. Det er på grunn av tidsmangel kun utført en enkel termodynamisk analyse, og valg av konfigurasjon og arbeidsfluid er basert på denne. Dersom en ORC-krets tilknyttet CHP-enheten skal bygges, bør det utføres en mer avansert analyse av ORC-kretsen med fokus på appliserbarheten for teknologi for fordamping og ekspansjon ved de gitte temperaturene og energimengdene.

Kostnaden til et enkelt ORC-anlegg er basert på priser innhentet fra internetsider for nett-handel. Prisene er hentet inn for komponenter som skal kunne yte det som i følge den termodynamiske analysen kreves av dem. Dersom byggingen av anlegget skal utføres, bør det i neste fase av planleggingen utføres en mer detaljert estimering av investeringskostnader. En høyere investeringskostnad vil kunne påvirke resultatet i denne oppgaven som sier at modifisering av en CHP-enhet med tilkobling av en ORC-krets gir en lavere eksnergispesifikk produksjonskostnad. Resultatet er på den annen side ikke på langt nært så følsomt for økning i investeringskostnader som økning i produsert eksperi. Med tilkoblet ORC-krets leverer systemet samlet bare 0,52 kW mer eksperi enn uten ORC, men for at systemet skal levere eksperi med samme eksnergispesifikke

produksjonskostnaden må investeringskostnaden på ORC-anlegget økes med rett i underkant av kr 215 000 dersom det antas at hele anlegget har en levetid på 20 år og at det ikke forekommer ekstra drift- og vedlikeholdskostnader ved tilkobling av et ORC-anlegg.

Kapittel 6

Oppsummering

6.1 Konklusjon

I følge energianalysen produserer CHP-enheten 13,27 kW elektrisk effekt og 25,58 kW varme ved henholdsvis 29 % og 55 % virkningsgrad. Den totale virkningsgraden ved full effekt er 84 %. Ved lavere effekter er varmeverkningsgraden høyere og den elektriske virkningsgraden lavere. Varmen samles opp i systemet i eksosgassvarmeveksler, stempelmotor, oljefilter, generator og manifold. Av disse komponentene leverer eksosgassvarmeveksleren mest varme til kjølevannet.

I følge eksnergianalysen er andelen eksergiødeleggelse ved full effekt 55 %. Ved lavere effekter er eksergiødeleggelsen noe større. Størst er den ved 4,5 kW, hvor den er på 62 %. Komponenten i systemet med størst eksergiødeleggelse er stempelmotoren.

I følge den eksergoøkonomiske analysen produserer det samlede systemet elektrisk effekt og varme med en lavere eksergispesifikk kostnad med ORC-krets tilkoblet enn uten, 6,01 kr/kWh med mot 6,16 kr/kWh uten. Det konkluderes med at det er mulig å modifisere en CHP-enhet med en ORC-krets slik at systemet produserer elektrisk effekt og varme med en lavere eksergispesifikk kostnad dersom det samlede systemet har en levetid på 20 år og den tilkoblede ORC-kretsen ikke bidrar til ytterligere drift- og vedlikeholdskostnader.

6.2 Anbefalinger for fremtidig arbeid

På kort sikt anbefales det først og fremst at det jobbes videre med å oppnå et tilfredsstillende måleoppsett, med instrumentering for måling av: temperatur i motorrom, gassforbruk, kjølevannstrøm, kjølevannstemperaturer, eksostemperatur ut fra enheten, eksostemperatur før katalysator, elektrisk effekt og eksosgassammensetning. Ved måling av eksosgassammensetning anbefales det å måle: CO₂, O₂, CO, NO_x, HC, H₂ og SO₂, da det er påvist at alle disse gassartene er tilstede i eksosgassen.

På kort sikt anbefales det også å forsøke å detaljprosjetere en ORC-krets basert på metoden foreslått Quoilin et al. [35], med samtidig valg av ekspander og arbeidsfluid. På den måten er det kanskje mulig å legge grunnlaget for bygging av en ORC-krets.

På lang sikt anbefales det at gjøres målinger på stempelmotoren slik at det er mulig å danne en mer avansert stempelmotormodell. Disse målingene kan enten gjøres på motoren som står i CHP-enheten eller det kan være en idé å innhente en identisk motor som kan brukes til målinger. Toyota 3Y-motoren er en relativt vanlig bilmotor, og skal være lett å få tak i. Variabler som må måles er bl.a.: trykkforløp iylinder, strømningstap forbi ventiler, luftbevegelse iylinder, friksjonstap. Verdier som tenningstidspunkt kan tenkes å fås ut fra CHP-enhetens Gill Instruments GS6 tenningsmodul. Ventiltider og ventilløft kan mulig finnes ved å studere kamaksel.

På lang sikt anbefales det også å forsøke å bygge en ORC-krets som kan tilkobles CHP-enheten, enten til eksos, som foreslått i denne oppgaven, eller til kjølevann, som kanskje er den enkleste løsningen.

Bibliografi

- [1] IEA. CO2 Emissions from Fuel Combustion - Highlights. Technical report, International Energy Agency, 2014. <http://www.iea.org/publications/freepublications/publication/co2-emissions-from-fuel-combustion-highlights-2014.html>.
- [2] IPCC. Climate Change 2013: The Physical Science Basis. Contribution of Working Group I to the Fifth Assessment Report of the Intergovernmental Panel on Climate Change [Stocker, T.F., D. Qin, G.-K. Plattner, M. Tignor, S.K. Allen, J. Boschung, A. Nauels, Y. Xia, V. Bex and P.M. Midgley (eds.)], 2013.
- [3] EU. Directive 2004/8/ec of the european parliament and of the council of 11 february 2004 on the promotion of cogeneration based on a useful heat demand in the internal energy market and amending directive 92/42/ee. European Union, 2004.
- [4] Marius Monsen Ragnøy. Teknologikartlegging - kraftgjenvinning fra lavtemperatur spillvarme. Technical report, Rambøll, 2014.
- [5] David Koeberlein. Cummins SuperTruck Program. Online, 06 2015. http://energy.gov/sites/prod/files/2014/03/f13/ace057_koeberlein_2013_o.pdf.
- [6] Motorship.com. Waste heat recovery system operates at lower temperature. *Motorship*, 2014.
- [7] Adrian Bejan, George Tsatsaronis, and Michael Moran. *Thermal Design & Optimazation*. John Wiley & Sons, inc, 1996.
- [8] EU. Regulation (ec) no 715/2007 of the european parliament and of the council of 20 june 2007 on type approval of motor vehicles with respect to emissions from light passenger and

- commercial vehicles (euro 5 and euro 6) and on access to vehicle repair and maintenance information. Technical report, EU, 2007.
- [9] EU. Directive 1999/94/ec of the european parliament and of the council of 13 december 1999 relating to the availability of consumer information on fuel economy and co2 emissions in respect of the marketing of new passenger cars. Technical report, EU, 2000.
- [10] Daniel Jenni. Agaswärme und Turbine - die neue Dampfmaschine. *Automobile revue*, 2014.
- [11] *Technisches Datenblatt - XRG13G-TO Erdgas Energiesystem*. EC Power.
- [12] Ann Christin Bøeng. På verdenstoppen i bruk av strøm. *Samfunnsspeilet*, 4, 2014.
- [13] Ann Christin Bøeng. Energibruk i husholdningene, 2012. Technical report, Statistisk sentralbyrå, 2014.
- [14] Hanne Marit Dalen and Bodil Merethe Larsen. Formålsfordeling av husholdningens elektrisitetsforbruk i 2006. Technical report, Statistisk sentralbyrå, 2006.
- [15] Anne Sofie Abrahamsen, Marius Bergh, and Nadiya Fedoryshyn. Energibruk i bygg for tjenesteytende virksomhet 2011. Technical report, Statistisk sentralbyrå, 2013.
- [16] Solveig Irgens. Tek15: Slik er forslaget. Online, 06 2015. <http://www.lavenergiprogrammet.no/nyheter-fra-lavenergiprogrammet/tek15-slik-er-forslaget-article2447-122.html>.
- [17] Øystein Lindberg. Energiproduksjon ved bruk av små kogenereringsanlegg. fokus på instrumentering og miljø. Master's thesis, Universitetet i Stavanger, 2007.
- [18] Kyung Tae Yun, Heejin Cho, Rogelio Luck, and Pedro J. Mago. Modeling of reciprocating internal combustion engines for power generation and heat recovery. *Applied Energy*, 2013.
- [19] F Caresana, Brandoni C, P Felichotti, and CM Bartolini. Energy and economic analysis of an ice-based variable speed-operated micro-cogenerator. *Applied Energy*, 2011.
- [20] H Cho, R Luck, SD Eksioglu, and Chamra LM. Cost-optimized real-time operation of chp systems. *Energy and Buildings*, 2009.

- [21] PJ Mago, LM Chamra, and J Ramsey. Micro combined cooling, heating, and power systems hybrid electric-thermal load following operation. *Applied Thermal Engineering*, 2010.
- [22] H Ren and W Gao. Economic and environmental evaluation of micro chp systems with different operating modes for residential buildings in japan. *Energy and Buildings*, 2010.
- [23] N Fumo, PJ Mago, and LM Chamra. Emission operational strategy for combined cooling, heating, and power systems. *Applied Energy*, 2009.
- [24] HI Onowwiona, VI Ugursal, and AS Fung. Modeling of internal combustion engine based cogeneration systems for residential applications. *Applied Thermal Engineering*, 2006.
- [25] J Heywood. *Internal Combustion Engine Fundamentals*. Tata Mcgraw Hill Education, 2011.
- [26] Richard Stone. *Introduction to Internal Combustion Engines*. Palgrave Macmillan, 4 edition, 2012.
- [27] Jeremy Cuddihy. A user-friendly, two-zone heat release model for predicting spark-ignition engine performance and emissions. Master's thesis, University of Idaho, 2014.
- [28] EH Wang, HG Zhang, BY Fan, MG Ouyang, Y Zhao, and QH Mu. Study of working fluid selection of organic Rankine cycle (ORC) for engine waste heat recovery. *Energy*, 2011.
- [29] TC Hung, TY Shai, and SK Wang. A review of organic Rankine cycles (ORCs) for the recovery of low-grade waste heat. *Energy*, 1997.
- [30] V Maizza and A Maizza. Unconventional working fluids in organic Rankine-cycles for waste heat energy recovery systems. *Applied Thermal Engineering*, 2001.
- [31] BT Liu, KH Chien, and CC Wang. Effekt of working fluids on organic Rankine cycle for waste heat recovery systems. *Energy*, 2004.
- [32] D Wei, Z Lu, and J Gu. Performance analysis and optimization of organic Rankine cycle (ORC) for waste heat recovery. *Energy conversion and management*, 2007.
- [33] D Wei, X Lu, Z Lu, and J Gu. Dynamic modeling and simulation of an organic Rankine cycle (ORC) for waste heat recovery. *Applied Thermal Engineering*, 2008.

- [34] Jian Song, Yin Song, and Chun wei Gu. Thermodynamic analysis and performance optimization of an Organic Rankine Cycle(ORC) waste heat recovery system for marine diesel. *Energy*, 2015.
- [35] Sylvain Quoilin, Sébastien Decalye, Arnaud Legros, Ludovic Guillaume, and Vincent Lemort. Working fluid selection and operating maps for Organic Rankine Cycle expansion machines. In *International Compressor Engineering Conference at Purdue, July 16-19, 2012*.
- .
- [36] Andrea Lazzaretto and George Tsatsaronis. Speco: A sysstematic and general methodology for calculation efficiencies and costs in thermal systems. *Energy*, 2006.
- [37] G Tsatsaronis and M Winhold. Exergoeconomic analysis and evaluation of energy conversion plants. *Energy Int.*, 1985.
- [38] RB Evans and M Tribus. A contribution to the theory of thermoeconomics, report no. 62–63. Technical report, UCLA Engineering Department, 1962.
- [39] B. Erlach, G. Tsatsaronis, and F. Cziesla. A new approach for assigning costs and fuels to cogeneration products. *Appl Thermody*, 2001.
- [40] R.B. Evans El Sayed. Thermoconomics and the design of heat systems. *Trans ASME J Eng Power*, 1970.
- [41] C.A. Frangopoulos. Thermo-economic functional analysis and optimization. *Energy*, 1987.
- [42] C.A. Frangopoulos. Optimal synthesis and operation of thermal systems by the thermoeconomic functional approach. *J Eng Gas Turbines Power*, 1992.
- [43] M. Khaljani, R. Khoshbakhti Saray ., and K. Bahlouli. Comprehensive analysis of energy, exergy and exergo-economic of cogeneration of heat and power in a combined gas turbine and organic rankine cycle. *Energy Conversion and Management*, 2015.
- [44] Ugyr Yildirim and Afsin Gungor. An application of exergoeconomic analysis for a CHP system. *Electrical power and energy systems*, 2012.

- [45] WADE. Guide to decentralized energy technologies. Technical report, World Alliance for Decentralized Energy, 2003.
- [46] Martin Pehnt, Martin Cames, Corinna Fischer, Barbara Praetorius, Lambert Schneider, Katja Schumacher, and Jan-Peter Voß. *Micro Cogeneration - Towards Decentralized Energy Systems*. Springer, 2006.
- [47] H Hoff and M Köper. Weiterentwicklung von Gassmotoren für Nano-, Micro- und Mini-BHKW. In *Dessauer Gassmotoren-Konferanz*, 2015.
- [48] Toyota-Industries. Y-series. Online, 01.2015. <http://www.toyota-industries.com/component/products/y.html>.
- [49] unknown. Toyota Y Engine. Online, 03.2015. http://en.wikipedia.org/wiki/Toyota_Y_engine.
- [50] EC Power. *XRG1 13G Combined Heat and Power System - Installation Guide*, 2006.
- [51] R. Saidur, M.Rezaei, W.K.Muzammil, M.H.Hassan, S.Paria, and M.Hasanuzzaman. Technologies to recover exhaust heat from internal combustion engines. *Renewable and sustainable energy reviews*, 16:5649–5659.
- [52] DuPont. Refrigerants. Online, 5 2015. http://www2.dupont.com/Refrigerants/en_CA/products/understanding.htm.
- [53] Sylvain Quoilin, Sébastien Declaye, Bertrand F. Tchanche, and Vincent Lemort. Thermo-economic optimization of waste heat recovery organic rankine cycles. *Applied Thermal Engineering*, 31:2885–2893, .
- [54] Vincent Lemort, Ludovic Guillaume, Arnaud Legros, Sébastien Declaye, and Sylvain Quoilin. A comparison of piston, screw and scroll expanders for small scale rankine cycle systems. In *Proceedings of the 3rd International Conference on Microgeneration and Related Technologies*, 2013.
- [55] Knut Helland. Gassteknologi: Produksjon og behandling av naturgass. Høgskolen i Bergen, Avd. for ing.utdanning, Desember 2003.

- [56] Yunus A. Cengel and Michael A. Boles. *Thermodynamics: an engineering approach.* McGraw-Hill, 7 edition, 2011.
- [57] R.B. Krieger and G.L. Borman. The computation of apparent heat release for internal combustion engines. *ASME*, 1967.
- [58] Ricardo. Performance analysis. Forelesningsnotater høst 2014.
- [59] EPA. Diesel oxidation catalyst general information. Online, 6 2015. <http://epa.gov/cleandiesel/documents/420f10031.pdf>.
- [60] Silvio de Oliveira Junior. *Exergy: Production, Cost and Renewability (Green Energy and Technology).* Springer, 2013.
- [61] DR Morris and J Szargut. Standard chemical exergy of some elements and compounds on the planet earth. *Energy*, 11:733–755.
- [62] J Szargut. International progress in second law analysis. *Energy*, 5:709–718.
- [63] Ivar S Ertesvaag. Sensitivity of chemical exergy for atmospheric gases and gasous fuels to variations in ambient conditions. *Energy Conversion and Management*, 48:1983–1995.
- [64] altinn. Avskrivninger. Online, 6 2015. <https://www.altinn.no/no/Starte-og-drive-bedrift/Drive/Regnskap-og-revisjon/Hva-er-bokforingsplikt/Aktivering-eller-kostnadsforing/Avskrivninger/>.
- [65] Geofysisk Institutt. Søkeresultat. Online, 01.2015. http://veret.gfi.uib.no/index.php?action=query_data.
- [66] Lars Magne Nerheim. Sammenligning av avgassutslippene fra en tradisjonell- og en hybrid drevet biogass-buss under drift på en gitt linje i bergen, 2015.
- [67] Per Madsen. Sv: Ec power xrgi 13g - masteroppgave, 30.04.2015. PM@ecpower.dk.
- [68] Gasnor. Bolig - priser/betingelser. Online, 01.2015. <http://gasnor.no/bolig/priserbetingelser/>.
- [69] Frank Kreith. *The CRC Handbook of Thermal Engineering.* Springer, 2000.

Figurer

1.1 Cummins system for spillvarmeutnyttelse på truckmotor [5]	5
1.2 Formålsfordeling av husholdningens elektrisitetsforbruk i 1990, 2001 og 2006 (temperaturkorrigert) [14]	6
2.1 Oversikt over noen konverteringsteknologier for bruk i mikro-konverteringsenheter [46]	17
2.2 Styringsstrategi for XRG1-enheten (Merk: Toyota 3Y-motoren er ikke en <i>cross-flow</i> -motor)	21
2.3 Oversikt over (a) CHP-enhetens layout (b) Komponentene i motorrommet og (c) tilkoblinger og servicepunkter [50].	22
2.4 Temperatur- og ytelsesområde for noen tilgjengelige WHR-teknologier [4].	24
2.5 Termoelektrisk generator (TEG).	25
2.6 Stirling-motor med alfa-konfigurasjon (a) og beta-konfigurasjon (b).	26
2.7 PCM varmeputer [4]	27
2.8 Den enkle, ideelle Rankine-syklusen	28
2.9 Eksempel på denotering av kjølemiddel.	29
2.10 Eksempler på forskjellige metningskurver [53].	30
2.11 Eksempler på forskjellige ORC-konfigurasjoner.	33
2.12 Operasjons-kart for forskjellige ekspandere [35] [54].	35
2.13 Kontrollvolum med inn- og utgående masse- og energistrømmer.	36
2.14 Utslipp fra en SI motor ved forskjellige luftoverskuddstall [26]	41
2.15 Kilder til utslipp i forbrenningsrommet til en SI motor[26]	42
2.16 Sylindergeometri og timingdiagram for kraftslaget.	48

2.17 Katalytisk konverter med oksidasjon av HC og CO	50
2.18 Typisk konverteringsvirkningsgrad for en oksidasjonskatalysator [25]	51
2.19 Eksempel på Ts-diagrammet til en enkel ORC.	53
3.1 Illustrasjon av containerens utside sett fra siden.	71
3.2 Illustrasjon over CHP-anleggets utforming i container. Hovedkomponentene er: 1) CHP-enhet, 2) varmelager, 3) gassikringsskap, 4) varmefordeler, 5) temperaturstyring og 6) styringsskap.	73
3.3 Plassering av instrumentering ved måling 10.07.2015.	74
3.4 Blokkdiagram over CHP-enheten.	77
3.5 Stempelmotormodellens trinnvise utførelse	82
3.6 Kode for beregning av cylindergeometri.	84
3.7 Kode for beregning av Wiebe-funksjonen.	85
3.8 Kode for beregning av varmeovergang mellom cylindergass og cylindervegg.	85
3.9 Kode for beregning av varmeutvikling i cylinder.	86
3.10 Kode for beregning av trykk- og temperaturøkning mellom IVC og EVO.	87
3.11 Kode for beregning av cylindertemperatur, arbeid per cylinder per kraftsyklus og omregning til effekt for varmeovergang og arbeid.	87
3.12 Kode for beregning av middeltrykk og mekanisk virkningsgrad.	88
3.13 Stempelmotor med varmeoppsamling i motorblokk, oljefilter og generator.	89
3.14 Konfigurasjon: (a) enkel ORC tilkoblet kjølevann og (b) enkel ORC tilkoblet eksos. .	90
4.1 Grafisk fremstilling ytelsesparametre for CHP-enheten fra målinger gjort i 2007. . .	102
4.2 Sankey-diagram for CHP-enheten ved full effekt (13,5 kW).	103
4.3 Energifordelingen til CHP-enheten i prosent av energi inn ved: 4,5, 7,5, 10,5 og 13,5 kW.	103
4.4 Komponentens varmeovergang til kjølevann ved full elektrisk effekt.	104
4.5 Resultat fra analyse av to muligheter for tilkobling av ORC: på eksos (t.v.) og på kjølevann (t.h.).	105
4.6 Grassmann-diagram for CHP-enheten ved full effekt (13,5 kW).	106
4.7 Oversikt over eksjergiødeleggelse i CHP-enhetens viktigste komponenter.	106

4.8	Oversikt over eksnergivirkningsgraden for CHP-enhetens viktigste komponenter . . .	107
4.9	Spesifikk eksnergipris for elektrisitet og varmtvann for enheten med og uten en ORC-krets.	110
B.1	Spesifikasjoner fra toyota-industries.com [48]	137

Tabeller

2.1 En oversikt over tilstander brukt til beregning.	58
2.2 Oversikt over komponentene i de totale investeringer (TCI)[7]	64
3.1 Utførelse av målinger 2015.	75
3.2 Målte variabler brukt i energianalyse av CHP-enheten	76
3.3 Naturgassens sammensetning ved måling 21. mars 2007.	78
3.4 Parametere brukt i simulering av stempelmotor og generator	83
3.5 Oversikt over last-spesifikke verdier brukt i stempelmotormodellen	86
3.6 Arbeidsfluider undersøkt i ORC-modellen	91
3.7 Parametre og antagelser for beregning av kapitalkostnader.	95
3.8 Årlig energiforbruk for et kontorbygg i bergensområdet (fra SSB)	95
3.9 Estimat av total investeringskostnad for CHP-enheten i norske kroner (NOK) . . .	96
3.10 Estimat av total investeringskostnad for ORC-kretsen i norske kroner (NOK) . . .	97
4.1 Måleresultatene fra måling med gassanalysatorer 10.07.2015.	100
4.2 Output fra den iterative stempelmotormodellen.	101
4.3 Oversikt over energi- og tilhørende eksnergistrømmer i systemet.	107
4.4 Oversikt over massestrømmene i systemet.	108
4.5 Beregnede spesifikke kostnader for CHP-enheten med og uten ORC.	109
C.1 Oversikt over input til og output fra testanleggets logge-program.	139

D.1 Molarmasse, kritiske verdier og ideel gass spesifikke varmekapasiteter som en funksjon av temperatur for reaktanter, koreaktanter og produkter av forbrenningsprosessen.	141
E.1 Koeffisienter i Krieger og Bormans polynommetode	144
F.1 Naturgassens sammensetning ved måling 21. mars 2007.	146
F.2 Naturgassens sammensetning ved måling 2015.	146

Nomenklatur

\bar{S}_p	Gjennomsnittlig stempelhastighet (m/s)
\bar{T}_g	Gjennomsnittlig temperatur i cylindervolumet i kraftslaget [K].
\dot{C}_F	Kostndandsstrøm drivstoff (kr/s)
\dot{C}_P	Kostndandsstrøm produkt (kr/s)
\dot{E}_e	Energi i eksosgassene (kW)
\dot{m}	Massestrøm (kg/s)
\dot{m}_a	Massestrøm luft (kg/s)
\dot{m}_e	Massestrøm eksoggass (kg/s)
\dot{m}_g	Drivstoffforbruk
\dot{Q}	Varme effekt (kW)
\dot{Q}_e	Varme i følge med eksoggassen (kW)
\dot{Q}_g	Energi tilført med drivstoffet
\dot{Q}_m	Varme fra cylinder til kjølevann (kW)
\dot{Q}_v	Varme til kjølevann (kW)
\dot{Q}_{gen}	Varme fra generator til kjølevann (kW)
\dot{Q}_{man}	Varme fra manifold til kjølevann (kW)

\dot{Q}_{of}	Varme fra oljefilter til kjølevann (kW)
\dot{Q}_{tap}	Varmetap ved konveksjon og stråling (kW)
\dot{Q}_{vw}	Varme fra eksosgassvarmeveksler til kjølevann (kW)
\dot{V}_v	Volumstrøm kjølevann (m^3/s)
\dot{W}	Arbeid (kW)
\dot{W}_{el}	Elektrisk effekt (kW)
\dot{X}	Eksergi (kW)
\dot{Z}_{CI}	Kostndandsstrøm kapital (kr/s)
\dot{Z}_{OM}	Kostndandsstrøm drift og vedlikehold (kr/s)
$\eta_{\text{carnot,th}}$	Carnot-virkningsgrad
η_{comb}	Forbrenningsvirkningsgrad
η_{el}	Elektrisk virkningsgrad
η_{II}	Andre lovs virkningsgrad
η_{iso}	Isentropisk virkningsgrad
η_{th}	Termisk virkningsgrad
η_{tot}	Total virkningsgrad
η_{varme}	Varmevirkningsgrad
γ	Forholdet mellom gassens spesifikke varmekapasiteter c_p og c_v .
λ	Luftoverskuddstall
μ	Viskositet ($\text{kg}/(\text{m} \cdot \text{s})$)
ψ	Eksergi (kJ/kg)

ψ_{fys}	Fysisk eksperi (kJ/kg)
ψ_{kjem}	Kjemisk eksperi (kJ/kg)
ρ	Tetthet (kg/m ³)
O ₂ %	Målt O ₂ prosent i eksosgassen (%)
Θ	Vilkårlig ekstensiv egenskap
θ	Veivinkel [°]
θ_0	Tenningstidspunkt [°VV etter BDC]
θ_d	Forbrenningsperiode [°VV]
a	Halve slaglengden til motoren [m].
$A(\theta)$	Sylinderens indre areal (m ²)
a_{wie}	Koeffisient i Wiebe-funksjonen
B	Stempelmotorens boring [m]
c_p	Spesifikk varmekapasitet (kJ/kgK)
c_F	Eksergispesifikk kostnad drivstoff (kr/kJ)
c_P	Eksergispesifikk kostnad produkt (kr/kJ)
e^{kjem}	Kjemisk energi i prosent av forbrenningsvarmen(%)
h	Entalpi (kJ/kg)
H_{kat}	Varmeutvikling i katalysator (kW)
I	Irreversibilitet (kJ)
i_{eff}	Effektiv rente
L	Stempelmotorens veivstanglengde [m]

L_{\min}	Luftmengde nødvendig for støkiometrisk forbrenning (kmol luft/kmol brennstoff)
M	Molarmasse (kg/kmol)
m_f	massefraksjon av en gassart(kg/kg gassblanding)
O_{\min}	O ₂ -mengde nødvendig for støkiometrisk forbrenning (kmol luft/kmol brennstoff)
P_o	Atmosfæretrykk (kPa)
P_{crit}	Kritisk trykk (MPa)
P_r	Redusert trykk
R	Gasskonstanten (kJ/kgK)
r	Nominell eksaleringsrate
r	Stempelmotorens kompresjonsforhold.
S	Stempelmotorens slaglengde [m].
s	Entropi (kJ/kgK)
T	Temperatur (K)
T_0	Omgivelsestemperatur (K)
T_c	Temperatur i container (K)
T_H	Temperatur i "hett" varmereservoar
T_L	Temperatur i "kaldt" varmereservoar
T_w	Sylinderveggtemperatur (K)
T_{cd}	Kondensasjonstemperatur (K)
T_{crit}	Kritisk temperatur (K)
T_{ev}	Fordampningstemperatur (K)

T_r Redusert temperatur

$V(\theta)$ Sylindervolum (m^3)

V_s Stempelmotorens slagvolum [m^3].

V_{maks} Forbrenningsrommets største volum (ved BDC) [m^3].

V_{min} Forbrenningsrommets klaringsvolum (ved TDC) [m^3].

w_{exp} Koeffisient i Wiebe-funksjonen

y Volum-/molfraksjon av en gassart (m^3/m^3 gassblanding)

$y(\theta)$ Stempeletsavstand til TDC (m)

Z Kompressibilitetsfaktor

BMEP Bremsespesifikt middeltrykk (bar)

CC *Carrying Charges*

CELF *Constant-Cost Levilization Factor*

CHP (Combined Heat and Power) - kombinert kraft- og varmeproduksjon.

DC Direkte kostnader

FC *(Fuel Cost)* Drivstoffkostnader

FCI Fast-kapital investering

FMEP Friksjonsspesifikt middeltrykk (bar)

IC Indirekte kostnader

IMEP Indikert middeltrykk (bar)

KPI Konsumerprisindeks

LHV Lavere brennverdi (MJ/kg)

Nu Nusselt-tallet

O & M Drift og vedlikehold

ORC (Organic Rankine Cycle) - prinsipp for dampkraft med organiske fluider som arbeidsmedium.

Re Reynolds-tallet

RF Relativ fuktighet (%)

RPM Omdreininger per sekund (s^{-1})

TCI Totale investeringskostnader

TEG (Thermoelectric Generator) - varmekraftmaskin som konvertere varme til elektrisitet ved Seebeck- effekten.

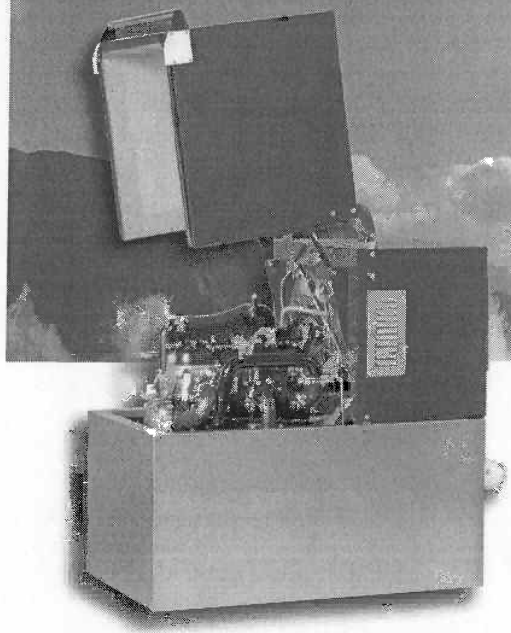
WHR (Waste Heat Recovery) - spillvarmeutnyttelse

Tillegg A

CHP XRG 13G - Spesifikasjoner

CHP XRG 13G

NGAS Energy Solution



PERFORMANCE

Mechanical performance at 2000 r/min	14.4 kW @ 1500
Electrical efficiency - maximum	28% +/- 1%
Electrical output	4 - 13 kW
Thermal output	17 - 29 kW
Electrical efficiency by varying load	More than 26% by load > 10 kW elec
Total efficiency, heat and power combined	Up to 95% by load > 10 kW elec
Consumption at maximum load	2.2 - 4.2 m³/h (11 kW h/m³)

SYSTEM COMPONENTS

Cabinet

Double walls	2 + 1.5 mm steel plate
External dimensions (W x H x D)	1110 x 1250 x 750 mm
Insulation	50 mm mineral wool
Maintenance access - surrounding unit	Minimum 600 mm

Engine

Type	Toyota
Fuel	Natural Gas
Cooling	Water cooled
Number of cylinders	4
Swept volume	2000 cc

Generator

Operating type	Asynchronous
Cos ϕ	0.8

Heat Storage

Thermal Store	Pre-insulated 475 ltr
External dimensions (H x B x D)	700 x 700 x 1680mm (475 ltr)
Storage Capacity at 40°C return temperature	17.3 kWh per 475 ltr vessel

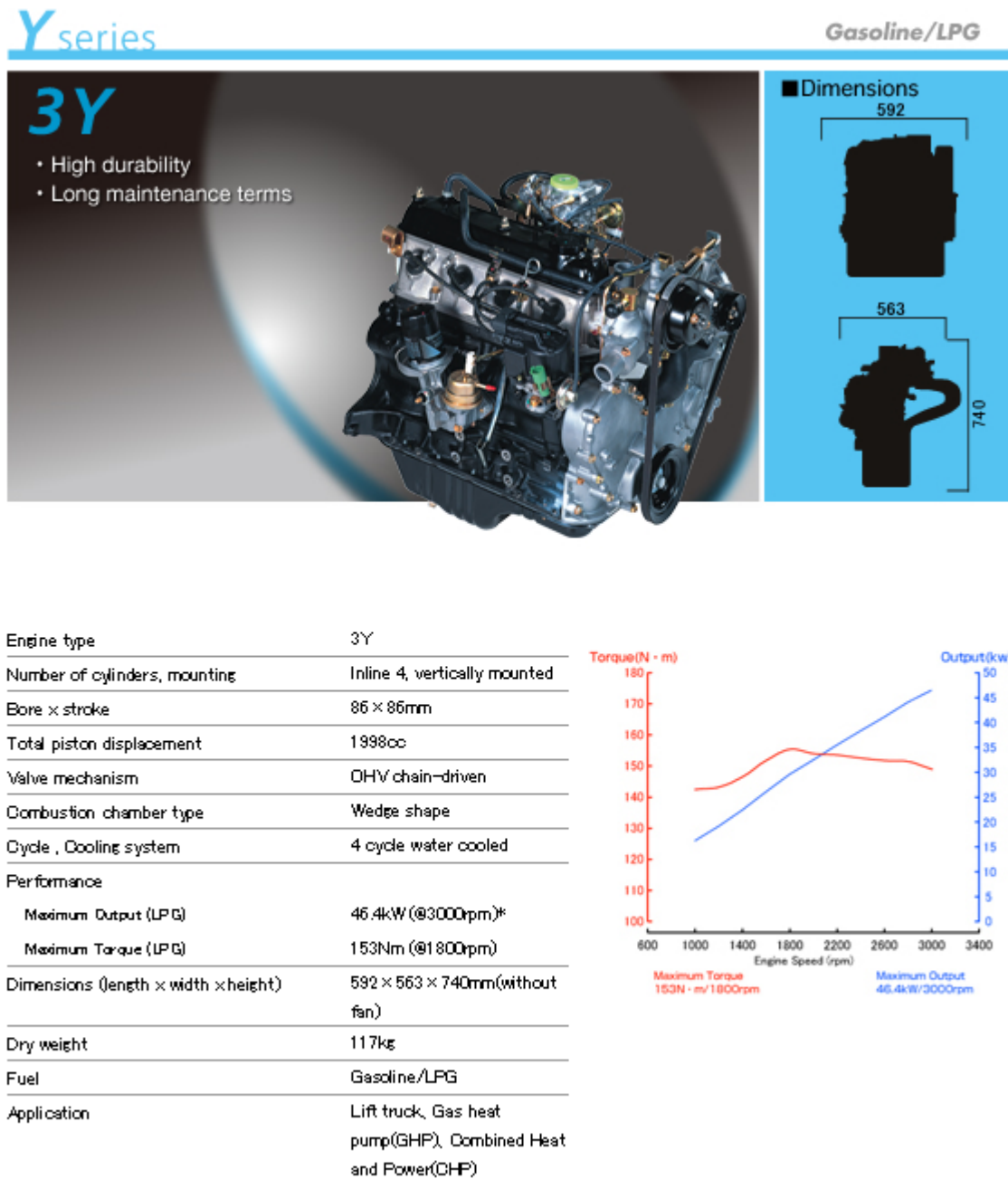
ELECTRICAL SYSTEM

Nominal voltage	3 phase, 400 v
Maximum full load current, out	3 x 23A approximately
Nominal generator current	3 x 26A approximately

SHOB 1104 Specifications are subject to change 1/02/06

Tillegg B

Toyota 3Y - Spesifikasjoner



*Within the range of current GHP.

*Specification is subject to change without notice.

Figur B.1: Spesifikasjoner fra toyota-industries.com [48]

Tillegg C

Input og output loggeprogram

Tabell C.1: Oversikt over input til og output fra testanleggets logge-program.

Mengde	Symbol	Enhett
Input		
Tid (automatisk)	t	tt:mm
Ønsket elektrisk effekt	\dot{W}_{el}	kW
Ønsket varmeforbruk	\dot{Q}_v	kW
Energiinnhold i drivstoff	LHV	MJ/kg eller MJ/Nm ³
Tetthet drivstoff	ρ_g	kg/Ndm ³ eller kg/Nm ³
Midlingstid	Δt	s
Output		
Drivstoffforbruk	\dot{m}_g	g/s
Drivstoffforbruk	\dot{V}_g	Nm ³ /t
Spesifikt drivstoffforbruk	BSFC	g/kWt
Energi tilført med drivstoffet	\dot{Q}_g	kW
Elektrisk virkningsgrad	η_{el}	%
Varmevirkningsgrad	η_{varme}	%
Total virkningsgrad	η_{tot}	%
Umidlet elektrisk effekt	$\dot{W}_{el,umidlet}$	kW
Midlet elektrisk effekt	\dot{W}_{el}	kW
Varme til kjølevann	\dot{Q}_k	kW
Avgassmåler	-	av/på (0/1)
Volumetrisk konsentrasjoner	HC, NO _x , CO, CO ₂ , O ₂	ppm og %
Spesifikke massekonsentrasjoner	HC, NO _x , CO, CO ₂ , O ₂	g/kWt
Spesifikke massekonsentrasjoner	HC, NO _x , CO	mg/Nm ³
Beregnet lambda	λ -	
Kjølevannsstrøm	\dot{V}_v	l/t
Kjølevannstemperatur inn	T_6	°C
Kjølevannstemperatur ut	T_{14}	°C
Varmelager (virtuelt)	Q_{vl}	kJ
Varm/kald temperaturføler		
i varmebuffer	-	0/1
Temperatur i motorrom	T_c	°C
Eksosgasstemperatur	T_5	°C

Tillegg D

Termodynamisk data

Viskositet og varmeledningsevne som funksjon av temperatur:

$$\mu(T) = 7,457 \cdot 10^{-6} + 4,1547 \cdot 10^{-8}T - 7,4793 \cdot 10^{-12}T^2 \quad (\text{D.1a})$$

$$k(T) = 6,1944 \cdot 10^{-3} + 7,3814 \cdot 10^{-5}T - 1,2491 \cdot 10^{-8}T^2 \quad (\text{D.1b})$$

Tabell D.1: Molarmasse, kritiske verdier og ideel gass spesifikk varmekapasitet som en funksjon av temperatur for reaktanter, koreaktanter og produkter av forbrenningsprosessen.

Navn	Formel	Komposisjon		Molarmasse		Kritiske verdier		Spesifikk varmekapasitet		Temperatur [56]
		M _i [kg/kmol]	T _{cr,i} [K]	P _{cr,i} [MPa]	Brutto _i [MJ/kg]	Netto _i [MJ/kg]	a _i	b _i	c _i	
Metan	CH ₄	16,04	196,7	4,641	55,515	50,028	19,89	5,024E-2	1,269E-5	-11,01E-9
Etan	C ₂ H ₆	30,07	305,4	4,883	51,902	47,511	6,900	17,27E-2	-6,406E-5	7,285E-9
Propan	C ₃ H ₈	44,09	370	4,257	50,325	46,332	-4,04	30,48E-2	-15,72E-5	31,74E-9
i-Butan	C ₄ H ₁₀	58,12	408,2	3,648	49,347	45,561	-7,913	41,60E-2	-23,01E-5	49,91E-9
n-Butan	C ₄ H ₁₀	58,12	525,2	3,797	49,505	45,719	3,96	37,15E-2	-18,34E-5	35,00E-9
i-Pentan	C ₅ H ₁₂	72,15	461	3,33	48,91	45,249	6,774	45,43E-2	-22,46E-5	42,29E-9
n-Pentan	C ₅ H ₁₂	72,15	469,8	3,375	49,006	45,345	6,774	45,43E-2	-22,46E-5	42,29E-9
Tyngre	C ₆ H ₁₄	84	503	2,976	48,678	45,103	6,938	55,22E-2	-28,65E-5	57,69E-9
Oksygen	O ₂	32	154,3	5,033	-	-	25,48	1,520E-2	-0,7155E-5	1,312E-9
Nitrogen	N ₂	28,01	126	3,392	-	-	28,90	-0,1571E-2	0,8081E-5	-2,873E-9
Nitrogenmonoksid	NO	30,1	180	6,480	-	-	29,34	-0,09395E-2	0,9747E-5	-4,187E-9
Karbondioksid	CO ₂	44,01	304,3	7,698	-	-	22,26	5,981E-2	-3,501E-5	7,469E-9
Karbonmonoksid	CO	28,01	133	3,500	-	10,100	28,16	0,1675E-2	0,5372E-5	-2,222E-9
Vanndamp	H ₂ O	18,02	647	22,100	-	-	32,24	0,1923E-2	1,055E-5	-3,595E-9

Tillegg E

Krieger og Bormans Polynommetode

Konstanter som funksjon av temperatur:

$$A(T) = a_1 T + a_2 T^2 + a_3 T^3 + a_4 T^4 + a_5 T^5$$

$$B(T) = b_0 + b_1 T + b_2 T^2 + b_3 T^3 + b_4 T^4$$

Konstanter som funksjon av Lambda:

$$D(\lambda) = d_0 + d_1 \lambda^{-1} + d_3 \lambda^{-3} \quad (\text{E.2})$$

Konstant som funksjon av temperatur og Lambda:

$$E(T, \lambda) = (e_0 + e_1 \lambda^{-1} + e_3 \lambda^{-3}) / T \quad (\text{E.3})$$

Konstanter som funksjon av temperatur, trykk og Lambda:

$$F(T, P, \lambda) = (f_0 + f_1 \lambda^{-1} + f_3 \lambda^{-3} + ((f_4 + f_5 \lambda^{-1}) / T)) \text{Log}(f_6 P) \quad (\text{E.4})$$

Korreksjonsfaktorer for indre energi og gasskonstanten:

$$u_{\text{corr}}(T, P, \lambda) = C_u \exp(D(\lambda) + E(T, \lambda) + F(T, P, \lambda))$$

$$R_{\text{corr}}(T, P, \lambda) = C_r \exp\left(r_0 \ln(\lambda) + \frac{r_1 + r_2/T + r_3 \ln(f_6 P)}{\lambda}\right)$$

Indre energi og gasskonstanten som funksjon av temperatur, trykk og lambda:

$$u(T, P, \lambda) = A(T) - B(T)/\lambda + u_{\text{corr}}(T, P, \lambda)$$

$$R(T, P, \lambda) = 0,287 + 0,02/\lambda + R_{\text{corr}}(T, P, \lambda)$$

Spesifikk varmekapasitet og gamma som funksjon av temperatur, trykk og Lambda:

$$c_v(T, P, \lambda) = \frac{\partial u(T, P, \lambda)}{\partial T}$$

$$\gamma(T, P, \lambda) = 1 + \frac{R(T, P, \lambda)}{c_v(T, P, \lambda)}$$

Tabell E.1: Koeffisienter i Krieger og Bormans polynommetode

a_1	a_2	a_3	a_4
0,692	$39,17 \cdot 10^{-6}$	$52,9 \cdot 10^{-9}$	$-228,62 \cdot 10^{-13}$
a_5	b_0	b_1	b_2
$227,58 \cdot 10^{-17}$	3049,33	$-5,7 \cdot 10^{-3}$	$-9,5 \cdot 10^{-5}$
b_3	b_4	C_u	C_r
$21,53 \cdot 10^{-9}$	$-200,26 \cdot 10^{-14}$	2,32584	$4,186 \cdot 10^{-3}$
d_0	d_1	d_3	e_0
10,41066	7,85125	-3,71257	$-15,001 \cdot 10^3$
e_1	e_3	f_0	f_1
$-15,838 \cdot 10^3$	$9,613 \cdot 10^3$	-0,10329	-0,38656
f_3	f_4	f_5	f_6
0,154226	-14,763	118,27	14,503
r_0	r_1	r_2	r_3
-0,2977	11,98	-25442	-0,4354

Tillegg F

Gassammensetning

Tabell F.1: Naturgassens sammensetning ved måling 21. mars 2007.

Komposisjon [17]			Molarmasse [55]	Kritiske verider [55]		Brennverdier [66]	
Navn	Formel	vol%	M_i	$T_{cr,i}$	$P_{cr,i}$	$Brutto_i$	$Netto_i$
			[kg/kmol]	[K]	[MPa]	[MJ/kg]	[MJ/kg]
Karbondioksid	CO ₂	0,525	44,01	304,3	7,398	-	-
Nitrogen	N ₂	0,000	28,02	126	3,392	-	-
Metan	CH ₄	93,480	16,04	196,7	4,641	55,515	50,028
Etan	C ₂ H ₆	4,433	30,07	305,4	4,883	51,902	47,511
Propan	C ₃ H ₈	0,802	44,09	370	4,257	50,325	46,332
i-Butan	C ₄ H ₁₀	0,512	58,12	408,2	3,648	49,347	45,561
n-Butan	C ₄ H ₁₀	0,099	58,12	525,2	3,797	49,505	45,719
i-Pentan	C ₅ H ₁₂	0,071	72,15	461	3,33	48,91	45,249
n-Pentan	C ₅ H ₁₂	0,019	72,15	469,8	3,375	49,006	45,345
Tyngre	C ₆ H ₁₄	0,059	84	503	2,976	48,678	45,103

Tabell F.2: Naturgassens sammensetning ved måling 2015.

Komposisjon [66]			Molarmasse [55]	Kritiske verider [55]		Brennverdier [66]	
Navn	Formel	vol%	M_i	$T_{cr,i}$	$P_{cr,i}$	$Brutto_i$	$Netto_i$
			[kg/kmol]	[K]	[MPa]	[MJ/kg]	[MJ/kg]
Karbondioksid	CO ₂	0,000	44,01	304,3	7,398	-	-
Nitrogen	N ₂	0,640	28,02	126	3,392	-	-
Metan	CH ₄	95,022	16,04	196,7	4,641	55,515	50,028
Etan	C ₂ H ₆	3,441	30,07	305,4	4,883	51,902	47,511
Propan	C ₃ H ₈	0,504	44,09	370	4,257	50,325	46,332
i-Butan	C ₄ H ₁₀	0,247	58,12	408,2	3,648	49,347	45,561
n-Butan	C ₄ H ₁₀	0,065	58,12	525,2	3,797	49,505	45,719
i-Pentan	C ₅ H ₁₂	0,081	72,15	461	3,33	48,91	45,249
n-Pentan	C ₅ H ₁₂	0,000	72,15	469,8	3,375	49,006	45,345
Tyngre	C ₆ H ₁₄	0,000	84	503	2,976	48,678	45,103

Tillegg G

Måleresultater 10.07.2015

Testresultater 2015

Dato: 10.07.2015

Test nr	Tid	Ønsket effekt kW	umidlet effekt kW	midlet effekt kW	Temp. kjølevann inn C	Temp. kjølevann ut C	Temp. eksos før kat C	Temp. eksos ut C	Temp. motorrom C	Flow kjølevann l/h	Gassstrøm g/s	Gassanalysator	NOx ppm	CO ppm	CO2 %	O2 %	H2 ppm	SO2 ppm
1	11:25	13,5	13,17	13,23	74,7	91,4	471,9	55,8	24,8	1195,4	0,863	Tiesto	192	73	8,13	7,01	13	-
2	11:37	4,5	4,191	4,19	75	85,9	397,3	56,9	24,1	1196,2	0,4045	Tiesto	326	26	9,75	4,09	8	-
3	12:32	13,5	13,05	13,11	74,2	92,4	470,2	-	26	1199,3	0,862	Horiba	234,7	76	8,02	6,74	-	6,3
4	12:38	10,5	10,11	10,05	74,4	90,5	459,2	-	26,2	1195,1	0,706	Horiba	119,3	69	7,93	6,92	-	7,1
5	12:43	7,5	7,06	7,02	74,5	88,9	426,7	-	26,2	1194,7	0,548	Horiba	111,7	51	8,2	6,46	-	6,9
6	12:51	4,5	4,114	4,11	75,1	86,5	397	-	26,2	1185	0,399	Horiba	324,4	31	9,6	3,98	-	4,3
7	13:15	13,5	13,06	13,21	74,7	93,2	472,7	67	26,6	1199,4	0,857	-	-	-	-	-	-	-
8	13:21	10,5	10,27	10,2	74,6	91,5	461,1	68	26	1190,3	0,717	-	-	-	-	-	-	-
9	13:31	7,5	7,25	7,19	75,3	89,4	430,4	66,2	25,7	1185,5	0,56	-	-	-	-	-	-	-
10	13:36	4,5	4,197	4,19	74,5	86,5	397,8	63,1	26,3	1186,8	0,4088	-	-	-	-	-	-	-
11	13:41	13,5	13,17	13,23	74,5	93,3	471,1	71,1	25,5	1181,4	0,857	-	-	-	-	-	-	-

Tillegg H

Måleresultater 21.03.2007

Statoil / ECPower datalog system for ECPower CHP-anlegg

Motornavn: Toyota gass (3Y ann. JK)

Dato [dd/mm/åå]: 21.03.2007

Opprinnelig filnavn: C:\Måledata Toyota\Øystein\13,5kW - Toyota Naturgass Studentoppgave

Kommentar til loggingen: Test for: Stud. oppgave

Gasstype: NG Febr. 07

Net CV[MJ/kg]: 35,73

Avgasstemp. i f Tid hh:mm	Ønsket effekt (kW)	93,1 Varmeforbruk (kW)	Drivstoff- forbruk (g/s)	Drivstoff- forbruk (nm ³ /h)	Spes. dr.stoff- forbruk (g/kWh)	Tilført med drivstoffet (kW)	El. virkn. grad (%)	Varme virkn. grad (%)	Varme virkn. grad (%)	Umidlet prod. el. effekt (kW)
16:27	13,5	25	0,868	4,341	236,4	43,08	30,69	61,2	61,2	12,86
16:27	13,5	25	0,868	4,341	236,6	43,08	30,66	61,2	61,2	13,28
16:27	13,5	25	0,865	4,326	235,6	42,93	30,79	60,8	60,8	13,28
16:27	13,5	25	0,858	4,292	233,6	42,6	31,05	61,6	61,6	13,65
16:27	13,5	25	0,86	4,299	233,6	42,6	31,05	61,6	61,6	13,65
16:27	13,5	25	0,865	4,326	234,7	42,94	30,9	61,4	61,4	13,23
16:27	13,5	25	0,87	4,351	236	43,19	30,74	60,7	60,7	13,23
16:27	13,5	25	0,867	4,337	235,2	43,05	30,85	61	61	12,73
16:27	13,5	25	0,861	4,306	235,2	43,05	30,85	60,9	60,9	12,73
16:27	13,5	25	0,86	4,300	233,8	42,68	31,03	61,4	61,4	13,3
16:27	13,5	25	0,865	4,327	234,9	42,95	30,88	61,1	61,1	13,3
16:27	13,5	25	0,871	4,355	236,1	43,22	30,73	60,6	60,6	13,39
16:27	13,5	25	0,868	4,339	235	43,06	30,87	60,6	60,6	13,39
16:27	13,5	25	0,862	4,309	233,2	42,77	31,1	60,9	60,9	13,25
16:27	13,5	25	0,86	4,298	232,7	42,65	31,18	61,5	61,5	13,25
16:27	13,5	25	0,863	4,313	233,5	42,81	31,06	61,3	61,3	13,16
16:27	13,5	25	0,87	4,348	235,5	43,15	30,8	61,3	61,3	13,16
16:27	13,5	25	0,866	4,331	234,7	42,99	30,9	60,8	60,8	13,37
16:27	13,5	25	0,86	4,302	234,7	42,69	30,9	61,4	61,4	13,37
16:27	13,5	25	0,859	4,296	232,7	42,64	31,18	61,4	61,4	13,35
16:27	13,5	25	0,863	4,316	233,8	42,83	31,03	61,2	61,2	13,35
16:27	13,5	25	0,869	4,344	235,3	43,11	30,83	60,4	60,4	13,51
16:27	13,5	25	0,868	4,340	235,3	43,08	30,83	60,4	60,4	13,51
16:27	13,5	25	0,861	4,306	235,1	42,73	30,86	60,4	60,4	13,38
16:27	13,5	25	0,859	4,296	233,2	42,73	31,11	60,9	60,9	13,38
16:27	13,5	25	0,864	4,322	232,6	42,63	31,19	61,1	61,1	12,95
16:27	13,5	25	0,87	4,352	234	42,9	31	61,1	61,1	12,95
16:27	13,5	25	0,87	4,348	236	43,15	30,74	60,2	60,2	12,93
16:27	13,5	25	0,862	4,310	234,3	42,78	30,96	60,4	60,4	12,93
Gjennomsnitt	13,500	25,000	0,865	4,323	234,597	42,899	30,923	60,993	60,993	13,235
Std.avvik	0,000	0,000	0,004	0,020	1,158	0,199	0,152	0,403	0,403	0,244

Midlet prod. el. effekt (kW)	Varme til kjølev. (kW)	Avgassmåler 0=Boo/1=Testo	HCmet (ppm)	NOx (ppm)	CO (ppm)	CO2 (%)	O2 (%)	Spes. HC (g/kWt)	Spes. NOx (g/kWt)
13,22	26,19	1	1180	221	373	7,99	6,9	3,465	2,152
13,21	26,19	1	1180	216	373	7,99	6,9	3,492	2,119
13,22	26,21	1	1180	216	373	7,99	6,9	3,492	2,119
13,23	26,23	1	1180	209	373	7,99	6,9	3,475	2,041
13,25	26,23	1	1180	209	373	7,99	6,9	3,442	2,022
13,27	26,21	1	1180	209	373	7,99	6,89	3,441	2,021
13,27	26,23	1	1180	209	373	7,99	6,89	3,462	2,033
13,28	26,24	1	1160	209	373	7,99	6,9	3,424	2,045
13,26	26,22	1	1160	212	372	7,99	6,9	3,413	2,068
13,24	26,2	1	1160	212	372	7,99	6,9	3,397	2,059
13,26	26,23	1	1160	213	373	7,99	6,9	3,393	2,066
13,28	26,21	1	1180	213	373	7,99	6,9	3,484	2,085
13,3	26,21	1	1180	213	373	7,99	6,9	3,469	2,076
13,3	26,23	1	1180	213	373	7,99	6,9	3,469	2,076
13,3	26,23	1	1180	213	373	7,99	6,9	3,442	2,060
13,29	26,23	1	1180	216	372	7,99	6,91	3,450	2,094
13,29	26,26	1	1180	216	372	7,99	6,91	3,450	2,094
13,29	26,23	1	1180	216	372	7,99	6,9	3,477	2,111
13,29	26,23	1	1170	216	373	7,99	6,9	3,434	2,102
13,3	26,23	1	1170	216	373	7,99	6,9	3,409	2,087
13,29	26,08	1	1170	216	373	7,99	6,9	3,405	2,084
13,29	26,05	1	1170	216	373	7,99	6,9	3,422	2,095
13,29	26,03	1	1170	216	373	7,99	6,9	3,444	2,108
13,29	26,03	1	1180	218	373	7,99	6,9	3,469	2,125
13,3	26,04	1	1180	218	373	7,99	6,9	3,441	2,108
13,3	26,03	1	1180	219	373	7,99	6,9	3,432	2,112
13,28	26,03	1	1180	219	373	7,99	6,9	3,453	2,125
13,24	26,02	1	1180	219	373	7,99	6,91	3,484	2,144
13,22	26,05	1	1180	219	373	7,99	6,91	3,484	2,144
13,271	26,166	1,000	1175,517	214,724	372,828	7,990	6,901	3,449	2,089
0,029	0,087	0,000	7,361	3,504	0,384	0,000	0,005	0,029	0,036

Spes. CO (g/kWt)	Spes. CO2 (g/kWt)	Spes. O2 (g/kWt)	Spes. HC mg/m³ @ 5% O2(l)	Spes. NOx O2(mg/nm³ @ 5% O2)	Spes. CO O2(mg/nm³ @ 5% O2)	Beregnet lambda	Energiinnhold i gass (MJ/m³)	Tetthet på gass kg/m³)	Kjølevanns- flow (l/h)
1,910	643,000	403,7	956	493	529	1,412	35,73	0,72	1821
1,925	648,000	406,8	956	481	529	1,412	35,73	0,72	1822
1,925	648,000	406,8	956	481	529	1,412	35,73	0,72	1823
1,916	645,000	404,9	956	466	529	1,412	35,73	0,72	1824
1,898	639,000	401	956	466	529	1,412	35,73	0,72	1825
1,897	638,000	400,3	956	465	529	1,412	35,73	0,72	1824
1,908	642,000	402,7	956	465	529	1,412	35,73	0,72	1824
1,920	646,000	405,8	940	466	529	1,413	35,73	0,72	1826
1,909	644,000	404,5	940	472	528	1,413	35,73	0,72	1825
1,900	641,000	402,6	940	472	528	1,413	35,73	0,72	1824
1,903	640,000	402,1	940	475	529	1,413	35,73	0,72	1825
1,921	646,000	405,9	956	475	529	1,412	35,73	0,72	1826
1,912	644,000	404,1	956	475	529	1,412	35,73	0,72	1824
1,912	644,000	404,1	956	475	529	1,412	35,73	0,72	1825
1,898	639,000	401	956	475	529	1,412	35,73	0,72	1827
1,897	640,000	402,5	957	482	528	1,413	35,73	0,72	1826
1,897	640,000	402,5	957	482	528	1,413	35,73	0,72	1828
1,912	645,000	405,1	956	481	528	1,412	35,73	0,72	1824
1,909	643,000	403,5	948	481	529	1,412	35,73	0,72	1825
1,896	638,000	400,6	948	481	529	1,412	35,73	0,72	1824
1,893	637,000	400,1	948	481	529	1,412	35,73	0,72	1825
1,902	640,000	402	948	481	529	1,412	35,73	0,72	1824
1,915	644,000	404,7	948	481	529	1,412	35,73	0,72	1823
1,912	644,000	404,2	956	486	529	1,412	35,73	0,72	1823
1,897	638,000	400,9	956	486	529	1,412	35,73	0,72	1823
1,892	637,000	399,9	956	488	529	1,412	35,73	0,72	1823
1,904	641,000	402,3	956	488	529	1,412	35,73	0,72	1821
1,921	646,000	406,5	957	488	529	1,413	35,73	0,72	1820
1,921	646,000	406,5	957	488	529	1,413	35,73	0,72	1824
1,908	642,276	403,366	952,552	478,483	528,828	1,412	35,730	0,720	1824,069
0,010	3,316	2,155	5,986	7,877	0,384	0,000	0,000	0,000	1,751

Kjølev. temp. inn (°C)	Kjølev. temp. ut (°C)	Varmelager (kJ)	Melding T1 0=åpen/1=lukket	Melding T2 0=åpen/1=lukket	Melding T3 0=åpen/1=lukket	Temp. i motor- rom (°C)	Midlingstid (s)
79,9	92,2	37373	0	1	1	23,73	30
79,9	92,2	37373	0	1	1	23,72	30
79,9	92,2	37374	0	1	1	23,72	30
79,9	92,2	37375	0	1	1	23,73	30
79,9	92,2	37377	0	1	1	23,72	30
79,9	92,2	37379	0	1	1	23,73	30
79,9	92,2	37380	0	1	1	23,74	30
79,9	92,2	37381	0	1	1	23,74	30
79,9	92,2	37382	0	1	1	23,74	30
79,9	92,3	37382	0	1	1	23,74	30
79,9	92,2	37383	0	1	1	23,74	30
79,9	92,2	37385	0	1	1	23,74	30
79,9	92,3	37386	0	1	1	23,74	30
79,9	92,3	37387	0	1	1	23,74	30
79,9	92,2	37387	0	1	1	23,74	30
79,9	92,3	37389	0	1	1	23,74	30
79,9	92,3	37390	0	1	1	23,74	30
79,9	92,3	37391	0	1	1	23,74	30
79,9	92,3	37392	0	1	1	23,74	30
80	92,3	37392	0	1	1	23,74	30
80	92,3	37393	0	1	1	23,75	30
80	92,3	37394	0	1	1	23,75	30
80	92,3	37396	0	1	1	23,75	30
80	92,3	37396	0	1	1	23,75	30
80	92,3	37396	0	1	1	23,75	30
80	92,3	37397	0	1	1	23,74	30
80	92,3	37398	0	1	1	23,74	30
80	92,3	37400	0	1	1	23,74	30
80	92,3	37401	0	1	1	23,75	30
79,934	92,259	37387,207	0,000	1,000	1,000	23,739	30,000
0,048	0,050	8,487	0,000	0,000	0,000	0,009	0,000

Motornavn: Toyota gass (3Y anm. JK)
 Dato [dd/mm/åå]: 21.03.2007

Avgasstemp. i hh:mm	Ønsket effekt (kW)	86,4 Varmeforbruk (kW)	Drivstoff- forbruk (g/s)	Drivstoff- forbruk (nm ³ /h)	Spes. dr.stoff- forbruk (g/kWt)	Tilført med drivstoffet (kW)	El. virkn. grad (%)	Varme virkn. grad (%)	Varme virkn. grad (%)	Umidlet prod. el. effekt (kW)
16:15	10,5	25	0,707	3,535	258,6	35,04	28,06	63,6	91,8	10,24
16:15	10,5	25	0,707	3,535	258,6	35,09	28,05	63,4	91,7	9,91
16:15	10,5	25	0,709	3,545	259,1	35,18	28	63,3	91,4	9,91
16:15	10,5	25	0,706	3,530	257,8	35,03	28,14	63,7	91,4	9,65
16:15	10,5	25	0,709	3,543	259,1	35,17	28	63,3	91,8	9,65
16:15	10,5	25	0,711	3,554	260,3	35,28	27,87	63,4	91,2	10,13
16:15	10,5	25	0,705	3,526	257,8	35	28,14	63	91,2	10,13
16:15	10,5	25	0,704	3,519	256,9	34,92	28,24	63,8	91,3	9,74
16:15	10,5	25	0,703	3,515	256,6	34,88	28,27	63,8	91,3	9,74
16:15	10,5	25	0,706	3,532	257,9	35,06	28,13	64,3	92,1	10,15
16:15	10,5	25	0,707	3,535	257,8	35,09	28,14	64,5	92,6	10,15
16:15	10,5	25	0,707	3,533	257,4	35,06	28,18	64,3	92,5	10,18
16:15	10,5	25	0,706	3,530	256,8	35,04	28,25	64,3	92,5	10,18
16:15	10,5	25	0,707	3,537	256,8	35,11	28,25	64,3	92,6	9,87
16:15	10,5	25	0,707	3,536	256,8	35,09	28,25	64,4	92,6	9,87
16:15	10,5	25	0,707	3,535	256,8	35,09	28,25	64,3	92,6	9,98
16:15	10,5	25	0,708	3,539	256,8	35,09	28,25	64,3	92,6	9,98
16:15	10,5	25	0,706	3,531	256,9	35,13	28,24	64,2	92,5	9,76
16:15	10,5	25	0,704	3,522	256,1	35,05	28,32	64,1	92,4	9,76
16:15	10,5	25	0,708	3,538	256,4	35,11	28,29	63,9	92,2	10,23
16:16	10,5	25	0,707	3,533	255,8	35,07	28,36	63,6	92	10,23
16:16	10,5	25	0,706	3,532	255,4	35,06	28,41	63,6	92	9,82
16:16	10,5	25	0,706	3,532	255,4	35,06	28,4	63,7	92	9,82
16:16	10,5	25	0,707	3,535	255,6	35,09	28,38	64	92	10,11
16:16	10,5	25	0,704	3,519	254,1	34,93	28,55	64	92,5	10,11
16:16	10,5	25	0,708	3,540	255,2	35,13	28,42	64,3	92,5	9,21
16:16	10,5	25	0,706	3,529	254,9	35,02	28,46	64	92,4	9,21
16:16	10,5	25	0,707	3,534	255,8	35,08	28,35	64,1	92,6	9,82
16:16	10,5	25	0,708	3,542	255,8	35,08	28,35	64,1	92,6	9,82
16:16	10,5	25	0,71	3,549	257,6	35,23	28,16	63,7	92,3	10,19
Gjennomsnitt	10,500	25,000	0,707	3,534	256,897	35,075	28,239	63,910	92,107	9,918
Std.avvik	0,000	0,000	0,002	0,008	1,399	0,082	0,152	0,390	0,493	0,269

Midlet prod. el. effekt (kW)	Varme til kjølev. (kW)	Avgassmåler 0=Boo/1=Testo	HCmet (ppm)	NOx (ppm)	CO (ppm)	CO2 (%)	O2 (%)	Spes. HC (g/kWt)	Spes. NOx (g/kWt)
9,84	22,26	1	1310	100	407	7,82	7,2	4,300	1,088
9,85	22,26	1	1310	100	407	7,82	7,2	4,300	1,088
9,85	22,26	1	1320	100	407	7,82	7,2	4,336	1,089
9,86	22,3	1	1320	100	407	7,82	7,2	4,344	1,091
9,85	22,28	1	1320	102	407	7,82	7,2	4,331	1,110
9,83	22,28	1	1320	102	407	7,82	7,2	4,354	1,116
9,86	22,24	1	1320	102	407	7,82	7,2	4,327	1,109
9,86	22,27	1	1320	102	407	7,82	7,2	4,327	1,109
9,86	22,26	1	1320	102	407	7,82	7,2	4,311	1,104
9,87	22,53	1	1310	101	408	7,82	7,21	4,297	1,098
9,88	22,62	1	1310	101	408	7,82	7,21	4,296	1,098
9,9	22,57	1	1310	101	408	7,82	7,21	4,296	1,098
9,9	22,57	1	1310	101	408	7,82	7,21	4,282	1,095
9,92	22,59	1	1310	101	408	7,82	7,2	4,277	1,093
9,92	22,6	1	1320	100	408	7,82	7,2	4,310	1,083
9,91	22,58	1	1320	100	408	7,82	7,2	4,308	1,082
9,92	22,58	1	1320	99	408	7,82	7,2	4,306	1,071
9,93	22,51	1	1320	99	408	7,82	7,2	4,308	1,071
9,93	22,51	1	1320	99	408	7,82	7,2	4,296	1,068
9,95	22,33	1	1300	98	407	7,82	7,2	4,239	1,060
9,95	22,34	1	1300	98	407	7,82	7,2	4,239	1,060
9,96	22,3	1	1300	101	407	7,82	7,19	4,227	1,089
9,96	22,33	1	1300	101	407	7,82	7,19	4,220	1,087
9,96	22,44	1	1300	101	407	7,83	7,19	4,219	1,087
9,99	22,45	1	1300	104	407	7,83	7,19	4,216	1,118
9,99	22,46	1	1300	104	407	7,83	7,19	4,191	1,112
9,97	22,47	1	1320	103	407	7,82	7,2	4,291	1,110
9,95	22,46	1	1320	103	407	7,82	7,2	4,286	1,109
9,93	22,46	1	1320	103	407	7,82	7,21	4,301	1,113
9,92	22,43	1	1320	100	407	7,82	7,21	4,325	1,086
9,99	22,418	1,000	1313,000	100,933	407,333	7,821	7,200	4,289	1,093
0,047	0,129	0,000	8,367	1,574	0,479	0,003	0,006	0,042	0,016

Spes. CO (g/kWt)	Spes. CO2 (g/kWt)	Spes. O2 (g/kWt)	Spes. HC mg/nm ³ @ 5% O ₂ ()	Spes. NOx O ₂ (mg/nm ³ @ 5% O ₂)	Spes. CO O ₂ (mg/nm ³ @ 5% O ₂)	Beregnet lambda	Energiinnhold i gass (MJ/m ³)	Tetthet på gass kg/m ³)	Kjølevanns- flow (l/h)
2,336	705	472	1085	227,8	590	1,437	35,73	0,72	1821
2,336	705	472	1085	227,8	590	1,437	35,73	0,72	1821
2,338	706	472	1093	227,8	590	1,437	35,73	0,72	1821
2,343	707	473	1093	227,8	590	1,437	35,73	0,72	1823
2,336	705	472	1093	232,3	590	1,437	35,73	0,72	1821
2,348	709	474	1093	232,3	590	1,437	35,73	0,72	1820
2,333	704	471	1093	232,3	590	1,437	35,73	0,72	1819
2,333	704	471	1093	232,3	590	1,437	35,73	0,72	1820
2,324	702	470	1093	232,3	590	1,437	35,73	0,72	1818
2,340	705	472	1086	230,2	592	1,438	35,73	0,72	1818
2,340	705	472	1086	230,2	592	1,438	35,73	0,72	1819
2,332	702	471	1086	230,2	592	1,438	35,73	0,72	1821
2,329	701	470	1085	230	591	1,437	35,73	0,72	1821
2,330	702	470	1093	227,8	591	1,437	35,73	0,72	1821
2,329	701	470	1093	227,8	591	1,437	35,73	0,72	1820
2,327	701	469	1093	225,5	591	1,437	35,73	0,72	1819
2,329	701	469	1093	225,5	591	1,437	35,73	0,72	1818
2,322	699	468	1093	225,5	591	1,437	35,73	0,72	1819
2,321	701	469	1077	223,2	590	1,437	35,73	0,72	1820
2,321	701	469	1077	223,2	590	1,437	35,73	0,72	1821
2,314	699	467	1076	229,9	589	1,437	35,73	0,72	1819
2,310	697	466	1076	229,9	589	1,437	35,73	0,72	1821
2,310	698	466	1076	229,9	589	1,436	35,73	0,72	1821
2,308	698	466	1076	236,7	589	1,436	35,73	0,72	1821
2,294	694	463	1076	236,7	589	1,436	35,73	0,72	1821
2,314	699	468	1093	234,6	590	1,437	35,73	0,72	1822
2,311	698	467	1093	234,6	590	1,437	35,73	0,72	1821
2,319	700	469	1094	234,8	590	1,438	35,73	0,72	1821
2,332	704	472	1094	227,9	590	1,438	35,73	0,72	1822
2,327	701,933	469,733	1087,433	229,900	590,300	1,437	35,730	0,720	1820,367
0,012	3,373	2,532	6,991	3,563	0,915	0,001	0,000	0,000	1,245

Kjølev. temp. inn (°C)	Kjølev. temp. ut (°C)	Varmelager (kJ)	Melding T1 0=åpen/1=lukket	Melding T2 0=åpen/1=lukket	Melding T3 0=åpen/1=lukket	Temp. i motor- rom (°C)	Midlingstid (s)
80,1	90,7	37670	0	1	1	23,29	30
80,1	90,7	37667	0	1	1	23,29	30
80,1	90,7	37664	0	1	1	23,3	30
80,1	90,7	37661	0	1	1	23,29	30
80,1	90,7	37661	0	1	1	23,29	30
80,1	90,7	37655	0	1	1	23,18	30
80,1	90,7	37652	0	1	1	23,18	30
80,1	90,7	37649	0	1	1	23,12	30
80,1	90,7	37646	0	1	1	23,12	30
80	90,7	37643	0	1	1	23,12	30
80	90,7	37641	0	1	1	23,11	30
80	90,6	37638	0	1	1	23,11	30
80	90,7	37638	0	1	1	23,11	30
80	90,7	37636	0	1	1	23,11	30
80	90,7	37633	0	1	1	23,11	30
80	90,6	37630	0	1	1	23,18	30
80	90,6	37625	0	1	1	23,18	30
80	90,7	37625	0	1	1	23,18	30
80,1	90,7	37622	0	1	1	23,18	30
80,1	90,7	37617	0	1	1	23,18	30
80,1	90,7	37614	0	1	1	23,18	30
80,1	90,6	37614	0	1	1	23,19	30
80,1	90,6	37608	0	1	1	23,19	30
80	90,6	37608	0	1	1	23,19	30
80	90,7	37605	0	1	1	23,19	30
80	90,6	37603	0	1	1	23,19	30
80	90,6	37600	0	1	1	23,2	30
80	90,6	37597	0	1	1	23,2	30
80	90,6	37592	0	1	1	23,2	30
80	90,6	37589	0	1	1	23,2	30
80,047	90,663	37630,100	0,000	1,000	1,000	23,185	30,000
0,051	0,049	23,829	0,000	0,000	0,000	0,059	0,000

Motornavn: Toyota gass (3Y anm. JK)
 Dato [dd/mm/åå]: 21.03.2007

Avgasstemp.[f hh:mm]	Ønsket effekt (kW)	81,8 Varmeforbruk (kW)	Drivstoff- forbruk (g/s)	Drivstoff- forbruk (nm ³ /h)	Spes. dr.stoff- forbruk (g/kWt)	Tilført med drivstoffet (kW)	El. virkn. grad (%)	Varme virkn. grad (%)	Varme virkn. grad (%)	Umidlet prod. el. effekt (kW)
16:04	7,5	25	0,566	2,828	281,9	28,07	25,73	68,4	94,2	7,4
16:04	7,5	25	0,567	2,834	282,2	28,13	25,71	68,2	94	6,95
16:04	7,5	25	0,565	2,827	282,2	28,05	25,71	68,3	94	7,16
16:04	7,5	25	0,567	2,835	282,5	28,14	25,68	68,4	94,2	7,16
16:04	7,5	25	0,567	2,836	282,7	28,15	25,66	68,1	94,1	7,16
16:04	7,5	25	0,567	2,837	283	28,16	25,63	68,2	93,8	7,07
16:04	7,5	25	0,566	2,832	282,8	28,11	25,65	68,1	93,8	7,16
16:04	7,5	25	0,566	2,831	282,7	28,1	25,66	68,1	93,8	7,16
16:04	7,5	25	0,567	2,834	283	28,13	25,63	68,1	93,9	7,15
16:04	7,5	25	0,567	2,833	283,2	28,12	25,62	68,1	93,9	7,15
16:04	7,5	25	0,566	2,831	283,2	28,1	25,61	68,1	93,7	7,41
16:04	7,5	25	0,565	2,825	283,2	28,1	25,61	68,1	93,8	7,41
16:04	7,5	25	0,565	2,827	282,7	28,06	25,66	68,4	94,1	7,41
16:04	7,5	25	0,565	2,825	282,5	28,04	25,68	68,3	94	7,25
16:04	7,5	25	0,565	2,825	282,5	28,04	25,68	68,3	94	7,25
16:04	7,5	25	0,565	2,825	282,6	28,03	25,67	68,3	94	7,02
16:04	7,5	25	0,566	2,829	282,6	28,03	25,67	68,3	94	7,16
16:04	7,5	25	0,567	2,833	283,7	28,11	25,57	68,1	93,9	7,16
16:04	7,5	25	0,566	2,832	283,7	28,11	25,57	68,1	93,7	7,16
16:04	7,5	25	0,567	2,836	283,7	28,11	25,57	68,1	93,7	7,12
16:04	7,5	25	0,567	2,834	284,1	28,13	25,53	67,8	93,4	7,12
16:04	7,5	25	0,566	2,831	283,3	28,09	25,61	67,8	93,4	7,35
16:04	7,5	25	0,565	2,825	282	28,04	25,73	68,3	93,7	7,2
16:04	7,5	25	0,566	2,828	282,2	28,07	25,71	68,2	94	7,2
16:04	7,5	25	0,566	2,828	282	28,07	25,73	68,7	94,4	7,2
16:04	7,5	25	0,565	2,826	281,7	28,05	25,75	68,7	94,4	7,1
16:04	7,5	25	0,564	2,821	281,3	28	25,79	68,7	94,5	7,29
16:04	7,5	25	0,563	2,817	281	27,96	25,81	68,7	94,5	7,29
16:04	7,5	25	0,566	2,829	282,3	28,08	25,7	69,1	94,9	7,3
Gjennomsnitt	7,500	25,000	0,566	2,829	282,638	28,082	25,667	68,279	93,993	7,204
Std.avvik	0,000	0,000	0,001	0,005	0,724	0,047	0,066	0,282	0,327	0,116

Midlet prod. el. effekt (kW)	Varme til kjølev. (kW)	Avgassmåler 0=Boo/1=Testo	HCmet (ppm)	NOx (ppm)	CO (ppm)	CO2 (%)	O2 (%)	Spes. HC (g/kWt)	Spes. NOx (g/kWt)
7,22	19,19	1	1350	85	444	7,96	6,95	4,76	0,993
7,23	19,19	1	1350	82	444	7,96	6,96	4,76	0,96
7,23	19,21	1	1350	82	444	7,96	6,96	4,77	0,961
7,22	19,2	1	1350	82	444	7,96	6,96	4,76	0,959
7,22	19,18	1	1350	82	444	7,96	6,96	4,77	0,962
7,22	19,19	1	1350	82	444	7,96	6,96	4,78	0,963
7,21	19,19	1	1350	82	445	7,96	6,95	4,79	0,964
7,21	19,19	1	1350	82	445	7,96	6,95	4,78	0,962
7,21	19,15	1	1350	82	444	7,96	6,96	4,78	0,962
7,2	19,15	1	1350	83	444	7,96	6,96	4,78	0,976
7,2	19,16	1	1350	83	444	7,96	6,96	4,79	0,976
7,2	19,16	1	1330	83	444	7,96	6,96	4,79	0,946
7,2	19,2	1	1330	83	444	7,96	6,96	4,72	0,974
7,2	19,17	1	1330	83	444	7,96	6,95	4,7	0,974
7,2	19,17	1	1330	83	444	7,96	6,95	4,71	0,974
7,2	19,16	1	1330	82	444	7,96	6,95	4,7	0,962
7,19	19,15	1	1350	80	443	7,96	6,95	4,78	0,939
7,19	19,13	1	1350	81	443	7,96	6,95	4,79	0,954
7,19	19,15	1	1350	81	443	7,96	6,95	4,79	0,954
7,19	19,14	1	1350	81	443	7,96	6,95	4,79	0,954
7,18	19,09	1	1350	81	443	7,96	6,96	4,8	0,956
7,19	19,09	1	1340	83	443	7,96	6,96	4,76	0,977
7,22	19,16	1	1340	83	443	7,96	6,96	4,73	0,972
7,22	19,14	1	1340	83	443	7,96	6,96	4,73	0,972
7,22	19,27	1	1340	83	443	7,96	6,97	4,74	0,973
7,22	19,27	1	1340	83	443	7,96	6,95	4,73	0,971
7,22	19,27	1	1340	81	443	7,96	6,95	4,73	0,947
7,22	19,27	1	1340	81	443	7,96	6,95	4,72	0,946
7,21	19,33	1	1350	80	443	7,96	6,95	4,75	0,933
7,208	19,183	1,000	1344,138	82,138	443,621	7,960	6,956	4,758	0,963
0,014	0,055	0,000	7,800	1,093	0,622	0,000	0,006	0,031	0,013

Spes. CO (g/kWt)	Spes. CO2 (g/kWt)	Spes. O2 (g/kWt)	Spes. HC mg/nm ³ @ 5% O ₂ (l)	Spes. NOx O ₂ (mg/nm ³ @ 5% O ₂)	Spes. CO O ₂ (mg/nm ³ @ 5% O ₂)	Beregnet lambda	Energiinnhold i gass (MJ/m ³)	Tetthet på gass kg/m ³)	Kjølevanns- flow (l/h)
2,731	769	488	1098	190,1	632	1,413	35,73	0,72	1817
2,734	770	490	1099	183,5	632	1,413	35,73	0,72	1818
2,738	771	490	1099	183,5	632	1,413	35,73	0,72	1820
2,731	769	489	1099	183,5	632	1,413	35,73	0,72	1819
2,74	772	491	1099	183,5	632	1,413	35,73	0,72	1818
2,743	773	491	1099	183,5	632	1,413	35,73	0,72	1819
2,753	774	491	1098	183,4	633	1,413	35,73	0,72	1819
2,747	772	490	1098	183,4	633	1,413	35,73	0,72	1819
2,741	772	491	1099	183,5	632	1,413	35,73	0,72	1816
2,747	774	492	1099	185,8	632	1,413	35,73	0,72	1817
2,749	774	492	1099	185,8	632	1,413	35,73	0,72	1817
2,746	774	492	1083	185,8	632	1,414	35,73	0,72	1817
2,74	772	491	1083	185,8	632	1,414	35,73	0,72	1820
2,741	772	490	1082	185,6	632	1,413	35,73	0,72	1818
2,74	772	490	1082	185,6	632	1,413	35,73	0,72	1817
2,74	772	490	1082	183,4	632	1,413	35,73	0,72	1816
2,736	772	490	1098	178,9	631	1,413	35,73	0,72	1817
2,744	775	492	1098	181,2	631	1,413	35,73	0,72	1816
2,744	775	492	1098	181,2	631	1,413	35,73	0,72	1819
2,745	775	492	1098	181,2	631	1,413	35,73	0,72	1817
2,75	777	494	1099	181,3	631	1,413	35,73	0,72	1815
2,745	775	493	1091	185,8	631	1,414	35,73	0,72	1816
2,729	770	490	1091	185,8	631	1,414	35,73	0,72	1817
2,729	770	490	1091	185,8	631	1,414	35,73	0,72	1817
2,7432	770	491	1091	185,9	631	1,415	35,73	0,72	1817
2,726	770	489	1090	185,6	631	1,413	35,73	0,72	1818
2,725	769	488	1090	181,2	631	1,413	35,73	0,72	1818
2,722	768	488	1090	181,2	631	1,413	35,73	0,72	1821
2,719	768	487	1098	178,9	631	1,413	35,73	0,72	1821
2,739	771,931	490,483	1093,828	183,783	631,621	1,413	35,730	0,720	1817,793
0,009	2,374	1,595	6,297	2,471	0,622	0,001	0,000	0,000	1,521

Kjølev. temp. inn (°C)	Kjølev. temp. ut (°C)	Varmelager (kJ)	Melding T1 0=åpen/1=lukket	Melding T2 0=åpen/1=lukket	Melding T3 0=åpen/1=lukket	Temp. i motor- rom (°C)	Midlingstid (s)
80	89,1	40167	0	1	1	22,63	30
80,1	89,1	40161	0	1	1	22,63	30
80,1	89,1	40161	0	1	1	22,63	30
80,1	89,1	40149	0	1	1	22,64	30
80,1	89,1	40143	0	1	1	22,63	30
80,1	89,1	40137	0	1	1	22,64	30
80,1	89,1	40131	0	1	1	22,64	30
80,1	89,1	40131	0	1	1	22,65	30
80,1	89,1	40125	0	1	1	22,65	30
80,1	89,1	40113	0	1	1	22,66	30
80,1	89,1	40113	0	1	1	22,66	30
80,1	89,1	40106	0	1	1	22,66	30
80,1	89,1	40100	0	1	1	22,67	30
80,1	89,1	40094	0	1	1	22,67	30
80,1	89,1	40088	0	1	1	22,73	30
80,1	89,1	40076	0	1	1	22,73	30
80,1	89,1	40076	0	1	1	22,73	30
80,1	89,1	40064	0	1	1	22,73	30
80,1	89,1	40058	0	1	1	22,73	30
80,1	89,1	40058	0	1	1	22,72	30
80,1	89,1	40052	0	1	1	22,73	30
80,1	89,1	40046	0	1	1	22,73	30
80,1	89,1	40034	0	1	1	22,73	30
80,1	89,1	40028	0	1	1	22,73	30
80	89,1	40028	0	1	1	22,73	30
80	89,1	40022	0	1	1	22,74	30
80	89,1	40016	0	1	1	22,74	30
80	89,1	40010	0	1	1	22,74	30
80	89,1	39998	0	1	1	22,74	30
80,079	89,100	40085,690	0,000	1,000	1,000	22,691	30,000
0,041	0,000	50,806	0,000	0,000	0,000	0,045	0,000

Motornavn: Toyota gass (3Y anm. JK)
 Dato [dd/mm/åå]: 21.03.2007

Avgasstemp.[f]	Ønsket effekt hh:mm (kW)	83,3	Varmeforbruk (kW)	Drivstoff- forbruk (g/s)	Drivstoff- forbruk (nm ³ /h)	Spes. dr.stoff- forbruk (g/kWt)	Tilført med drivstoffet (kW)	El. virkn. grad (%)	Varme virkn. grad (%)	Varme virkn. grad (%)	Umidlet prod. el. effekt (kW)
15:47	4,5	15	0,4063	2,032	346,6	20,16	20,93	75,3	96,2	4,169	
15:47	4,5	15	0,4055	2,027	347	20,16	20,91	75,6	96,5	4,769	
15:47	4,5	15	0,4055	2,028	346,6	20,21	20,94	75,8	96,5	4,21	
15:47	4,5	15	0,4091	2,046	349,7	20,3	20,74	77	96,7	4,21	
15:47	4,5	15	0,4071	2,036	348	20,2	20,85	76,4	97,1	4,192	
15:47	4,5	15	0,4053	2,026	346,4	20,11	20,94	76,8	97,2	4,097	
15:47	4,5	15	0,4069	2,035	348	20,19	20,84	76,8	97,6	4,097	
15:47	4,5	15	0,4073	2,037	348,5	20,21	20,82	76,9	97,6	4,097	
15:47	4,5	15	0,4075	2,037	348,5	20,21	20,82	76,9	97,6	4,222	
15:47	4,5	15	0,4065	2,033	348,6	20,22	20,81	77	97,8	4,222	
15:47	4,5	15	0,4054	2,027	346,9	20,12	20,91	77	97,8	4,224	
15:47	4,5	15	0,4082	2,041	349,4	20,26	20,76	76,7	97,5	4,267	
15:47	4,5	15	0,4072	2,036	348,5	20,21	20,82	76,7	97,5	4,267	
15:47	4,5	15	0,4049	2,024	346,5	20,09	20,94	76,7	97,5	4,267	
15:47	4,5	15	0,4036	2,018	345,3	20,03	21,01	77,4	98,3	4,221	
15:47	4,5	15	0,4056	2,028	347	20,13	20,91	77,4	98,4	4,221	
15:47	4,5	15	0,4074	2,037	348,6	20,22	20,81	77,3	982	4,193	
15:47	4,5	15	0,4063	2,031	347,7	20,16	20,86	76,5	97,8	4,193	
15:47	4,5	15	0,4054	2,027	347	20,12	20,91	76,6	97,4	4,348	
15:47	4,5	15	0,4074	2,037	347	20,12	20,91	76,5	97,4	4,348	
15:47	4,5	15	0,4065	3,033	347,1	20,17	20,9	76,1	97,3	4,135	
15:47	4,5	15	0,4057	2,029	346,6	20,13	20,93	76,4	97,4	4,135	
15:47	4,5	15	0,406	2,03	347	20,15	20,91	76,3	97,2	4,232	
15:47	4,5	15	0,4071	2,036	347	20,15	20,91	76,3	97,2	4,232	
15:47	4,5	15	0,4061	2,031	347,3	20,15	20,89	76	96,9	4,077	
15:48	4,5	15	0,4052	2,026	346,8	20,11	20,92	76,1	96,9	4,077	
15:48	4,5	15	0,4064	2,032	348,2	20,17	20,83	76	96,9	4,274	
15:48	4,5	15	0,4073	2,036	348,8	20,21	20,8	76,2	96,9	4,274	
Gjennomsnitt	4,500	15,000	0,406	2,066	347,490	20,167	20,878	76,483	127,762	4,222	
Std.avvik	0,000	0,000	0,001	0,186	1,025	0,055	0,063	0,561	164,294	0,128	

Midlet prod. el. effekt (kW)	Varme til kjølev. (kW)	Avgassmåler 0=Boo/1=Testo	HCmet (ppm)	NOx (ppm)	CO (ppm)	CO2 (%)	O2 (%)	Spes. HC (g/kWt)	Spes. NOx (g/kWt)	
	4,219	15,24	1	1130	153	492	8,88	5,32	4,497	2,019
4,216	15,24	1	1130	153	492	8,88	5,32	4,478	2,010	
4,214	15,24	1	1130	153	492	8,88	5,33	4,484	2,013	
4,212	15,25	1	1140	153	492	8,88	5,33	4,516	2,010	
4,212	15,49	1	1140	153	493	8,88	5,32	4,560	2,028	
4,212	15,51	1	1140	153	493	8,88	5,32	4,560	2,028	
4,209	15,51	1	1140	153	493	8,88	5,32	4,530	2,018	
4,209	15,51	1	1140	153	492	8,88	5,32	4,517	2,010	
4,208	15,54	1	1140	152	492	8,88	5,32	4,530	2,005	
4,208	15,54	1	1140	152	492	8,88	5,32	4,540	2,008	
4,207	15,56	1	1130	152	492	8,88	5,32	4,503	2,009	
4,207	15,54	1	1130	152	492	8,88	5,33	4,483	2,000	
4,206	15,54	1	1130	152	492	8,88	5,33	4,483	2,000	
4,207	15,53	1	1130	152	492	8,88	5,32	4,501	2,008	
4,207	15,53	1	1130	152	492	8,88	5,32	4,501	2,008	
4,208	15,55	1	1140	153	493	8,88	5,32	4,514	2,009	
4,208	15,55	1	1140	153	493	8,88	5,32	4,499	2,002	
4,207	15,56	1	1140	155	493	8,89	5,32	4,520	2,038	
4,206	15,42	1	1140	155	493	8,88	5,32	4,530	2,043	
4,206	15,41	1	1140	155	493	8,88	5,32	4,530	2,043	
4,211	15,39	1	1130	156	492	8,88	5,32	4,477	2,049	
4,216	15,39	1	1130	157	493	8,88	5,32	4,484	2,066	
4,214	15,39	1	1130	157	493	8,88	5,32	4,484	2,066	
4,212	15,37	1	1130	157	493	8,88	5,33	4,484	2,066	
4,208	15,37	1	1130	157	493	8,88	5,33	4,484	2,066	
4,210	15,35	1	1130	157	493	8,88	5,33	4,501	2,074	
4,206	15,35	1	1130	157	493	8,88	5,33	4,492	2,070	
4,203	15,34	1	1130	155	493	8,88	5,33	4,500	2,047	
4,205	15,37	1	1130	155	493	8,88	5,33	4,508	2,050	
4,209	15,434	1,000	1134,138	154,034	492,552	8,880	5,323	4,507	2,030	
0,004	0,109	0,000	5,012	1,899	0,506	0,002	0,005	0,023	0,025	

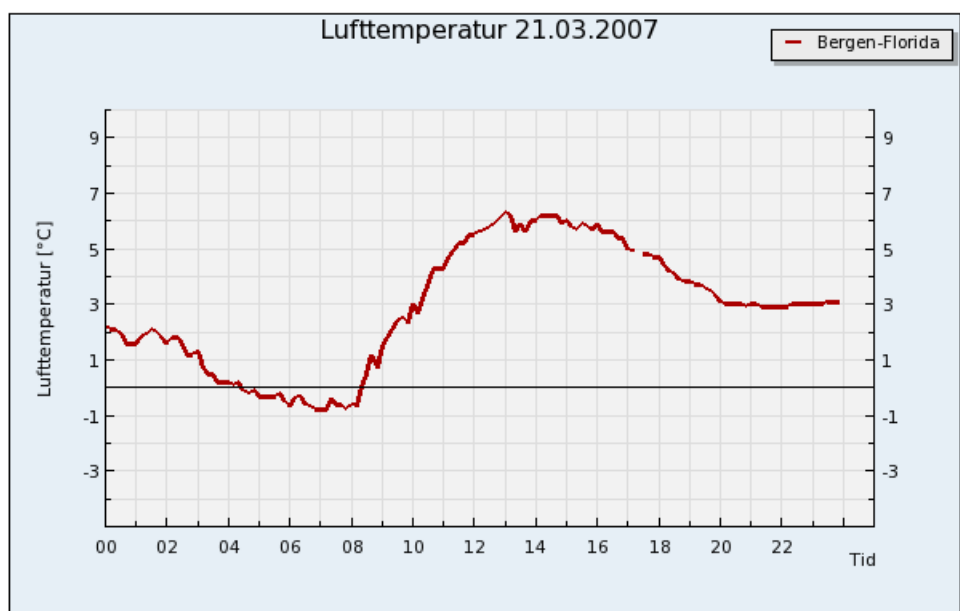
Spes. CO (g/kWt)	Spes. CO2 (g/kWt)	Spes. O2 (g/kWt)	Spes. HC mg/nm ³ @ 5% O ₂ (¹)	Spes. NOx O ₂ (mg/nm ³ @ 5% O ₂ (¹)	Spes. CO O ₂ (mg/nm ³ @ 5% O ₂ (¹)	Beregnet lambda	Energiinnhold i gass (MJ/m ³)	Tetthet på gass kg/m ³)	Kjølevanns- flow (l/h)	
3,365	954	415,7	823	306,4	627	1,282	35,73	0,72	1813	
3,350	950	413,9	823	306,4	627	1,282	35,73	0,72	1814	
3,355	951	415,2	823	306,6	627	1,283	35,73	0,72	1813	
3,349	950	414,5	831	306,6	627	1,282	35,73	0,72	1813	
3,387	958	417,5	830	306,4	628	1,282	35,73	0,72	1814	
3,387	958	417,5	830	306,4	628	1,282	35,73	0,72	1814	
3,370	954	415,4	830	306,4	628	1,282	35,73	0,72	1815	
3,350	950	413,8	830	306,4	627	1,282	35,73	0,72	1815	
3,364	954	415,5	830	304,4	627	1,282	35,73	0,72	1815	
3,368	955	416,1	830	304,4	627	1,282	35,73	0,72	1817	
3,370	956	416,3	823	304,4	627	1,282	35,73	0,72	1815	
3,355	951	415,2	823	304,6	627	1,283	35,73	0,72	1816	
3,355	951	415,2	823	304,6	627	1,283	35,73	0,72	1816	
3,368	955	416	823	304,4	627	1,282	35,73	0,72	1816	
3,368	955	416	823	304,4	627	1,282	35,73	0,72	1818	
3,355	950	413,6	830	306,4	628	1,282	35,73	0,72	1817	
3,344	946	412,2	830	306,4	628	1,282	35,73	0,72	1817	
3,360	952	414,2	830	310,4	628	1,282	35,73	0,72	1815	
3,368	953	415,1	830	310,4	628	1,282	35,73	0,72	1815	
3,368	953	415,1	830	310,4	628	1,282	35,73	0,72	1815	
3,350	950	413,8	823	312,4	627	1,282	35,73	0,72	1815	
3,362	952	414,5	823	314,4	628	1,282	35,73	0,72	1815	
3,362	952	414,5	823	314,4	628	1,282	35,73	0,72	1815	
3,362	951	415,2	823	314,6	629	1,283	35,73	0,72	1814	
3,362	951	415,2	823	314,6	629	1,283	35,73	0,72	1815	
3,375	955	416,8	823	314,6	629	1,283	35,73	0,72	1815	
3,368	953	416	823	314,6	629	1,283	35,73	0,72	1813	
3,374	955	416,7	823	310,6	629	1,283	35,73	0,72	1812	
3,380	956	417,4	823	310,6	629	1,283	35,73	0,72	1813	
3,364	952,793	415,314	825,931	308,538	627,759	1,282	35,730	0,720	1814,828	
0,011	2,717	1,251	3,555	3,828	0,786	0,000	0,000	0,000	1,416	

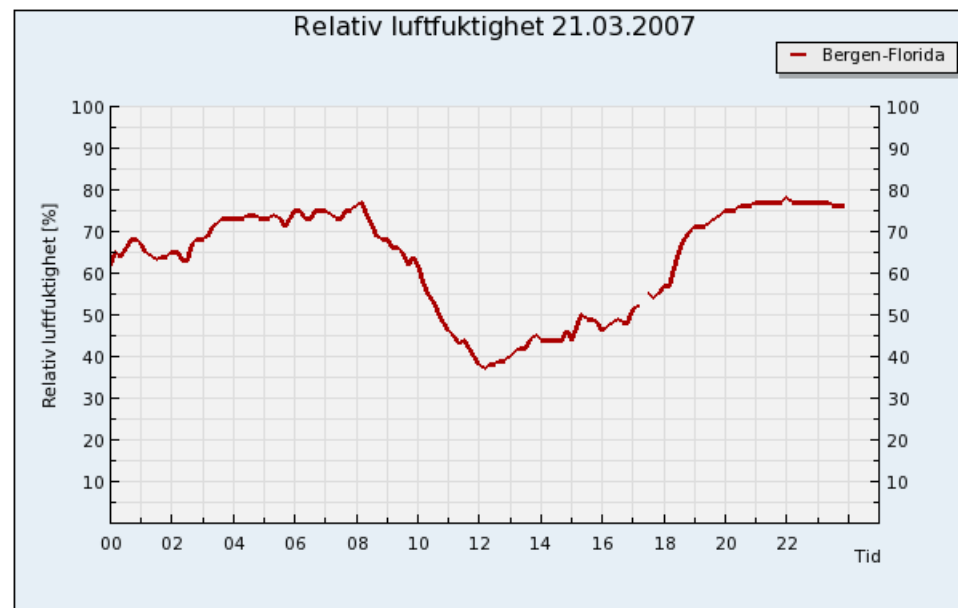
Kjølev. temp. inn (°C)	Kjølev. temp. ut (°C)	Varmelager (kJ)	Melding T1 0=åpen/1=lukket	Melding T2 0=åpen/1=lukket	Melding T3 0=åpen/1=lukket	Temp. i motor- rom (°C)	Midlingstid (s)
80	87,2	39468	0	1	1	21,92	30
80	87,2	39468	0	1	1	21,93	30
80	87,2	39468	0	1	1	21,93	30
79,9	87,2	39468	0	1	1	21,93	30
79,9	87,2	39468	0	1	1	21,93	30
79,9	87,2	39468	0	1	1	21,92	30
79,9	87,2	39469	0	1	1	21,92	30
79,9	87,2	39469	0	1	1	21,92	30
79,9	87,2	39469	0	1	1	21,92	30
79,9	87,2	39469	0	1	1	21,92	30
79,9	87,2	39470	0	1	1	21,91	30
79,9	87,2	39470	0	1	1	21,92	30
79,9	87,2	39471	0	1	1	21,92	30
79,9	87,2	39471	0	1	1	21,91	30
79,9	87,2	39471	0	1	1	22,01	30
79,9	87,2	39472	0	1	1	22,02	30
79,9	87,2	39472	0	1	1	22,02	30
79,9	87,2	39473	0	1	1	22,03	30
79,9	87,2	39473	0	1	1	22,02	30
79,9	87,2	39473	0	1	1	22,03	30
79,9	87,2	39473	0	1	1	22,02	30
79,9	87,2	39473	0	1	1	22,02	30
79,9	87,2	39473	0	1	1	22,02	30
79,9	87,2	39473	0	1	1	22,03	30
79,9	87,2	39474	0	1	1	22,03	30
79,9	87,2	39474	0	1	1	22,03	30
79,9	87,2	39474	0	1	1	22,03	30
79,9	87,2	39474	0	1	1	22,04	30
79,914	87,200	39470,897	0,000	1,000	1,000	21,972	30,000
0,035	0,000	2,289	0,000	0,000	0,000	0,053	0,000

Tillegg I

Omgivelser 21.03.2007

Hentet fra Geofysisk Institutts nettsider [65].





Tillegg J

VBA-kode stempelmotormodell

```

Module2 - 1

Sub Knapp2_Klikk()
Dim i As Integer
Dim j As Integer
'=====
'Inndata Motor
'=====
'Henter omdreiningshastighet fra inputboks (1/min)
Dim RPM As Double
RPM = Worksheets("Front").Range("B5")
'Henter slaglengde fra inputboks (m)
Dim S As Double
S = Worksheets("Front").Range("B6")
'Henter boring fra inputboks (m)
Dim B As Double
B = Worksheets("Front").Range("B7")
'Beregner veivstanglengde ut fra slaglendge (m)
Dim L As Double
L = 2 * S
'Henter antall sylinder fra inputboks (-)
Dim N_cyl As Double
N_cyl = Worksheets("Front").Range("B8")
'Antall omdreininger per kraftslag(2 for 4-takt og 1 for 2-takt)
Dim N_r As Double
N_r = 2
'N_r = 1
'Henter kompresjonsforhold fra inputboks (-)
Dim R_komp As Double
R_komp = Worksheets("Front").Range("B9")
'Beregner slagvolum fra slaglengde og boring (m^3)
Dim V_s As Double
V_s = S * 3.14 * 0.25 * B ^ 2
'=====
'Inndata Forbrenning
'=====
'Henter tenningstidspunkt i veivinkeler før TDC fra inputboks og
'regner om til veivinkler etter BDC i kraftslaget (°VV etter BDC)
Dim theta_0(0, 3) As Double
theta_0(0, 0) = 180 - Worksheets("Front").Range("C11")
theta_0(0, 1) = 180 - Worksheets("Front").Range("D11")
theta_0(0, 2) = 180 - Worksheets("Front").Range("E11")
theta_0(0, 3) = 180 - Worksheets("Front").Range("F11")
'Henter forbrenningsperiode fra inputboks (°VV etter BDC)
Dim theta_d(0, 3) As Double
theta_d(0, 0) = Worksheets("Front").Range("C12")
theta_d(0, 1) = Worksheets("Front").Range("D12")
theta_d(0, 2) = Worksheets("Front").Range("E12")
theta_d(0, 3) = Worksheets("Front").Range("F12")
'Regner ut tidspunkt for forbrenningsslutt (°VV etter BDC)
Dim theta_f(0, 3) As Double
For j = 0 To 3
    theta_f(0, j) = theta_0(0, j) + theta_d(0, j)
Next j
'Parameter i Wiebe-funksjonen. Velges får å tilpasse S-kurven til
'forbrenningsperioden theta_d (-)
Dim awie As Double
awie = 5
'Parameter i Wiebe-funksjonen. Som oftest lik 2 for SI-motorer (-)
Dim wexp As Double
wexp = 2
'Forbrenningseffektiviteten. Beregnet ut fra uforbrukt kjemisk energi i
'eksosgassene. (-)
Dim eta_comb As Double
eta_comb = Worksheets("Front").Range("B32")
'=====
'Inndata Ventiler
'=====
'Stenging av innsugsventilen (°VV etter BDC)
Dim IVC(0, 3) As Double
IVC(0, 0) = Worksheets("Front").Range("C14")
IVC(0, 1) = Worksheets("Front").Range("D14")
IVC(0, 2) = Worksheets("Front").Range("E14")
IVC(0, 3) = Worksheets("Front").Range("F14")
'Åpning av eksosventilen (°VV etter BDC)
Dim EVO(0, 3) As Double
EVO(0, 0) = Worksheets("Front").Range("C15")
EVO(0, 1) = Worksheets("Front").Range("D15")
EVO(0, 2) = Worksheets("Front").Range("E15")

```

```

Module2 - 2

EVO(0, 3) = Worksheets("Front").Range("F15")
'=====
'inndata brennstoff
'=====
'Definerer støkiometrisk luft-brenstoffforhold (kg/kg)
Dim AF_ratio_stoch As Double
AF_ratio_stoch = Worksheets("Naturgass").Range("B34")
'Definerer støkiometrisk luft-brenstoffforhold (kmol/kmol)
Dim AF_ratio_mol_stoch As Double
AF_ratio_mol_stoch = Worksheets("Naturgass").Range("B33")
'Definerer lavere brennverdi for brennstoff (J/kg)
Dim LHV As Double
LHV = Worksheets("Naturgass").Range("B21") * 10 ^ 6
Dim lambda(0, 3) As Double
lambda(0, 0) = Worksheets("Måleresultater").Range("AB41")
lambda(0, 1) = Worksheets("Måleresultater").Range("AB79")
lambda(0, 2) = Worksheets("Måleresultater").Range("AB115")
lambda(0, 3) = Worksheets("Måleresultater").Range("AB152")
'Beregner faktisk luft-brenstoffforhold (kg/kg)
Dim AF_ratio_faktisk(0, 3) As Double
For j = 0 To 3
    AF_ratio_faktisk(0, j) = lambda(0, j) * AF_ratio_stoch
Next j
'=====
'Atmosfæriske inndata
'=====
'Henter atmosfæretrykk fra inputboks (Pa)
Dim P_atm As Double
P_atm = Worksheets("Front").Range("B18")
'Henter atmosfæretemperatur fra inputboks Celsius og omregner til
'Kelvin(K)
Dim T_atm(0, 3) As Double
T_atm(0, 0) = Worksheets("Måleresultater").Range("AL41") + 273.15
T_atm(0, 1) = Worksheets("Måleresultater").Range("AL79") + 273.15
T_atm(0, 2) = Worksheets("Måleresultater").Range("AL115") + 273.15
T_atm(0, 3) = Worksheets("Måleresultater").Range("AL152") + 273.15
'Definere innsugstrykk ved BDC (Pa)
Dim P_BDC As Double
P_BDC = P_atm
'Definerer gasskonstantet for luft (J/kgK)
Dim R_air As Double
R_air = 287

'Henter sylinderveggtemperatur fra inputboks i Celsius og omregner til
'Kelvin (K)
Dim T_w(0, 3) As Double
T_w(0, 0) = Worksheets("Front").Range("C13") + 273.15
T_w(0, 1) = Worksheets("Front").Range("D13") + 273.15
T_w(0, 2) = Worksheets("Front").Range("E13") + 273.15
T_w(0, 3) = Worksheets("Front").Range("F13") + 273.15
'=====
'Måledata
'=====
'Henter målt brennstoffforbruk fra inpuboks (kg/s)
Dim m_g(0, 3) As Double
m_g(0, 0) = Worksheets("Måleresultater").Range("D41") / 1000
m_g(0, 1) = Worksheets("Måleresultater").Range("D79") / 1000
m_g(0, 2) = Worksheets("Måleresultater").Range("D115") / 1000
m_g(0, 3) = Worksheets("Måleresultater").Range("D152") / 1000

'Henter målt elektrisk effekt fra inputboks (kW)
Dim W_dot_el_m(0, 3) As Double
W_dot_el_m(0, 0) = Worksheets("Måleresultater").Range("L41")
W_dot_el_m(0, 1) = Worksheets("Måleresultater").Range("L79")
W_dot_el_m(0, 2) = Worksheets("Måleresultater").Range("L115")
W_dot_el_m(0, 3) = Worksheets("Måleresultater").Range("L152")
'Henter målt eksosgasstemperatur fra inputboks (eksosrør ut fra kraft-
'enheten) i Celsius og omregner til Kelvin (K)
Dim T_e_5_m(0, 0 To 3) As Double
T_e_5_m(0, 0) = Worksheets("Måleresultater").Range("B9") + 273.15
T_e_5_m(0, 1) = Worksheets("Måleresultater").Range("B46") + 273.15
T_e_5_m(0, 2) = Worksheets("Måleresultater").Range("B83") + 273.15
T_e_5_m(0, 3) = Worksheets("Måleresultater").Range("B120") + 273.15
'Henter spesifikk varmekapasitet for luft fra inputboks (kJ/kgK)
Dim cp_l As Double
cp_l = Worksheets("Luft").Range("F26")
'Henter spesifikk varmekapasitet for eksos fra inputboks (kJ/kgK)

```

```

Module2 - 3

Dim cp_e(0, 3) As Double
cp_e(0, 0) = Worksheets("Eksosgass").Range("E21")
cp_e(0, 1) = Worksheets("Eksosgass").Range("E43")
cp_e(0, 2) = Worksheets("Eksosgass").Range("E65")
cp_e(0, 3) = Worksheets("Eksosgass").Range("E87")
'=====
'Beregninger motorgeometri
'=====
'Beregner klaringsvolum (m^3)
Dim V_min As Double
V_min = V_s / (R_komp - 1)
'Beregner totalt cylindervolum (m^3)
Dim V_max As Double
V_max = V_min + V_s
'Beregner motorens vinkelhastighet (rad/s)
'omega = RPM*2*3.14/60;
'Omregner motorens omdreiningshastighet fra (rev/min) til (rev/s)
Dim N As Double
N = RPM / 60
'Beregner gjennomsnittlig stempelhastighet (m/s)
Dim S_bar_p As Double
S_bar_p = 2 * S * N
'=====
'initiell pre-fordeling av matriser for å slippe 're-sizing' av matrise
'etter hver loop.
'=====
'=====
'Polynom brukt til å beregne varmekapasitetsforholdet 'gamma' som funksjon
'av omdreiningshastigheten 'RPM'
'=====

Dim A_1 As Double
A_1 = 0.692
Dim A_2 As Double
A_2 = 0.00003917
Dim a_3 As Double
a_3 = 0.0000000529
Dim a_4 As Double
a_4 = -0.000000000022862
Dim a_5 As Double
a_5 = 2.7758E-15
Dim b_0 As Double
b_0 = 3049.33
Dim b_i As Double
b_1 = -0.057
Dim b_2 As Double
b_2 = -0.000095
Dim b_3 As Double
b_3 = 0.0000002153
Dim b_4 As Double
b_4 = -2.0026E-12
Dim c_u As Double
c_u = 2.32584
Dim c_r As Double
c_r = 0.004186
Dim d_0 As Double
d_0 = 10.41066
Dim d_1 As Double
d_1 = 7.85125
Dim d_3 As Double
d_3 = -3.71257
Dim e_0 As Double
e_0 = -15001
Dim e_1 As Double
e_1 = -15838
Dim e_3 As Double
e_3 = 9613
Dim f_0 As Double
f_0 = -0.10329
Dim f_1 As Double
f_1 = -0.38656
Dim f_3 As Double
f_3 = 0.154226
Dim f_4 As Double
f_4 = -14.763
Dim f_5 As Double
f_5 = 118.27
Dim f_6 As Double

```

```

Module2 - 4

f_6 = 14.503
Dim r_0 As Double
r_0 = -0.2977
Dim r_1 As Double
r_1 = 11.98
Dim r_2 As Double
r_2 = -25442
Dim r_3 As Double
r_3 = -0.4354

'=====
'Omregning av gasskonstanten fra (J/kgK) til (KJ/kgK)
Dim R As Double
R = R_air / 1000
'Definerer innløpstemperaturen som atmosfæretemperaturen (K)
Dim T_BDC(0, 3) As Double
T_BDC(0, 0) = T_atm(0, 0)
T_BDC(0, 1) = T_atm(0, 1)
T_BDC(0, 2) = T_atm(0, 2)
T_BDC(0, 3) = T_atm(0, 3)
'Beregner brennstoffmassen i sylinderen under kraftslaget (kg)
Dim m_f(0, 3) As Double
For j = 0 To 3
    m_f(0, j) = m_g(0, j) / (2 * N)
Next j
'Beregner luftmassen i sylinderen under kraftslaget (kg)
Dim m_a(0, 3) As Double
For j = 0 To 3
    m_a(0, j) = m_f(0, j) * AF_ratio_faktisk(0, j)
Next j
'Beregner den totale massen i sylinderen under kraftslaget (kg)
Dim m_c(0, 3) As Double
For j = 0 To 3
    m_c(0, j) = m_a(0, j) + m_f(0, j)
Next j
'=====
'Spesifiserer initialbettingelser for 'loop'ene
'DV,DX,etc. er relative til forandring i Theta (dvs DV/Dtheta)
'=====

'Definerer veivinkelen theta
Dim theta(360) As Double
theta(0) = 1
'Pre-fordelt volum 'array'
Dim V(360) As Double
'Initialvolum ved BDC (m^3)
V(0) = V_max
'Pre-fordelt forandring i volum 'array'
Dim DV(360) As Double
'Spesifiserer initial forandring i volum ved BDC (m^3)
DV(0) = 0
'Pre-fordeler trykk 'array'
Dim P(360, 3) As Double
For i = 0 To 360
    For j = 0 To 3
        P(i, j) = P_BDC
    Next j
Next i
'Spesifiserer initial forandring i trykk
Dim DP(360, 3) As Double
'Pre-fordeling av 'motoring'-trykk 'array'
Dim P_M(360, 3) As Double
For i = 0 To 360
    For j = 0 To 3
        P_M(i, j) = P_BDC
    Next j
Next i
'spesifiserer initial forandring i 'motoring'-trykk
Dim DP_M(360, 3) As Double
'Prefordeler temperatur uforbrent sone som array
Dim T_u(360, 3) As Double
T_u(0, 0) = T_BDC(0, 0)
T_u(0, 1) = T_BDC(0, 1)
T_u(0, 2) = T_BDC(0, 2)
T_u(0, 3) = T_BDC(0, 3)
'Pre-fordeling temperatur 'array'
Dim T(360, 3) As Double
'Spesifiserer initial temperatur i sylinder (K)

```

```

Module2 - 5

T(0, 0) = T_BDC(0, 0)
T(0, 1) = T_BDC(0, 1)
T(0, 2) = T_BDC(0, 2)
T(0, 3) = T_BDC(0, 3)
'Pre-fordeler initial forandring i temperatur
Dim DT(360, 3) As Double
'Prefordeler temperaturforandring uforbrent sone som array
Dim DT_u(360, 3) As Double
'prefordeler gamma uforbrent som array
Dim gamma(360, 3) As Double
Dim gamma_u(360, 3) As Double
gamma(0, 0) = 1.4
gamma(0, 1) = 1.4
gamma(0, 2) = 1.4
gamma(0, 3) = 1.4
gamma_u(0, 0) = 1.4
gamma_u(0, 1) = 1.4
gamma_u(0, 2) = 1.4
gamma_u(0, 3) = 1.4
'Pre-fordeler massefraksjon forbrent 'array'
Dim X(360, 3) As Double
'Pre-fordeler forandring i massefraksjon forbrent
Dim DX(360, 3) As Double
'Pre-fordeler varmefrigivelse
Dim DQ(360, 3) As Double
'Pre-fordeler varme 'array'
Dim Q(360, 3) As Double
'Pre-fordeler masse i forbrenningsrom 'array'
Dim m_x(360, 3) As Double
'Prefordeler idealgass tetthet 'array'
Dim rho(360, 3) As Double
'Spesifiserer initialverdi for tetthet (kg/m^3)
rho(0, 0) = P(0, 0) / (R_air * T(0, 0))
rho(0, 1) = P(0, 1) / (R_air * T(0, 1))
rho(0, 2) = P(0, 2) / (R_air * T(0, 2))
rho(0, 3) = P(0, 3) / (R_air * T(0, 3))
'Pre-fordeler viskositet 'array'
Dim mu(360, 3) As Double
'Spesifiserer initialverdi for viskositet
mu(0, 0) = 7.457 * 10 ^ (-6) + 4.1547 * 10 ^ (-8) -
* T_BDC(0, 0) - 7.4793 * 10 ^ (-12) * T_BDC(0, 0) ^ (2)
mu(0, 1) = 7.457 * 10 ^ (-6) + 4.1547 * 10 ^ (-8) -
* T_BDC(0, 1) - 7.4793 * 10 ^ (-12) * T_BDC(0, 1) ^ (2)
mu(0, 2) = 7.457 * 10 ^ (-6) + 4.1547 * 10 ^ (-8) -
* T_BDC(0, 2) - 7.4793 * 10 ^ (-12) * T_BDC(0, 2) ^ (2)
mu(0, 3) = 7.457 * 10 ^ (-6) + 4.1547 * 10 ^ (-8) -
* T_BDC(0, 3) - 7.4793 * 10 ^ (-12) * T_BDC(0, 3) ^ (2)

'Pre-fordeler termisk ledningsevne 'array'
Dim C_k(360, 3) As Double
'Spesifiserer initialverdi for termisk ledningsevne
C_k(0, 0) = 0.0061944 + 0.000073814 * T_BDC(0, 0) -
- 0.000000012491 * T_BDC(0, 0) ^ (2)
C_k(0, 1) = 0.0061944 + 0.000073814 * T_BDC(0, 1) -
- 0.000000012491 * T_BDC(0, 1) ^ (2)
C_k(0, 2) = 0.0061944 + 0.000073814 * T_BDC(0, 2) -
- 0.000000012491 * T_BDC(0, 2) ^ (2)
C_k(0, 3) = 0.0061944 + 0.000073814 * T_BDC(0, 3) -
- 0.000000012491 * T_BDC(0, 3) ^ (2)
'Pre-fordeler strålingskoeffisient 'array'
Dim C_s(360, 3) As Double
'Spesifiserer initialverdi for strålingskoeffisient
C_s(0, 0) = 0.00000000425 * ((T_BDC(0, 0) ^ 4 -
- T_w(0, 0) ^ 4) / (T_BDC(0, 0) - T_w(0, 0)))
C_s(0, 1) = 0.00000000425 * ((T_BDC(0, 1) ^ 4 -
- T_w(0, 1) ^ 4) / (T_BDC(0, 1) - T_w(0, 1)))
C_s(0, 2) = 0.00000000425 * ((T_BDC(0, 2) ^ 4 -
- T_w(0, 2) ^ 4) / (T_BDC(0, 2) - T_w(0, 2)))
C_s(0, 3) = 0.00000000425 * ((T_BDC(0, 3) ^ 4 -
- T_w(0, 3) ^ 4) / (T_BDC(0, 3) - T_w(0, 3)))
'Pre-fordeler Reynoldstall 'array'
Dim Re(360, 3) As Double
'Spesifiserer initialalerdi for Re
Re(0, 0) = rho(0, 0) * S_bar_p * B / mu(0, 0)
Re(0, 1) = rho(0, 1) * S_bar_p * B / mu(0, 1)
Re(0, 2) = rho(0, 2) * S_bar_p * B / mu(0, 2)
Re(0, 3) = rho(0, 3) * S_bar_p * B / mu(0, 3)

```

```

'Pre-fordeler Nusselt tall 'array'
Dim Nus(360, 3) As Double
'Spesifiserer initialverdi for Nu
Nus(0, 0) = 0.49 * Re(0, 0) ^ (0.7)
Nus(0, 1) = 0.49 * Re(0, 1) ^ (0.7)
Nus(0, 2) = 0.49 * Re(0, 2) ^ (0.7)
Nus(0, 3) = 0.49 * Re(0, 3) ^ (0.7)
'Pre-fordeler varmeovergangskoeffisient 'array'
Dim h_g(360, 3) As Double
'Spesifiserer initialverdi for varmeoverg.koeff.
h_g(0, 0) = C_k(0, 0) * Nus(0, 0) / B
h_g(0, 1) = C_k(0, 0) * Nus(0, 1) / B
h_g(0, 2) = C_k(0, 0) * Nus(0, 2) / B
h_g(0, 3) = C_k(0, 0) * Nus(0, 3) / B
'Spesifiserer initialverdi for avstad TDC-stempel
Dim y(360) As Double
y(0) = S / 2 - L + (S / 2) * Cos(theta(0) * 3.14 / 180) -
+ ((L ^ 2 - ((S / 2) ^ 2) *
* Sin(theta(0) * 3.14 / 180) ^ 2)) ^ 0.5
'Pre-fordeler arbeid 'array'
Dim W(360, 3) As Double
'Pre-fordeler kraft 'array'
Dim W_dot(360, 3) As Double
'Pre-fordeler varmeovergang 'array'
Dim Q_dot(360, 3) As Double
'Pre-fordeler varmeovergang til sylindervegg 'array'
Dim Q_dot_w(360, 3) As Double
'Pre-fordeler indre energi 'array'
Dim u(360, 3) As Double
'Pre-fordeler forandring i indre energi 'array'
Dim du(360, 3) As Double
'Pre-fordeler spesifikk varmekapasitet 'array'
Dim cv(360, 3) As Double
'Pre-fordeler konvektivt varmetap 'array'
Dim DQ_w(360, 3) As Double
Dim Q_w(360, 3) As Double
'DQ_w2(1:360)=zeros; 'Pre-fordeler konvektivt varmetap to-sone 'array'
'Preallocate mass burned 'array'
Dim m_b(360, 3) As Double
'prefordeler uforbrent masse som array
Dim m_u(360, 3) As Double
For i = 0 To 360
    For j = 0 To 3
        m_u(i, j) = m_c(0, j)
    Next j
Next i
'Prefordeler uforbrent volume som array
Dim V_u(360, 3) As Double
V_u(0, 0) = V(0)
V_u(0, 1) = V(0)
V_u(0, 2) = V(0)
V_u(0, 3) = V(0)
Dim V_b(360, 3) As Double
Dim T_b(360, 3) As Double
Dim A_b(360, 3) As Double
Dim A_u(360, 3) As Double
Dim a(360) As Double
a(0) = (3.14 * B ^ 2) / 2 + 3.14 * B * y(0)

```

```

'=====
'=====
For j = 0 To 3
For i = 1 To 360
    '=====
    'Spesifiserer definerer veivinkel.
    theta(i) = i + 1
    'Spesifiserer stempelets avstand til TDC (m)
    y(i) = S / 2 - L + (S / 2) * Cos(theta(i) * 3.14 / 180) + ((L ^ 2 - (
    ((S / 2) ^ 2) * Sin(theta(i) * 3.14 / 180) ^ 2)) ^ 0.5
    'Spesifiserer volum som funksjon av veivinkel (m^3)
    V(i) = V_min + ((3.14 / 4) * B ^ 2) * y(i)
    'Spesifiserer forandring i volum som funksjon av veivinkel

```

```

DV(i) = V(i) - V(i - 1)
'=====
'Beregner tetthet som funksjon av veivinkel (kg/m^3)
rho(i, j) = P(i - 1, j) / (R_air * T(i - 1, j))
'Beregner viskositet som funksjon av cylindertemperatur
mu(i, j) = 0.000007457 + 0.000000041547 * T(i - 1, j) - 7.4793E-12 -
* T(i - 1, j) ^ (2)
'Beregner momentant varmeledningsevne i cylinder
C_k(i, j) = 0.0061944 + 0.000073814 * T(i - 1, j) - 0.000000012491 -
* T(i - 1, j) ^ (2)
'Beregner momentan strålekoeffisient i cylinder
C_s(i, j) = 0.00000000425 * ((T(i - 1, j) ^ 4 - T_w(0, j) ^ 4) -
/ (T(i - 1, j) - T_w(0, j)))
'Beregner momentant varmeledningsareal.
a(i) = (3.14 * B ^ 2) / 2 + 3.14 * B * y(i)
If i <= 2 Then
    A_u(i, j) = a(i)
End If

'=====
'WIEBE FUNKSJONEN
'Spesifiserer massefraksojn forbrent som en funksjon av veivinkel
'Spesifiserer også masse brennstoff i forbrenningskammeret som funksjon
'av theta:
'=====

If theta(i) < theta_0(0, j) Then
    X(i, j) = 0
Else
    X(i, j) = 1 - Exp(-awie * ((theta(i) - theta_0(0, j)) -
    / theta_d(0, j)) ^ (wexp + 1))
    If theta(i) < theta_f(0, j) Then
        m_x(i, j) = (m_g(0, j)) / (2 * N)
    End If
End If
'Spesifiesrer forandring i massefraksjon forbrent som funksjon av
'veivinkel
DX(i, j) = X(i, j) - X(i - 1, j)
'=====
'ANNANDS METODE FOR BEREGNING AV VARMEOVERGANG I SYLINDER
'Spesifiserer varmeovergang mellom cylindergassen og cylindervegg
'=====

'Beregner Reynoldstall som funksjon av veivinkel
Re(i, j) = rho(i, j) * S_bar_p * B / mu(i, j)
'Beregner Nusstelttall som funksjon av vivinkel
'(Konstant=.26 for 2-takt, .49 for 4-takt)
Nus(i, j) = 0.49 * Re(i, j) ^ (0.7)
'Beregner varmeovergangskoeffisient ved Annands metode
h_g(i, j) = C_k(i, j) * Nus(i, j) / B
'Beregner konvektive varmetap i cylinder som funksjon av veivinkel
DQ_w(i, j) = (h_g(i, j) + C_s(i, j)) * a(i) * (T(i - 1, j) - T_w(0, j)) -
* (60 / (360 * RPM))
'=====
'VARMEUTVIKLING I SYLINDER
'=====

Q_w(i, j) = Q_w(i - 1, j) + DQ_w(i, j)
'Beregner forandring i varme totalt som funksjon av veivinkel
DQ(i, j) = eta_comb * LHV * m_x(i, j) * DX(i, j) - DQ_w(i, j)
'Beregner netto varmetilførrelse
Q(i, j) = Q(i - 1, j) + DQ(i, j)
'=====

'BEREGNING AV TRYKK- OG TEMPERATURØKNING MELLOM IVO OG EVC
'=====

If theta(i) > IVC(0, j) Then
    DT(i, j) = T(i - 1, j) * (gamma(i - 1, j) - 1) * ((1 / (P(i - 1, j) -
    * V(i - 1))) -
    * DQ(i, j) - (1 / V(i - 1)) * DV(i))
    DP(i, j) = (-P(i - 1, j) / V(i - 1)) * DV(i) + (P(i - 1, j) -
    / T(i - 1, j)) * DT(i, j)
    P(i, j) = P(i - 1, j) + DP(i, j)
End If
If theta(i) > EVO(0, j) Then
    P(i, j) = P_atm
End If
If theta(i) > 200 Then
    If P(i, j) <= P_atm Then
        P(i, j) = P_atm
    End If

```

```

End If
'=====
'Spesifiserer 'motoring'-trykk som funksjon av Veivinkel
'=====

m_b(i, j) = m_b(i - 1, j) + DX(i, j) * m_c(0, j)
m_u(i, j) = m_u(i - 1, j) - DX(i, j) * m_c(0, j)
If IVC(0, j) < theta(i) Then
    DP_M(i, j) = (-P_M(i - 1, j)) * gamma(i - 1, j) * DV(i) / V(i - 1)
    P_M(i, j) = P_M(i - 1, j) + DP_M(i, j)
End If
If EVO(0, j) < theta(i) Then
    P_M(i, j) = P_atm
End If
If 200 < theta(i) Then
    If P_M(i, j) <= P_atm Then
        P_M(i, j) = P_atm
    End If
End If
'=====
'Beregner forbrent/uforbrent massefraksjoner
m_b(i, j) = m_b(i - 1, j) + DX(i, j) * m_c(0, j)
m_u(i, j) = m_u(i - 1, j) - DX(i, j) * m_c(0, j)
'Beregner forbrent/uforbrent volum
If theta(i) <= theta_0(0, j) Then
    V_u(i, j) = N_cyl * V(i)
End If
If theta(i) > theta_0(0, j) Then
    V_u(i, j) = ((m_u(i, j) * V_u(i - 1, j)) / m_u(i - 1, j)) * (P(i, j) -
    / P(i - 1, j)) ^ (-1 / gamma_u(i - 1, j))
End If
V_b(i, j) = N_cyl * V(i) - V_u(i, j)
If V_b(i, j) < 0 Then
    V_b(i, j) = 0
End If
'Beregner forbrent/uforbrent temperatur
T_u(i, j) = P(i, j) * V_u(i, j) / (m_u(i, j) * R * 1000)
If theta(i) <= theta_0(0, j) + 4 Then
    T_b(i, j) = 0
End If
If theta(i) > theta_0(0, j) + 4 Then
    T_b(i, j) = P(i, j) * V_b(i, j) / (m_b(i, j) * R * 1000)
End If
'Beregner forbrent/uforbrent areal
A_u(i, j) = a(i) * (1 - (X(i, j)) ^ 0.5)
If theta(i) > theta_0(0, j) + 1 Then
    A_b(i, j) = a(i) * (X(i, j) / (X(i, j) ^ 0.5))
Else
    A_b(i, j) = 0
End If
DT_u(i, j) = T_u(i, j) - T_u(i - 1, j)
'=====

'Beregner cylindertemperatur som funksjon av veivinkel
T(i, j) = T(i - 1, j) + DT(i, j)
'Beregner cylinder arbeid som funksjon av veivinkel
'Behandler atmosfæretrykk som referansestrykk (J)
W(i, j) = W(i - 1, j) + (P(i, j) - P_atm) * DV(i)
'Beregner mekanisk effekt som funksjon av veivinkel (kW)
W_dot(i, j) = (N_cyl * W(i, j) * N / N_r) / 1000
'Beregner varmeovergang som funksjon av veivinkel (kW)
Q_dot_w(i, j) = (N_cyl * Q_w(i, j) * N / N_r) / 1000
'=====

'Oppdaterer gamma ved POLYNOMMETODEN utviklet av KRIEGER-BORMAN.
'OBS: nøyaktigheten til denne metoden faller når blandingen blir rikere
'=====

If theta(i) > IVC(0, j) Then
If theta(i) < EVO(0, j) Then
    'Beregner faktor "A", "B" som funksjon av temperatur
    Dim A_t As Double
    A_t = A_1 * T(i, j) + A_2 * T(i, j) ^ 2 + a_3 * T(i, j) ^ 3 + a_4 -
    * T(i, j) ^ 4 + a_5 * T(i, j) ^ 5
    Dim A_tu As Double
    A_tu = A_1 * T_u(i, j) + A_2 * T_u(i, j) ^ 2 + a_3 * T_u(i, j) ^ 3 -
    + a_4 * T_u(i, j) ^ 4 + a_5 * T_u(i, j) ^ 5
    Dim B_t As Double
    B_t = b_0 + b_1 * T(i, j) + b_2 * T(i, j) ^ 2 + b_3 * T(i, j) ^ 3 -
    + b_4 * T(i, j) ^ 4
    Dim B_tu As Double

```

```

B_tu = b_0 + b_1 * T_u(i, j) + b_2 * T_u(i, j) ^ 2 + b_3 _
* T_u(i, j) ^ 3 + b_4 * T_u(i, j) ^ 4
'Beregner faktor "D" som funksjon av lambda
Dim D_lambda As Double
D_lambda = d_0 + d_1 * lambda(0, j) ^ (-1) + d_3 * lambda(0, j) ^ (-3)
'Beregner faktor "F" som funksjon av temperatur og lambda
Dim E_TLambda As Double
E_TLambda = (e_0 + e_1 * lambda(0, j) ^ (-1) + e_3 _
* lambda(0, j) ^ (-3)) / T(i, j)
Dim E_TLambdau As Double
E_TLambdau = (e_0 + e_1 * lambda(0, j) ^ (-1) + e_3 _
* lambda(0, j) ^ (-3)) / T_u(i, j)
Dim F_TPLambda As Double
F_TPLambda = (f_0 + f_1 * lambda(0, j) ^ (-1) + f_3 _
* lambda(0, j) ^ (-3) -
+ ((f_4 + f_5 * lambda(0, j) ^ (-1)) / T(i, j))) -
* Log(f_6 * P(i, j))
Dim F_TPLambdaau As Double
F_TPLambdaau = (f_0 + f_1 * lambda(0, j) ^ (-1) + f_3 _
* lambda(0, j) ^ (-3) -
+ ((f_4 + f_5 * lambda(0, j) ^ (-1)) / T_u(i, j))) -
* Log(f_6 * P(i, j))
'Beregner korreksjonsfaktor for indre energi
Dim u_corr As Double
u_corr = c_u * Exp(D_lambda + E_TLambda + F_TPLambda)
Dim u_corr_u As Double
u_corr_u = c_u * Exp(D_lambda + E_TLambdaau + F_TPLambdaau)
'Beregner indre energi som funksjon av veivvinkel
u(i, j) = A_t - B_t / lambda(0, j) + u_corr
Dim u_u(360, 3) As Double
u_u(i, j) = A_tu - B_tu / lambda(0, j) + u_corr_u
'Beregner forandring i indre energi
du(i, j) = u(i, j) - u(i - 1, j)
Dim du_u(360, 3) As Double
du_u(i, j) = u_u(i, j) - u_u(i - 1, j)
'Beregner spesifikk varmekapasitet som funksjon av veivvinkel
cv(i, j) = du(i, j) / DT(i, j)
Dim cv_u(360, 3) As Double
cv_u(i, j) = du_u(i, j) / DT_u(i, j)
'Beregner korreksjonsfaktor for "R"-verdien som funksjon av veivvinkel
Dim R_corr As Double
R_corr = c_r * Exp(r_0 * Log(lambda(0, j)) + (r_1 + r_2 / T(i, j) + r_3 -
* Log(f_6 * P(i, j))) / lambda(0, j))
Dim R_corr_u As Double
R_corr_u = c_r * Exp(r_0 * Log(lambda(0, j)) + (r_1 + r_2 / T_u(i - 1, j) -
+ r_3 * Log(f_6 * P(i, j))) / lambda(0, j))
'Beregner faktisk "R"-verdi
R = 0.287 + 0.02 / lambda(0, j) + R_corr
Dim R_u As Double
R_u = 0.287 + 0.02 / lambda(0, j) + R_corr_u
'Beregner faktisk gamma-verdi og returnerer til begynnelsen av koden

gamma_u(i, j) = 1 + R_u / cv_u(i, j)
gamma(i, j) = 1 + R / cv(i, j)
End If
End If
If gamma(i, j) < 1.2 Then
    gamma(i, j) = 1.4
    gamma_u(i, j) = 1.4
End If
If theta(i) >= EVO(0, j) Then
    gamma(i, j) = 1.4
    gamma_u(i, j) = 1.4
End If
'=====
'Beregner eksostemperatur baser på polytropiske relasjoner
'=====
If EVO(0, j) < theta(i) Then
    T(i, j) = T(EVO(0, j), j) * (P_BDC / P(EVO(0, j), j)) -
    ^ ((gamma(i, j) - 1) / gamma(i, j))
    T_b(i, j) = T_b(EVO(0, j), j) * (P_BDC / P(EVO(0, j), j)) -
    ^ ((gamma(i, j) - 1) / gamma(i, j))
End If
'=====
'Skriver verdier til regneark
'=====
Worksheets("Motormodell").Range("A1") = "Veivvinkel"

```

```

Worksheets("Motormodell").Range("B1") = "Trykk - 13,5"
Worksheets("Motormodell").Range("C1") = "Trykk - 10,5"
Worksheets("Motormodell").Range("D1") = "Trykk - 7,5"
Worksheets("Motormodell").Range("E1") = "Trykk - 4,5"
Worksheets("Motormodell").Range("F1") = "Trykk u/ forbr"
Worksheets("Motormodell").Range("A2") = theta(0)
Worksheets("Motormodell").Range("B2:E2") = P(0, j) * 10 ^ (-5)
Worksheets("Motormodell").Range("F2") = P_M(0, 0) * 10 ^ (-5)
Worksheets("Motormodell").Cells(i + 2, 1).Value = theta(i)
Worksheets("Motormodell").Cells(i + 2, j + 2).Value = P(i, j) * 10 ^ (-5)
Worksheets("Motormodell").Cells(i + 2, 6).Value = P_M(i, 1) * 10 ^ (-5)
Worksheets("Motormodell").Cells(i + 2, j + 7).Value = T(i, j) - 273.15
Worksheets("Motormodell").Range("G2:J2") = T(0, j) - 273.15
Worksheets("Motormodell").Range("G1") = "Temperatur - 13,5"
Worksheets("Motormodell").Range("H1") = "Temperatur - 10,5"
Worksheets("Motormodell").Range("I1") = "Temperatur - 7,5"
Worksheets("Motormodell").Range("J1") = "Temperatur - 4,5"

```

Next i

```

'=====
'MIDDELTRYKK OG VIRKNINGSGRAD
'=====
'Beregner indikert middeltrykk (bar)
Dim imep(0, 3) As Double
imep(0, j) = W_dot(360, j) * 1200 / (V_s * N_cyl * 1000 * RPM)
Worksheets("Front").Range("J4:M4") = imep
'Beregner bremse-spesifikt middeltrykk fra målt effekt (bar)
Dim bmep(0, 3) As Double
bmep(0, j) = (W_dot_el_m(0, j)) * 1200 / (0.9028 * V_s * N_cyl * 1000 * RPM)
Worksheets("Front").Range("J5:M5") = bmep
'Beregner friksjonstap i motor (bar)
Dim fmep(0, 3) As Double
fmep(0, j) = imep(0, j) - bmep(0, j)
Worksheets("Front").Range("J6:M6") = fmep
'Beregner mekanisk virkningsgrad (-)
Dim eta_m(0, 3) As Double
eta_m(0, j) = bmep(0, j) / imep(0, j)
Worksheets("Front").Range("J7:M7") = eta_m
'=====
Dim T_E(0, 3) As Double
T_E(0, j) = T(360, j) - 273.15
Worksheets("Front").Range("J8:M8") = T_E
'=====
'ENERGIBALANSE
'=====
'Massestrøm brennstoff (kg/s)
Dim m_dot_f(0, 3) As Double
m_dot_f(0, j) = m_g(0, j)
'Massestrøm luft (kg/s)
Dim m_dot_a(0, 3) As Double
m_dot_a(0, j) = AF_ratio_faktisk(0, j) * m_g(0, j)
Worksheets("Front").Range("J9:M9") = m_dot_a
'Massestrøm eksos (kg/s)
Dim m_dot_e(0, 3) As Double
m_dot_e(0, j) = m_g(0, j) + m_dot_a(0, j)
'Indikert effekt (kW)
Dim W_dot_indicated(0, 3) As Double
W_dot_indicated(0, j) = W_dot(360, j)
Worksheets("Front").Range("J10:M10") = W_dot_indicated
'Effekt ut på akslingen (kW)
Dim W_dot_m(0, 3) As Double
W_dot_m(0, j) = (W_dot_el_m(0, j)) / 0.9028
Worksheets("Front").Range("J11:M11") = W_dot_m
Worksheets("Front").Range("J12:M12") = W_dot_el_m
'Varmeovergang til motorblokk (kW)
Dim Q_dot_m(0, 3) As Double
Q_dot_m(0, j) = Q_dot_w(360, j)
Worksheets("Front").Range("J15:M15") = Q_dot_m
'Varmeovergang til motoroljen (kW)
Dim Q_dot_o(0, 3) As Double
Q_dot_o(0, j) = W_dot_indicated(0, j) - W_dot_m(0, j)
Worksheets("Front").Range("J14:M14") = Q_dot_o
'Varmeovergang til kjølevann fra generator (kW)
Dim Q_dot_gen(0, 3) As Double
Q_dot_gen(0, j) = ((W_dot_el_m(0, j)) / 0.9028) * (1 - 0.9028)
Worksheets("Front").Range("J13:M13") = Q_dot_gen
'Entalpi medfølgende eksos (ut fra cylinder) (kW)

```

Module2 - 11

```
Dim H_dot_e(0, 3) As Double
H_dot_e(0, j) = m_g(0, j) * LHV / 1000 - W_dot_m(0, j) -
- Q_dot_m(0, j) - Q_dot_o(0, j)
'Varmetap fra kraftenhet ved konveksjon og stråling (kW)
Dim Q_dot_tap(0, 3) As Double
Q_dot_tap(0, j) = 0.02 * m_g(0, j) * LHV / 1000
Worksheets("Front").Range("J16:M16") = Q_dot_tap
Next j
End Sub
```